

**AZOT ATOMUNDA TETRAZOL HALKASI İÇEREN BAZI TEBAİN  
TÜREVİ YARISENTETİK OPİOİTLERİN SENTEZİ VE  
YAPILARININ SPEKTROSKOPİK YÖNTEMLERLE AYDINLATILMASI**

**Özgür PAMİR**

**YÜKSEK LİSANS TEZİ**

**KİMYA**

**GAZİ ÜNİVERSİTESİ  
FEN BİLİMLERİ ENSTİTÜSÜ**

**TEMMUZ 2010**

**ANKARA**

Özgür PAMİR tarafından hazırlanan AZOT ATOMUNDA TETRAZOL HALKASI İÇEREN BAZI TEBAİN TÜREVİ YARISENTETİK OPİOİTLERİN SENTEZİ VE YAPILARININ SPEKTROSKOPİK YÖNTEMLERLE AYDINLATILMASI adlı bu tezin Yüksek Lisans tezi olarak uygun olduğunu onaylarım.

Prof. Dr. Yılmaz YILDIRIR

Tez Danışmanı, Kimya Anabilim Dalı

Bu çalışma, jürimiz tarafından oy birliği ile Kimya Anabilim Dalında Yüksek Lisans tezi olarak kabul edilmiştir.

Doç Dr. Adnan BULUT

(Kimya Anabilim Dalı, Kırıkkale Üniversitesi)

Prof. Dr. Yılmaz YILDIRIR

(Kimya Anabilim Dalı, Gazi Üniversitesi)

Doç. Dr. Ali DİŞLİ

(Kimya Anabilim Dalı, Gazi Üniversitesi)

Tarih: 28/07/2010

Bu tez ile G.Ü. Fen Bilimleri Enstitüsü Yönetim Kurulu Yüksek Lisans derecesini onamıştır.

Prof. Dr. Bilal TOKLU

Fen Bilimleri Enstitüsü Müdürü

## **TEZ BİLDİRİMİ**

Tez içindeki bütün bilgilerin etik davranış ve akademik kurallar çerçevesinde elde edilerek sunulduğunu, ayrıca tez yazım kurallarına uygun olarak hazırlanan bu çalışmada bana ait olmayan her türlü ifade ve bilginin kaynağına eksiksiz atıf yapıldığını bildiririm.

Özgür PAMİR

**AZOT ATOMUNDA TETRAZOL HALKASI İÇEREN BAZI TEBAİN  
TÜREVİ YARI SENTETİK OPİOİTLERİN SENTEZİ VE YAPILARININ  
SPEKTROSKOPİK YÖNTEMLERLE AYDINLATILMASI**  
(Yüksek Lisans Tezi)

**Özgür PAMİR**

**GAZİ ÜNİVERSİTESİ  
FEN BİLİMLERİ ENSTİTÜSÜ  
TEMMUZ 2010**

**ÖZET**

Bu çalışmada, önemli bir haşhaş (*Papaver semniferum L.*) alkaloiti olan tebain kullanılarak morfinyan türü C(7) konumunda lipofilik sübstitten ve azot atomunda da tetrazol halkası içeren yarisenetik opioitler sentezlenmiştir. Çalışmanın ilk aşamasında; tebain ile metil akrilatin Diels-Alder tepkimesi sonucunda C(7) konumunda metil esteri içeren 6,14-*endo*-eteno köprüsüne sahip morfinyan yapısındaki bileşik sentezlenmiştir. Oluşan ürünün siyanojen bromür ile etkileştirilmesi sonucunda azot atomu üzerindeki metil grubu çıkarılmış yerine siyanür grubu geçirilmiştir. Daha sonra siyanür grubu NH<sub>4</sub>Cl ve NaN<sub>3</sub> kullanılarak tetrazol halkasına dönüştürülmüştür. Çalışmanın ikinci aşamasında ise ilk önce katılma ürünü hidrazin hidratla etkileştirilip açılıp hidrazin türevine dönüştürülmüştür. Daha sonra açılıp hidrazin sübstitten *p*-benzoil klorür bileşikleriyle tepkimeye sokulup diaçil hidrazin hidroklorürler elde edilmiştir. Diaçil hidrazin hidroklorür bileşiklerinin POCl<sub>3</sub> içerisinde halkalaşma tepkilmeleri sonucunda C(7) konumunda 1,3,4- oksadiazol halkası içeren morfinyan türü bileşikler sentezlenmiştir. Daha sonra azot atomundaki metil grububun ile CN grubu yer değiştirilmiştir. Oksadiazol türevi bileşiklerin siyanojen bromür ile bu tepkimesinden oluşan N-CN türevleri, azot atomunda tetrazol halkası içeren bileşiklerin sentezi için kullanılmıştır. Sentezlenen bileşiklerin yapıları FT-IR, <sup>1</sup>H-NMR, <sup>13</sup>C-APT, COSY, HETCOR (HMQC),

**LC-MS ve X işinları kırınım spektroskopisi teknikleri kullanılarak aydınlatılmıştır.**

Azot atomundaki metil grubu farklı gruplarla yer değiştirilmiş pek çok tebain türevi yarı sentetik opioit, narkotik analjezik ve ağrı kesici olarak kullanılmalarının yanı sıra antagonist etkileri sayesinde uyuşturucu bağımlılığı tedavisinde de kullanılmaktadır. Opioitlerin yapısında bulunan azot atomu ve bu atoma bağlı grubun yapısı opioitin farmakolojik etkinlikleri üzerinde önemli bir etkiye sahiptir Tebain türevleri ile ilgili çalışmalar bu özellikleri nedeniyle önem taşımaktadır.

**Bilim Kodu : 201.1.112**

**Anahtar Kelimeler : Alkaloit, tebain, morfinyan, opioit, oksadiazol, tetrazol**

**Sayfa Adedi : 124**

**Tez Yöneticisi : Prof. Dr. Yılmaz YILDIRIR**

**SYNTHESIS OF SOME SEMI-SYNTHETIC DERIVATIVE THEBAINE  
OPIATES CONTAINING TETRAZOL RING AT NITROGEN ATOM AND  
ELUCIDATING THEIR STRUCTURES BY SPECTROSCOPIC METHODS**

(M. Sc. Thesis)

**Özgür PAMİR**

**GAZİ UNIVERSITY  
INSTITUTE OF SCIENCE AND TECHNOLOGY  
July 2010**

**ABSTRACT**

In this study, morphinan type semi synthetic opioits which have lipophilic substituent at C(7) carbon and also tetrazol ring at nitrogen atom were synthesized by the use of thebaine that is important hashish (*Papaver somniferum L.*) alkaloid. In the first step of this study, the morphinan compound containing methyl ester positioned at C(7) including 6,14-*endo*-etheno bridge was synthesized by Diels-Alder reaction with thebaine and methyl acrylate. The methyl group at nitrogen atom of obtained product was converted to N-CN derivative by treating with cyanogens bromide. Then, cyanide group was converted by using NH<sub>4</sub>Cl and NaN<sub>3</sub> to tetrazol ring. In the second step of the study, the Diels-Alder adduct was converted to acylhydrazite derivative. Then, diacyl hydraizte hydrochlorides were synthesized by the treatment of p-substituted benzoyl chlorides with acylhydrazite. The obtained acyl hydrazite hydrochloride compounds were cyclized in POCl<sub>3</sub> to give thebaine derivatives containing 1,3,4-Oxadiazole ring at C(7) atom. And then, the compounds including 1,3,4-Oxadiazole ring at C(7) atom reacted with cyanogen bromide to give N-CN compounds which were used to synthesize N-tetrazol derivatives.

The structures of synthesized compounds were confirmed by the techniques FT-IR, <sup>1</sup>H-NMR, <sup>13</sup>C-APT, COSY, HETCOR (HMQC), LC-MS and X-ray diffraction spectroscopy.

Most of *N*-demethylated semi-synthetic derivative thebaine opiate, have been using as narcotic analgesic and painkiller besides in therapy of drug addiction due to their antagonist effects. The nature of the substituent at the nitrogen atom and the nitrogen atom in the opiates has an important effect on the pharmacological activity of the opiate. For these facts, the works related thebaine derivatives have a great importance.

**Science Code**

: 201.1.112

**Key Words**

: Alkaloid, thebaine, morphinan, opiate, oxadiazole, tetrazole

**Page Number**

: 124

**Adviser**

: Prof. Dr. Yilmaz YILDIRIR

## TEŞEKKÜR

Çalışmalarım boyunca benden değerli yardım ve katkılarını esirgemeyen, beni yönlendiren kıymetli tecrübelерinden faydalandığım sayın hocam Prof. Dr. Yılmaz YILDIRIR'a teşekkürlerimi ve saygılarımı sunarım.

Çalışmaların sırasında bana yol gösteren sayın hocam Doç. Dr. Ali DİŞLİ'ye teşekkür ederim.

Bu tez çalışması, TÜBİTAK Bilimsel Araştırma Projeleri Komisyonuna ve TMO Genel Müdürlüğünce 107T676 nolu proje kapsamında desteklenmiştir. Bu katkılarından dolayı TÜBİTAK Bilimsel Araştırma Projeleri Komisyonuna ve TMO Genel Müdürlüğüne teşekkürlerimi sunarım.

Çalışma arkadaşları Araş. Gör. Dr. Serkan YAVUZ'a ve Dr. Eylem TURAN'a ve benimle birlikte aynı labaratuarda çalışan çalışma arkadaşlarına teşekkürlerimi sunarım.

Benim bu günlere gelmemde büyük emeği olan aileme ve tez çalışmam boyunca maddi ve manevi desteğini her zaman yanımda hissettiğim, birlikte mutlu bir beraberlige başlama kararı aldığım nişanlım Figen HASRET'e sonsuz teşekkürlerimi sunarım.

## İÇİNDEKİLER

**Sayfa**

	<b>Sayfa</b>
ÖZET .....	iv
ABSTRACT .....	vi
TEŞEKKÜR .....	viii
İÇİNDEKİLER .....	ix
ÇİZELGELERİN LİSTESİ .....	xiv
ŞEKİLLERİN LİSTESİ .....	xv
SİMGELER VE KISALTMALAR .....	xix
1. GİRİŞ .....	1
2. GENEL BİLGİLER .....	2
2.1. Alkaloitlerin Tanımı ve Sınıflandırılması .....	2
2.1.1. Haşhaş alkaloitleri .....	4
2.1.2. Bazı tebain türevi azot atomuna bağlı metil grubu yer değiştirilmiş yarı sentetik opioitler ve özellikleri .....	7
2.1.3. Azot atomuna bağlı metil grubunun çıkarılması ve yer değiştirmesi için yöntemler .....	12
2.2. 1,3,4- Oksadiazol Bileşiklerinin Genel Yapısı .....	15
2.2.1. 1,3,4- Oksadiazollerin özellikleri ve genel sentez yöntemleri .....	15
2.3. Tetrazollerin Genel Yapısı .....	18
2.3.1. Tetrazollerin özellikleri ve genel sentez yöntemleri .....	18
3. ARAÇ-GEREÇ VE YÖNTEM .....	21
3.1. Araç ve Gereçler .....	21
3.1.1. Kullanılan kimyasal maddeler .....	21
3.1.2. Kullanılan cihazlar .....	21

	Sayfa
3.2. Yöntem .....	22
4. DENEYSEL KISIM .....	24
4.1. 6,14- <i>endo</i> -Eteno-7 $\alpha$ -metoksikarbonil-6,7,8,14-tetrahidrotrebain Bileşiginin Sentezi .....	24
4.2. <i>N</i> -Siyano-6,14- <i>endo</i> -eteno-7 $\alpha$ -metoksikarbonil-6,7,8,14-tetrahidrotrebain Bileşiginin Sentezi .....	24
4.3. <i>N</i> -1 <i>H</i> -Tetrazol-6,14- <i>endo</i> -eteno-7 $\alpha$ -metoksikarbonil-6,7,8,14-tetrahidrotrebain Bileşiginin Sentezi .....	25
4.4. 7 $\alpha$ -(Hidrazinokarbonil)-6,14- <i>endo</i> -eteno-6,7,8,14-tetrahidrotrebain Bileşiginin Sentezi .....	25
4.5. Benzoilhidrazinhidroklorür türevi bileşiklerin genel sentezi .....	26
4.5.1. 1-[(6,14- <i>endo</i> -Eteno-6,7,8,14-tetrahidrotrebain-7 $\alpha$ -il)-karbonil]-2-benzoilhidrazin hidroklorür bileşiginin sentezi .....	26
4.5.2. 1-[(6,14- <i>endo</i> -Eteno-6,7,8,14-tetrahidrotrebain-7 $\alpha$ -il)-karbonil]-2- <i>p</i> -florobenzoilhidrazin hidroklorür bileşiginin sentezi .....	26
4.5.3. 1-[(6,14- <i>endo</i> -Eteno-6,7,8,14-tetrahidrotrebain-7 $\alpha$ -il)-karbonil]-2- <i>p</i> -klorobenzoilhidrazin hidroklorür bileşiginin sentezi .....	27
4.5.4. 1-[(6,14- <i>endo</i> -Eteno-6,7,8,14-tetrahidrotrebain-7 $\alpha$ -il)-karbonil]-2- <i>p</i> -bromobenzoilhidrazin hidroklorür bileşiginin sentezi .....	27
4.5.5. 1-[(6,14- <i>endo</i> -Eteno-6,7,8,14-tetrahidrotrebain-7 $\alpha$ -il)-karbonil]-2- <i>p</i> -metoksibenzoilhidrazin hidroklorür bileşiginin sentezi .....	27
4.6. 1,3,4- Oksadiazol Türevi Bileşiklerin Genel Sentezi .....	28
4.6.1. 2-(6,14- <i>endo</i> -Eteno-6,7,8,14-tetrahidrotrebain-7 $\alpha$ -il)-5-fenil-1,3,4-oksadiazol bileşiginin sentezi .....	28
4.6.2. 2-(6,14- <i>endo</i> -Eteno-6,7,8,14-tetrahidrotrebain-7 $\alpha$ -il)-5-( <i>p</i> -florofenil)-1,3,4-oksadiazol bileşiginin sentezi .....	28
4.6.3. 2-(6,14- <i>endo</i> -Eteno-6,7,8,14-tetrahidrotrebain-7 $\alpha$ -il)-5-( <i>p</i> -klorofenil)-1,3,4-oksadiazol bileşiginin sentezi .....	29

Sayfa
4.6.4. 2-(6,14- <i>endo</i> -Eteno-6,7,8,14-tetrahidrotetrabain-7α-il)-5-( <i>p</i> -bromofenil)-1,3,4-oksadiazol bileşığının sentezi ..... 29
4.6.5. 2-(6,14- <i>endo</i> -Eteno-6,7,8,14-tetrahidrotetrabain-7α-il)-5-( <i>p</i> -metoksifenil)-1,3,4-oksadiazol bileşığının sentezi ..... 29
4.7. <i>N</i> -CN Türevi Bileşiklerin Genel Sentezi..... 30
4.7.1. 2-( <i>N</i> -Siyano-6,14- <i>endo</i> -eteno-6,7,8,14-tetrahidrotetrabain-7α-il)-5-fenil-1,3,4-oksadiazol bileşığının sentezi ..... 30
4.7.2. 2-( <i>N</i> -Siyano-6,14- <i>endo</i> -Eteno-6,7,8,14-tetrahidrotetrabain-7α-il)-5-( <i>p</i> -florofenil)- 1,3,4-oksadiazol bileşığının sentezi ..... 30
4.7.3. 2-( <i>N</i> -Siyano-6,14- <i>endo</i> -Eteno-6,7,8,14-tetrahidrotetrabain-7α-il)-5-( <i>p</i> -klorofenil)-1,3,4-oksadiazol bileşığının sentezi ..... 31
4.7.4. 2-( <i>N</i> -Siyano-6,14- <i>endo</i> -Eteno-6,7,8,14-tetrahidrotetrabain-7α-il)-5-( <i>p</i> -bromofenil)- 1,3,4-oksadiazol bileşığının sentezi ..... 31
4.7.5. 2-( <i>N</i> -Siyano-6,14- <i>endo</i> -Eteno-6,7,8,14-tetrahidrotetrabain-7α-il)-5-( <i>p</i> -metoksifenil)-1,3,4-oksadiazol bileşığının sentezi ..... 31
4.8. <i>N</i> -Tetrazol Türevi Bileşiklerin Sentezi ..... 32
4.8.1. 2-( <i>N</i> -(1 <i>H</i> -tetrazol-5-il)-6,14- <i>endo</i> -eteno-6,7,8,14-tetrahidrotetrabain-7α-il)-5-fenil-1,3,4-oksadiazol bileşığının sentezi ..... 32
4.8.2. 2-( <i>N</i> -(1 <i>H</i> -tetrazol-5-il)-6,14- <i>endo</i> -eteno-6,7,8,14-tetrahidrotetrabain-7α-il)-5-( <i>p</i> -florofenil)- 1,3,4-oksadiazol bileşığının sentezi ..... 32
4.8.3. 2-( <i>N</i> -(1 <i>H</i> -tetrazol-5-il)-6,14- <i>endo</i> -eteno-6,7,8,14-tetrahidrotetrabain-7α-il)-5-( <i>p</i> -klorofenil)-1,3,4-oksadiazol bileşığının sentezi ..... 33
4.8.4. 2-( <i>N</i> -(1 <i>H</i> -tetrazol-5-il)-6,14- <i>endo</i> -Eteno-6,7,8,14-tetrahidrotetrabain-7α-il)-5-( <i>p</i> -bromofenil)- 1,3,4-oksadiazol bileşığının sentezi ..... 33
4.8.5. 2-( <i>N</i> -(1 <i>H</i> -tetrazol-5-il)-6,14- <i>endo</i> -Eteno-6,7,8,14-tetrahidrotetrabain-7α-il)-5-( <i>p</i> -metoksifenil)-1,3,4-oksadiazol bileşığının sentezi ..... 33
5. SONUÇLAR VE TARTIŞMA ..... 34

## Sayfa

5.1.	<i>6,14-endo-Eteno-7<math>\alpha</math>-metoksikarbonil-6,7,8,14-tetrahidrotrebain Bileşinin Yapısı</i>	34
5.2.	<i>N-Siyano-6,14-endo-Eteno-7<math>\alpha</math>-metoksikarbonil-6,7,8,14-tetrahidrotrebain Bileşinin Yapısı</i>	39
5.3.	<i>N-1H-Tetrazol-6,14-endo-Eteno-7<math>\alpha</math>-metoksikarbonil-6,7,8,14-tetrahidrotrebain Bileşinin Yapısı</i>	43
5.4.	<i>7<math>\alpha</math>-(Hidrazinokarbonil)-6,14-endo-Eteno-7<math>\alpha</math>-metoksikarbonil-6,7,8,14-tetrahidrotrebain Bileşinin Yapısı</i>	47
5.5.	<i>Benzoilhidrazinhidroklorür Türevi Bileşiklerin Yapısının Aydınlatılması</i>	51
5.5.1.	<i>1-[(6,14-endo-Eteno-6,7,8,14-tetrahidrotrebain-7<math>\alpha</math>-il)-karbonil]-2-p-metoksibenzoilhidrazin hidroklorür bileşinin yapısı</i>	51
5.5.2.	<i>1-[(6,14-endo-Eteno-6,7,8,14-tetrahidrotrebain-7<math>\alpha</math>-il)-karbonil]-2-p-bromobenzoilhidrazin hidroklorür bileşinin yapısı</i>	55
5.5.3.	<i>1-[(6,14-endo-Eteno-6,7,8,14-tetrahidrotrebain-7<math>\alpha</math>-il)-karbonil]-2-p-klorobenzoilhidrazin hidroklorür bileşinin yapısı</i>	56
5.5.4.	<i>1-[(6,14-endo-Eteno-6,7,8,14-tetrahidrotrebain-7<math>\alpha</math>-il)-karbonil]-2-p-florobenzoilhidrazin hidroklorür bileşinin yapısı</i>	57
5.5.5.	<i>1-[(6,14-endo-Eteno-6,7,8,14-tetrahidrotrebain-7<math>\alpha</math>-il)-karbonil]-2-benzoilhidrazin hidroklorür bileşinin yapısı</i>	58
5.6.	<i>1,3,4-Oksadiazol Türevi Bileşiklerin Yapısının Aydınlatılması</i>	59
5.6.1.	<i>2-(6,14-endo-Eteno-6,7,8,14-tetrahidrotrebain-7<math>\alpha</math>-il)-5-(p-metoksifenil)-1,3,4-oksadiazol bileşinin yapısı</i>	59
5.6.2.	<i>2-(6,14-endo-Eteno-6,7,8,14-tetrahidrotrebain-7<math>\alpha</math>-il)-5-(p-bromofenil)-1,3,4-oksadiazol bileşinin yapısı</i>	63
5.6.3.	<i>2-(6,14-endo-Eteno-6,7,8,14-tetrahidrotrebain-7<math>\alpha</math>-il)-5-(p-klorofenil)-1,3,4-oksadiazol bileşinin yapısı</i>	64
5.6.4.	<i>2-(6,14-endo-Eteno-6,7,8,14-tetrahidrotrebain-7<math>\alpha</math>-il)-5-(p-florofenil)-1,3,4-oksadiazol bileşinin yapısı</i>	65

	Sayfa
5.6.5. 2-(6,14- <i>endo</i> -Eteno-6,7,8,14-tetrahidrotetrabain-7α-il)-5-fenil-1,3,4-oksadiazol bileşığının yapısı .....	66
<b>5.7. <i>N</i>-CN Türevi Bileşiklerin Yapısının Aydınlatılması .....</b>	<b>67</b>
5.7.1. 2-( <i>N</i> -siyano-6,14- <i>endo</i> -Eteno-6,7,8,14-tetrahidrotetrabain-7α-il)-5-( <i>p</i> -metoksifenil)-1,3,4-oksadiazol bileşığının yapısı .....	67
5.7.2. 2-( <i>N</i> -siyano-6,14- <i>endo</i> -Eteno-6,7,8,14-tetrahidrotetrabain-7α-il)-5-( <i>p</i> -bromofenil)-1,3,4-oksadiazol bileşığının yapısı .....	71
5.7.3. 2-( <i>N</i> -siyano-6,14- <i>endo</i> -Eteno-6,7,8,14-tetrahidrotetrabain-7α-il)-5-( <i>p</i> -klorofenil)-1,3,4-oksadiazol bileşığının yapısı .....	72
5.7.4. 2-( <i>N</i> -siyano-6,14- <i>endo</i> -Eteno-6,7,8,14-tetrahidrotetrabain-7α-il)-5-( <i>p</i> -florofenil)-1,3,4-oksadiazol bileşığının yapısı .....	73
5.7.5. 2-( <i>N</i> -siyano-6,14- <i>endo</i> -Eteno-6,7,8,14-tetrahidrotetrabain-7α-il)-5-fenil-1,3,4-oksadiazol bileşığının yapısı .....	74
<b>5.8. <i>N</i>-Tetrazol Türevi Bileşiklerin Yapısının Aydınlatılması .....</b>	<b>75</b>
5.8.1. 2-[ <i>N</i> -(1 <i>H</i> -tetrazol)-6,14- <i>endo</i> -Eteno-6,7,8,14-tetrahidrotetrabain-7α-il)-5-( <i>p</i> -metoksifenil)-1,3,4-oksadiazol bileşığının yapısı .....	75
5.8.2. 2-[ <i>N</i> -(1 <i>H</i> -tetrazol)-6,14- <i>endo</i> -Eteno-6,7,8,14-tetrahidrotetrabain-7α-il)-5-( <i>p</i> -bromofenil)-1,3,4-oksadiazol bileşığının yapısı .....	79
5.8.3. 2-[ <i>N</i> -(1 <i>H</i> -tetrazol)-6,14- <i>endo</i> -Eteno-6,7,8,14-tetrahidrotetrabain-7α-il)-5-( <i>p</i> -klorofenil)-1,3,4-oksadiazol bileşığının yapısı .....	80
5.8.4. 2-[ <i>N</i> -(1 <i>H</i> -tetrazol)-6,14- <i>endo</i> -Eteno-6,7,8,14-tetrahidrotetrabain-7α-il)-5-( <i>p</i> -florofenil)-1,3,4-oksadiazol bileşığının yapısı .....	81
5.8.5. 2-[ <i>N</i> -(1 <i>H</i> -tetrazol)-6,14- <i>endo</i> -Eteno-6,7,8,14-tetrahidrotetrabain-7α-il)-5-fenil-1,3,4-oksadiazol bileşığının yapısı .....	82
<b>EKLER .....</b>	<b>85</b>
<b>KAYNAKLAR .....</b>	<b>118</b>
<b>ÖZGEÇMİŞ .....</b>	<b>123</b>

## ÇİZELGELERİN LİSTESİ

Çizelge	Sayfa
Çizelge 1.1. Azot atomuna bağlı metil grubunun yerine farklı grupların geçmesiyle oluşturulan bazı opioitler.....	1
Çizelge 2.1. <i>N</i> -Metil grubu içeren bazı heterosiklik alkaloitler.....	3
Çizelge 2.2. Haşhaştaki bazı alkaloitlerin bulunma yüzdeleri .....	5
Çizelge 2.3. Benzilizokinolin grubu haşhaş alkaloitleri.....	5
Çizelge 2.4. Morfinyan grubu haşhaş alkaloitleri .....	6
Çizelge 2.5. Bazı opioitlerin, opioit reseptörlerine karşı gösterdikleri etki şekline göre sınıflandırılması .....	8
Çizelge 2.6. Azot atomuna bağlı metil grubu değiştirilmiş bazı tebain türevi yarı sentetik opioitler ve özellikleri.....	9
Çizelge 2.7. Bazı önemli 1,3,4-Oksadiazol türevi ilaçlar .....	16

## ŞEKİLLERİN LİSTESİ

Şekil	Sayfa
Şekil 3.1. Birinci kısımda sentezlenen bileşiklerin tepkime denklemi .....	23
Şekil 3.2. İkinci kısımda sentezlenen bileşiklerin tepkime denklemi .....	23
Şekil 5.1. 6,14- <i>endo</i> -Eteno-7 $\alpha$ -metoksikarbonil-6,7,8,14-tetrahidrotrebain bileşiğinin FT-IR spektrumu .....	35
Şekil 5.2. 6,14- <i>endo</i> -Eteno-7 $\alpha$ -metoksikarbonil-6,7,8,14-tetrahidrotrebain bileşiğinin $^1\text{H}$ -NMR spektrumu .....	36
Şekil 5.3. 6,14- <i>endo</i> -Eteno-7 $\alpha$ -metoksikarbonil-6,7,8,14-tetrahidrotrebain bileşiğinin $^{13}\text{C}$ -APT spektrumu .....	36
Şekil 5.4. 6,14- <i>endo</i> -Eteno-7 $\alpha$ -metoksikarbonil-6,7,8,14-tetrahidrotrebain bileşiğinin HR-MS spektrumu .....	37
Şekil 5.5. 6,14- <i>endo</i> -Eteno-7 $\alpha$ -metoksikarbonil-6,7,8,14-tetrahidrotrebain bileşiğinin X-ray difraktometre cihazı ile yapılan kristal analizi .....	37
Şekil 5.6. 6,14- <i>endo</i> -Eteno-7 $\alpha$ -metoksikarbonil-6,7,8,14-tetrahidrotrebain bileşiğinin COSY spektrumu .....	38
Şekil 5.7. 6,14- <i>endo</i> -Eteno-7 $\alpha$ -metoksikarbonil-6,7,8,14-tetrahidrotrebain bileşiğinin HETCOR (HMQC) spektrumu .....	38
Şekil 5.8. <i>N</i> -siyano-6,14- <i>endo</i> -Eteno-7 $\alpha$ -metoksikarbonil-6,7,8,14-tetrahidrotrebain bileşiğinin FT-IR spektrumu .....	40
Şekil 5.9. <i>N</i> -siyano-6,14- <i>endo</i> -Eteno-7 $\alpha$ -metoksikarbonil-6,7,8,14-tetrahidrotrebain bileşiğinin $^1\text{H}$ -NMR spektrumu .....	41
Şekil 5.10. <i>N</i> -siyano-6,14- <i>endo</i> -Eteno-7 $\alpha$ -metoksikarbonil-6,7,8,14-tetrahidrotrebain bileşiğinin $^{13}\text{C}$ -APT spektrumu .....	41
Şekil 5.11. <i>N</i> -siyano-6,14- <i>endo</i> -Eteno-7 $\alpha$ -metoksikarbonil-6,7,8,14-tetrahidrotrebain bileşiğinin HR-MS spektrumu .....	42
Şekil 5.12. <i>N</i> -siyano-6,14- <i>endo</i> -Eteno-7 $\alpha$ -metoksikarbonil-6,7,8,14-tetrahidrotrebain bileşiğinin X-ray difraktometre cihazı ile yapılan kristal analizi ..	42
Şekil 5.13. <i>N</i> -1H-tetrazol-6,14- <i>endo</i> -Eteno-7 $\alpha$ -metoksikarbonil-6,7,8,14-tetrahidrotrebain bileşiğinin FT-IR spektrumu .....	44

Şekil	Sayfa
Şekil 5.14. <i>N</i> -1H-tetrazol-6,14- <i>endo</i> -Eteno-7 $\alpha$ -metoksikarbonil-6,7,8,14-tetrahidrotrebain bileşığının $^1\text{H}$ -NMR spektrumu .....	45
Şekil 5.15. <i>N</i> -1H-tetrazol-6,14- <i>endo</i> -Eteno-7 $\alpha$ -metoksikarbonil-6,7,8,14-tetrahidrotrebain bileşığının $^{13}\text{C}$ -APT spektrumu .....	45
Şekil 5.16. <i>N</i> -1H-tetrazol-6,14- <i>endo</i> -Eteno-7 $\alpha$ -metoksikarbonil-6,7,8,14-tetrahidrotrebain bileşığının HR-MS spektrumu .....	46
Şekil 5.17. 7 $\alpha$ -(Hidrazinokarbonil)-6,14- <i>endo</i> -Eteno-7 $\alpha$ -metoksikarbonil-6,7,8,14-tetrahidrotrebain bileşığının FT-IR spektrumu .....	48
Şekil 5.18. 7 $\alpha$ -(Hidrazinokarbonil)-6,14- <i>endo</i> -Eteno-7 $\alpha$ -metoksikarbonil-6,7,8,14-tetrahidrotrebain bileşığının $^1\text{H}$ -NMR spektrumu .....	49
Şekil 5.19. 7 $\alpha$ -(Hidrazinokarbonil)-6,14- <i>endo</i> -Eteno-7 $\alpha$ -metoksikarbonil-6,7,8,14-tetrahidrotrebain bileşığının $^{13}\text{C}$ -APT spektrumu .....	49
Şekil 5.20. 7 $\alpha$ -(Hidrazinokarbonil)-6,14- <i>endo</i> -Eteno-7 $\alpha$ -metoksikarbonil-6,7,8,14-tetrahidrotrebain bileşığının HR-MS spektrumu .....	50
Şekil 5.21. 1-[(6,14- <i>endo</i> -Eteno-6,7,8,14-tetrahidrotrebain-7 $\alpha$ -il)-karbonil]-2- <i>p</i> -metoksibenzoilhidrazin hidroklorür bileşığının FT-IR spektrumu .....	52
Şekil 5.22. 1-[(6,14- <i>endo</i> -Eteno-6,7,8,14-tetrahidrotrebain-7 $\alpha$ -il)-karbonil]-2- <i>p</i> - metoksibenzoilhidrazin hidroklorür bileşığının $^1\text{H}$ -NMR spektrumu .....	53
Şekil 5.23. 1-[(6,14- <i>endo</i> -Eteno-6,7,8,14-tetrahidrotrebain-7 $\alpha$ -il)-karbonil]-2- <i>p</i> - metoksibenzoilhidrazin hidroklorür bileşığının $^{13}\text{C}$ -APT spektrumu .....	53
Şekil 5.24. 1-[(6,14- <i>endo</i> -Eteno-6,7,8,14-tetrahidrotrebain-7 $\alpha$ -il)-karbonil]-2- <i>p</i> - metoksibenzoilhidrazin hidroklorür bileşığının COSY spektrumu .....	54
Şekil 5.25. 1-[(6,14- <i>endo</i> -Eteno-6,7,8,14-tetrahidrotrebain-7 $\alpha$ -il)-karbonil]-2- <i>p</i> - metoksibenzoilhidrazin hidroklorür bileşığının HR-MS spektrumu .....	54
Şekil 5.26. 2-(6,14- <i>endo</i> -Eteno-6,7,8,14-tetrahidrotrebain-7 $\alpha$ -il)-5- <i>p</i> -metoksifenil-1,3,4-oksadiazol bileşığının FT-IR spektrumu .....	60

Şekil	Sayfa
Şekil 5.27. 2-(6,14- <i>endo</i> -Eteno-6,7,8,14-tetrahidrotrebain -7 $\alpha$ -il)-5- <i>p</i> - metoksifenil-1,3,4-oksadiazol bileşiğinin $^1\text{H}$ -NMR spektrumu .....	61
Şekil 5.28. 2-(6,14- <i>endo</i> -Eteno-6,7,8,14-tetrahidrotrebain -7 $\alpha$ -il)-5- <i>p</i> - metoksifenil-1,3,4-oksadiazol bileşiğinin $^{13}\text{C}$ -APT spektrumu .....	61
Şekil 5.29. 2-(6,14- <i>endo</i> -Eteno-6,7,8,14-tetrahidrotrebain -7 $\alpha$ -il)-5- <i>p</i> -metoksifenil-1,3,4-oksadiazol bileşiğinin HR-MS spektrumu .....	62
Şekil 5.30. 2-( <i>N</i> -siyano-6,14- <i>endo</i> -Eteno-6,7,8,14-tetrahidro- tebain-7 $\alpha$ -il)-5- <i>p</i> -metoksifenil-1,3,4-oksadiazol bileşiğinin FT-IR spektrumu .....	68
Şekil 5.31. 2-( <i>N</i> -siyano-6,14- <i>endo</i> -Eteno-6,7,8,14-tetrahidro- tebain-7 $\alpha$ -il)-5- <i>p</i> -metoksifenil-1,3,4-oksadiazol bileşiğinin $^1\text{H}$ -NMR spektrumu .....	69
Şekil 5.32. 2-( <i>N</i> -siyano-6,14- <i>endo</i> -Eteno-6,7,8,14-tetrahidro- tebain-7 $\alpha$ -il)-5- <i>p</i> -metoksifenil-1,3,4-oksadiazol bileşiğinin $^{13}\text{C}$ -APT spektrumu .....	69
Şekil 5.33. 2-( <i>N</i> -siyano-6,14- <i>endo</i> -Eteno-6,7,8,14-tetrahidro- tebain-7 $\alpha$ -il)-5- <i>p</i> -metoksifenil-1,3,4-oksadiazol bileşiğinin HR-MS spektrumu .....	70
Şekil 5.34. 2-( <i>N</i> -siyano-6,14- <i>endo</i> -Eteno-6,7,8,14-tetrahidro- tebain-7 $\alpha$ -il)-5- <i>p</i> -metoksifenil-1,3,4-oksadiazol bileşiğinin COSY spektrumu .....	70
Şekil 5.35. 2-[( <i>N</i> -(1 <i>H</i> -Tetrazol)-6,14- <i>endo</i> -Eteno-6,7,8,14- tetrahidrotrebain-7 $\alpha$ -il)-5- <i>p</i> -metoksifenil-1,3,4-oksadiazol bileşiğinin FT-IR spektrumu .....	76
Şekil 5.36. 2-[( <i>N</i> -(1 <i>H</i> -Tetrazol)-6,14- <i>endo</i> -Eteno-6,7,8,14- tetrahidrotrebain-7 $\alpha$ -il)-5- <i>p</i> -metoksifenil-1,3,4-oksadiazol bileşiğinin $^1\text{H}$ -NMR spektrumu .....	77
Şekil 5.37. 2-[( <i>N</i> -(1 <i>H</i> -Tetrazol)-6,14- <i>endo</i> -Eteno-6,7,8,14- tetrahidrotrebain-7 $\alpha$ -il)-5- <i>p</i> -metoksifenil-1,3,4-oksadiazol bileşiğinin $^{13}\text{C}$ -APT spektrumu .....	77

<b>Şekil</b>	<b>Sayfa</b>
Şekil 5.38. 2-[ <i>(N</i> -(1 <i>H</i> -Tetrazol)-6,14- <i>endo</i> -Eteno-6,7,8,14-tetrahidrotrebain-7 <i>α</i> -il)-5- <i>p</i> -metoksifenil-1,3,4-oksadiazol bileşığının HR-MS spektrumu .....	78
Şekil 5.39. 2-[ <i>(N</i> -(1 <i>H</i> -Tetrazol)-6,14- <i>endo</i> -Eteno-6,7,8,14-tetrahidrotrebain-7 <i>α</i> -il)-5- <i>p</i> -metoksifenil-1,3,4-oksadiazol bileşığının COSY spektrumu .....	78

## **SİMGELER VE KISALTMALAR**

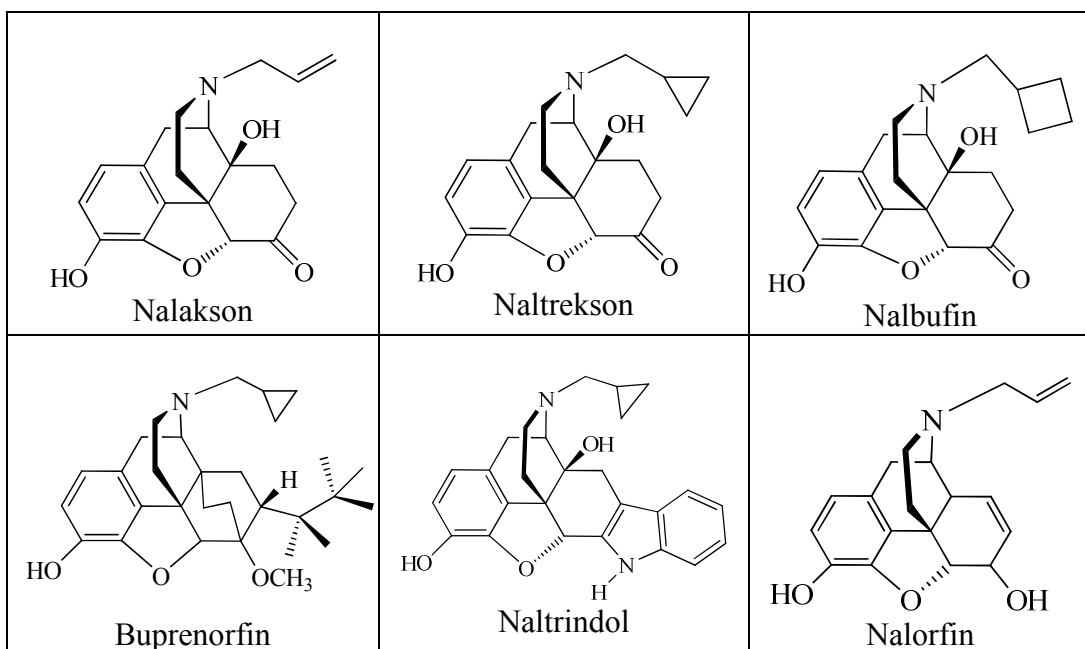
Bu çalışmada kullanılmış bazı simgeler ve kısaltmalar, açıklamaları ile birlikte aşağıda sunulmuştur.

<b>Simgeler</b>	<b>Açıklama</b>
$\delta$	Kimyasal kayma
<b>Kısaltmalar</b>	<b>Açıklama</b>
$^1\text{H-NMR}$	$^1\text{H}$ Nükleer Magnetik Rezonans Spektroskopisi
FT-IR	Fourier Transform Infrared Spektroskopisi
DMSO- <i>d</i> 6	Döterodimetil sülfoksit
HR-MS	Yüksek Çözünürlüklü Kütle Spektrometresi

## 1. GİRİŞ

Haşhaş bitkisinden (*Papaver Somniferum L.*) elde edilen doğal alkaloitlere ve bunların yarı sentetik türevlerine “*opioit*” adı verilmektedir. Opioitler, genellikle narkotik analjezik ve anestezik etkiye sahip olan, opioit reseptörlerine bağlanarak agonist veya antagonist etki gösteren ilaçları tanımlamak için kullanılır [1-5]. Opioitlerin yapısında bulunan azot atomu ve bu atoma bağlı metil grubu bileşiğin farmakolojik etkinlikleri üzerinde önemli bir etkiye sahiptir [6]. *N*-metil grupları alkaloitin doğal sentezinde oluşmakta ve metil grubunun tamamen çıkarılması ya da başka bir grupta yer değiştirmesi ile yeni özelliklere sahip birçok bileşik sentezlenmiştir. Örneğin antagonist etki gösteren nalorfin, naltrekson ve nalbufin ile hem agonist hem de antagonist etki gösteren buprenorfin azot atomuna bağlı metil grubunun yerine başka grupların geçmesi ile oluşan yarı sentetik opioitlerdir [7].

Çizelge 1.1. Azot atomuna bağlı metil grubunun yerine farklı grupların geçmesiyle oluşturulan bazı opioitler



Bu tez konusu kapsamında seçilen tebain bileşiği de izokinolin grubu bir morfin alkaloiti olup *N*-metil grubu içermektedir.

## 2. GENEL BİLGİLER

### 2.1. Alkaloitlerin Tanımı ve Sınıflandırılması

Alkaloitler, bitkilerden elde edilen, kuvvetli fizyolojik etkinlik gösteren, halka içinde bir veya daha fazla azot atomu taşıyan, kuvvetli veya zayıf bazik özellik gösteren maddelerdir. Alkaloitler birincil, ikincil, üçüncü bazlar şeklinde veya kuaterner amonyum hidratları halinde bulunurlar. Alkaloitler yapılarına göre;

- 1- Heterosiklik alkaloitler
- 2- Azot atomunun halka dışında olduğu alkaloitler
- 3- Putreskin, spermidin ve spermin alkaloitleri
- 4- Peptit alkaloitleri
- 5- Streoit alkaloitleri
- 6- Terpen alkaloitleri

şeklinde sınıflandırılırlar.

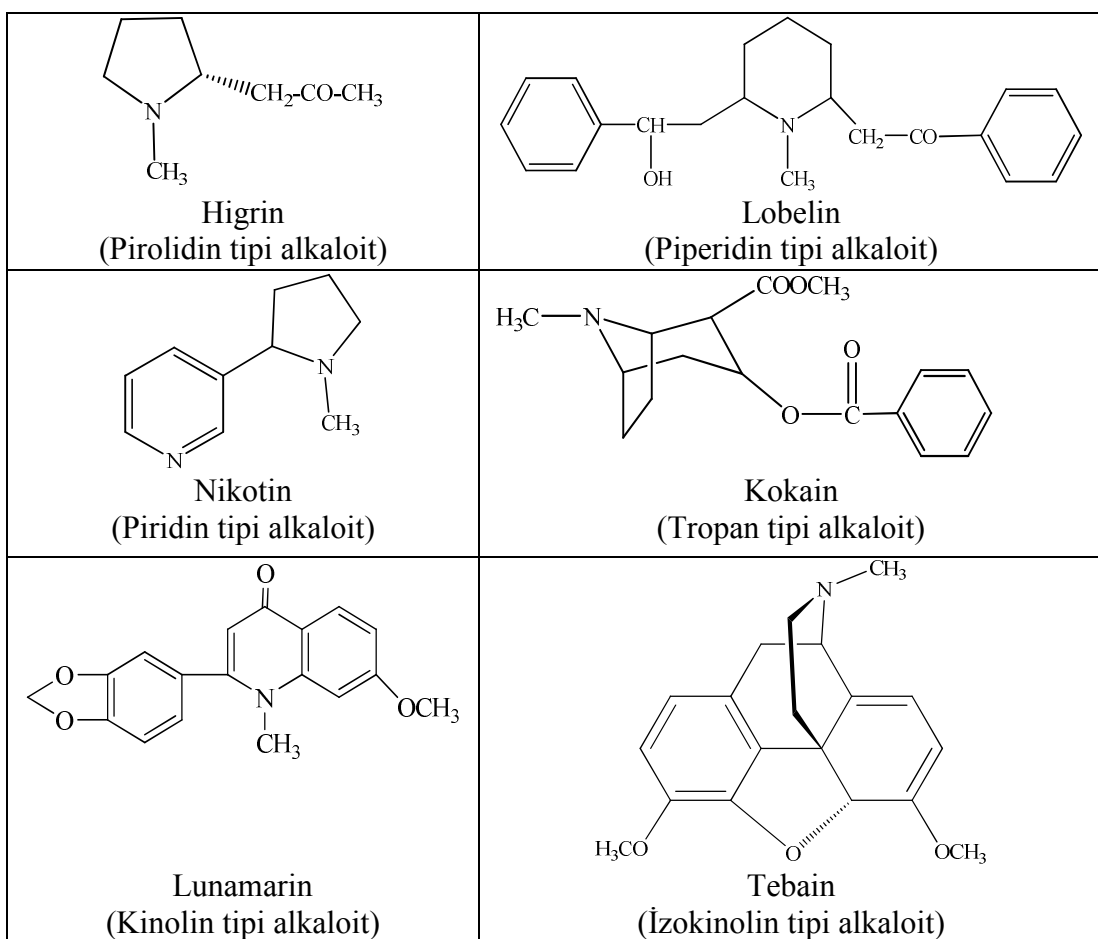
Heterosiklik alkaloitler, bu sınıflandırmanın en geniş üyesini oluşturmaktadır, halkalı yapı içerisinde azot atomu bulundururlar. Beş üyeli halkalarda bir azot atomu bulunurken daha geniş halkalarda ise birden fazla azot atomu bulunabilmektedir. Heterosiklik alkaloitler aşağıda belirtildiği şekilde başlıca 11 grupta incelenebilir.

- 1- Pirolidin
- 2- İndol
- 3- Piperidin
- 4- Piridin
- 5- Tropan ve türevleri
- 6- Histamin, imidazol ve guanidin
- 7- Izokinolin
- 8- Kinolin
- 9- Akridin

## 10- Kinazolin

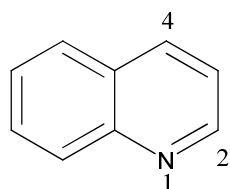
## 11- İzidin alkaloitleri

Heterosiklik alkaloitlerin birçoğu yapılarında *N*-metil grubu içermektedirler[8]. Çizelge 2.1.'de *N*-metil grubu içeren bazı heterosiklik alkaloitlere örnekler verilmiştir.

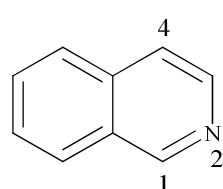
Çizelge 2.1 *N*-Metil grubu içeren bazı heterosiklik alkaloitler

Morfin, kodein ve tebain gibi önemli haşhaş alkaloitleri izokinolin grubu alkaloitlerdir. Bu gruba ait alkaloitlerin sayısı yaklaşık olarak 700 civarındadır. Bu alkaloitlerin çoğu bitkisel kaynaklıdır [9].

Piridin halkasının benzen halkasıyla kondensasyonundan benzopiridin (kinolin) halkası oluşur. Azot atomu benzen halkasına  $\beta$  (2) konumundan bağlanırsa izokinolin yapısı meydana gelir. Kinolin ve izokinolin birbirinin yapı izomeridir.



Kinolin



İzokinolin

### 2.1.1. Haşhaş alkaloitleri

Haşhaşa yaklaşık 30 çeşit alkaloit bulunmaktadır. Bu alkaloitler aşağıdaki şekilde sınıflandırılabilir [10].

- Benzil izokinolin alkaloitleri
- Morfinyan (fenantren) alkaloitleri
- Tetrahidroizokinolin alkaloitleri
- Aporfin alkaloitleri
- Promorfinyan alkaloitleri
- Protoberberin alkaloitleri
- Protopin alkaloitleri
- Ftalidizo kinolin alkaloitleri

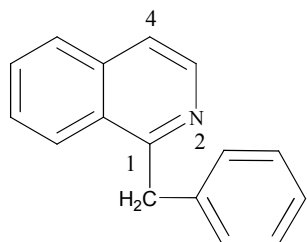
Haşhaşa miktar bakımından en fazla bulunan alkaloitler morfinyan alkaloitleri ve benzilizokinolin alkaloitleridir. “Ham afyon”daki bazı alkaloitlerin bulunduğu yüzdeleri Çizelge 2.2.’ de verilmiştir.

Çizelge 2.2. Haşhaştaki bazı alkaloitlerin bulunma yüzdeleri

Morfin	% 0,4-9,0
Kodein	% 0,2-0,3
Tebain	% 0,2-2,5
Papaverin	% 0,1-0,8
Noskapin	% 0,3-5,0

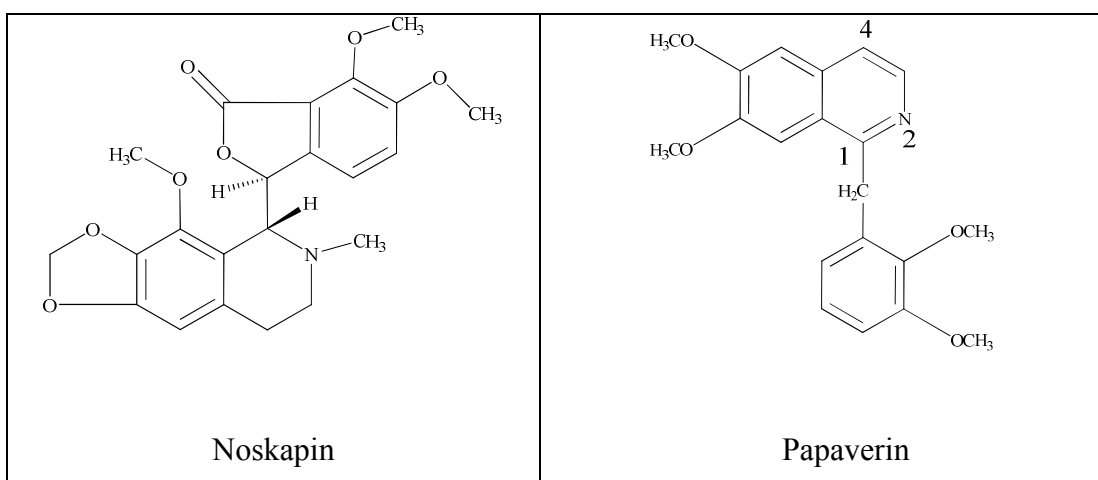
#### Benzilizokinolin grubu haşhaş alkaloitleri

İzokinolin yapısının 1 nolu karbonuna bir benzil grubunun bağlanmasıyla benzilizokinolin yapısı oluşur. Haşhaş alkaloitleri olan papaverin ve noskapin de bu alt grupta yer almaktadır.



Benzilizokinolin yapısı

Çizelge 2.3. Benzilizokinolin grubu haşhaş alkaloitleri

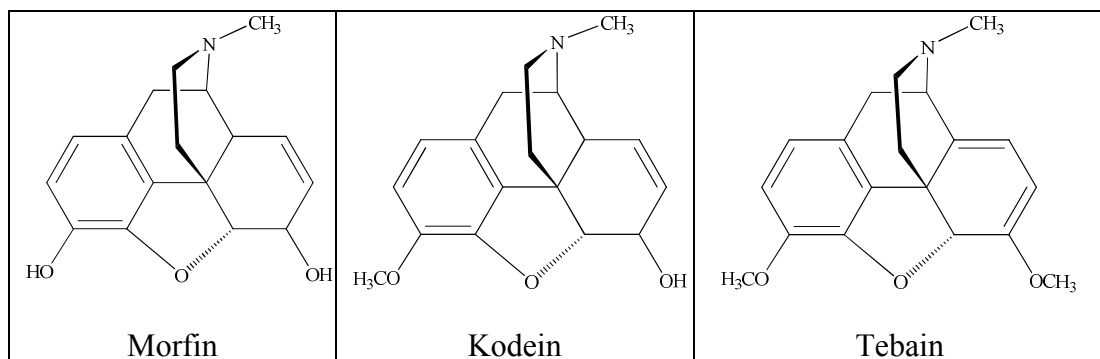


Benzilizokinolin grubu alkaloitlerinin analjezik etkisi yoktur. Aynı zamanda bağımlılık yapmazlar ve bağımlılığa yol açan maddelere kolaylıkla dönüştürülemezler.

#### Morfinyan grubu haşhaş alkaloitleri

Morfinyan grubu alkaloitlerin en önemlileri ve en çok kullanım alanına sahip olanları; morfin, kodein ve tebaindir. Morfin bir fenol, kodein ise bunun mono metil türevidir.

Çizelge 2.4. Morfinyan grubu haşhaş alkaloitleri



1803-1804 yıllarında Dersone ve Seugin adlı kimyagerler tarafından izole edilen ilk alkaloit morfindir. Haşhaş içerisinde miktarı en çok olan alkaloittir morfin. Merkezi sinir sistemi üzerindeki kuvvetli narkotik analjezik etkisinden dolayı şiddetli ağrıların giderilmesinde kullanılır. Kodeinin ise analjezik etkisi morfine göre daha azdır ve diğer analjeziklerin etkisini artırmada kullanılır [8]. Toksik etkisinden ötürü doğrudan tıbbi kullanımı olmayan tebainin ise yarı sentetik türevleri narkotik analjezik, antitüsif ve sedatif özellikleri sayesinde geniş bir kullanım alanına sahiptir [11].

### **2.1.2. Azot atomuna bağlı metil grubu yer değiştirilmiş bazı tebain türevi yarı sentetik opioitler ve özellikleri**

Tebain doğrudan ilaç olarak kullanılmazken yarı sentetik türevleri diğer opioitler gibi orta şiddette ya da şiddetli ağrının giderilmesi, öksürüğün baskılanması, diyare tedavisi, kalp yetmezliği sonucu gelişen akut pulmoner ödem tedavisi ve anestezi gibi birçok alanda kullanılabilmektedir. Hatta en iyi bilinen tebain türevlerinden biri olan etorfin morfinden yaklaşık bin kat daha fazla analjezik etkiye sahiptir [12]. Opioitlerin beyin, omurilik ve vücutun çeşitli organlarında bulunan ve opioit reseptörleri adı verilen protein yapısındaki algılayıcılar yolu ile etkili olduğu ortaya konmuştur [13]. Başlıca 5 tür opioit reseptörü vardır. Bu opioit reseptörleri şunlardır:

- Mü ( $\mu$ ) reseptörü: Supraspinal analjezi, solunum depresyonu, öfori ve fiziksel bağımlılıktan sorumludur.
- Kappa ( $\kappa$ ) reseptörü: Spinal analjezi, miyozis ve sedasyondan sorumludur.
- Sigma ( $\sigma$ ) reseptörü: Disfori ve halisünasyondan sorumludur. Ayrıca solunum ve vazomotor merkezi stimüle eder.
- Delta ( $\delta$ ) reseptörleri: Motor etkiler ve idrar retansiyonunda rolü olduğu düşünülmektedir.
- Epsilon ( $\epsilon$ ) reseptörleri: Hormonal etkilerden sorumlu tutulmaktadır.

Bir opiotin bu reseptörlere bağlanarak onu aktive etmesine agonist etki denirken, bir opiotin reseptöre bağlanarak onu etkisiz hale getirmesine antagonist etki denir. Bazı opiotler ise hem agonist hem de antagonist aktivite göstermektedir. Özellikle bazı yarı sentetik azot atomuna bağlı metil grubu değiştirilmiş tebain türevleri ise hem agonist hem de antagonist özellikleri sayesinde uyuşturucu bağımlılığı tedavisinde kullanılmaktadır [14]. Bu opioitler analjezik etkinlikten sorumlu reseptöre bağlanarak agonist etki gösterirken, bağımlılıktan sorumlu reseptörlere bağlanarak ise antagonist etki göstermektedirler.

Çizelge 2.5.'de bazı opioitlerin, opioit reseptörlerine karşı gösterdikleri etki verilmiştir. Çizelgede • ile işaretlenmiş olan bileşikler tebain kullanılarak

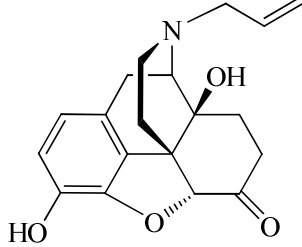
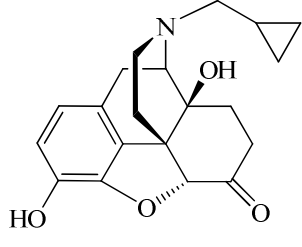
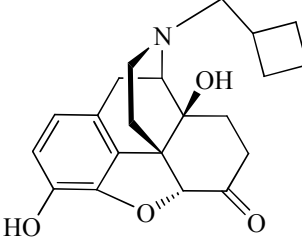
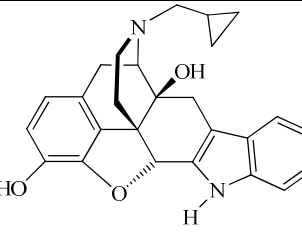
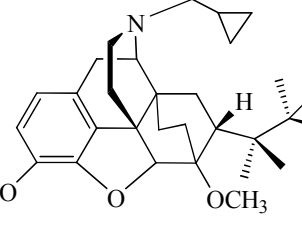
sentezlenen yarı sentetik opioitleri göstermektedir. ■ İle işaretlenmiş bileşikler hem tebain kullanılarak hem de azot atomuna bağlı metil grubunun farklı gruplar ile yer değiştirilmesi sonucunda sentezlenen yarı sentetik opioitleri göstermektedir.

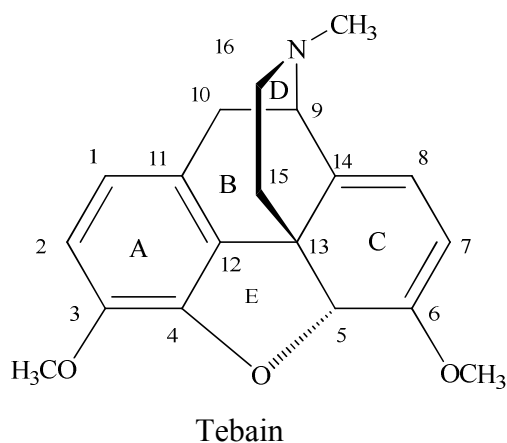
**Çizelge 2.5.** Bazı opioitlerin, opioit reseptörlerine karşı gösterdikleri etki şekline göre sınıflandırılması

<b>Agonist</b>	<b>Antagonist</b>	<b>Agonist-Antagonist</b>
<b>Doğal opioitler</b> Morfın Kodein	<b>Yarı sentetik opioitler</b> ■ Naloksan ■ Naltreksen ■ Naltrindol	<b>Yarı sentetik opioitler</b> ■ Nalbufin ■ Nalorfin ■ Buprenorfin ■ Diprenorfin Pentazosin Butorfanol Siklazosin Meptazinol Dezosin
<b>Yarı sentetik opioitler</b> ● Oksikodon ● Oksimorfon ● Etorfin Hidromorfon, Eroin,		
<b>Sentetik opioitler</b> Mepridin, Metadon, Fentanil, Sufentanil,		

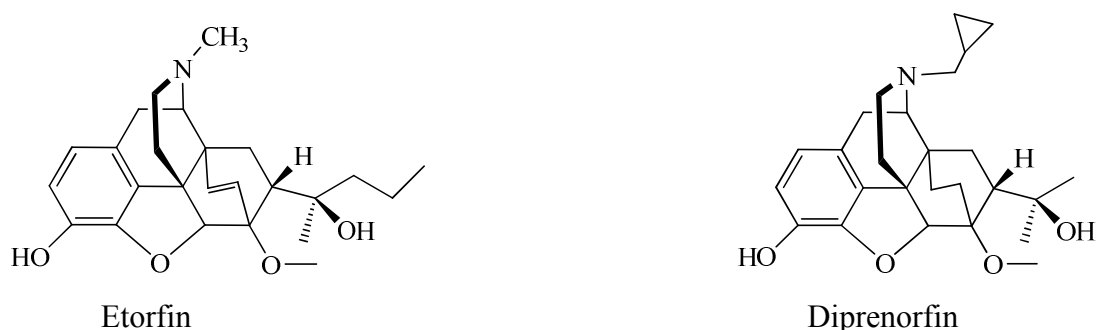
Tebain türevi yarı sentetik opioitlerin kullanımının yaygınlaşması ile tebain üretimi de önem kazanmıştır. Ülkemizde bu güne kadar ticari üretimi yapılmamış olan tebainin, Afyon Alkaloitleri Fabrikasında ticari olarak üretilmesi ile ilgili çalışmalar yapılmaktadır. Çizelge 2.6'da ticari olarak üretilen ve tipta kullanım alanı bulmuş azot atomuna bağlı metil grubu değiştirilmiş bazı tebain türevi yarı sentetik opiotler ve özellikleri verilmiştir [14-18].

Çizelge 2.6. Azot atomuna bağlı metil grubu değiştirilmiş bazı tebain türevi yarı sentetik opiotler ve özellikleri.

 <p>Nalakson</p>	<p>Opioit aşırı dozunun neden olduğu solunum depresyonu ve koma tedavisinde kullanılır.</p> <p>Solunum deprasan ve analjezik etkiyi aynı anda kaldırır.</p> <p>Etkisini 30 s de gösterir ve 1-4 saat arasında sürer.</p>
 <p>Naltrekson</p>	<p>Uzun bir etkileme süresi olan spesifik bir opioit antagonistidir.</p> <p>Opioit bağımlılığının nüksetmesini önlemede yardımcı olarak kullanılır.</p>
 <p>Nalbufin</p>	<p>Opioide bağlı olmuş solunum depresyonunu <math>\mu</math> reseptör antagonizmi ile düzeltir.</p> <p>Seçici kappa agonisti olması ile de analjezi sağlar.</p>
 <p>Naltrindol</p>	<p><math>\delta</math> seçici opioit antagonistidir</p> <p>Etkisini 30 s de gösterir ve etkisi 1-4 saat arasında sürer.</p> <p>Morfinden yaklaşık 5 kat daha fazla analjezik etkiye sahiptir.</p>
 <p>Buprenorfin</p>	<p><math>\mu</math> opioid reseptörüdür.</p> <p>Uyuşturucu bağımlılığı tedavisinde kullanılır.</p> <p>Tek başına veya naloksanla kombinasyon halinde kullanılmaktadır.</p>

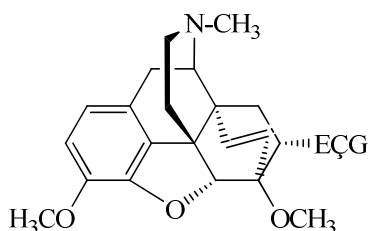


Tebain bileşiği yapısındaki konjuge dien sistemi sayesinde çeşitli dienofillerle kolaylıkla Diels-Alder katılma tepkimesi vermektedir. Katılma sonucunda 6 ve 14 nolu karbonlar arasında yeni iki karbonlu 6,14-*endo*-eteno köprüsü meydana gelirken, 7 nolu carbonda da yeni bir nükleofilik merkez oluşmaktadır. Daha sonra bu katılma ürünü üzerinde veya hem katılma ürünü hem de azot atomuna bağlı metil grubu üzerinde yapılan değişiklerle tebainin toksik özelliği azalırken, analjezik etkinliği yüksek yarı sentetik türevlerinin sentezi de gerçekleştirilmiştir. Etorfin ve diprenorfin bilinen en iyi örneklerdir [7, 19-21].

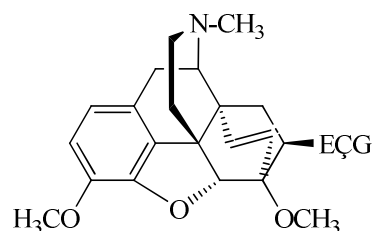


Tebainin dienofiller ile katılma reaksiyonu her zaman *endo* katılma şeklinde olmaktadır. Yani katılma azot içeren altılı halkanın olduğu üst taraftan gerçekleşmektedir. Tebainin rıjit konkav sisteminin sterik etkisi nedeniyle altta kalan diğer yüzeyden katılma gerçekleşmemektedir [22].

Simetrik olmayan, alkil vinil ketonlar, akrilatlar ve akrilonitril gibi dienofillerin tebaine katılması sonucunda C-7 konumundan sübstitüe ürünler oluşurken C-8 konumundan sübstitüe katılma ürünü oluşmamaktadır. Ayrıca bu katılma genellikle stereoseçimli olarak gerçekleştiğinden ana ürün  $7\alpha$ -sübstitüe izomer olurken az miktarda da  $7\beta$ -sübstitüe izomer oluşmaktadır [23].



$7\alpha$ -sübstitüe katılma ürünü

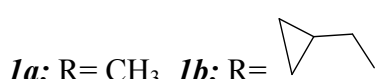
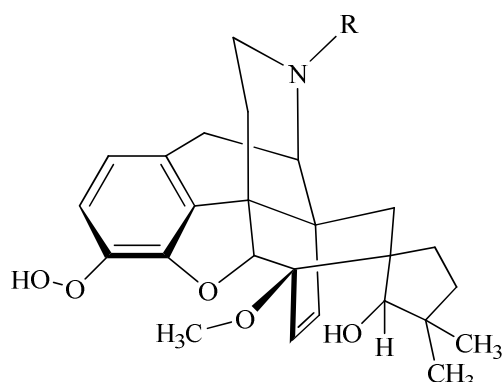


$7\beta$ -sübstitüe katılma ürünü

ECG: Elektron çeken grup

Yapılan araştırmalar göstermiştir ki biyolojik aktiflik gösteren opiotler yapılarında 6,14-*endo*-eteno köprüsü ve C-7 $\alpha$  konumunda lipofilik yapı içermektedirler [24]. Biyolojik aktifliği etkileyen bir diğer etken de azot atomuna bağlı grupların yapısıdır. *N*-metil grubunun, *N*-metilsiklopropil, *N*-metilsiklobütil veya *N*-allil gruplarına dönüştürülmesi ile antagonist özellik gösteren opiotler sentezlenebilmektedir [25].

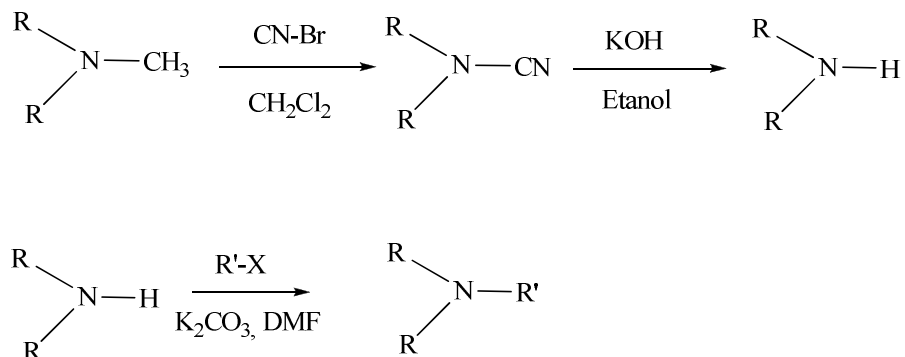
Husbans ve arkadaşı Lewis sentezledikleri buprenorfinin 7,7-bisiklo grupları içeren bileşiklerde, azot atomuna bağlı metil grubunun yerine metilsiklopropil grubunu takmışlardır. Sentezlenen bu bileşiklerin çeşitli opioit reseptörlerine karşı, seçici olarak etki gösterdiklerini belirlemiştir.



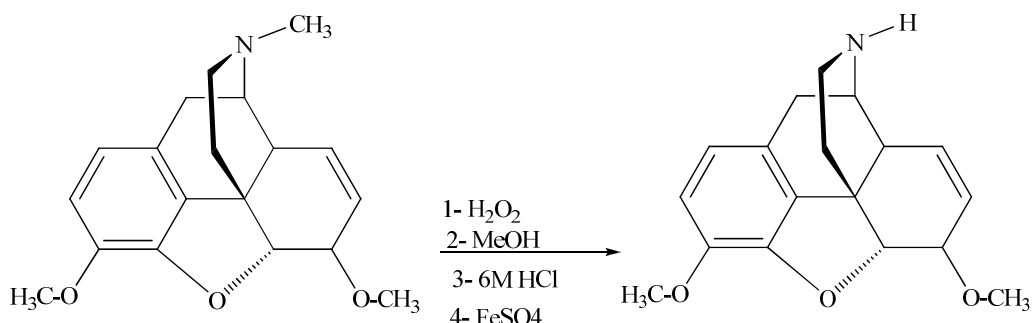
Husband ve Lewis'in araştırma sonuçlarına göre; *1a* bileşiği (azot atomunda metil grubu varken)  $\mu$ ,  $\delta$ ,  $\kappa$  reseptörlerine karşı kuvvetli agonist etki göstermektedir. Fakat bu bileşik *1b* (azot atomunda metilsiklopropil grubu varken) türevine dönüştürüldüğünde, *1a* ya göre  $\mu$  reseptörlerine karşı etkinliğinin azaldığını  $\delta$  ve  $\kappa$  reseptörlerine karşı da etkinliğinin büyük oranda arttığını belirlemiştir [14].

### 2.1.3. Azot atomuna bağlı metil grubunun çıkarılması ve yer değiştirilmesi için yöntemler

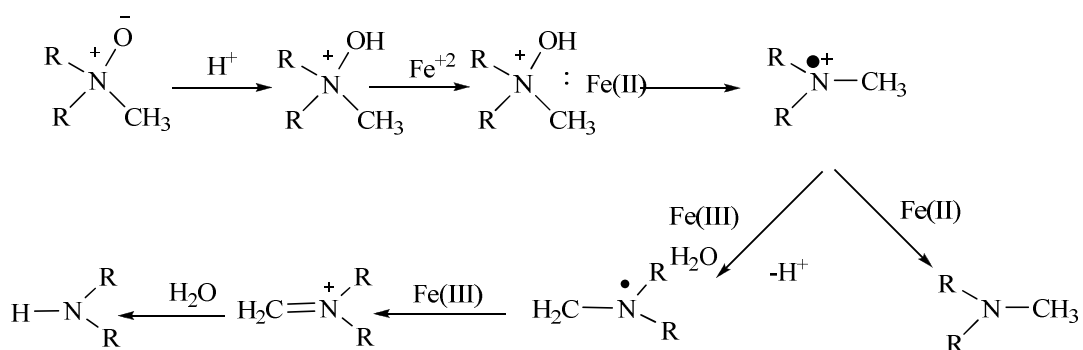
Azot atomuna bağlı metil grubunun çıkarılması için en çok kullanılan yöntem CNBr kullanılarak yapılan Von Braun reaksiyonudur [26]. N-Metil grubu CNBr ile geri soğutucu altında diklormetan içerisinde kaynatılarak N-CN türevine dönüştürülür. Daha sonra elde edilen bileşliğin KOH ile bazik hidrolizinden ikincil amin elde edilir. Elde edilen ikincil amin alkil halojenürler ile K<sub>2</sub>CO<sub>3</sub> varlığında dimetilformamit içerisinde geri soğutucu altında kaynatılarak istenilen N-alkil, N-allil ya da N-aryl türevleri elde edilir.



2003 yılında Mc Camley ve arkadaşları azot atomuna bağlı metil grubunu Von Braun reaksiyonuna göre daha yüksek verimle *N*-H grubuna dönüştürmeyi başarmışlardır [7].

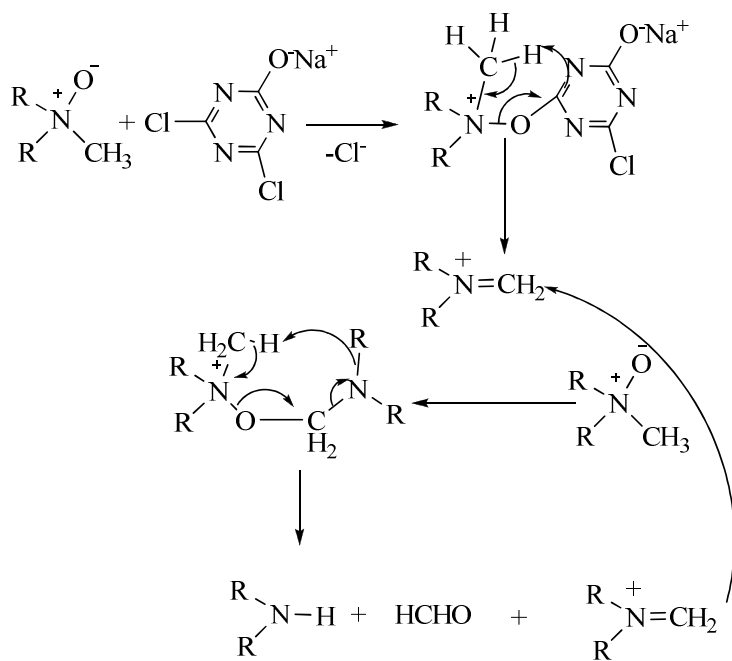


McCamley ve arkadaşlarına göre reaksiyonun olası mekanizması şu şekildedir.

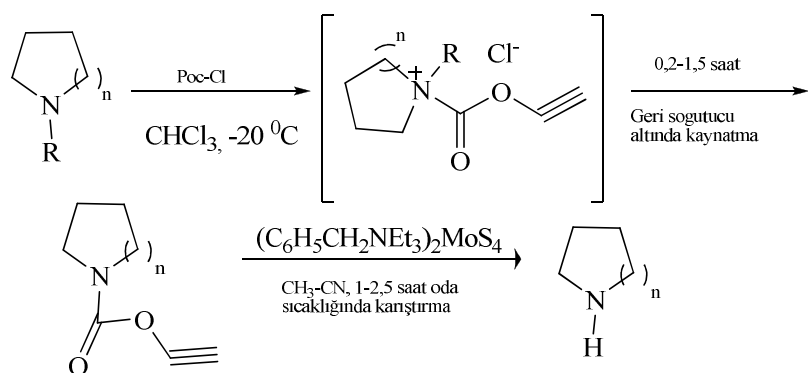


Rosenau ve arkadaşları 4,6-dikloro-2-hidroksi-[1,3,5]-triazin kullanarak. Azot atomuna bağlı metil grubunu kolon yardımıyla *N*-H grubuna dönüştürmeyi

başarılılardır [27]. Rosenau ve arkadaşlarının önerdiği muhtemel mekanizma da aşağıdaki gibidir.



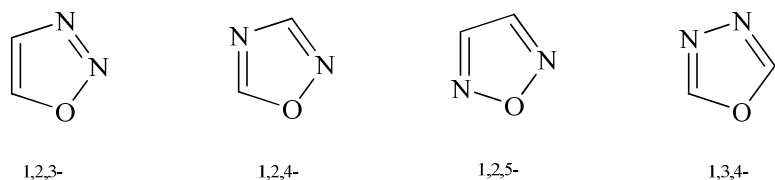
Bhat ve çalışma arkadaşları üçüncülük aminleri, ikinci aminlere yüksek verimle dönüştürmeyi sağlayacak bir yöntem bulmuşlardır [28]. Proparjil klorokloroformat kullanarak ılıman koşullarda halkalı üçüncülük aminleri, ikinci aminlere dönüştürümuşlardır.



$n=1, 2$ ;  $\text{R} = \text{Metil, izopropil, benzil, alil}$ ;  $\text{Poc-Cl} = \text{Proparjilkloroformat}$

## 2.2. 1,3,4-Oksadiazol Bileşiklerinin Genel Yapısı

Bir oksijen ve iki azot atomu içeren beş üyeli heterohalkalı aromatik bileşiklere oksadiazoller denilmektedir. Bu bileşiklerin dört ayrı izomer şekli vardır.

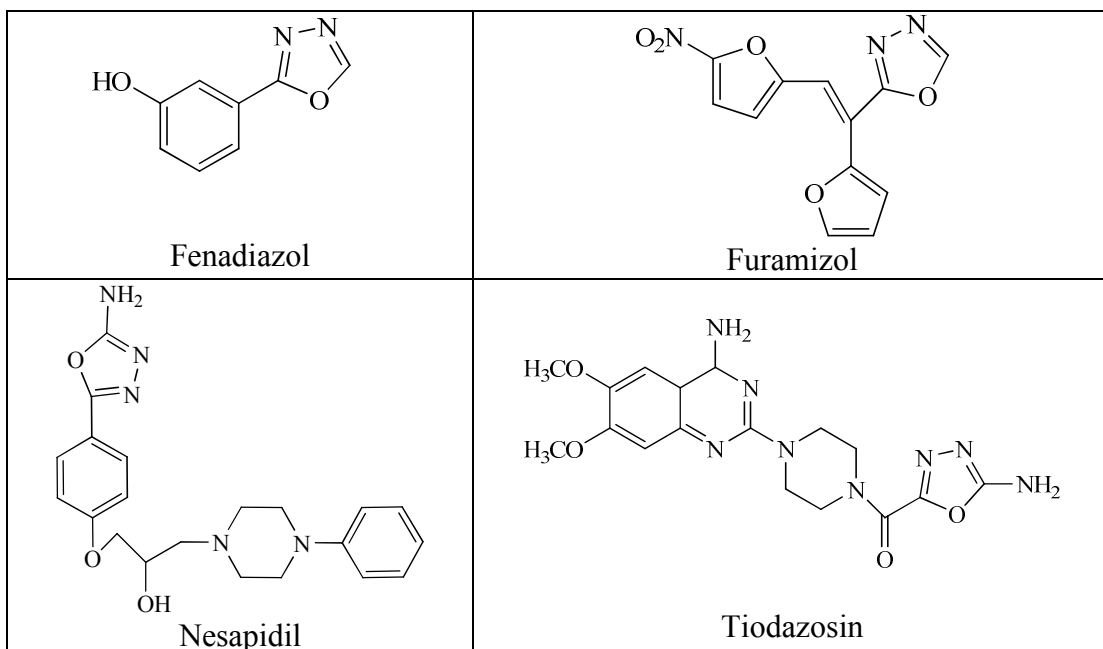


Bu izomerler içerisinde özellikle 1,3,4- izomerleri diğerlerine göre sahip oldukları farmakolojik ve biyolojik etkinliklerinden dolayı kapsamlı bir şekilde araştırılmışlardır. Yapılan çalışmalarda 1,3,4-oksadiazol halkası içeren bileşiklerin antibakteriyel, antimikroiyal, antifungal, analjezik, antioksidant, anti-inflamatuar, gibi önemli özelliklere sahip olduğu belirtilmektedir [29-32].

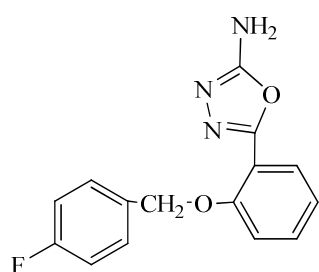
### 2.2.1. 1,3,4-Oksadiazollerin özellikleri ve genel sentez yöntemleri

1,3,4-Oksadiazollerin hidrojen bağı yapabilme yetenekleri ve hem karboksilikasitlerin hem de esterlerin biyolojik eşdeğeri olmaları bu bileşiklerin özellikle tıbbi kimyada ilgi odağı olmasını sağlamıştır [33]. Örneğin Fenandiazol uykuya bozuklukları ve sinir gerginliği durumlarının tedavisinde kullanılırken, Furamizol bileşiği de antibiyotik olarak kullanılmaktadır. Tiodazosin ve Nesapidil ise hipertansiyon tedavisinde için kullanılan önemli 1,3,4-oksadiazol türevi ilaçlardır [34-36].

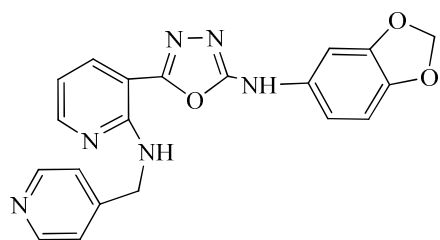
Çizelge 2.7. Bazı önemli 1,3,4-oksadiazol türevi ilaçlar.



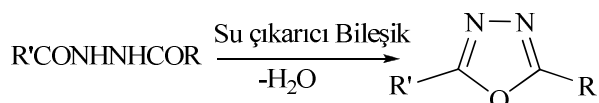
Zarghi ve arkadaşları 2005 yılında bir seri 2-sübstitüe-5-(2-benzilosifenil)-1,3,4-oksadiazol yapısındaki bileşikler sentezleyerek antikonvülsan etkilerini inceleyip, aşağıda formülü verilen bileşliğin en yüksek aktiviteyi gösterdiğini bulmuşlardır [37].



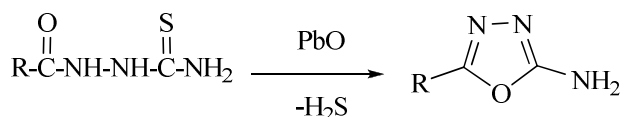
Ouyang ve arkadaşları 2006 yılında antimitotik etkili olacağını düşündükleri bir seri oksadiazol türevi sentezlemişler, yapı-etki ilişkisini araştırmışlar ve aşağıda formülü verilen bileşliğin tümör hücrelerinde tubulin polimerizasyonunu engelleyip mitozu durdurarak en yüksek etkiyi gösterdiğini bildirmiştir [38].



Oksadiazollerin sentezinde yöntem olarak genellikle N,N'-diaçil hidrazinlerin su çıkarıcı bir reaktif ile ısıtıması sonucunda molekülden 1 mol su çıkararak halkalaşma tepkimesi gerçekleşmektedir. Bu tepkimelerde genellikle H<sub>2</sub>SO<sub>4</sub>, H<sub>3</sub>PO<sub>4</sub>, POCl<sub>3</sub>, P<sub>2</sub>O<sub>5</sub> ve SOCl<sub>2</sub> su çıkarıcı reaktif olarak kullanılmaktadır [39].

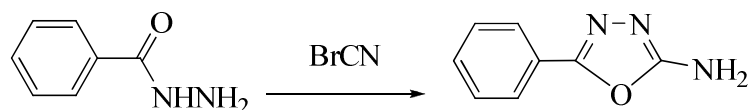


Oksadiazol halkası içeren bileşiklerin sentezi için bir başka yöntem de 1929 yılında Stolle ve çalışma arkadaşı Fehrenbach tarafından geliştirilmiştir. Geliştirilen bu yönteme göre; 1-açılıtyosemikarbazitler kursun oksit ile etkileşip hidrojen sülfür açığa çıkararak 2-amino-5-sübstitüe-1,3,4-oksadiazol yapısındaki bileşikleri vermektedir [40].



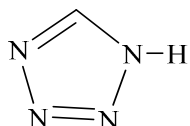
R=Alkil ya da aril

Bilinen bir başka yöntem ise Swain'in patentini aldığı 1-benzoilhidrazin ve siyanojen bromürün oksidatif halkalaşma tepkimesi ile 2-amino-5-fenil-1,3,4-oksadiazol yapısını verdikleri yöntemdir [41].



### 2.3. Tetrazollerin Genel Yapısı

Tetrazoller, bir karbon atomu ve dört azot atomundan oluşmuş 5 üyeli aromatik halkalardır.

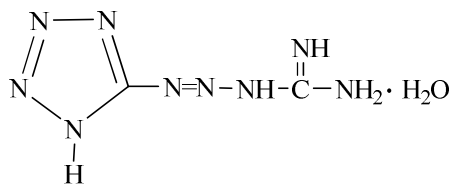


Tetrazol suda ve alkolde kolayca çözünürken eter ve benzende az çözünür. Tetrazol, içerdiği üç tane tersiyer azot atomunun indüktif olarak elektron çekmelerinden ötürü, zayıf asidik özellik gösterir ( $pK_a=4,76$ ) ve asitliği asetik asitinkine yakındır [42].

#### 2.3.1. Tetrazollerin özellikleri ve genel sentez yöntemleri

Tetrazol bileşikleri; karboksilik asit gruplarının biyolojik eşlenigidir ve karboksilik asitlerden de daha kararlıdır. Tetrazol bileşikleri ile ilgili çalışmaların bu kadar fazla olması bu bileşiklerin tıbbi kimya alanında, malzeme biliminde ve patlayıcı endüstrisinde çok fazla miktarda kullanılmasıdır [43-46].

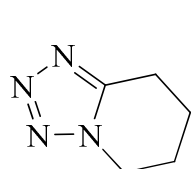
Örneğin ateşleme bileşeni olarak kullanılan tetrasen, yapısında tetrazol halkası içeren ve patlayıcı endüstrisinde kullanılan bir tetrazol türevi bileşiktir [42].



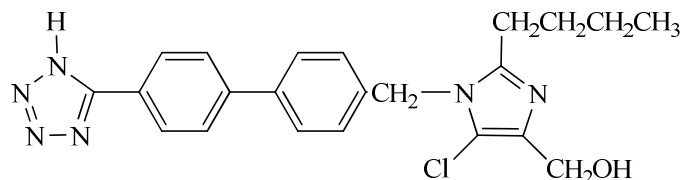
Tetrasen

Kardizol ve losartan bileşikleri de tıbbi alanda kullanılan tetrazol türevi bileşiklerdir. Kardizol'ün, merkezi sinir sistemine uyarıcı etkisi vardır ve barbitüratların yüksek dozundan kaynaklanan zehirlenmelerin giderilmesinde kullanılır. Losartan ise 90 l

yıllarda hipertansiyon tedavisinde kullanılmaya başlanan bifenil tetrazol yapısı içeren bir ilaçtır [47-48].



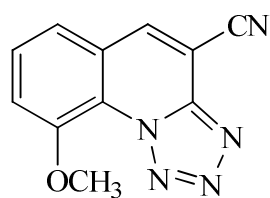
Kardizol



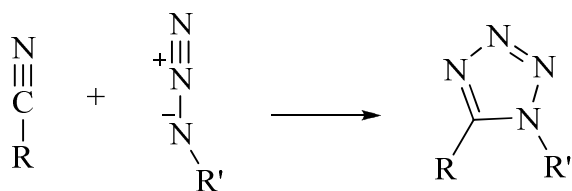
Losartan

Tetrazol bileşiklerinin monoksamin oksidaz enzimini inhibe ettikleri, antiviral ve anti bakteriyal aktivite gösterdikleri, angiotensin II ve GABA<sub>A</sub> reseptörlerinin antagonist olduğu yapılan çalışmalarla belirlenmiştir [49-52].

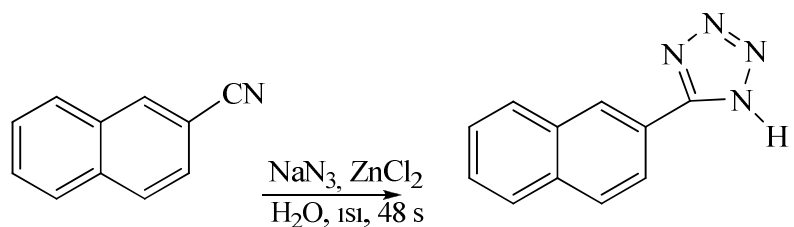
2010 yılında Kategaonkar ve çalışma arkadaşları bir seri yeni tetrazol[1,5-a]-kinolin-4-karbonitril türevi sentezleyip, bu bileşiklerin biyolojik aktifliklerini incelediler. Sentezledikleri bileşiklerin (özellikle de aşağıdaki türevin) biyolojik aktifliğinin karşılaştırma yaptıkları referans maddesi Streptomisin antibiyotiğinden daha fazla aktiflik gösterdiğini yayınladılar [53].



Organik azürlerin, R-CN (nitril) yapısındaki bileşiklere [2+3] siklo katılmaları ile alkil tetrazoller oluşur [54].



Sharples ve çalışma arkadaşı Demko, 2001 yılında tetrazollerin sentezi için çevreci ama uzun süren bir yöntem bulmuşlardır [55].



### **3. ARAÇ-GEREÇ VE YÖNTEM**

#### **3.1. Araç ve Gereçler**

##### **3.1.1. Kullanılan kimyasal maddeler**

Tebain, Toprak Mahsulleri Ofisinden, metil akrilat, hidrazin hidrat (% 98 lik), benzoil klorür, *p*-floro benzoil klorür, *p*-kloro benzoil klorür, *p*-bromobenzoil klorür, *p*-metoksibenzoil klorür, benzen, etil asetat, etoksietanol, kloroform, toluen, etil alkol, metanol, dimetilformamit, DMSO-*d*<sub>6</sub>, petrol eteri, POCl<sub>3</sub>, NaN<sub>3</sub>, NH<sub>4</sub>Cl, CNBr, silika jel ( Merck 60 0.040-0.060 nm ), MgSO<sub>4</sub> (susuz) Merck ve Aldrich firmalarından temin edilmiştir.

Kullanılan kimyasal maddeler sentezler için yeterli saflıkta olduklarından daha ileri bir saflaştırma işlemi uygulanmamıştır.

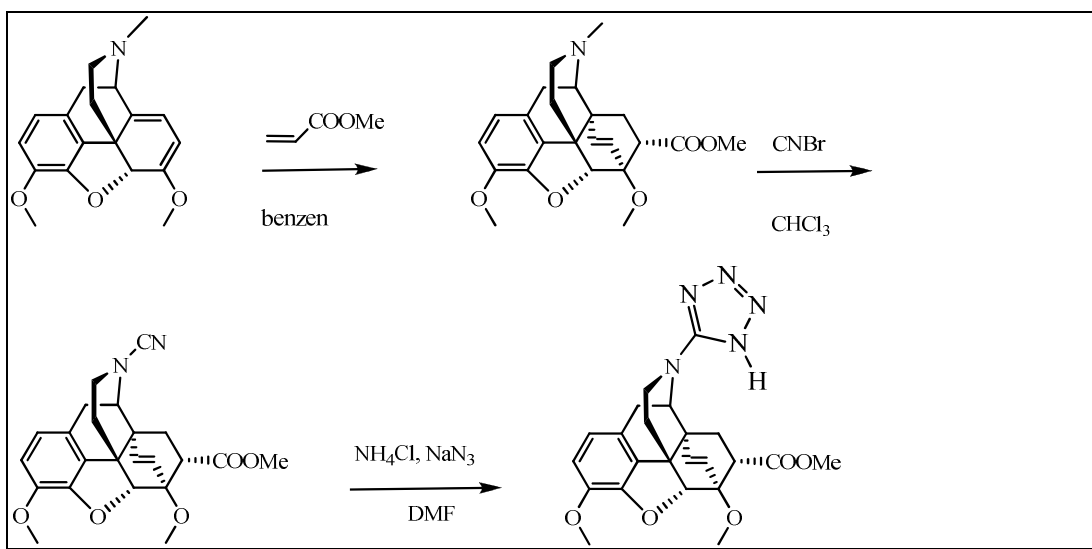
##### **3.1.2. Kullanılan cihazlar**

- a) <sup>1</sup>H-NMR, <sup>13</sup>C-APT ve 2D-NMR spektrumları Bruker 400 MHz NMR Spektrometresi ile Hacettepe Üniversitesi Fen Fakültesi Analiz Laboratuvarında alındı.
- b) FT-IR spektrumları Thermo Nicolat 6700 ATR cihazı ve Mattson-1000 FT-IR cihazı ile Gazi Üniversitesi Fen Edebiyat Fakültesinde alındı.
- c) Sentezlenen bileşiklerin erime noktaları Elektrotermal 9100 cihazıyla ölçüldü.
- d) Sentezlenen bileşiklerin HR-MS analizleri Gazi Üniversitesi Eczacılık Fakültesi Merkez Labaratuvarında Waters ACQUITY ultra performans Liquid kromotografî sistemi ile kombine Micromass LCT Premier <sup>TM</sup> XE TOF-MS ve elektrosprey iyonizasyon (ESI) yöntemi kullanılarak alındı.

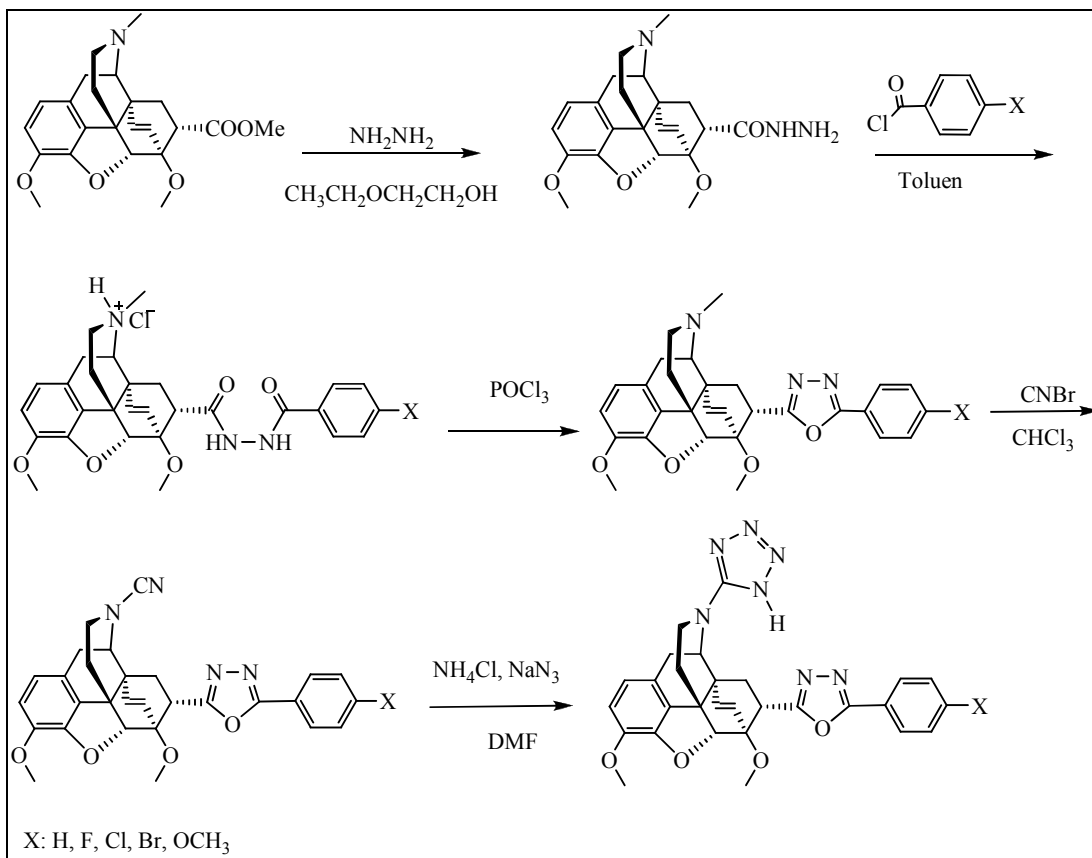
### **3.2. Yöntem**

Çalışmanın ilk aşamasında metil akrilat ve tebainin Diels-Alder katılma tepkimesi gerçekleştirılmıştır. Tepkime sonucunda iki farklı izomer oluşmaktadır. Bunlardan *6,14-endo-eteno-7 $\alpha$ -metoksikarbonil-6,7,8,14-tetrahidrotrebain* bileşigi daha yüksek verimle elde edilmiş, saflaştırılmış ve *N-siyano-6,14-endo-eteno-7 $\alpha$ -metoksikarbonil-6,7,8,14-tetrahidrotrebain* bileşigine dönüştürülmüştür. Daha sonra *N-siyano* türevinden, *N-1H-tetrazol-6,14-endo-eteno-7 $\alpha$ -metoksikarbonil-6,7,8,14-tetrahidrotrebain* bileşigi sentezlenmiştir. İkinci aşamada ise *6,14-endo-eteno-7 $\alpha$ -metoksikarbonil-6,7,8,14-tetrahidrotrebain* bileşigi C-7 konumundan türevlendirilmek üzere hidrazin hidratla etkileştirilerek *7 $\alpha$ -(hidrazinokarbonil)-6,14-endo-eteno-6,7,8,14-tetrahidrotrebain* bileşigi sentezlenmiştir. Bu bileşik ilk olarak benzoil klorür türevleriyle etkileştirilip, diaçil hidrazitler elde edilmiş, daha sonra da diaçil hidrazit türevlerinin  $\text{POCl}_3$  içerisinde halkalaşma tepkimelerinden 1,3,4-oksadiazoller elde edilmiştir. Oksadiazol bileşiklerinin CNBr ile tepkimesi sonucunda azot atomuna bağlı metil grubu siyanür grubu ile yer değiştirilmiştir. Bu basamakta sentezlenen *N-CN* türevleri kolon kromatografisi yöntemi ile saflaştırılmıştır. Çalışmanın son aşamada ise *N-CN* türevlerinden azot atomu üzerinde tetrazol halkası içeren bileşikler sentezlenmiştir. Elde edilen ürünlerin yapıları spektroskopik yöntemlerle aydınlatılmıştır.

Çalışmanın birinci ve ikinci aşamasında sentezlenen bileşiklerin tepkime denklemleri aşağıdaki gibidir.



Şekil 3.1. Birinci kısımda sentezlenen bileşiklerin tepkime denklemi

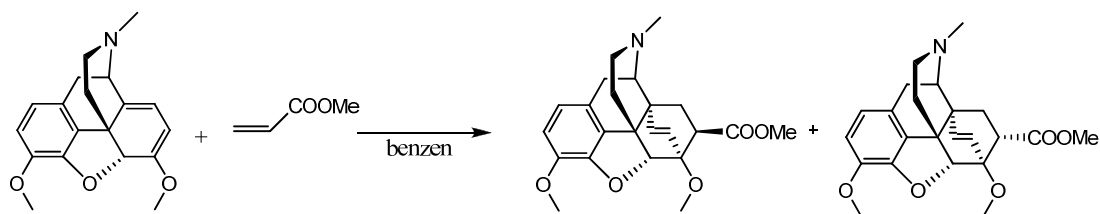


Şekil 3.2. İkinci kısımda sentezlenen bileşiklerin tepkime denklemi

#### 4. DENEYSEL KISIM

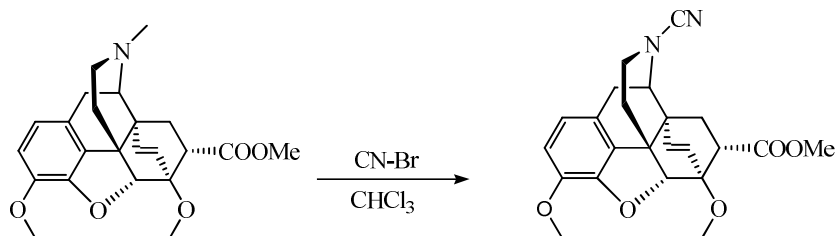
##### 4.1. 6,14-*endo*-Eteno-7*α*-metoksikarbonil-6,7,8,14-tetrahidrotrebain Bileşinin Sentezi

9,34 g (30 mmol) tebain ve 2,75 g (32 mmol) metil akrilat 10 mL benzende çözüldü. Azot atmosferinde geri soğutucu altında kaynatıldı. Tepkimenin ilerleyışı İTK ile kontrol edildi. Daha sonra çözücüsü döner buharlaştırıcıda uzaklaştırıldı. Kalan katı ürün metil alkolden kristallendirildi ve kristallar soğuk metanol ile yıkandı. Verim %82; e.n:148-149°C [29].



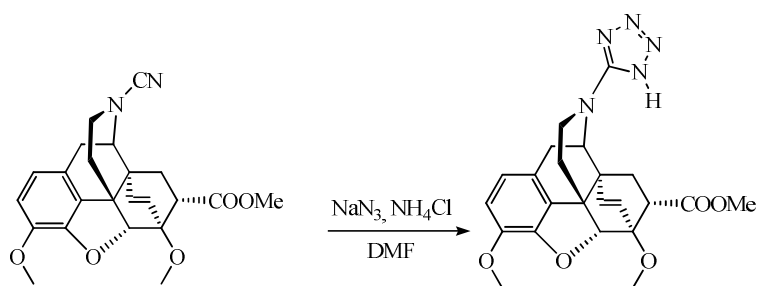
##### 4.2. N-Siyano-6,14-*endo*-eteno-7*α*-metoksikarbonil-6,7,8,14-tetrahidrotrebain Bileşinin Sentezi

0,24 g (0,6 mmol) 6,14-*endo*-eteno-7*α*-metoksikarbonil-6,7,8,14-tetrahidrotrebain bileşiği 20 mL  $\text{CHCl}_3$  içerisinde çözüldü, üzerine 0,1 g (1,0 mmol) CNBr eklenerek geri soğutucu altında ısıticili manyetik karıştırıcı üzerinde yaklaşık 24 saat kaynatıldı. Tepkimenin ilerleyiği İTK ile kontrol edildi. Karışım silika jel dolgulu kolonda etil asetat-petrol eteri çözücü karışımı (2:1) ile ayrıldı. Çözücü döner buharlaştırıcıda uzaklaştırıldıktan sonra kalan ham ürün metil alkolden kristallendirildi. Verim: % 62; e.n:167-168°C.



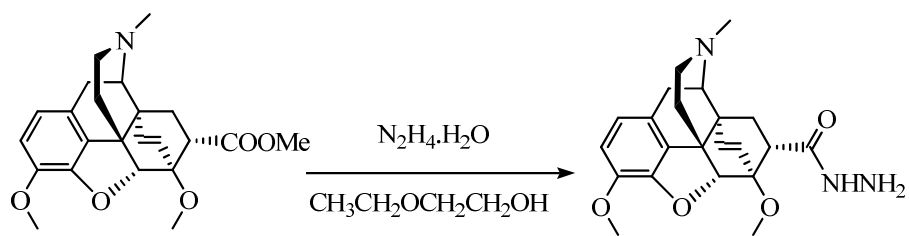
#### 4.3. *N-1H-Tetrazol-6,14-endo-eten-7 $\alpha$ -metoksikarbonil-6,7,8,14-tetrahidrotrebain Bileşığının Sentezi*

0,8 g (2 mmol) *N*-Siyano-6,14-*endo*-eten-7 $\alpha$ -metoksikarbonil-6,7,8,14-tetrahidrotrebain bileşiği 10 mL dimetilformamatte çözüldü. Üzerine 1,3 g (20 mmol)  $\text{NaN}_3$  ve 1,0 g (20 mmol)  $\text{NH}_4\text{Cl}$  eklenderek geri soğutucu altında ısıticili manyetik karıştırıcı üzerinde 24 saat kaynatıldı. Tepkimenin ilerleyişi İTK ile kontrol edildi. Daha sonra karışımın çözucusu döner buharlaştırıcıda uzaklaştırıldı. Kalan katı su-ethyl asetat ile ekstrakte edildi. Organik faz  $\text{MgSO}_4$  ile kurutulup, etil asetat döner buharlaştırıcıda uzaklaştırıldı. Geride kalan ham ürün etil asetat-metil alkol karışımından kristallendirildi. Verim: %43, e.n: 155-156 °C.



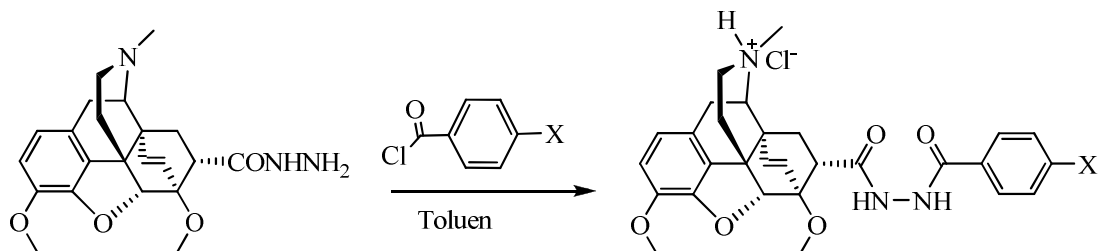
#### 4.4. *7 $\alpha$ -(Hidrazinokarbonil)-6,14-*endo*-eten-6,7,8,14-tetrahidrotrebain Bileşığının Sentezi*

4,0 g (10 mmol) 6,14-*endo*-eten-7 $\alpha$ -metoksikarboniltetrahidrotrebain bileşiği, 10 mL hidrazin hidrat ve 5 mL etoksietanol geri soğutucu altında ısıticili manyetik karıştırıcı üzerinde 12 saat kaynatıldı. Tepkime karışımı oda sıcaklığına soğutulduktan sonra üzerine 20 mL su eklenderek bir süre daha karıştırdı. Çöken ham ürün süzülerek etil alkolden kristallendirildi. Verim %62; e.n: 204-205 °C [56].



#### 4.5. Benzoilhidrazin hidroklorür türevi bileşiklerin genel sentezi

0,80 g (2 mmol) *7α*-(Hidrazinokarbonil)-6,14-*endo*-eteno-6,7,8,14-tetrahidrotrebain bileşiği 10 mL toluen içerisinde, geri soğutucu altında, ısıticili manyetik karıştırıcı üzerinde çözünene kadar karıştırıldı. Çözelti üzerine 2 mmol benzoil klorür türevi eklenerek 1 saat kaynatıldı. Tepkimenin ilerleyişi İTK ile kontrol edildi. Daha sonra tepkime karışımı oda sıcaklığına kadar soğutulup, çöken katı süzülerek alındı. Alınan ham ürün soğuk toluen ile yıkandı, uygun bir çözücü ya da çözücü çiftinden kristallendirildi.



X: H, F, Cl, Br, O-CH<sub>3</sub>

##### 4.5.1. 1-[(6,14-*endo*-Eteno-6,7,8,14-tetrahidrotrebain-7*α*-il)-karbonil]-2-benzoilhidrazin hidroklorür bileşiginin sentezi

0,8 g (2 mmol) *7α*-(Hidrazinokarbonil)-6,14-*endo*-eteno-6,7,8,14-tetrahidrotrebain bileşiği ve 0,28 g (2 mmol) benzoil klorür alınıp, Madde 4.5 de belirtilen koşullarda tepkime gerçekleştirildi. Ham ürün metil alkol-ethyl asetat çözücü çiftinden kristallendirildi. Verim: %79; e.n: 247-248°C.

##### 4.5.2. 1-[(6,14-*endo*-Eteno-6,7,8,14-tetrahidrotrebain-7*α*-il)-karbonil]-2-p-florobenzoilhidrazin hidroklorür bileşiginin sentezi

0,8 g (2 mmol) *7α*-(Hidrazinokarbonil)-6,14-*endo*-eteno-6,7,8,14-tetrahidrotrebain bileşiği ve 0,32 g (2 mmol) *p*-florobenzoil klorür alındı, Madde 4.5 de belirtilen koşullarda tepkime gerçekleştirildi. Ham ürün metil alkol-klorofom çözücü çiftinden kristallendirildi. Verim: %80; e.n: 266-268°C.

**4.5.3. 1-[(6,14-*endo*-Eteno-6,7,8,14-tetrahidrotrebain-7*α*-il)-karbonil]-2-*p*-klorobenzoilhidrazin hidroklorür bileşığının sentezi**

0,8 g (2 mmol) 7*α*-(Hidrazinokarbonil)-6,14-*endo*-eten-6,7,8,14-tetrahidrotrebain bileşiği ve 0,35 g (2mmol) *p*-klorobenzoil klorür alındı, Madde 4.5 de belirtilen koşullarda tepkime gerçekleştirildi. Ham ürün etil alkol-etyl asetat çözücü çiftinden kristallendirildi. Verim: %82; e.n: 286-287°C.

**4.5.4. 1-[(6,14-*endo*-Eteno-6,7,8,14-tetrahidrotrebain-7*α*-il)-karbonil]-2-*p*-bromobenzoilhidrazin hidroklorür bileşığının sentezi**

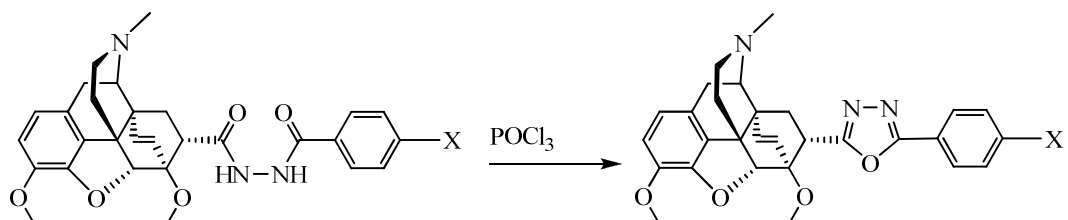
0,8 g (2 mmol) 7*α*-(Hidrazinokarbonil)-6,14-*endo*-eten-6,7,8,14-tetrahidrotrebain bileşiği ve 0,44 g (2mmol) *p*-bromobenzoil klorür alındı, Madde 4.5 de belirtilen koşullarda tepkime gerçekleştirildi. Ham ürün metil alkol-etyl asetat çözücü çiftinden kristallendirildi. Verim: %78; e.n: 285-288°C.

**4.5.5. 1-[(6,14-*endo*-Eteno-6,7,8,14-tetrahidrotrebain-7*α*-il)-karbonil]-2-*p*-metoksibenzoilhidrazin hidroklorür bileşığının sentezi**

0,8 g (2 mmol) 7*α*-(Hidrazinokarbonil)-6,14-*endo*-eten-6,7,8,14-tetrahidrotrebain bileşiği ve 0,34 g (2mmol) *p*-metoksibenzoil klorür alındı, Madde 4.5 de belirtilen koşullarda tepkime gerçekleştirildi. Ham ürün metil alkol-etyl asetat çözücü çiftinden kristallendirildi. Verim: %89; e.n: 285-288°C.

#### 4.6. 1,3,4-Oksadiazol Türevi Bileşiklerin Genel Sentezi

1,5 mmol 1-[(6,14-*endo*-eteno-6,7,8,14-tetrahidrotetrabain-7*α*-il)-karbonil]-2-benzoilhidrazin hidroklorür türevinden alınarak 5 mL POCl<sub>3</sub> içerisinde geri soğutucu altında ıstıçılı manyetik karıştırıcı üzerinde 3 saat kaynatıldı. Daha sonra karışım oda sıcaklığına soğutulup, bir beherde bulunan yaklaşık 30 g buzun üzerine dikkatlice döküldü. Karışım oda sıcaklığında 20 dakika karıştırıldıkten sonra pH'ı 9 olana kadar doygun NaOH çözeltisi eklendi. Oluşan süspansiyon halindeki karışım bir ayırma balonuna alınarak etil asetat ile ekstrakte (2 x 30 mL) edildi. Organik faz MgSO<sub>4</sub> ile kurutulduktan sonra uygun bir çözücü ya da çözücü karışımı ile kristallendirildi.



##### 4.6.1. 2-(6,14-*endo*-Eteno-6,7,8,14-tetrahidrotetrabain-7*α*-il)-5-fenil-1,3,4-oksadiazol bileşiğinin sentezi

0.78 g (1,5 mmol) 1-[(6,14-*endo*-eteno-6,7,8,14-tetrahidrotetrabain-7*α*-il)-karbonil]-2-benzoilhidrazin hidroklorür bileşiği alınıp, tepkime Madde 4.6 daki yönteme göre gerçekleştirildi. Ham ürün etil asetat-heksan karışımından kristallendirildi. Verim: %66; e.n: 208-209°C.

##### 4.6.2. 2-(6,14-*endo*-Eteno-6,7,8,14-tetrahidrotetrabain-7*α*-il)-5-(*p*-florofenil)-1,3,4-oksadiazol bileşiğinin sentezi

0.80 g (1,5 mmol) 1-[(6,14-*endo*-eteno-6,7,8,14-tetrahidrotetrabain-7*α*-il)-karbonil]-2-*p*-florobenzoilhidrazin hidroklorür bileşiği alınıp, tepkime Madde 4.6 daki yönteme göre gerçekleştirildi. Ham ürün metil alkol-kloroform karışımından kristallendirildi. Verim: %60, e.n: 263-265 °C.

**4.6.3. 2-(6,14-*endo*-Eteno-6,7,8,14-tetrahidrotetrabain-7*α*-il)-5-(*p*-klorofenil)-1,3,4-oksadiazol bileşiğinin sentezi**

0.82 g (1,5 mmol) 1-[(6,14-*endo*-eteno-6,7,8,14-tetrahidrotetrabain-7*α*-il)-karbonil]-2-*p*-klorobenzoilhidrazin hidroklorür bileşiği alınıp, tepkime Madde 4.6 daki yönteme göre gerçekleştirildi. Ham ürün etil asetat-heksan karışımından kristallendirildi.

Verim: %66, e.n: 208-209°C.

**4.6.4. 2-(6,14-*endo*-Eteno-6,7,8,14-tetrahidrotetrabain-7*α*-il)-5-(*p*-bromofenil)-1,3,4-oksadiazol bileşiğinin sentezi**

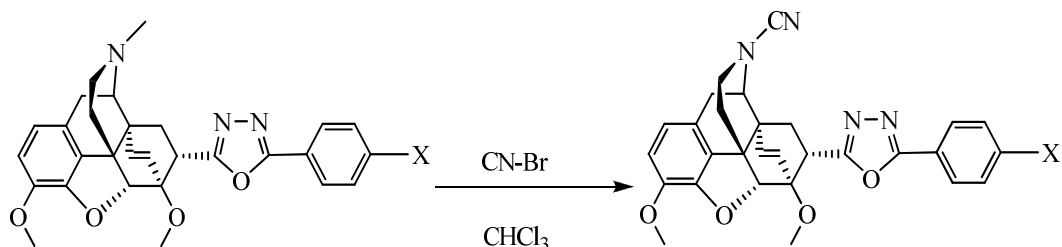
0.89 g (1,5 mmol) 1-[(6,14-*endo*-eteno-6,7,8,14-tetrahidrotetrabain-7*α*-il)-karbonil]-2-*p*-bromobenzoilhidrazin hidroklorür bileşiği alınıp, tepkime Madde 4.6 daki yönteme göre gerçekleştirildi. Ham ürün metil alkol-etyl asetat karışımından kristallendirildi. Verim: %65; e.n: 275-278°C.

**4.6.5. 2-(6,14-*endo*-Eteno-6,7,8,14-tetrahidrotetrabain-7*α*-il)-5-(*p*-metoksifenil)-1,3,4-oksadiazol bileşiğinin sentezi**

0.79 g (1,5 mmol) 1-[(6,14-*endo*-Eteno-6,7,8,14-tetrahidrotetrabain-7*α*-il)-karbonil]-2-*p*-metoksibenzoilhidrazin hidroklorür bileşiği alınıp, tepkime Madde 4.6 daki yönteme göre gerçekleştirildi. Ham ürün metil alkol-etyl asetat karışımından kristallendirildi. Verim: %60; e.n: 168-170°C.

#### 4.7. N-CN Türevi Bileşiklerin Genel Sentezi

1 mmol 1,3,4-oksadiazol türevi 20 mL CHCl<sub>3</sub> içerisinde çözüldü, üzerine 0,15 g (1,5 mmol) CNBr eklenerek geri soğutucu altında ısıticili manyetik karıştırıcı üzerinde yaklaşık 24 saat kaynatıldı. Tepkimenin ilerleyişi İTK ile kontrol edildi. Karışım silika jel dolgulu kolonda etil asetat-petrol eteri çözücü karışımı (2:1) ile ayrıldı. Çözücü döner buharlaştırıcıda uzaklaştırıldıktan sonra ham ürün uygun çözücü veya çözücü çiftinden kristallendirildi.



##### 4.7.1. 2-(N-Siyano-6,14-*endo*-eteno-6,7,8,14-tetrahidrotetrain-7*α*-il)-5-fenil-1,3,4-oksadiazol bileşığının sentezi

0,48 g (1 mmol) 2-(6,14-*endo*-eteno-6,7,8,14-tetrahidrotetrain-7*α*-il)-5-fenil-1,3,4-oksadiazol bileşiği ve 0,15 g (1,5 mmol) CNBr alınıp, tepkime Madde 4.7 deki yönteme göre gerçekleştirildi. Ham ürün metil alkol-kloroform çözücü karışımından kristallendirildi. Verim: %54; e.n: 283-285 °C.

##### 4.7.2. 2-(N-Siyano-6,14-*endo*-eteno-6,7,8,14-tetrahidrotetrain-7*α*-il)-5-(*p*-florofenil)-1,3,4-oksadiazol bileşığının sentezi

0,50 g (1 mmol) 2-(6,14-*endo*-eteno-6,7,8,14-tetrahidrotetrain-7*α*-il)-5-(*p*-florofenil)-1,3,4-oksadiazol bileşiği ve 0,15 g (1mmol) CNBr alınıp, tepkime Madde 4.7 deki yönteme göre gerçekleştirildi. Ham ürün etil asetat-heksan çözücü karışımından kristallendirildi. Verim: %50; e.n: 296-298 °C.

**4.7.3. 2-(*N*-Siyano-6,14-*endo*-eteno-6,7,8,14-tetrahidrotetrabain-7α-il)-5-(*p*-klorofenil)-1,3,4-oksadiazol bileşığının sentezi**

0,51 g (1 mmol) 2-(6,14-*endo*-eteno-6,7,8,14-tetrahidrotetrabain-7α-il)-5-(*p*-klorofenil)-1,3,4-oksadiazol bileşiği ve 0,15 g (1mmol) CNBr alınıp, tepkime Madde 4.7 deki yönteme göre gerçekleştirildi. Ham ürün etil asetat-metil alkol çözücü karışımından kristallendirildi. Verim: %54; e.n: 297-299 °C.

**4.7.4. 2-(*N*-Siyano-6,14-*endo*-eteno-6,7,8,14-tetrahidrotetrabain-7α-il)-5-(*p*-bromofenil)-1,3,4-oksadiazol bileşığının sentezi**

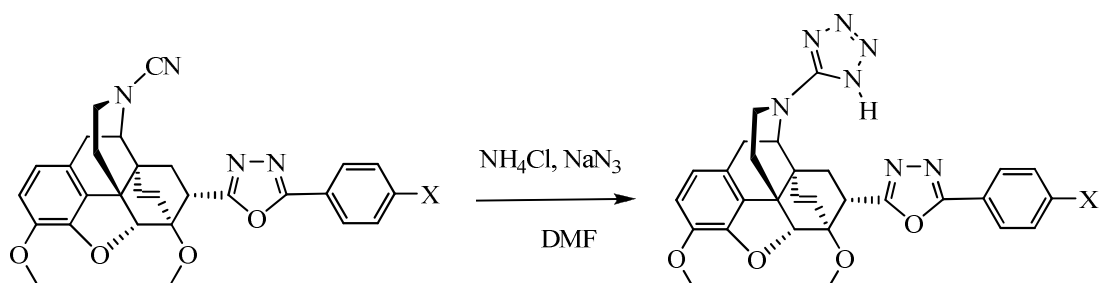
0,56 g (1 mmol) 2-(6,14-*endo*-eteno-6,7,8,14-tetrahidrotetrabain-7α-il)-5-(*p*-bromofenil)-1,3,4-oksadiazol bileşiği ve 0,15 g (1mmol) CNBr alınıp, tepkime Madde 4.7 deki yönteme göre gerçekleştirildi. Ham ürün etil asetat-heksan çözücü karışımından kristallendirildi. Verim: %56;e.n: 316-317 °C.

**4.7.5. 2-(*N*-Siyano-6,14-*endo*-eteno-6,7,8,14-tetrahidrotetrabain-7α-il)-5-(*p*-metoksifenil)-1,3,4-oksadiazol bileşığının sentezi**

0,51 g (1 mmol) 2-(6,14-*endo*-eteno-6,7,8,14-tetrahidrotetrabain-7α-il)-5-(*p*-metoksifenil)-1,3,4-oksadiazol bileşiği ve 0,15 g (1mmol) CNBr alınıp, tepkime Madde 4.7 deki yönteme göre gerçekleştirildi. Ham ürün etil asetat-heksan çözücü karışımından kristallendirildi. Verim: %50; e.n:175-177 °C.

#### 4.8. N-Tetrazol Türevi Bileşiklerin Genel Sentezi

2 mmol *N*-CN türevi 10 mL dimetilformamitçe çözüldü. Üzerine 1,3 g (20 mmol)  $\text{NaN}_3$  ve 1,0 g (20 mmol)  $\text{NH}_4\text{Cl}$  eklenerek geri soğutucu altında ısıtıcılı manyetik karıştırıcı üzerinde 24 saat kaynatıldı. Tepkimenin ilerleyişi İTK ile kontrol edildi. Daha sonra karışımın çözucusu döner buharlaştırıcıda uzaklaştırıldı. Kalan katı suda çözülüp, etil asetat ile ekstrakte edildi. Organik faz  $\text{MgSO}_4$  ile kurutulup, etil asetat döner buharlaştırıcıda çektirildi. Kalan katı uygun çözücü veya çözücü çiftinden kristallendirildi.



##### 4.8.1. 2-[*N*-(1*H*-tetrazol-5-il)-6,14-*endo*-eteno-6,7,8,14-tetrahidrotetrabain-7*α*-il]-5-fenil-1,3,4-oksadiazol bileşığının sentezi

0,29 g (0,6 mmol) 2-(*N*-Siyano-6,14-*endo*-eteno-6,7,8,14-tetrahidrotetrabain-7*α*-il)-5-fenil-1,3,4-oksadiazol bileşiği, 0,4 g (6 mmol)  $\text{NaN}_3$  ve 0,31 g (6 mmol)  $\text{NH}_4\text{Cl}$  alınıp, tepkime Madde 4.8. deki yönteme göre gerçekleştirildi. Ham ürün etil asetat-heksan çözücü karışımından kristallendirildi. Verim: %50; e.n: 195-198 °C.

##### 4.8.2. 2-[*N*-(1*H*-tetrazol-5-il)-6,14-*endo*-eteno-6,7,8,14-tetrahidrotetrabain-7*α*-il]-5-(*p*-florofenil)-1,3,4-oksadiazol bileşığının sentezi

0,30 g (0,6 mmol) 2-(*N*-Siyano-6,14-*endo*-eteno-6,7,8,14-tetrahidrotetrabain-7*α*-il)-5-(*p*-florofenil)-1,3,4-oksadiazol bileşiği, 0,4 g (6 mmol)  $\text{NaN}_3$  ve 0,31 g (6 mmol)  $\text{NH}_4\text{Cl}$  alınıp, tepkime Madde 4.8. deki yönteme göre gerçekleştirildi. Ham ürün metil alkolden kristallendirildi. Verim: %54; e.n: 268-270 °C.

**4.8.3. 2-[*N*-(1*H*-tetrazol-5-il)-6,14-*endo*-eteno-6,7,8,14-tetrahidrotetrabain-7*α*-il]-5-(*p*-klorofenil)-1,3,4-oksadiazol bileşığının sentezi**

0,32 g (0,6 mmol) 2-(*N*-Siyano-6,14-*endo*-eteno-6,7,8,14-tetrahidrotetrabain-7*α*-il)-5-(*p*-klorofenil)-1,3,4-oksadiazol bileşiği, 0,4 g (6 mmol) NaN<sub>3</sub> ve 0,31 g (6 mmol) NH<sub>4</sub>Cl alınıp, tepkime Madde 4.8. deki yönteme göre gerçekleştirildi. Ham ürün metil alkol-kloroform çözücü karışımından kristallendirildi. Verim: %52; e.n: 263-266 °C.

**4.8.4. 2-[*N*-(1*H*-tetrazol-5-il)-6,14-*endo*-eteno-6,7,8,14-tetrahidrotetrabain-7*α*-il]-5-(*p*-bromofenil)-1,3,4-oksadiazol bileşığının sentezi**

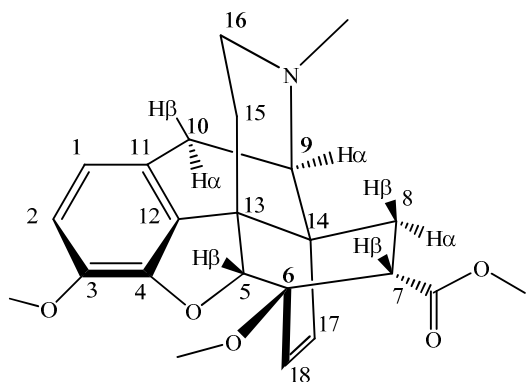
0,34 g (0,6 mmol) 2-(*N*-Siyano-6,14-*endo*-eteno-6,7,8,14-tetrahidrotetrabain-7*α*-il)-5-(*p*-bromofenil)-1,3,4-oksadiazol bileşiği, 0,4 g (6 mmol) NaN<sub>3</sub> ve 0,31 g (6 mmol) NH<sub>4</sub>Cl alınıp, tepkime Madde 4.8. deki yönteme göre gerçekleştirildi. Ham ürün metil alkolden kristallendirildi. Verim: %58; e.n: 261-264 °C.

**4.8.5. 2-[*N*-(1*H*-tetrazol-5-il)-6,14-*endo*-eteno-6,7,8,14-tetrahidrotetrabain-7*α*-il]-5-(*p*-metoksifenil)-1,3,4-oksadiazol bileşığının sentezi**

0,31 g (0,6 mmol) 2-(*N*-Siyano-6,14-*endo*-eteno-6,7,8,14-tetrahidrotetrabain-7*α*-il)-5-(*p*-metoksifenil)-1,3,4-oksadiazol bileşiği, 0,4 g (6 mmol) NaN<sub>3</sub> ve 0,31 g (6 mmol) NH<sub>4</sub>Cl alınıp, tepkime Madde 4.8. deki yönteme göre gerçekleştirildi. Ham ürün metil alkol-etyl asetat çözücü karışımından kristallendirildi. Verim: %54, 228-230 °C.

## 5. SONUÇLAR VE TARTIŞMA

### 5.1. 6,14-*endo*-Eteno-7 $\alpha$ -metoksikarbonil-6,7,8,14-tetrahidrotrebain Bileşinin Yapısı



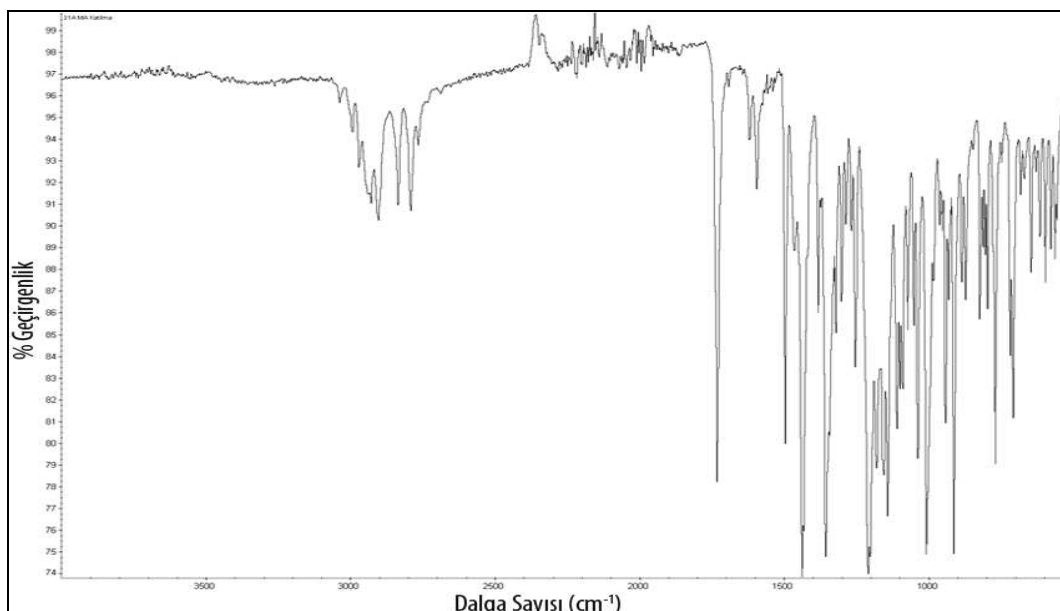
Bileşinin KBr içinde alınan FT-IR spektrumunda  $3048\text{ cm}^{-1}$  deki band aromatik C-H gerilme titresiminden,  $2990\text{ cm}^{-1}$ deki band alifatik C-H gerilme titresiminden ve  $1740\text{ cm}^{-1}$  deki band C=O gerilmesinden kaynaklanmaktadır (Şekil 5.1.).

Bileşinin DMSO- $d_6$  içerisinde alınan  $^1\text{H-NMR}$  spektrumu . incelendiğinde aromatik halkaya ait H-2 protonu  $6,62\text{ ppm}$ 'de ikili  $1\text{H}$  ( $J_{1,2} = 8,2\text{ Hz}$ ), H-1 protonu  $6,51\text{ ppm}$ 'de ikili  $1\text{H}$  ( $J_{1,2} = 8,2\text{ Hz}$ );vinillik hidrojenlerden H-18 protonu  $5,53\text{ ppm}$ 'de ikili  $1\text{H}$  ( $J_{17,18} = 8,8\text{ Hz}$ ), H-17 protonu ise  $5,49\text{ ppm}$ 'de ikili  $1\text{H}$  ( $J_{17,18} = 8,8\text{ Hz}$ ) olarak gözlenmektedir. H- $5\beta$  protonu  $4,72\text{ ppm}$ 'de birli  $1\text{H}$ ; C-3 karbonuna bağlı O-CH<sub>3</sub> grubunaki protonlar  $3,69\text{ ppm}$ 'de birli  $3\text{H}$ ; COOCH<sub>3</sub> grubundaki protonlar  $3,55\text{ ppm}$ 'de birli  $3\text{H}$  ve C-6 karbonuna bağlı O-CH<sub>3</sub> grubundaki protonlar ise  $3,43\text{ ppm}$ 'de birli  $3\text{H}$  olarak görülmektedir. H- $9\alpha$  protonu  $3,17\text{ ppm}$ 'de ikili  $1\text{H}$  ( $J_{9\alpha,10\alpha} = 6,1\text{ Hz}$ ), H- $10\beta$  protonu  $3,10\text{ ppm}$ 'de ikili  $1\text{H}$  ( $J_{10\alpha-10\beta} = 18,8\text{ Hz}$ ), H- $7\beta$  protonu  $3,05\text{ ppm}$ 'de ikilinin ikilisi  $1\text{H}$  ( $J_{8\beta-7\beta} = 9,4\text{ Hz}$ ,  $J_{8\alpha-7\beta} = 6,2\text{ Hz}$ ), H- $8\beta$  protonu  $2,87\text{ ppm}$ 'de ikilinin ikilisi  $1\text{H}$  ( $J_{8\alpha,8\beta} = 12,4\text{ Hz}$ ,  $J_{8\beta,7\beta} = 9,4\text{ Hz}$ ) ve H-16ekv protonu  $2,43-2,47\text{ ppm}$  aralığında çoklu  $1\text{H}$  olarak gözlenmektedir. H- $10\alpha$  protonu  $2,39\text{ ppm}$ 'de ikili  $1\text{H}$  ( $J_{9\alpha,10\alpha} = 6,1\text{ Hz}$ ), azot atomuna bağlı N-CH<sub>3</sub> grubuna ait protonlar  $2,28\text{ ppm}$ 'de birli  $3\text{H}$ ; H-16aks protonu  $2,19-2,23\text{ ppm}$  aralığında çoklu  $1\text{H}$ ; H-15aks protonu  $2,02\text{ ppm}$ 'de ikilinin ikilisi  $1\text{H}$  ( $J_{15\text{aks}-\text{H-15ekv}} = 13,0\text{ Hz}$ ,  $J_{15\text{aks}-16\text{ekv}} = 5,4\text{ Hz}$ ), H-15ekv protonu  $1,65$

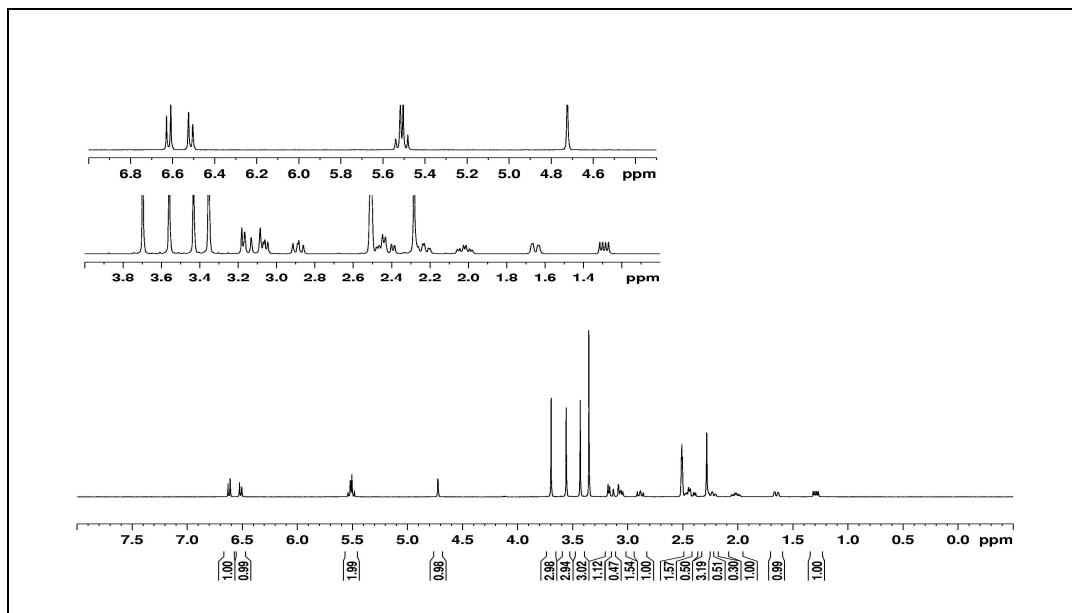
ppm'de ikili 1H ( $J_{15\text{aks}-15\text{ekv}}=13,0$  Hz), H-8 $\alpha$  protonuna ait pikler ise 1,28 ppm'de ikilinin ikilisi 1H ( $J_{8\alpha,8\beta}=12,4$  Hz,  $J_{8\alpha,7\beta}=6,2$  Hz) olarak gözlenmektedir (Şekil 5.2.).

Bileşigin DMSO-*d*<sub>6</sub> içerisinde alınan <sup>13</sup>C-APT spektrumunda C atomlarına ait pikler (ppm); 119,82 C(1); 113,72 C(2); 141,68 C(3); 147,92 C(4); 91,39 C(5); 81,14 C(6); 41,76 C(7); 30,84 C(8); 59,54 C(9); 22,20 C(10); 128,67 C(11); 134,44 C(12); 47,01 C(13); 42,85 C(14); 33,06 C(15); 45,50 C(16); 135,87 C(17); 127,20 C(18); 56,40 MeO-C(3); 51,93 MeO-C(6); 51,76 MeO-OC; 43,56 N-CH<sub>3</sub>; 173,58 (C=O) şeklinde gözlenmektedir (Şekil 5.3.).

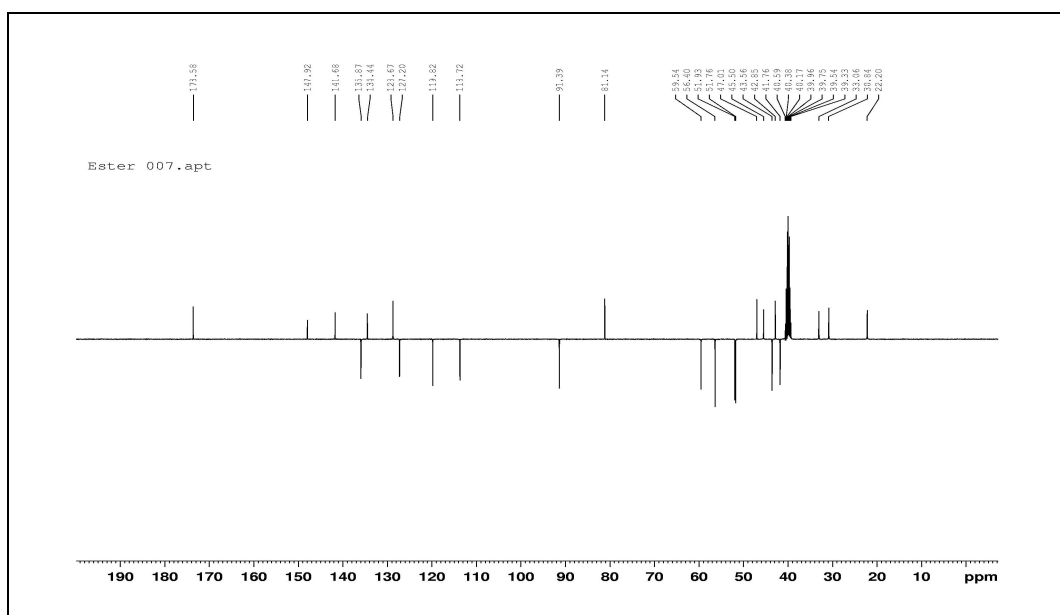
HR-MS (Şekil 5.4.): 398,1955 ([M-H]<sup>+</sup>, C<sub>23</sub>H<sub>28</sub>NO<sub>5</sub><sup>+</sup>, hesaplanan, 398,1967).



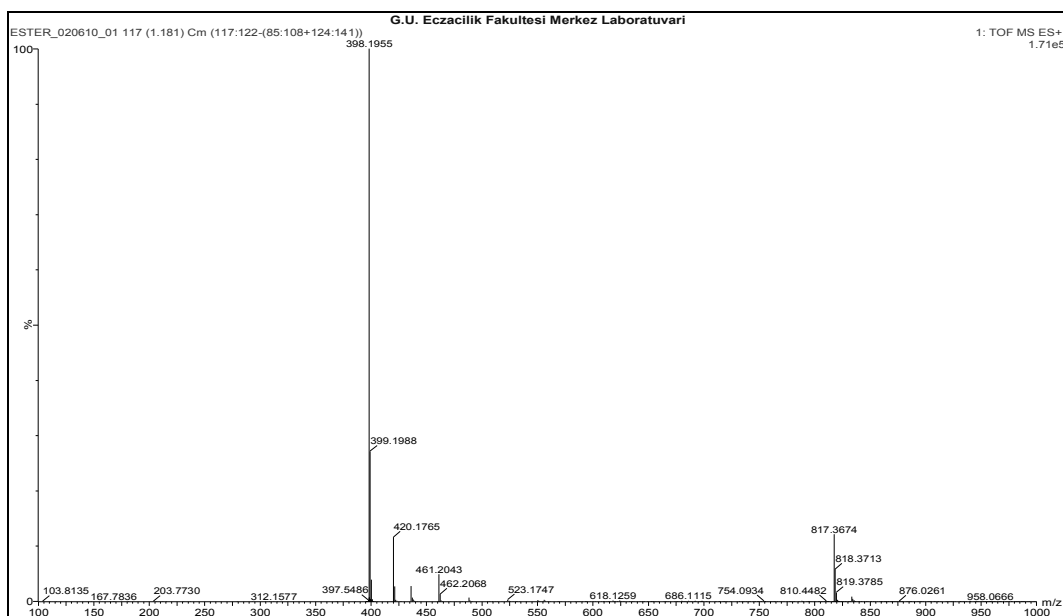
Şekil 5.1. 6,14-*endo*-Etano-7 $\alpha$ -metoksikarbonil-6,7,8,14-tetrahidrotetrabain bileşiginin FT-IR spektrumu



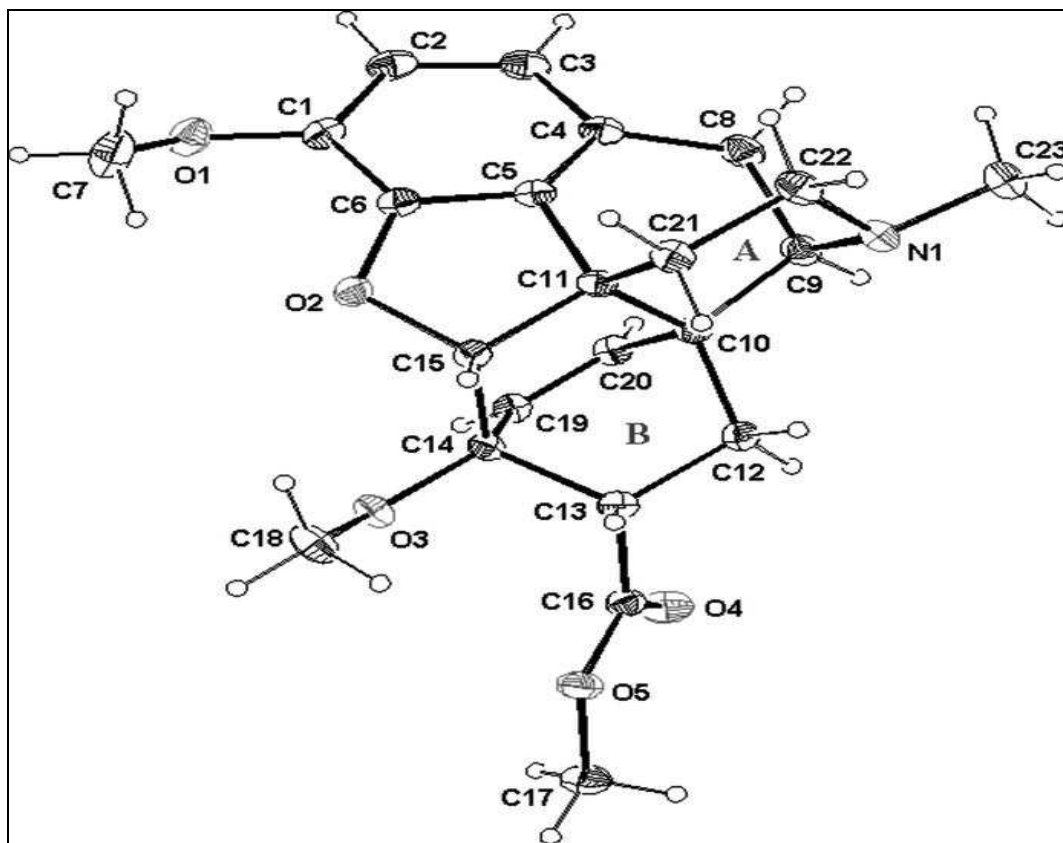
Şekil 5.2. 6,14-endo-Eteno-7 $\alpha$ -metoksikarbonil-6,7,8,14-tetrahidrotrebain bileşığının  $^1\text{H-NMR}$  spektrumu



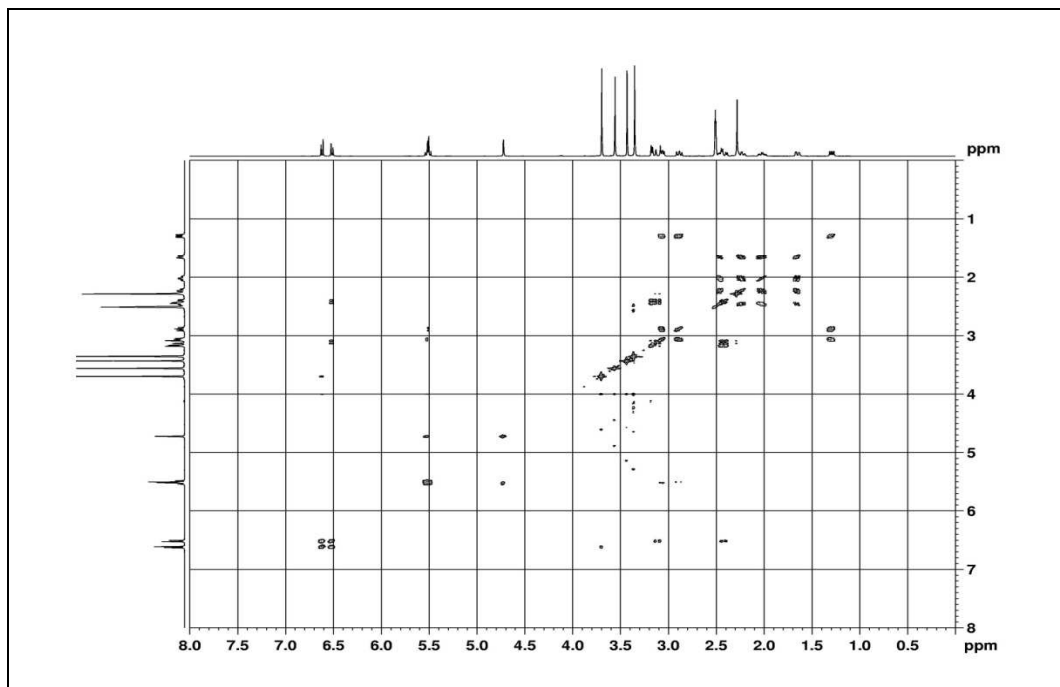
Şekil 5.3. 6,14-endo-Eteno-7 $\alpha$ -metoksikarbonil-6,7,8,14-tetrahidrotrebain bileşığının  $^{13}\text{C}$ -APT spektrumu



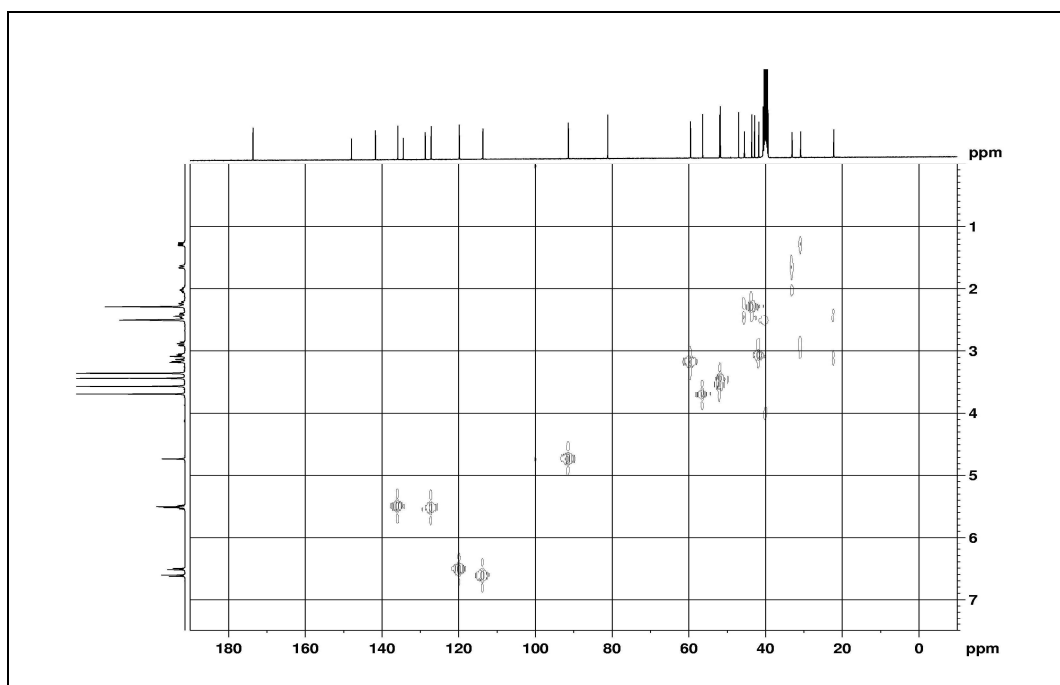
Şekil 5.4. 6,14-*endo*-Eteno-7 $\alpha$ -metoksikarbonil-6,7,8,14-tetrahidrotrebain bileşığının HR-MS Spektrumu



Şekil 5.5. 6,14-*endo*-Eteno-7 $\alpha$ -metoksikarbonil-6,7,8,14-tetrahidrotrebain bileşığının X-ray difraktometre cihazıyla yapılan kristal analizi

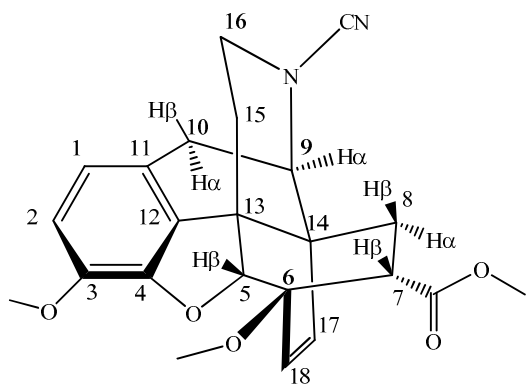


Şekil 5.6. 6,14-*endo*-Eteno-7 $\alpha$ -metoksikarbonil-6,7,8,14-tetrahidrotrebain bileşığının COSY spektrumu



Şekil 5.7. 6,14-*endo*-Eteno-7 $\alpha$ -metoksikarbonil-6,7,8,14-tetrahidrotrebain bileşığının HETCOR (HMQC) spektrumu

## 5.2. N-Siyano-6,14-*endo*-eteno-7 $\alpha$ -metoksikarbonil-6,7,8,14-tetrahidrotrebain Bileşinin Yapısı



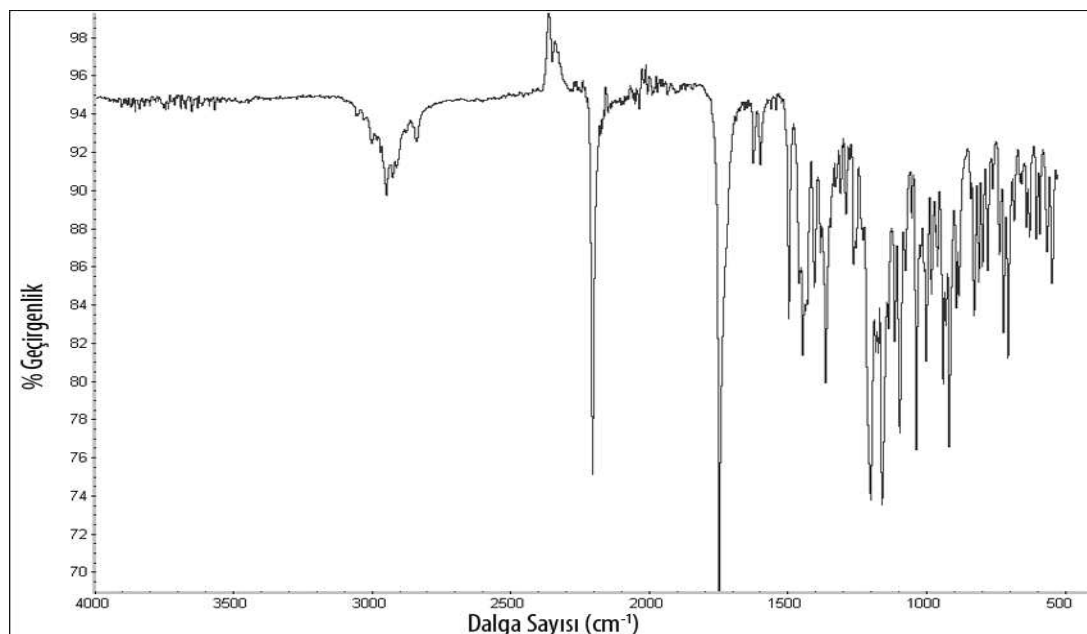
Bileşinin KBr içinde alınan FT-IR spektrumunda  $3047\text{ cm}^{-1}$  deki band aromatik C-H gerilme titreşiminden,  $2947\text{ cm}^{-1}$  deki band alifatik C-H gerilme titreşiminden  $2200\text{ cm}^{-1}$  deki band C≡N gerilme titreşiminden ve  $1740\text{ cm}^{-1}$  deki band C=O gerilme titreşiminden kaynaklanmaktadır (Şekil 5.8.).

Bileşinin  $\text{CDCl}_3$  içerisinde alınan  $^1\text{H-NMR}$  spektrumu incelendiğinde aromatik halkaya ait H-2 protonu  $6,70\text{ ppm}$ ’de ikili  $1\text{H}$  ( $J_{1,2} = 8,2\text{ Hz}$ ) ve H-1 protonu da  $6,60\text{ ppm}$ ’de ikili  $1\text{H}$  ( $J_{1,2} = 8,2\text{ Hz}$ ); vinillik hidrojenlerden H-17 protonu  $5,96\text{ ppm}$ ’de ikili  $1\text{H}$  ( $J_{17,18} = 8,2\text{ Hz}$ ), H-18 protonu ise  $5,51\text{ ppm}$ ’de ikili  $1\text{H}$  ( $J_{17,18} = 8,2\text{ Hz}$ ) olarak gözlenmektedir. H- $5\beta$  protonu  $4,61\text{ ppm}$ ’de birli  $1\text{H}$ ; H- $9\alpha$  protonu  $3,94\text{ ppm}$ ’de ikili  $1\text{H}$  ( $J_{9\alpha,10\alpha} = 6,4\text{ Hz}$ ); C-3 karbonuna bağlı O- $\text{CH}_3$  grubundaki protonlar  $3,85\text{ ppm}$ ’de birli  $3\text{H}$ ; COO $\text{CH}_3$  grubundaki protonlar  $3,70\text{ ppm}$ ’de birli  $3\text{H}$  ve C-6 karbonuna bağlı O- $\text{CH}_3$  grubundaki protonlar ise  $3,61\text{ ppm}$ ’de birli  $3\text{H}$  olarak görülmektedir. H- $7\beta$  protonu  $3,44\text{ ppm}$ ’de ikilinin ikilisi  $1\text{H}$  ( $J_{8\beta-7\beta} = 9,0\text{ Hz}$ ,  $J_{8\alpha-7\beta} = 6,1\text{ Hz}$ ), H-16ekv protonu  $3,32-3,39\text{ ppm}$  aralığında çoklu  $1\text{H}$ ; H- $10\beta$  protonu  $3,27\text{ ppm}$ ’de ikili  $1\text{H}$  ( $J_{10\alpha,10\beta} = 18,9\text{ Hz}$ ), H- $8\beta$  protonu  $2,87\text{ ppm}$ ’de ikilinin ikilisi  $1\text{H}$  ( $J_{8\alpha,8\beta} = 12,4\text{ Hz}$ ,  $J_{8\beta,7\beta} = 9,4\text{ Hz}$ ), H-16aks protonu  $2,79-2,84\text{ ppm}$  aralığında çoklu  $1\text{H}$ ; H- $10\alpha$  protonu  $2,32\text{ ppm}$ ’de ikili  $1\text{H}$  ( $J_{9\alpha,10\alpha} = 6,2\text{ Hz}$ ), 15aks protonu  $2,07\text{ ppm}$ ’de ikilinin ikilisi  $1\text{H}$  ( $J_{15\text{aks}-\text{H-15ekv}} = 13,1\text{ Hz}$ ,  $J_{15\text{aks}-16\text{ekv}} = 5,2\text{ Hz}$ ), H-15ekv protonu  $1,94\text{ ppm}$ ’de ikili ( $J_{15\text{aks}-15\text{ekv}} = 13,1\text{ Hz}$ )  $1\text{H}$ ; H- $8\alpha$  protonuna ait pikler ise

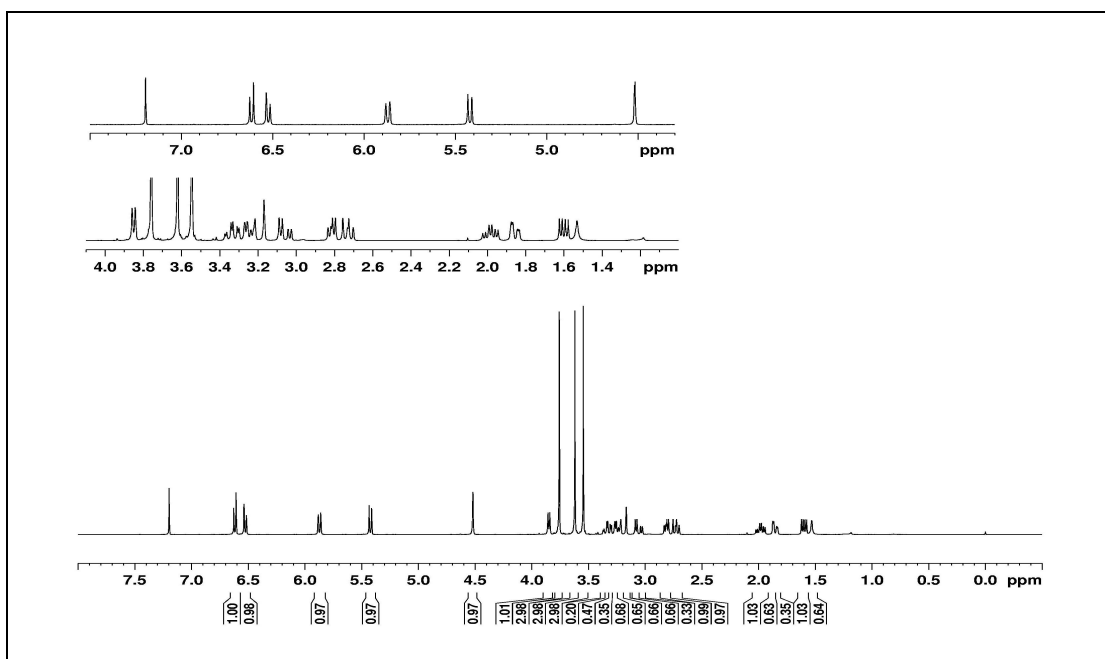
1,68 ppm'de ikilinin ikilisi 1H ( $J_{8\alpha,8\beta} = 12,4$  Hz,  $J_{8\alpha,7\beta} = 6,0$  Hz) olarak gözlenmektedir (Şekil 5.9.).

Bileşigin  $\text{CDCl}_3$  içerisinde alınan  $^{13}\text{C}$ -APT spektrumunda C atomlarına ait pikler (ppm); 119,63 C(1); 113,92 C(2); 141,77 C(3); 147,72 C(4); 91,98 C(5); 80,09 C(6); 41,86 C(7); 30,82 C(8); 57,58 C(9); 30,20 C(10); 117,39 C(11); 131,75 C(12); 46,24 C(13); 41,32 C(14); 31,38 C(15); 41,46 C(16); 132,63 C(17); 127,37 C(18); 78,11 MeO-C(3); 77,46 MeO-C(6); 77,79 MeO-OC; 125,22 N-(CN); 173,58 C-(C=O) şeklinde gözlenmektedir (Şekil 5.10.).

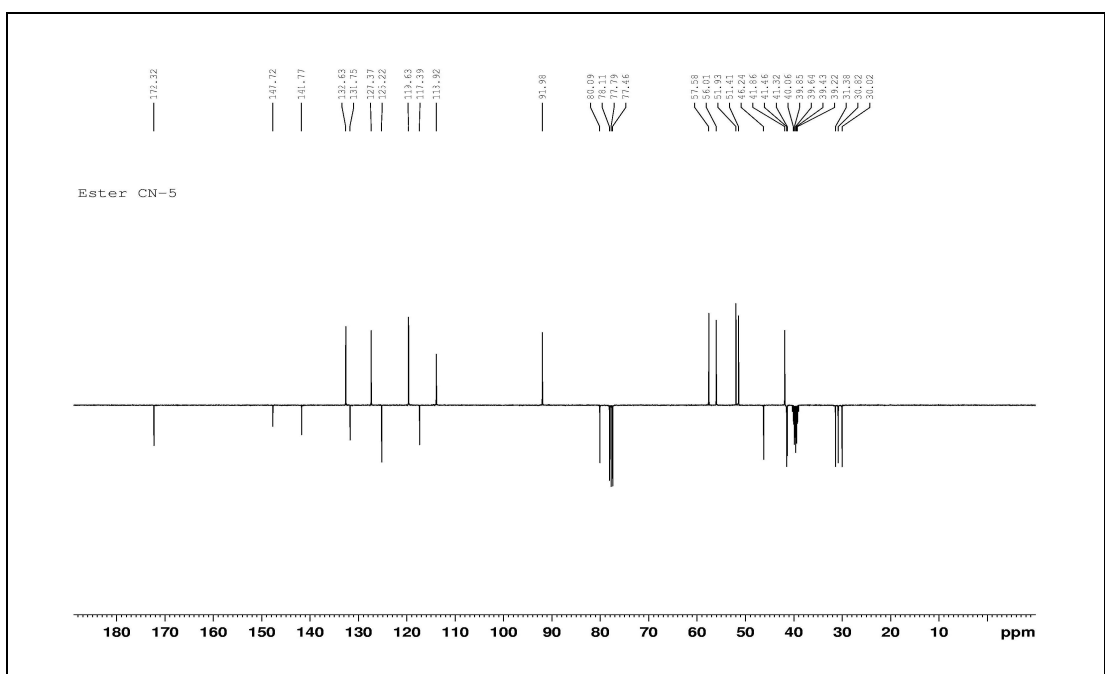
HR-MS (Şekil 5.11.): 409,1763 ( $[\text{M}-\text{H}]^+$ ,  $\text{C}_{23}\text{H}_{25}\text{N}_2\text{O}_5^+$ , hesaplanan, 409,1763)



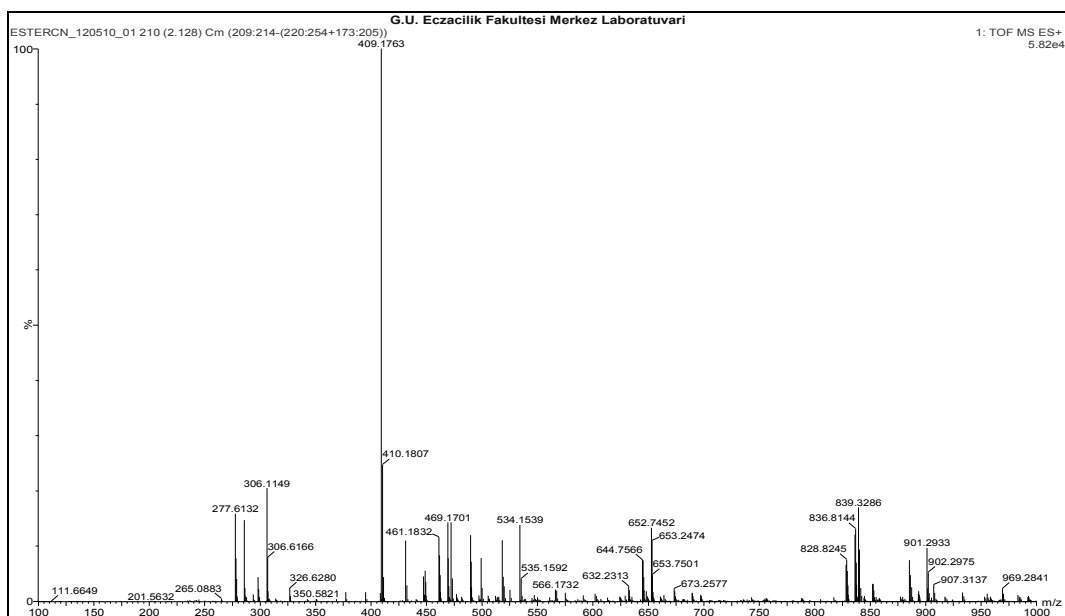
Şekil 5.8. *N*-Siyano-6,14-*endo*-eten-7 $\alpha$ -metoksikarbonil-6,7,8,14-tetrahidrotrebain bileşiginin FT-IR spektrumu



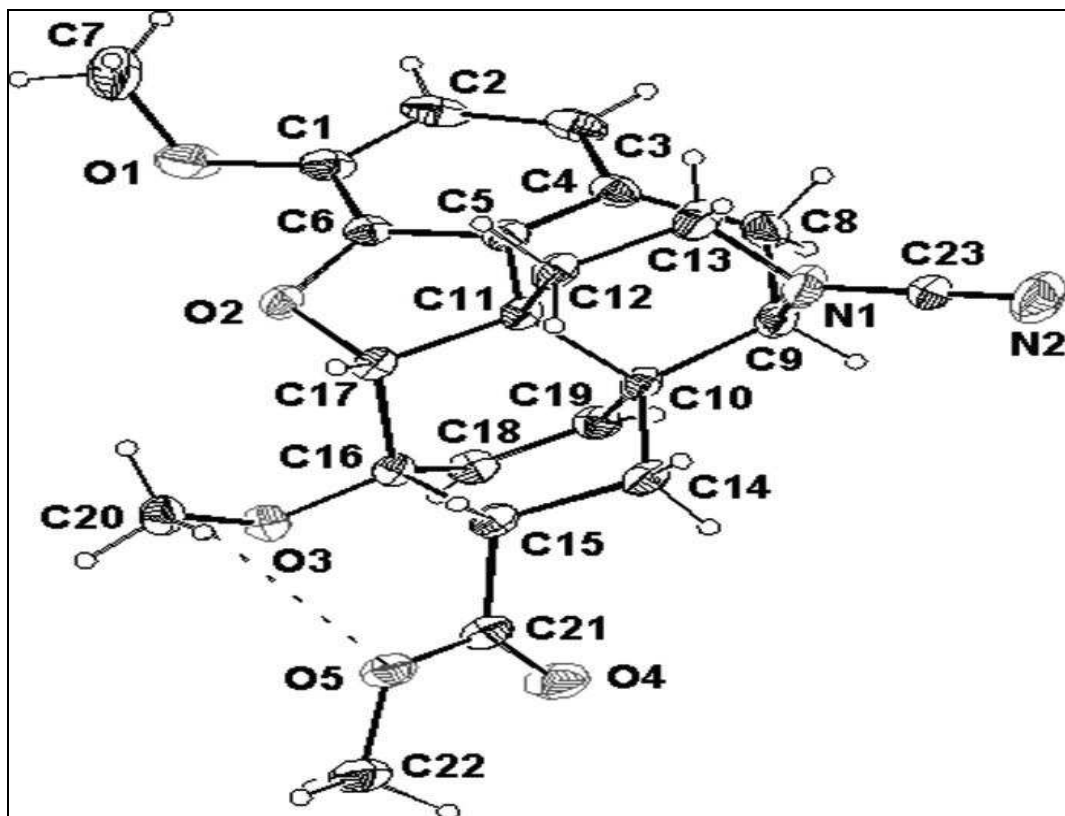
Şekil 5.9 *N*-Siyano-6,14-*endo*-eten-7*α*-metoksikarbonil-6,7,8,14-tetrahidrotrebain bileşığının  $^1\text{H}$ -NMR spektrumu



Şekil 5.10 *N*-Siyano-6,14-*endo*-eten-7*α*-metoksikarbonil-6,7,8,14-tetrahidrotrebain bileşığının  $^{13}\text{C}$ -APT spektrumu

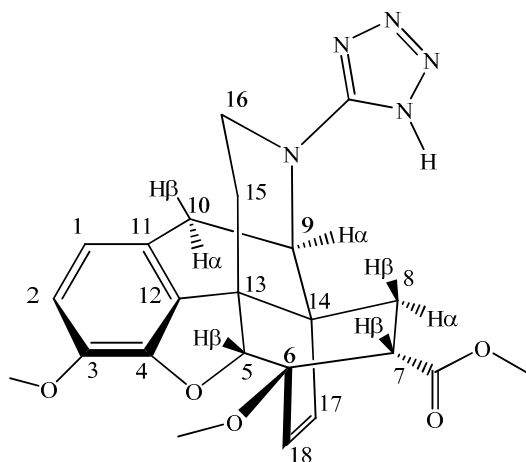


Şekil 5.11 N-Siyanato-6,14-*endo*-eten-7*α*-metoksikarbonil-6,7,8,14-tetrahidrotrebain bileşığının HR-MS spektrumu



Şekil 5.12. N-Siyanato-6,14-*endo*-eten-7*α*-metoksikarbonil-6,7,8,14-tetrahidrotrebain bileşığının X-Ray difraktometre cihazıyla yapılan kristal analizi

### 5.3 N-1*H*-Tetrazol-6,14-*endo*-eteno-7 $\alpha$ -metoksikarbonil-6,7,8,14-tetrahidrotrebain Bileşiginin Yapısı



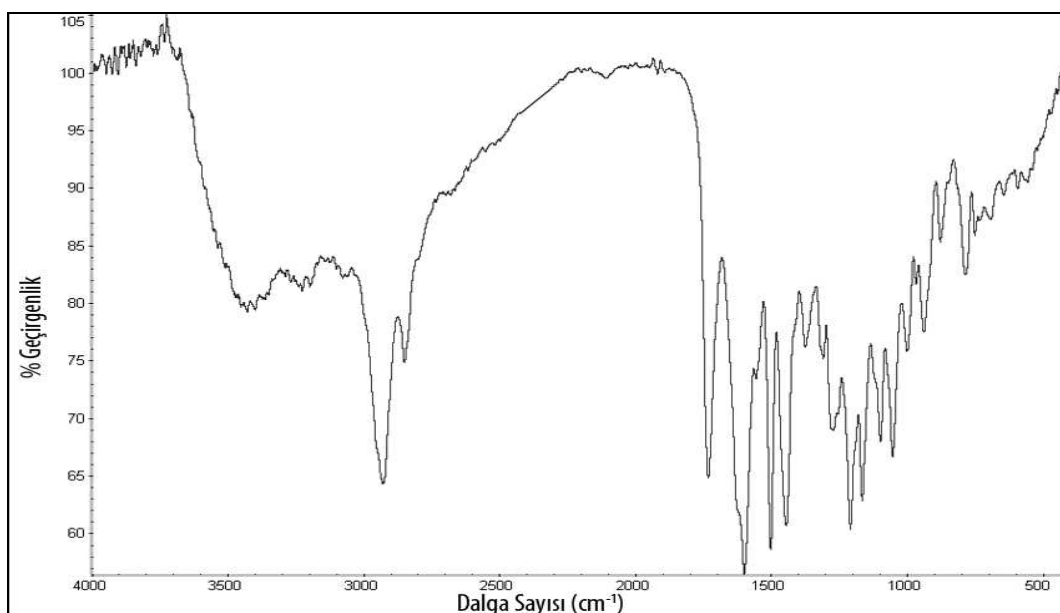
Bileşigin KBr içinde alınan FT-IR spektrumunda  $3423\text{ cm}^{-1}$ ,  $3395\text{ cm}^{-1}$ ,  $3361\text{ cm}^{-1}$  ve  $3223\text{ cm}^{-1}$  deki bantlar tetrazol halkasına ait tautomerik hidrojenden kaynaklanmaktadır.  $3061\text{ cm}^{-1}$  deki band aromatik C-H gerilme titresimden,  $2928\text{ cm}^{-1}$  deki band alifatik C-H gerilme titresiminden  $1733\text{ cm}^{-1}$  deki band C=O gerilme titresiminden kaynaklanmaktadır (Şekil 5.13.).

Bileşigin  $\text{CDCl}_3$  içerisinde alınan  $^1\text{H-NMR}$  spektrumunda aromatik halkaya ait H-2 protonu  $6,59\text{ ppm}$ ’de ikili  $1\text{H}$  ( $J_{1,2} = 8,2\text{ Hz}$ ), H-1 protonu da  $6,47\text{ ppm}$ ’de ikili  $1\text{H}$  ( $J_{1,2} = 8,2\text{ Hz}$ ), vinillik hidrojenlerden H-17 protonu  $5,82\text{ ppm}$ ’de ikili  $1\text{H}$  ( $J_{17,18} = 8,8\text{ Hz}$ ), H-18 protonu  $5,52\text{ ppm}$ ’de ikili  $1\text{H}$  ( $J_{17,18} = 8,8\text{ Hz}$ ) olarak gözlenmektedir. H-9 $\alpha$  protonu  $4,64\text{ ppm}$ ’de ikili  $1\text{H}$  ( $J_{9\alpha,10\alpha} = 6,3\text{ Hz}$ ), H-5 $\beta$  protonu  $4,58\text{ ppm}$ ’de birli  $1\text{H}$ ; H-7 $\beta$  protonu  $3,92\text{ ppm}$ ’de ikilinin ikilisi  $1\text{H}$  ( $J_{8\beta,7\beta} = 9,0\text{ Hz}$ ,  $J_{8\alpha,7\beta} = 4,0\text{ Hz}$ ), C-3 karbonuna bağlı O-CH<sub>3</sub> grubunda ki protonlar  $3,75\text{ ppm}$ ’de birli  $3\text{H}$ ; COOCH<sub>3</sub> grubundaki protonlar  $3,61\text{ ppm}$ ’de birli  $3\text{H}$  ve C-6 karbonuna bağlı O-CH<sub>3</sub> grubundaki protonlar ise  $3,55\text{ ppm}$ ’de birli  $3\text{H}$  olarak gözlenmektedir. H-16ekv protonu  $3,36\text{ ppm}$ ’de ikilinin ikilisi  $1\text{H}$  ( $J_{16\text{aks}-\text{H-16ekv}} = 12,3\text{ Hz}$ ,  $J_{16\text{aks}-15\text{ekv}} = 3,6\text{ Hz}$ ), 16aks protonu  $3,09\text{ ppm}$ ’de ikilinin ikilisi  $1\text{H}$  ( $J_{16\text{aks}-\text{H-16ekv}} = 12,3\text{ Hz}$ ,  $J_{15\text{ekv}-\text{H-16ekv}} = 1,7\text{ Hz}$ ); H-10 $\beta$  protonu  $2,94\text{ ppm}$ ’de ikili  $1\text{H}$  ( $J_{10\alpha-\text{10}\beta} = 18,0\text{ Hz}$ ), H-10 $\alpha$  protonu  $2,81-2,85\text{ ppm}$  aralığında çoklu  $1\text{H}$ ; H-8 $\beta$  protonu  $2,34\text{ ppm}$ ’de ikilinin ikilisi  $1\text{H}$  ( $J_{8\alpha,8\beta} = 12,0\text{ Hz}$ ,  $J_{8\beta,7\beta} = 9,6\text{ Hz}$ ); H-15aks ve H-15ekv protonları  $1,96-2,05\text{-ppm}$

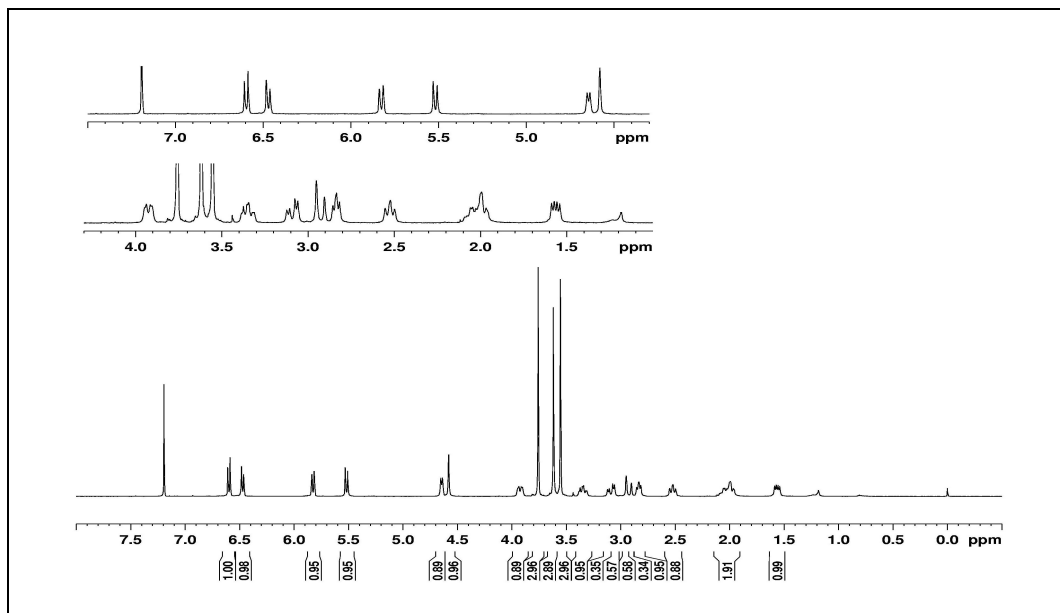
aralığında çoklu 2H; H-8 $\alpha$  protonuna ait pikler ise 1,68 ppm'de ikilinin ikilisi 1H ( $J_{8\alpha,8\beta} = 12,6$  Hz,  $J_{8\alpha,7\beta} = 6,3$  Hz) olarak görülmektedir (Şekil 5.14.).

Bileşigin CDCl<sub>3</sub> içerisinde alınan <sup>13</sup>C-APT spektrumunda C atomlarına ait pikler (ppm): 120,09 C(1); 114,13 C(2); 142,38 C(3); 144,24 C(4); 93,60 C(5); 80,84 C(6); 43,22 C(7); 31,54 C(8); 56,39 C(9); 30,71 C(10); 125,95 C(11); 132,52 C(12); 47,60 C(13); 40,12 C(14); 31,89 C(15); 42,16 C(16); 134,06 C(17); 127,31 C(18); 114,95 N-C=N-; 174,14 C-(C=O); 53,15 MeO-OC; 56,01 MeO-C(3); 52,41 MeO-C(6) şeklinde gözlenmektedir (Şekil 5.15.)

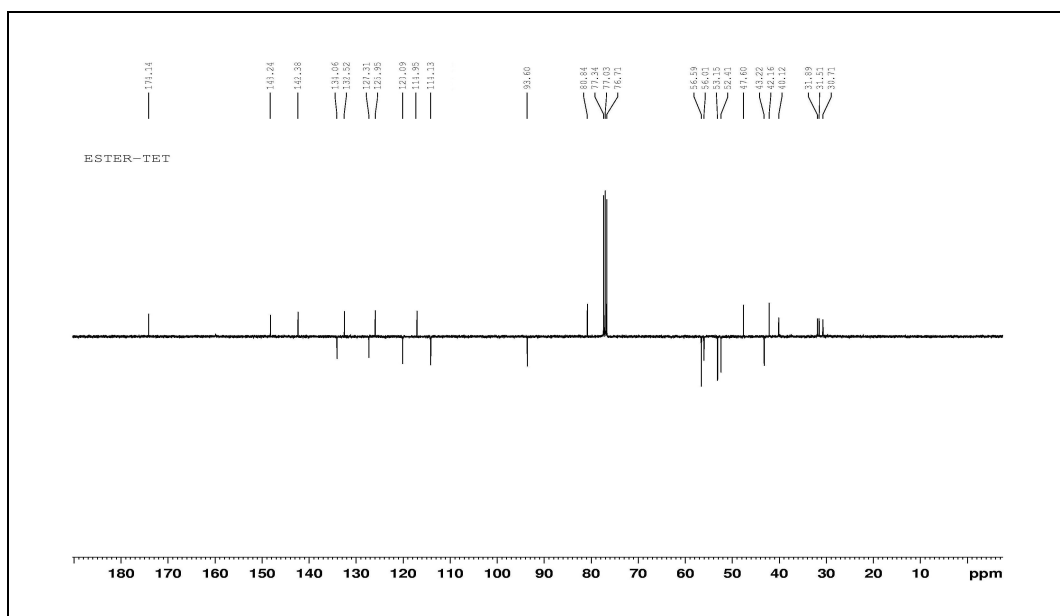
HR-MS (Şekil 5.16.): 452,1922 ([M-H]<sup>+</sup>, C<sub>23</sub>H<sub>26</sub>N<sub>5</sub>O<sub>5</sub><sup>+</sup>, hesaplanan, 452,1934).



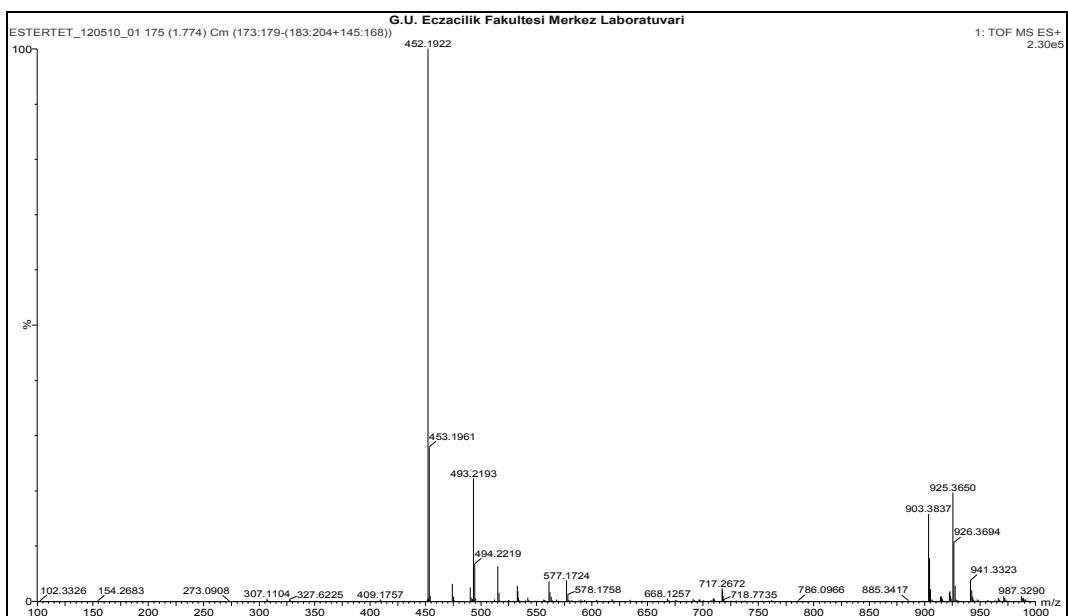
Şekil 5.13 N-1H-Tetrazol-6,14-*endo*-eteno-7 $\alpha$ -metoksikarbonil-6,7,8,14-tetrahidrotrebain bileşiginin FT-IR spektrumu



Şekil 5.14. *N*-1*H*-Tetrazol-6,14-*endo*-eteno-7*α*-metoksikarbonil-6,7,8,14-tetrahidrotrebain bileşığının  $^1\text{H-NMR}$  spektrumu

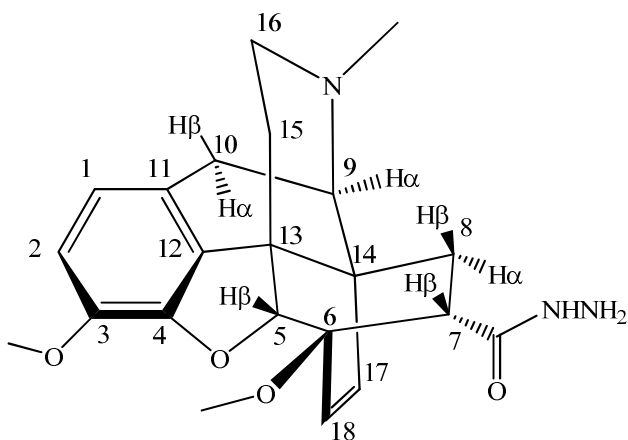


Şekil 5.15. *N*-1*H*-Tetrazol-6,14-*endo*-eteno-7*α*-metoksikarbonil-6,7,8,14-tetrahidrotrebain bileşığının  $^{13}\text{C}$ -APT spektrumu



Şekil 5.16. *N-1H-Tetrazol-6,14-endo-eteno-7 $\alpha$ -metoksikarbonil-6,7,8,14-tetrahidrotetrabain bileşiginin HR-MS spektrumu*

#### 5.4. *7 $\alpha$ -(Hidrazinokarbonil)-6,14-*endo*-eteno-6,7,8,14-tetrahidrotrebain Bileşığının Yapısı*



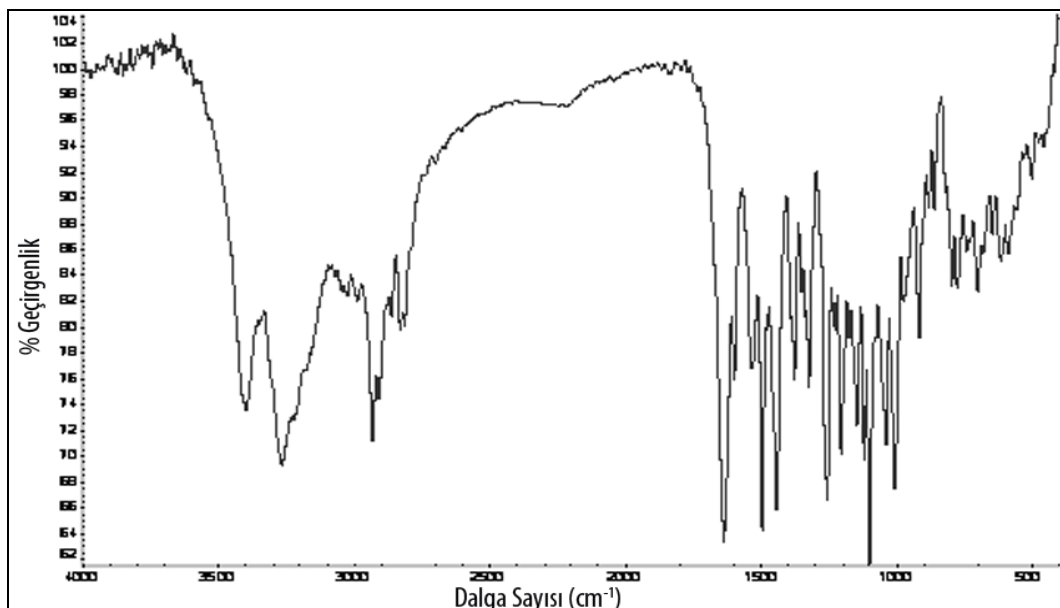
Bileşigin KBr içinde alınan FT-IR spektrumunda  $3395\text{ cm}^{-1}$  deki tekli band N-H gerilme titreşiminden,  $3271\text{ cm}^{-1}$  ve  $3219\text{ cm}^{-1}$  deki ikili bantlar NH<sub>2</sub> gerilme titreşiminden,  $3052\text{ cm}^{-1}$  deki band aromatik C-H gerilme titreşiminden,  $2985\text{ cm}^{-1}$  deki band alifatik C-H gerilme titreşiminden,  $1642\text{ cm}^{-1}$  deki band C=O gerilme titreşiminden,  $1595\text{ cm}^{-1}$  deki band N-H gerilmesinden kaynaklanmaktadır (Şekil 5.17.).

Bileşigin DMSO-*d*<sub>6</sub> içerisinde alınan <sup>1</sup>H-NMR spektrumu incelendiğinde, NH protonu  $8,75\text{ ppm}$ 'de birli 1H ve NH<sub>2</sub> protonları  $4,07\text{ ppm}$ 'de yayvan 2H olarak görülmektedir. Aromatik halkaya ait H-2 protonu  $6,52\text{ ppm}$ 'de ikili 1H ( $J_{1,2} = 8,1\text{ Hz}$ ), H-1 protonu  $6,41\text{ ppm}$ 'de ikili 1H ( $J_{1,2} = 8,1\text{ Hz}$ ); vinilik hidrojenlerden H-18 protonu  $5,51\text{ ppm}$ 'de ikili 1H ( $J_{17,18} = 8,7\text{ Hz}$ ), H-17 protonu ise  $5,33\text{ ppm}$ 'de ikili 1H ( $J_{17,18} = 8,7\text{ Hz}$ ) olarak gözlenmektedir. H-5 $\beta$  protonu  $4,41\text{ ppm}$ 'de birli 1H; C-3 karbonuna bağlı -OCH<sub>3</sub> grubundaki protonlar  $3,61\text{ ppm}$ 'de birli 3H; C-6 karbonuna bağlı -OCH<sub>3</sub> grubundaki protonlar  $3,32\text{ ppm}$ 'de birli 3H olarak görülmektedir. Ayrıca H-9 $\alpha$  protonu  $3,04\text{ ppm}$ 'de ikili 1H ( $J_{9\alpha,10\alpha} = 6,4\text{ Hz}$ ), H-10 $\beta$  protonu  $3,01\text{ ppm}$ 'de ikili 1H ( $J_{10\alpha,10\beta} = 18,7\text{ Hz}$ ), H-8 $\beta$  protonu  $2,70\text{ ppm}$ 'de ikilinin ikilisi 1H ( $J_{8\beta,7\beta} = 9,5\text{ Hz}$ ,  $J_{8\alpha,8\beta} = 11,7\text{ Hz}$ ), H-7 protonu  $2,52\text{ ppm}$ 'de çoklu 1H; H-16aks protonu  $2,36\text{ ppm}$ 'de çoklu 1H; H-10 $\alpha$  protonu  $2,32\text{ ppm}$ 'de ikilinin ikilisi 1H ( $J_{10\alpha,10\beta} = 18,7\text{ Hz}$ ,  $J_{9\alpha,10\alpha} = 6,4\text{ Hz}$ ); azot atomuna bağlı N-CH<sub>3</sub> protonları ise  $2,20$

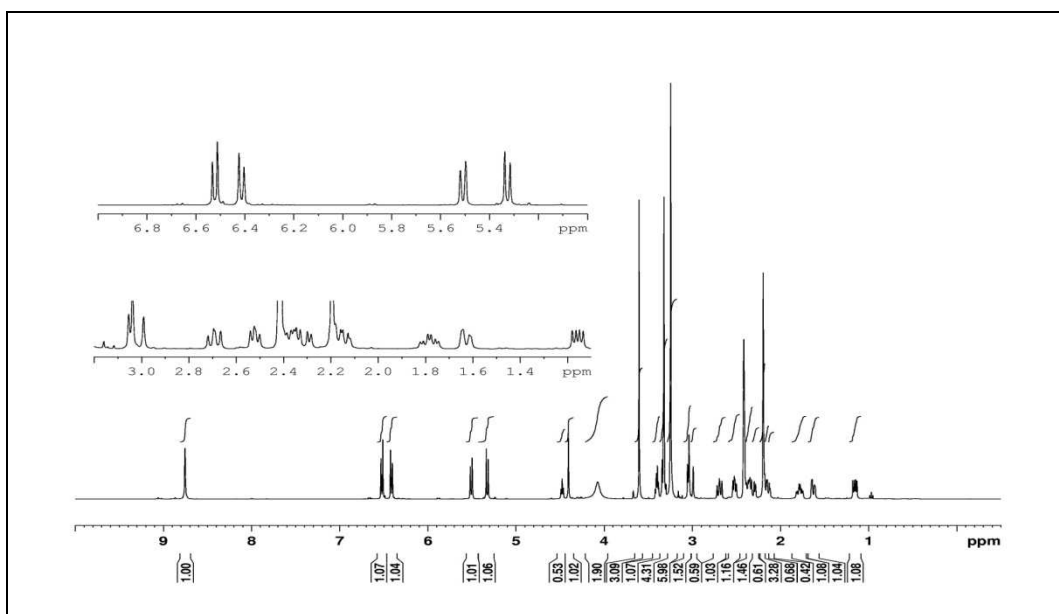
ppm'de birli 3H olarak görülmektedir. H-16ekv protonu 2,14 ppm'de çoklu 1H; H-15aks protonu 1,78 ppm'de çoklu 1H; H-15ekv protonu 1,62 ppm'de çoklu 1H; H- $8\alpha$  protonu 1,15 ppm'de ikilinin ikilisi 1H ( $J_{8\alpha,8\beta} = 11,2$  Hz,  $J_{8\alpha,7\beta} = 5,8$  Hz) olarak gözlenmektedir (Şekil 5.18.).

Bileşigin DMSO-*d*<sub>6</sub> içerisinde alınan <sup>13</sup>C-APT spektrumunda C atomlarına ait pikler (ppm): 119,7 C(1); 113,8 C(2); 141,6 C(3); 148,1 C(4); 93,2 C(5); 80,8 C(6); 41,4 C(7); 31,2 C(8); 59,6 C(9); 22,2 C(10); 128,8 C(11); 134,4 C(12); 47,0 C(13); 43,0 C(14); 33,5 C(15); 45,5 C(16); 134,8 C(17); 127,3 C(18); 43,6 N-CH<sub>3</sub>; 56,5 MeO-C(3); MeO-C(6); 171,9 (C=O) olarak gözlenmektedir (Şekil 5.19.).

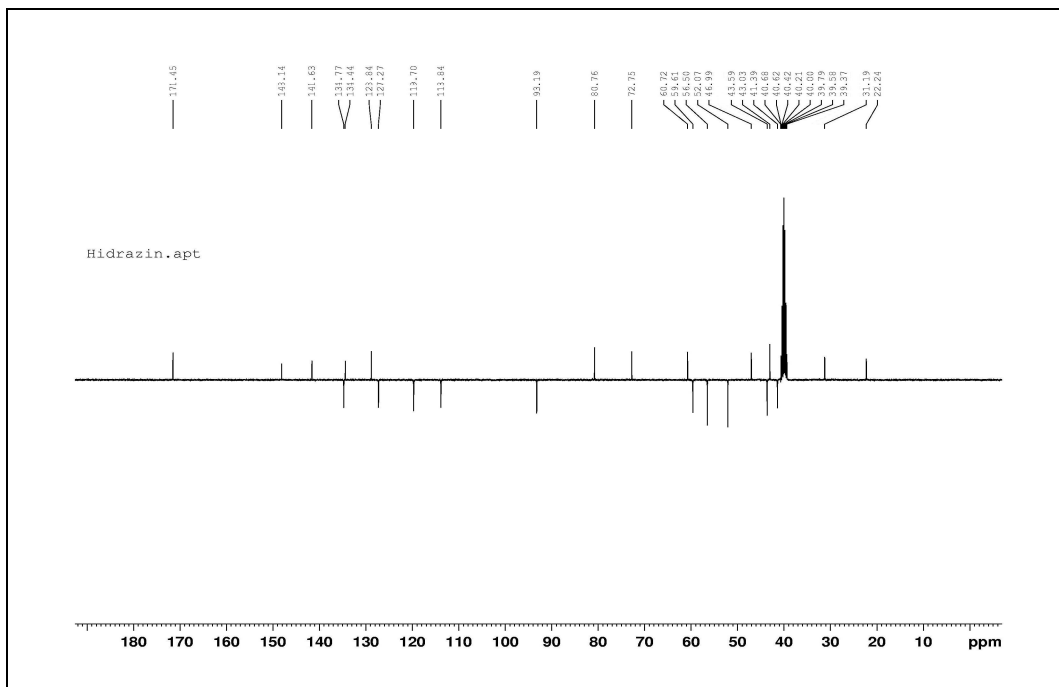
HR-MS (Şekil 5.20) : 398,2078 ([M-H]<sup>+</sup>, C<sub>23</sub>H<sub>25</sub>N<sub>2</sub>O<sub>5</sub><sup>+</sup>, hesaplanan, 398,2080).



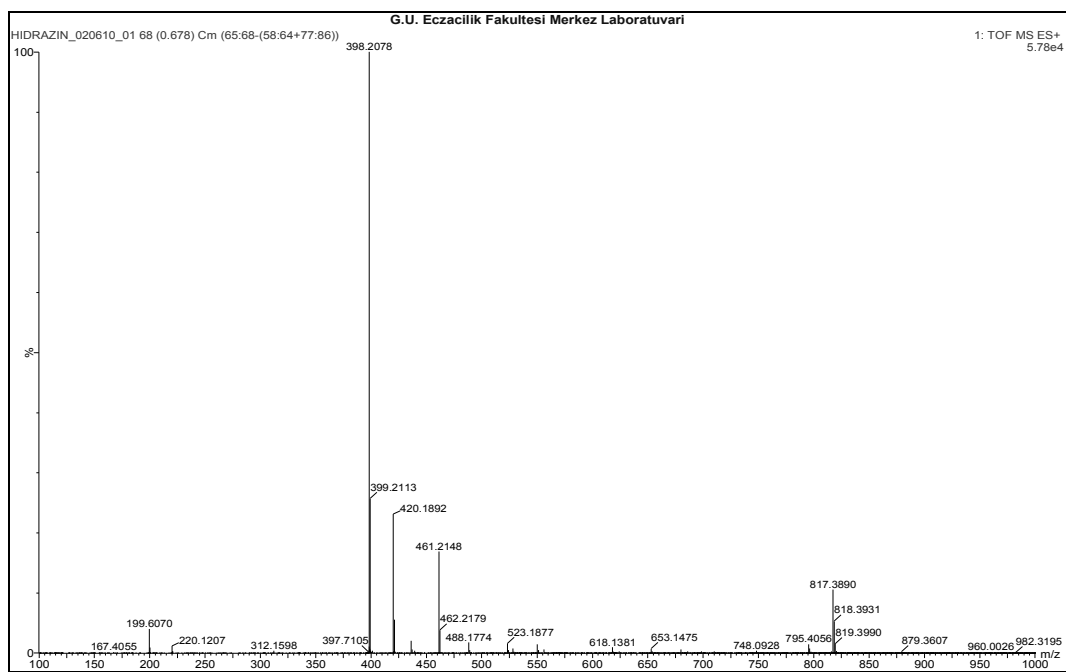
Şekil 5.17. 7 $\alpha$ -(Hidrazinokarbonil)-6,14-*endo*-eteno-6,7,8,14-tetrahidrotetrabain bileşiginin FT-IR spektrumu



Şekil 5.18.  $7\alpha$ -(Hidrazinokarbonil)-6,14-*endo*-eteno-6,7,8,14-tetrahidrotetrabain bileşığının  $^1\text{H}$ -NMR spektrumu



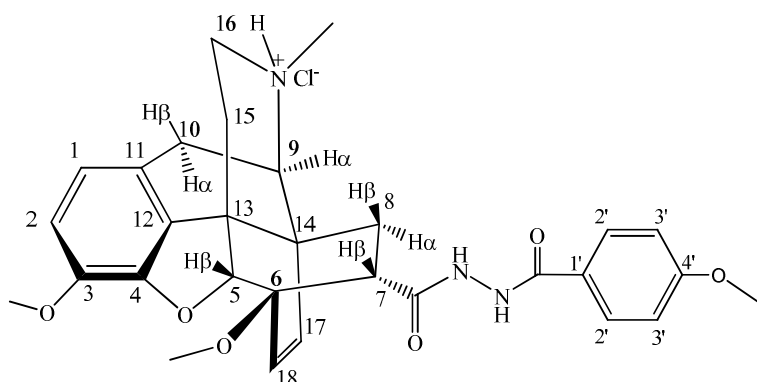
Şekil 5.19.  $7\alpha$ -(Hidrazinokarbonil)-6,14-*endo*-eteno-6,7,8,14-tetrahidrotetrabain bileşığının  $^{13}\text{C}$ -APT spektrumu



Şekil 5.20. *7α*-(Hidrazinokarbonil)-6,14-*endo*-eteno-6,7,8,14-tetrahidrotrebain bileşığının HR-MS spektrumu

## 5.5. Benzoilhidrazin hidroklorür Türevi Bileşiklerin Yapısının Aydınlatılması

### 5.5.1. 1-[(6,14-*endo*-Eteno-6,7,8,14-tetrahidrotetrabain-7*α*-il)-karbonil]-2-*p*-metoksibenzoilhidrazin hidroklorür bileşiğinin yapısı



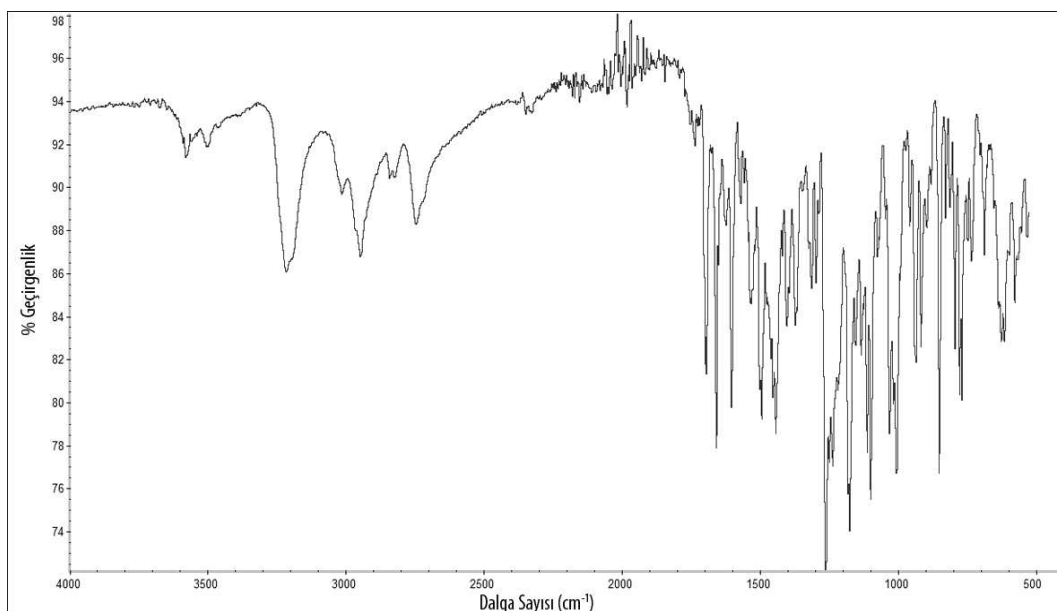
Bileşliğin KBr içinde alınan FT-IR spektrumunda  $3214\text{ cm}^{-1}$  deki tekli band N-H gerilme titreşiminden,  $3033\text{ cm}^{-1}$  deki band aromatik C-H gerilme titreşiminden,  $2952\text{ cm}^{-1}$  deki band alifatik C-H gerilme titreşiminden,  $1695$  ve  $1652\text{ cm}^{-1}$  deki bantlar C=O gerilme titreşiminden,  $1614$  ve  $1604\text{ cm}^{-1}$  deki bantlar N-H gerilmesinden kaynaklanmaktadır (Şekil 5.21).

Bileşliğin DMSO- $d_6$  içerisinde alınan  $^1\text{H-NMR}$  spektrumunda N-H protonlarına ait pikler  $10,31\text{ ppm}$ ’de birli  $1\text{H}$ ,  $9,85\text{ ppm}$ ’de birli  $1\text{H}$  ve  $9,27\text{ ppm}$ ’de yayvan  $1\text{H}$  olarak gözlenmektedir. Aromatik protonlardan H- $2'$  protonları  $7,85\text{ ppm}$ ’de ikili  $2\text{H}$  ( $J_{2',3'} = 8,8\text{ Hz}$ ), H- $3'$  protonları  $7,02\text{ ppm}$ ’de ikili  $2\text{H}$  ( $J_{2',3'} = 8,8\text{ Hz}$ ), H-1 protonu  $6,75\text{ ppm}$ ’de ikili  $1\text{H}$  ( $J_{1,2} = 8,2\text{ Hz}$ ) ve H-2 protonu da  $6,63\text{ ppm}$ ’de ikili  $1\text{H}$  ( $J_{1,2} = 8,2\text{ Hz}$ ) olarak gözlenmektedir. Vinillik protonlardan H-18 protonu  $5,71\text{ ppm}$ ’de ikili  $1\text{H}$  ( $J_{17,18} = 8,9\text{ Hz}$ ), H-17 protonu da  $5,53\text{ ppm}$ ’de ikili  $1\text{H}$  ( $J_{17,18} = 8,9\text{ Hz}$ ) şeklinde görülmektedir. H- $5\beta$  protonu  $4,75\text{ ppm}$ ’de birli  $1\text{H}$ ; H- $9\alpha$  protonu  $4,19\text{ ppm}$ ’de ikili  $1\text{H}$  ( $J_{9\alpha,10\alpha} = 6,1\text{ Hz}$ ), C- $4'$  karbonuna bağlı O-CH<sub>3</sub> grubundaki protonlar  $3,82\text{ ppm}$ ’de birli  $3\text{H}$ ; C-3 karbonuna bağlı O-CH<sub>3</sub> grubundaki protonlar  $3,73\text{ ppm}$ ’de birli  $3\text{H}$  ve C-6 karbonuna bağlı O-CH<sub>3</sub> grubundaki protonlar ise  $3,51\text{ ppm}$ ’de birli  $3\text{H}$  olarak gözlenmektedir. H- $10\beta$  protonu  $3,45$ - $3,51\text{ ppm}$  aralığında çoklu  $1\text{H}$ ; H-16aks protonu  $3,23$ - $3,27\text{ ppm}$  aralığında çoklu  $1\text{H}$ ; H- $7\beta$ , H- $8\beta$ , H- $10\alpha$ , H-16ekv ve azot atomuna

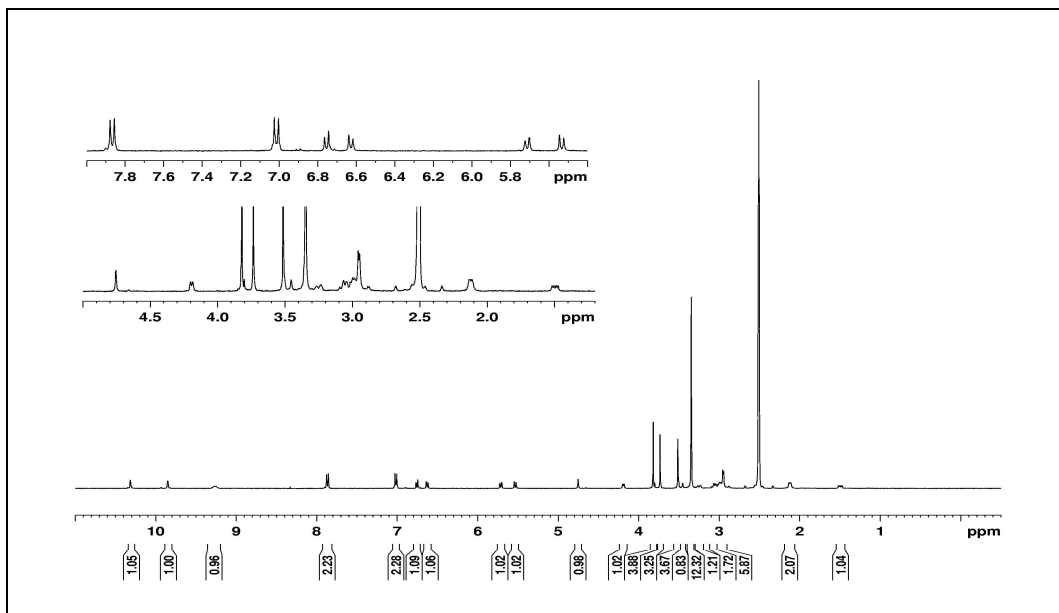
bağlı  $N\text{-CH}_3$  grubuna ait protonlar 2,95-3,09 ppm aralığında çoklu 7H, H-15aks ve H-15ekv protonları 2,11-2,13 ppm aralığında çoklu 2H ve H- $8\alpha$  protonuna ait pikler ise 1,48 ppm'de ikilinin ikilisi 1H ( $J_{8\alpha,8\beta} = 12,4$  Hz,  $J_{8\alpha,7\beta} = 5,8$  Hz) olarak gözlenmektedir (Şekil 5.22.).

Bileşigin DMSO- $d_6$  içerisinde alınan  $^{13}\text{C}$ -APT spektrumunda C atomlarına ait pikler (ppm); 120,40 C(1); 114,75 C(2); 142,30 C(3); 148,26 C(4); 91,29 C(5); 80,39 C(6); 40,72 C(7); 30,30 C(8); 61,15 C(9); 24,71 C(10); 125,74 C(11); 132,40 C(12); 46,66 C(13); 42,55 C(14); 30,86 C(15); 45,82 C(16); 132,66 C(17); 128,36 C(18); 55,84 CH<sub>3</sub>O-C(3); 52,13 CH<sub>3</sub>O-C(6); 42,10 CH<sub>3</sub>-N; 165,15 (N-C=O); 162,38 (N-C=O); 125,07 C(1'); 114,75 C(2'); 114,08 C(3'); 170,64 C(4'), 56,67 CH<sub>3</sub>O-C(4') şeklinde gözlenmektedir (Şekil 5.23.).

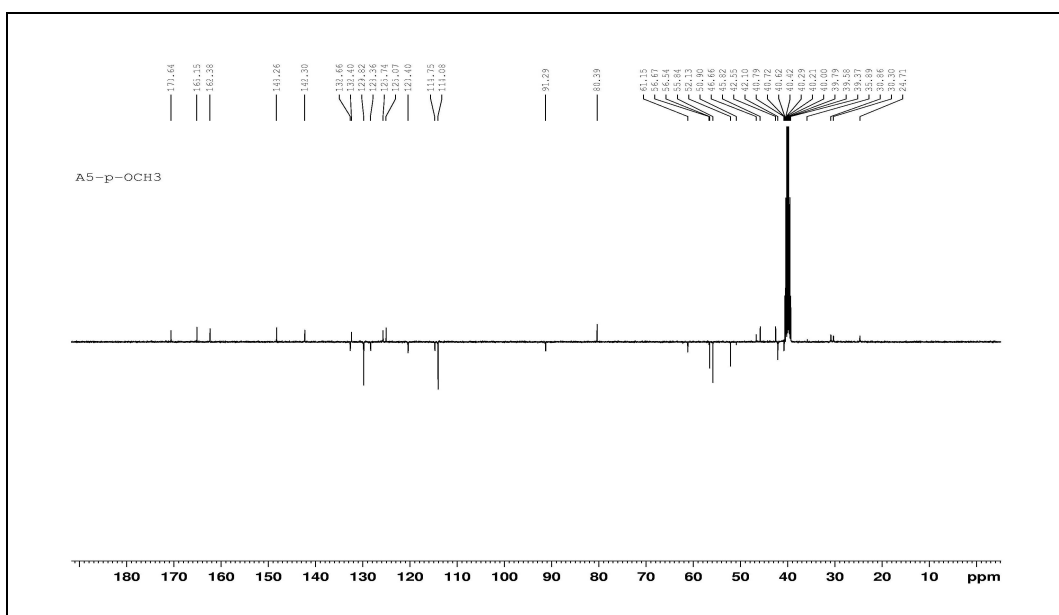
HR-MS (Şekil 5.25.) : 532,2430 ([M-H]<sup>+</sup>, C<sub>30</sub>H<sub>34</sub>N<sub>3</sub>O<sub>6</sub><sup>+</sup>, hesaplanan, 532,2448).



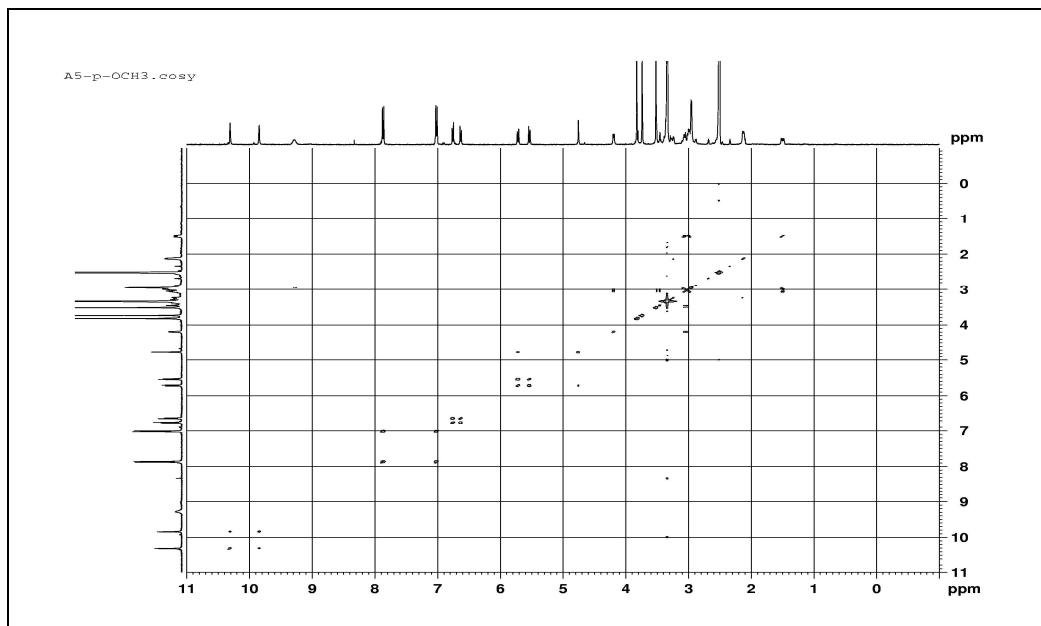
Şekil 5.21. 1-[(6,14-*endo*-Eteno-6,7,8,14-tetrahidrebain-7 $\alpha$ -il)-karbonil]-2-*p*-metoksibenzoilhidrazin hidroklorür bileşiginin FT-IR spektrumu



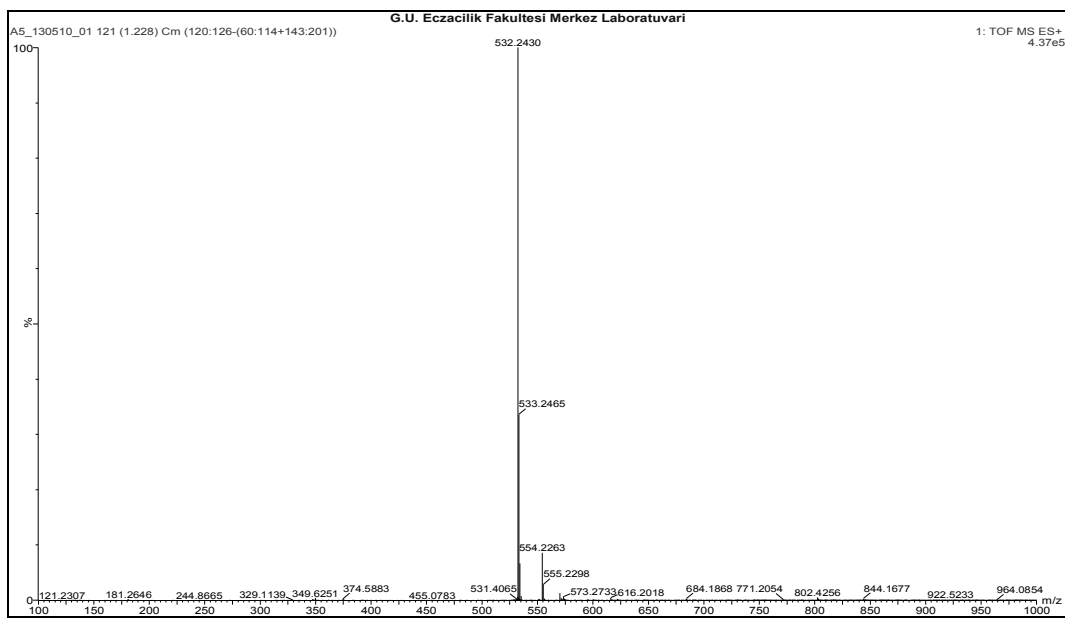
Şekil 5.22. 1-[(6,14-*endo*-Etno-6,7,8,14-tetrahidrotrebain-7*a*-il)-karbonil]-2-*p*-metoksibenzoilhidrazin hidroklorür bileşığının  $^1\text{H-NMR}$  spektrumu



Şekil 5.23. 1-[(6,14-*endo*-Etno-6,7,8,14-tetrahidrotrebain-7*α*-il)-karbonil]-2-*p*-metoksibenzoilhidrazin hidroklorür bileşığının  $^{13}\text{C}$ -APT spektrumu

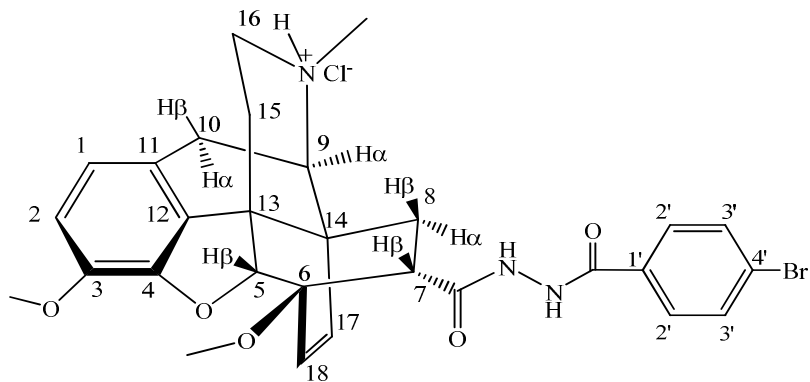


Şekil 5.24. 1-[(6,14-*endo*-Eteno-6,7,8,14-tetrahidrotetrain-7 $\alpha$ -il)-karbonil]-2-*p*-metoksibenzoylhydrazin hidroklorür bileşığının COSY spektrumu



Şekil 5.25. 1-[(6,14-*endo*-Eteno-6,7,8,14-tetrahidrotetrain-7 $\alpha$ -il)-karbonil]-2-*p*-metoksibenzoylhydrazin hidroklorür bileşığının HR-MS spektrumu

**5.5.2. 1-[(6,14-*endo*-Eteno-6,7,8,14-tetrahidrotetrabain-7*α*-il)-karbonil]-2-*p*-bromobenzoilhidrazin hidroklorür bileşığının yapısı**



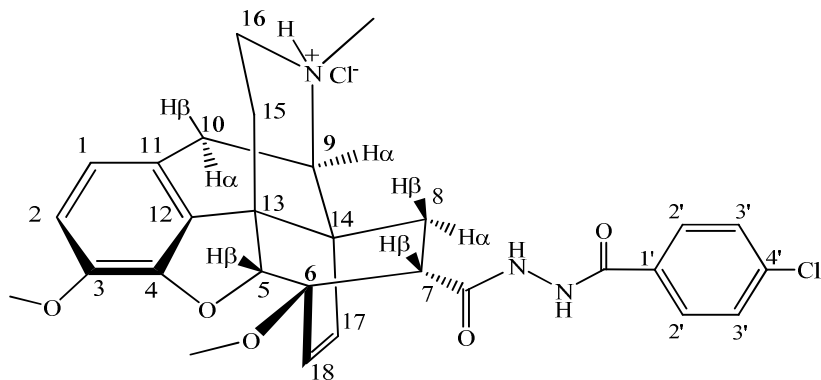
IR ( $\nu, \text{cm}^{-1}$ ) (Ek-1, Şekil 1.1) : 3358 (-N-H); 3035 (=C-H); 2957 (C-H); 1695, 1652 (-C=O); 1614, 1585 (N-C=O).

$^1\text{H-NMR}$  (DMSO- $d_6$ , ppm) (Ek-1, Şekil 1.2) : 10,57(birli, 1H, N-H); 10,03 (birli, 1H, N-H); ve 9,78 (yayvan, 1H, N-H); 7,82 (ikili,  $J_{2',3'} = 8,2$  Hz, 2H, H-2'); 7,72 (ikili,  $J_{2',3'} = 8,2$  Hz, 2H, H-3'); 6,76 (ikili,  $J_{1,2} = 8,3$  Hz, 1H, H-2); 6,62 (ikili,  $J_{1,2} = 8,3$  Hz, 1H, H-1); 5,68 (ikili,  $J_{17,18} = 8,8$  Hz, 1H, H-18); 5,55 (ikili,  $J_{1,2} = 8,8$  Hz, 1H, H-17); 4,75 (birli, 1H, H-5β); 4,18 (ikili,  $J_{9\alpha,10\alpha} = 6,2$  Hz, 1H, H-9α); 3,73 (birli, 3H, 3-OCH<sub>3</sub>); 3,51 (birli, 3H, 6-OCH<sub>3</sub>); 3,43 (ikili,  $J_{10\alpha,10\beta} = 11,3$  Hz, 1H, H-10β); 2,86-3,29 (çoklu, 8H, H-16aks, H-7β, H-8β, H-10α, N-CH<sub>3</sub>, H-16ekv); 2,09-2,14 (çoklu, 2H, H-15aks ve H-15ekv); 1,47 (ikilinin ikilisi,  $J_{8\alpha,8\beta} = 12,8$  Hz,  $J_{8\alpha,7\beta} = 6,2$  Hz, 1H, H-8α).

$^{13}\text{C-APT-NMR}$ (DMSO- $d_6$ , ppm) (Ek-1, Şekil 1.3): 120,42 C(1); 114,71 C(2); 142,29 C(3); 148,22 C(4); 91,23 C(5); 80,86 C(6); 40,77 C(7); 30,27 C(8); 61,13 C(9); 24,75 C(10); 126,02 C(11); 132,39 C(12); 46,63 C(13); 42,57 C(14); 30,89 C(15); 45,83 C(16); 132,75 C(17); 128,29 C(18); 56,53 MeO-C(3); 52,14 MeO-C(6); 42,06 N-CH<sub>3</sub>; 170,59 (N-C=O); 164,89 (N-C=O); 125,73 C(1'); 131,77 C(2'); 130,48 C(3'); 171,61 C(4')

HR-MS (Ek-1, Şekil 1.4) : 580,1460 ([M-H]<sup>+</sup>, C<sub>29</sub>H<sub>31</sub>BrN<sub>3</sub>O<sub>5</sub><sup>+</sup>, hesaplanan, 580,1447).

**5.5.3. 1-[(6,14-*endo*-Eteno-6,7,8,14-tetrahidrotetrabain-7*α*-il)-karbonil]-2-*p*-klorobenzoilhidrazin hidroklorür bileşiğinin yapısı**



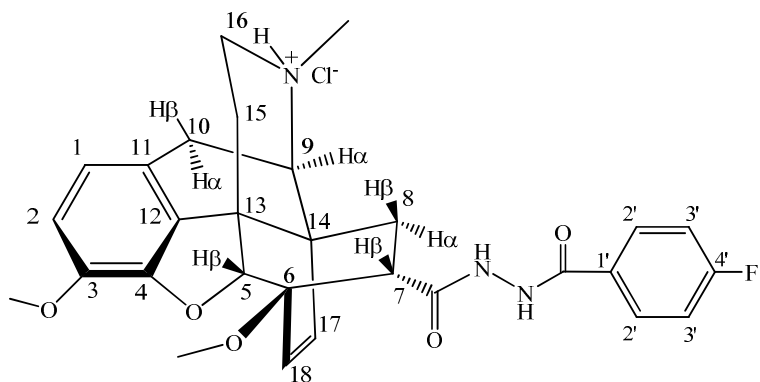
IR ( $\nu, \text{cm}^{-1}$ ) (Ek-2, Şekil 2.1).: 3190 (-N-H); 3043 (=C-H); 2942 (C-H); 1690, 1657 (-C=O); 1620, 1595 (N-C=O)

$^1\text{H-NMR}$  (DMSO- $d_6$ , ppm) (Ek-2, Şekil 2.2).: 10,57 (birli, 1H, N-H); 9,99(birli, 1H, N-H) ve 9,42 (yayvan, 1H, N-H); 7,90 (ikili,  $J_{2',3'} = 8,5$  Hz, 2H, H-2'); 7,58 ( ikili,  $J_{2',3'} = 8,5$  Hz, 2H, H-3'); 6,75 (ikili,  $J_{1,2} = 8,3$  Hz, 1H, H-2); 6,63 (ikili,  $J_{1,2} = 8,3$  Hz, 1H, H-1); 5,71 (ikili,  $J_{17,18} = 8,8$  Hz, 1H, H-18); 5,54 (ikili,  $J_{1,2} = 8,8$  Hz, 1H, H-17); 4,76 (birli, 1H, H-5β); 4,19 (ikili,  $J_{9\alpha,10\alpha} = 6,4$  Hz, 1H, H-9α); 3,73 (birli, 3H, 3-OCH<sub>3</sub>); 3,51 (birli, 3H, 6-OCH<sub>3</sub>); 3,45-3,51 (çoklu, 1H, H-10β); 2,88-3,26 (çoklu, 8H, H-16aks, H-7β, H-8β, H-10α, N-CH<sub>3</sub>, H-16ekv); 2,09-2,18 (çoklu, 2H, H-15aks ve H-15ekv); 1,48 (ikilinin ikilisi,  $J_{8\alpha,8\beta} = 12,6$  Hz ,  $J_{8\alpha,7\beta} = 6,1$  Hz, 1H, H-8α).

$^{13}\text{C-NMR}$ (DMSO- $d_6$ , ppm) (Ek-2, Şekil 2.3).: 120,41 C(1); 114,71 C(2); 142,28 C(3); 148,22 C(4); 91,28 C(5); 80,37 C(6); 40,79 C(7); 30,29 C(8); 61,13 C(9); 24,66 C(10); 125,70 C(11); 132,35 C(12); 46,64 C(13); 42,52 C(14); 30,80 C(15); 45,81 C(16); 132,70 C(17); 128,31 C(18); 56,51 MeO-C(3); 52,15 MeO-C(6); 42,08 N-CH<sub>3</sub>; 170,59 (N-C=O); 164,65 (N-C=O); 131,64 C(1'); 129,84 C(2'); 129,025 C(3'); 137,06 C(4').

HR-MS (Ek-2, Şekil 2.4).: 536,1926 ([M-H]<sup>+</sup>, C<sub>29</sub>H<sub>31</sub>ClN<sub>3</sub>O<sub>5</sub><sup>+</sup>, hesaplanan, 536,1952).

**5.5.4. 1-[(6,14-*endo*-Eteno-6,7,8,14-tetrahidrotetrabain-7*α*-il)-karbonil]-2-*p*-florobenzoilhidrazin hidroklorür bileşığının yapısı**



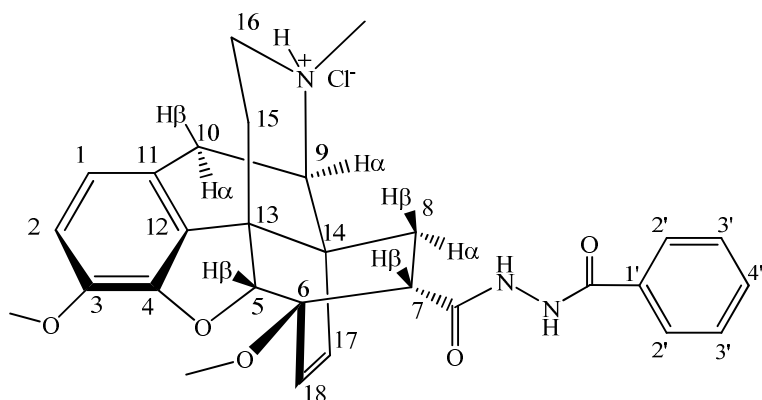
IR ( $\nu, \text{cm}^{-1}$ ) (Ek-3, Şekil 3.1).: 3290 (-N-H); 3066 (=C-H); 2961 (C-H); 1695, 1657 (-C=O); 1623, 1604 (N-C=O).

$^1\text{H-NMR}$  (DMSO- $d_6$ , ppm) (Ek-3, Şekil 3.2).: 10,50(birli, 1H, N-H); 10,02 (birli, 1H, N-H); ve 9,94 (yayvan, 1H, N-H); 7,94-7,97 (çoklu, 2H, H-2'); 7,30-7,37 (çoklu, 2H, H-3'); 6,75 (ikili,  $J_{1,2} = 8,2$  Hz, 1H, H-2); 6,63 (ikili,  $J_{1,2} = 8,2$  Hz, 1H, H-1); 5,68 (ikili,  $J_{17,18} = 8,8$  Hz, 1H, H-18); 5,53 (ikili,  $J_{1,2} = 8,8$  Hz, 1H, H-17); 4,75 (birli, 1H, H-5*β*); 4,18 (ikili,  $J_{9\alpha,10\alpha} = 6,2$  Hz, 1H, H-9*α*); 3,75(birli, 3H, 3-OCH<sub>3</sub>); 3,52 (birli, 3H, 6-OCH<sub>3</sub>); 3,46 (ikili,  $J_{10\alpha,10\beta} = 19,9$  Hz, 1H, H-10*β*); 2,86 -3,32 (çoklu, 8H, H-16aks, H-7*β*, H-8*β*, H-10*α*, N-CH<sub>3</sub>, H-16ekv); 2,08-2,22 (çoklu, 2H, H-15aks ve H-15ekv); 1,47 (ikilinin ikilisi,  $J_{8\alpha,8\beta} = 12,2$  Hz,  $J_{8\alpha,7\beta} = 6,3$  Hz, 1H, H-8*α*).

$^{13}\text{C APT-NMR}$ (DMSO- $d_6$ , ppm) (Ek-3, Şekil 3.3).: 120,41 C(1); 114,68 C(2); 142,28 C(3); 148,22 C(4); 91,92 C(5); 80,40 C(6); 42,09 C(7); 30,72 C(8); 61,11 C(9); 24,76 C(10); 125,91 C(11); 132,46 C(12); 46,63 C(13); 43,80 C(14); 31,17 C(15); 45,83 C(16); 132,75 C(17); 128,31 C(18); 171,67 (N-C=O); 164,70 (N-C=O); 129,45 C(1'); 130,68-130,59 ( $J_{\text{C}2'-\text{F}} = 9,0$  Hz, C(2')); 115,99-115,77 ( $J_{\text{C}3'-\text{F}} = 22,0$  Hz, C(3')); 165,83-163,36 ( $J_{\text{C}4'-\text{F}} = 247,0$  Hz, C(4')); 56,63 MeO-C(3); 52,12 MeO-C(6), 42,36 N-CH<sub>3</sub>.

HR-MS (Ek-3, Şekil 3.4).: 520,2250 ([M-H]<sup>+</sup>, C<sub>29</sub>H<sub>31</sub>FN<sub>3</sub>O<sub>5</sub><sup>+</sup>, hesaplanan, 520,2248).

**5.5.5. 1-[(6,14-*endo*-Eteno-6,7,8,14-tetrahidrotetrabain-7*α*-il)-karbonil]-2-benzoilhidrazin hidroklorür bileşığının yapısı**



IR ( $\nu, \text{cm}^{-1}$ ) (Ek-4, Şekil 4.1).: 3200 (-N-H); 3023 (=C-H); 2971 (C-H); 1695, 1657 (-C=O); 1628, 1600 (N-C=O).

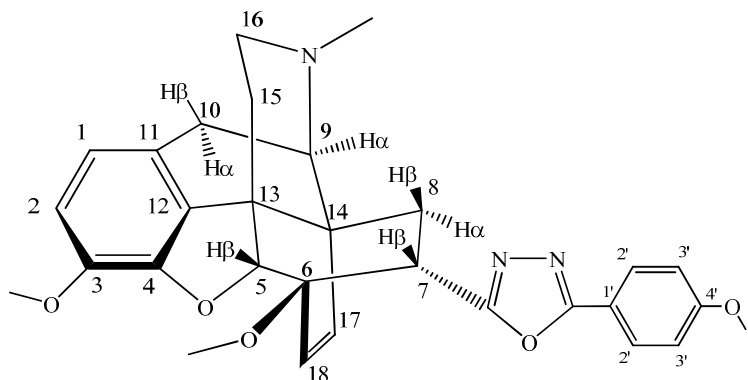
$^1\text{H-NMR}$  (DMSO- $d_6$ , ppm) (Ek-4, Şekil 4.2.).: 10,35(birli, 1H, N-H); 9,85(birli, 1H, N-H) ve 9,54 (yayvan, 1H, N-H); 7,79 (ikili,  $J_{2',3'} = 7,4$  Hz, 2H, H-2'); 7,48 (üçlü,  $J_{3',4'} = 7,3$  Hz, 1H, H-4'); 7,39 (üçlü,  $J_{3',2'} = 7,3$  Hz, 2H, H-3'); 6,66 (ikili,  $J_{1,2} = 8,2$  Hz, 1H, H-2); 6,53 (ikili,  $J_{1,2} = 8,2$  Hz, 1H, H-1); 5,61 (ikili,  $J_{17,18} = 8,8$  Hz, 1H, H-18); 5,44 (ikili,  $J_{1,2} = 8,8$  Hz, 1H, H-17); 4,66 (birli, 1H, H-5*β*); 4,09 (ikili,  $J_{9\alpha,10\alpha} = 6,4$  Hz, 1H, H-9*α*); 3,64 (birli, 3H, 3-OCH<sub>3</sub>); 3,43 (birli, 3H, 6-OCH<sub>3</sub>); 3,42 (ikili,  $J_{10\alpha,10\beta} = 18$  Hz, 1H, H-10*β*); 2,78-3,16 (çoklu, 8H, H-16aks, H-7*β*, H-8*β*, H-10*α*, N-CH<sub>3</sub>, H-16ekv); 2,00-2,07 (çoklu, 2H, H-15aks ve H-15ekv); 1,40 (ikilinin ikilisi,  $J_{8\alpha,8\beta} = 12,7$  Hz,  $J_{8\alpha,7\beta} = 6,5$  Hz, 1H, H-8*α*).

$^{13}\text{C-APT}$  (DMSO- $d_6$ , ppm) (Ek-4, Şekil 4.3).: 120.41 C(1); 114.79 C(2); 143.31 C(3); 148.27 C(4); 91.35 C(5); 80.38 C(6); 40.84 C(7); 30.30 C(8); 61.18 C(9); 24.66 C(10); 125.71 C(11); 132.37 C(12); 46.69 C(13); 42.53 C(14); 30.82 C(15); 45.82 C(16); 132.64 C(17); 128.35 C(18); 56.56 CH<sub>3</sub>-O-C(3); 52.18 CH<sub>3</sub>-O-C(6); 42.11 CH<sub>3</sub>-N; 170.42 (N-C=O); 165.66 (N-C=O); 132.92 C(1'); 132.21 C(2'); 129.025 C(3'); 125.71 C(4').

HR-MS (Ek-4, Şekil 4.4).: 502,2317 ([M-H]<sup>+</sup>, C<sub>29</sub>H<sub>32</sub>N<sub>3</sub>O<sub>5</sub><sup>+</sup>, hesaplanan, 502,2342).

## 5.6. 1,3,4-Oksadiazol Türevi Bileşiklerin Yapısının Aydınlatılması

### 5.6.1. 2-(6,14-*endo*-Eteno-6,7,8,14-tetrahidrotetrabain-7*α*-il)-5-(*p*-metoksifenil)-1,3,4-oksadiazol bileşığının yapısı



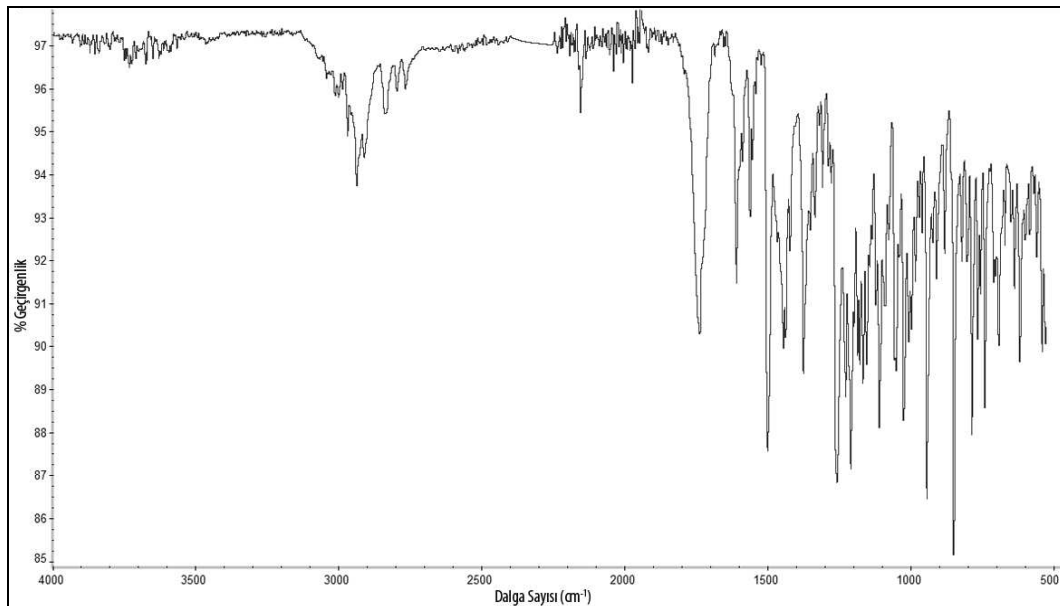
Bileşliğin KBr içinde alınan FT-IR spektrumunda  $3033\text{ cm}^{-1}$  deki band aromatik =C-H gerilme titreşiminden,  $2966\text{ cm}^{-1}$  deki band alifatik C-H gerilme titreşiminden kaynaklanmaktadır (Şekil 5.26.).

Bileşliğin DMSO-*d*<sub>6</sub> içerisinde alınan <sup>1</sup>H-NMR spektrumunda aromatik protonlardan H-2' protonları 7,86 ppm'de ikili 2H ( $J_{2',3'} = 8,8\text{ Hz}$ ), H-3' protonları 7,15 ppm'de ikili 2H ( $J_{2',3'} = 8,9\text{ Hz}$ ), H-2 protonu 6,65 ppm'de ikili 1H ( $J_{1,2} = 8,1\text{ Hz}$ ) ve H-1 protonu ise 6,55 ppm'de ikili 1H ( $J_{1,2} = 8,1\text{ Hz}$ ) şeklinde gözlenmektedir. Vinillik hidrojenlerden H-17 protonu 5,69 ppm'de ikili 1H ( $J_{17,18} = 8,6\text{ Hz}$ ), H-18 protonu ise 5,56 ppm'de ikili 1H ( $J_{17,18} = 8,6\text{ Hz}$ ) olarak görülmektedir. H-5*β* protonu 4,99 ppm'de birli 1H; H-7*β* protonu 3,92 ppm'de ikilinin ikilisi 1H ( $J_{7\beta,8\beta} = 9,2\text{ Hz}$ ,  $J_{7\beta,8\alpha} = 6,1\text{ Hz}$ ); C-4' karbonuna bağlı O-CH<sub>3</sub> grubundaki protonlar 3,85 ppm'de birli 3H; C-3 karbonuna bağlı O-CH<sub>3</sub> grubundaki protonlar 3,71 ppm'de birli 3H; C-6 karbonuna bağlı O-CH<sub>3</sub> grubundaki protonlar ise 3,46 ppm'de birli 3H olarak gözlenmektedir. H-9*α* protonu 3,25 ppm'de ikili 1H ( $J_{9\alpha,10\alpha} = 6,3\text{ Hz}$ ); H-10*β* protonu 3,15 ppm'de ikili 1H ( $J_{10\alpha,10\beta} = 17,8\text{ Hz}$ ), H-8*β* protonu 3,11-3,13 ppm aralığında çoklu 1H; H-16ekv protonu 2,45-2,47 ppm aralığında çoklu 1H ve azot atomuna bağlı metil grubuna ait protonlar ise 2,34 ppm'de birli 3H şeklinde gözlenmektedir. H-16aks, H-10*α* ve H-15aks protonları 2,14-2,31 ppm aralığında çoklu 3H; H-15ekv protonu 1,74-1,71

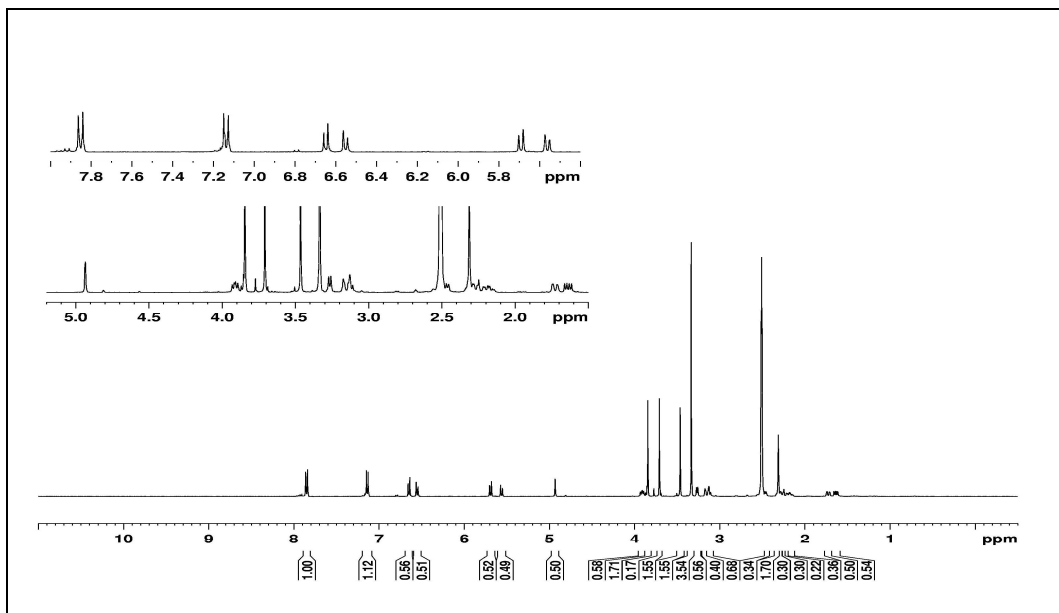
ppm aralığında çoklu 1H; H-8 $\alpha$  protonuna ait pikler ise 1,64 ppm'de ikilinin ikilisi 1H ( $J_{8\alpha,8\beta} = 12,8$  Hz,  $J_{8\alpha,7\beta} = 6,0$  Hz) olarak gözlenmektedir (Şekil 5.27.).

Bileşigin DMSO-*d*<sub>6</sub> içerisinde alınan <sup>13</sup>C-APT spektrumunda C atomlarına ait pikler (ppm); 119,96 C(1); 113,87 C(2); 141,76 C(3); 147,81 C(4); 90,90 C(5); 81,38 C(6); 33,38 C(7); 31,57 C(8); 59,59 C(9); 22,71 C(10); 128,64 C(11); 134,43 C(12); 46,98 C(13); 43,57 C(14); 33,02 C(15); 45,53 C(16); 127,31 C(17); 137,17 C(18); 55,96 CH<sub>3</sub>O-C(3); 51,48 CH<sub>3</sub>O-C(6); 43,57 CH<sub>3</sub>-N; 164,46 (C=N); 166,94 (C=N); 125,07 C(1'); 128,64 C(2'); 115,36 C(3'); 162,34 C(4'), 56,55 CH<sub>3</sub>O-C(4') şeklinde gözlenmektedir (Şekil 5.28.).

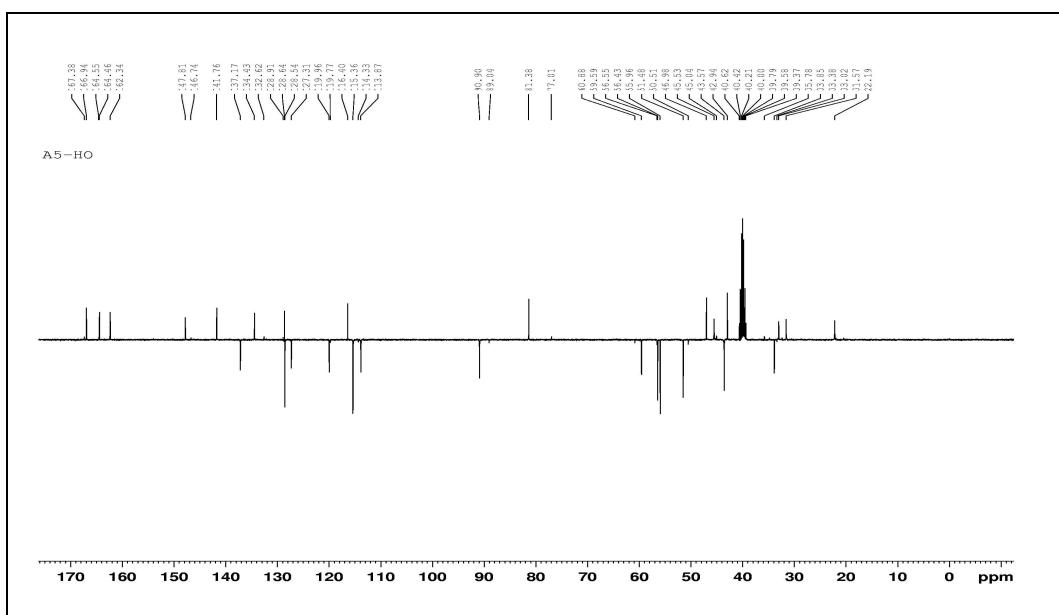
HR-MS (Şekil 5.29.): 514,2319 ([M-H]<sup>+</sup>, C<sub>30</sub>H<sub>32</sub>N<sub>3</sub>O<sub>5</sub><sup>+</sup>, hesaplanan, 514,2342).



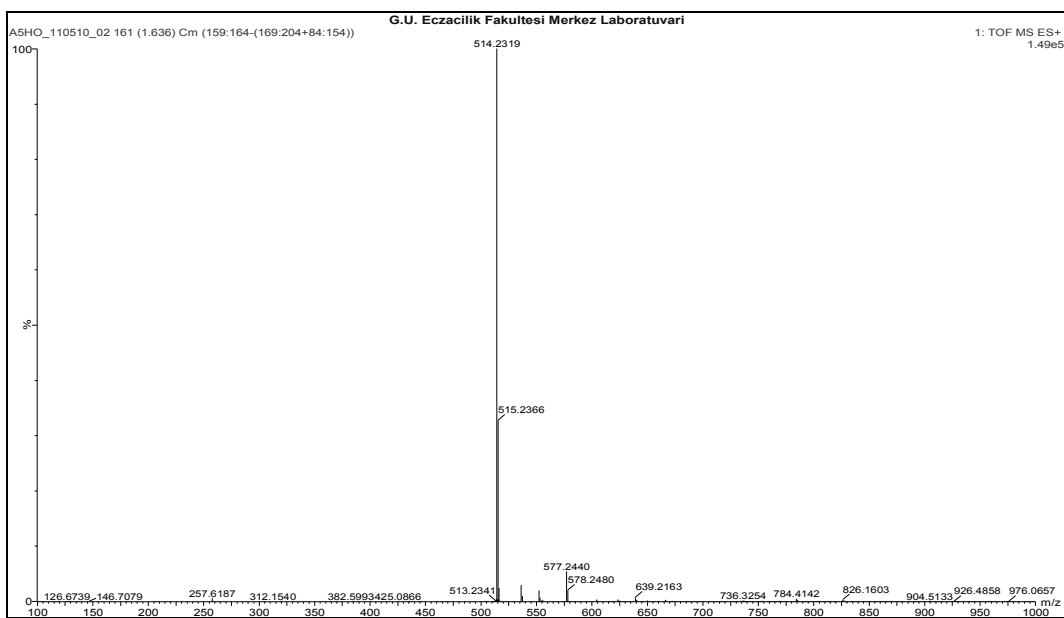
Şekil 5.26. 2-(6,14-*endo*-Eteno-6,7,8,14-tetrahidrotetrabain-7 $\alpha$ -il)-5-(*p*-metoksifenil)-1,3,4-oksadiazol bileşiginin FT-IR spektrumu



Şekil 5.27 2-(6,14-*endo*-Eteno-6,7,8,14-tetrahidrotetrabain-7*α*-il)-5-(*p*-metoksifenil)-1,3,4-oksadiazol bileşinin  $^1\text{H-NMR}$  spektrumu

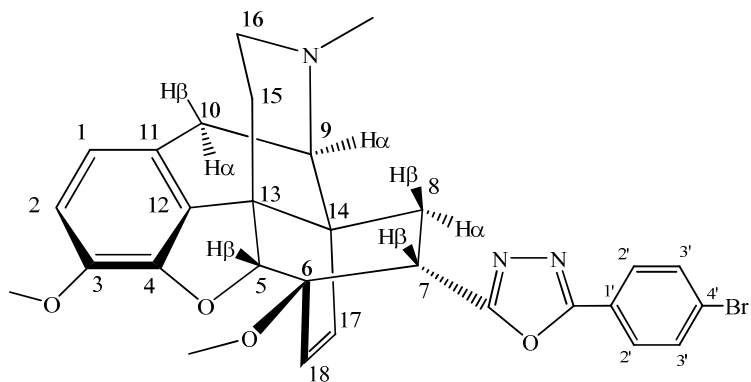


Şekil 5.28. 2-(6,14-*endo*-Eteno-6,7,8,14-tetrahidrotetrabain-7*α*-il)-5-(*p*-metoksifenil)-1,3,4-oksadiazol bileşinin  $^{13}\text{C}$ -APT spektrumu



Şekil 5.29. 2-(6,14-*endo*-Eteno-6,7,8,14-tetrahidrotetrabain-7*α*-il)-5-(*p*-metoksifenil)-1,3,4-oksadiazol bileşığının HR-MS spektrumu

**5.6.2. 2-(6,14-*endo*-Eteno-6,7,8,14-tetrahidrotetrabain-7*α*-il)-5-(*p*-bromofenil)-1,3,4-oksadiazol bileşığının yapısı**



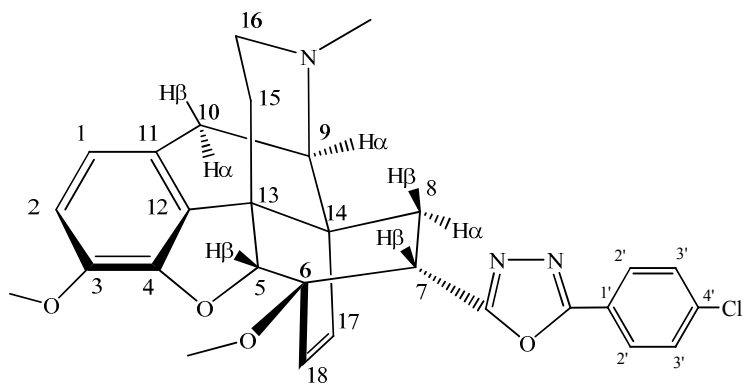
IR ( $\nu, \text{cm}^{-1}$ ) (Ek-5, Şekil 5.1.) : 3061(=C-H), 2952 (C-H).

$^1\text{H-NMR}$  (DMSO- $d_6$ , ppm) (Ek-5, Şekil 5.2.): 7,86 (ikilinin ikilisi,  $J_{2',3'} = 14,9$  Hz,  $J_{3',2'} = 8,7$  Hz 4H, H-3' ve H-2'); 6,65 (ikili,  $J_{1,2} = 8,2$  Hz, 1H, H-2); 6,55 (ikili,  $J_{1,2} = 8,2$  Hz, 1H, H-1); 5,69 (ikili,  $J_{17,18} = 8,8$  Hz, 1H, H-17); 5,56 (ikili,  $J_{1,2} = 8,8$  Hz, 1H, H-18); 4,94 (birli, 1H, H-5*β*); 3,95 (ikilinin ikilisi,  $J_{7\beta,8\beta} = 9,4$  Hz,  $J_{7\beta,8\alpha} = 6,3$  Hz, 1H, H-7*β*); 3,70 (birli, 3H, 3-OCH<sub>3</sub>); 3,46 (birli, 3H, 6-OCH<sub>3</sub>); 3,26 (ikili,  $J_{9\alpha,10\alpha} = 6,2$  Hz, 1H, H-9*α*); 3,14 (ikili,  $J_{10\alpha,10\beta} = 16,8$  Hz, 1H, H-10*β*); 3,11-3,12 (çoklu, 1H, H-8*β*); 2,47-2,45 (çoklu, 1H, H-16ekv); 2,31 (birli, 3H, N-CH<sub>3</sub>); 2,17-2,28 (çoklu, 3H, H-16aks, H-10*α*, H-15aks); 1,72-1,70 (çoklu, 1H, H-15ekv); 1,63 (ikilinin ikilisi,  $J_{8\alpha,8\beta} = 12,8$  Hz,  $J_{8\alpha,7\beta} = 5,9$  Hz, 1H, H-8*α*).

$^{13}\text{C-APT-NMR}$  (DMSO- $d_6$ , ppm) (Ek-5, Şekil 5.3.): 119,50 C(1); 113,30 C(2); 141,25 C(3); 147,25 C(4); 90,28 C(5); 80,88 C(6); 33,37C(7); 31,03 C(8); 59,06 C(9); 21,68 C(10); 125,43 C(11); 128,12 C(12); 46,48 C(13); 42,42 C(14); 32,47 C(15); 45,02 C(16); 126,78 C(17); 136,81 C(18); 55,90 CH<sub>3</sub>O-C(3); 51,00 CH<sub>3</sub>O-C(6); 43,07 N-CH<sub>3</sub>; 163,45 (C=N); 167,49 (C=N); 122,64 C(1'); 132,58 C(2'); 128,25 C(3'); 133,87 C(4')

HR-MS (Ek-5, Şekil 5.4.): 562,1343 ([M-H]<sup>+</sup>, C<sub>29</sub>H<sub>29</sub>BrN<sub>3</sub>O<sub>4</sub><sup>+</sup>, hesaplanan, 562,1341).

**5.6.3. 2-(6,14-*endo*-Eteno-6,7,8,14-tetrahidrotetrabain-7*α*-il)-5-(*p*-klorofenil)-1,3,4-oksadiazol bileşığının yapısı**



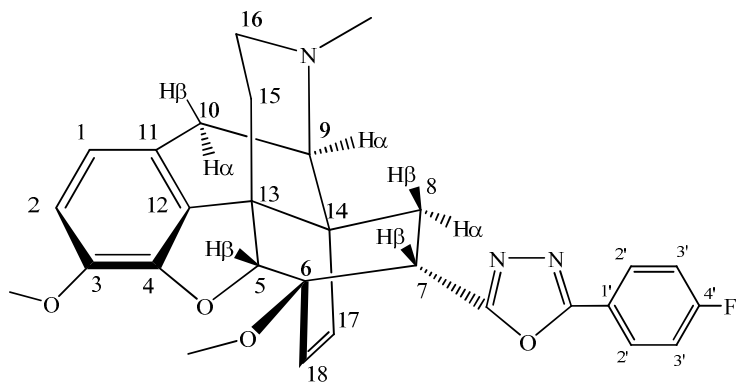
IR ( $\nu, \text{cm}^{-1}$ ) (Ek-6, Şekil 6.1.): 3040 (=C-H), 2928 (C-H).

$^1\text{H-NMR}$  (DMSO- $d_6$ , ppm) (Ek-6, Şekil 6.2.): 7,90 (ikili,  $J_{2',3'} = 8,6$  Hz, 2H, H-2'); 7,68 (ikili,  $J_{2',3'} = 8,6$  Hz, 2H, H-3'); 6,65 (ikili,  $J_{1,2} = 8,2$  Hz, 1H, H-2); 6,56 (ikili,  $J_{1,2} = 8,2$  Hz, 1H, H-1); 5,70 (ikili,  $J_{17,18} = 8,8$  Hz, 1H, H-17); 5,56 (ikili,  $J_{1,2} = 8,8$  Hz, 1H, H-18); 4,94 (birli, 1H, H-5*β*); 3,95 (ikilinin ikilisi,  $J_{7\beta,8\beta} = 9,4$  Hz,  $J_{7\beta,8\alpha} = 5,9$  Hz, 1H, H-7*β*); 3,70 (birli, 3H, 3-OCH<sub>3</sub>); 3,47 (birli, 3H, 6-OCH<sub>3</sub>); 3,25 (ikili,  $J_{9\alpha,10\alpha} = 6,3$  Hz, 1H, H-9*α*); 3,16 (ikili,  $J_{10\alpha,10\beta} = 17,9$  Hz, 1H, H-10*β*); 3,15-3,13 (çoklu, 1H, H-8*β*); 2,31-2,29 (çoklu, 1H, H-16ekv); 2,17-2,29 (çoklu, 3H, H-16aks, H-10*α*, H-15aks); 2,09 (birli, 3H, N-CH<sub>3</sub>); 1,74-1,71 (çoklu, 1H, H-15ekv); 1,65 (ikilinin ikilisi,  $J_{8\alpha,8\beta} = 12,8$  Hz,  $J_{8\alpha,7\beta} = 6,1$  Hz, 1H, H-8*α*).

$^{13}\text{C-APT-NMR}$  (DMSO- $d_6$ , ppm) (Ek-6, Şekil 6.3.): 119,49 C(1); 113,31 C(2); 141,25 C(3); 147,26 C(4); 90,29 C(5); 81,88 C(6); 33,38 C(7); 30,68 C(8); 59,07 C(9); 22,30 C(10); 128,08 C(11); 133,88 C(12); 46,49 C(13); 42,43 C(14); 31,04 C(15); 45,02 C(16); 126,79 C(17); 136,79 C(18); 55,90 CH<sub>3</sub>O-C(3); 51,01 CH<sub>3</sub>O-C(6); 43,08 N-CH<sub>3</sub>; 163,32 (C=N); 167,27 (C=N); 122,32 C(1'); 129,65 C(2'); 128,05 C(3'); 136,54 C(4').

HR-MS (Ek-6, Şekil 6.4.) : 518,1886 ([M-H]<sup>+</sup>, C<sub>29</sub>H<sub>29</sub>ClN<sub>3</sub>O<sub>4</sub><sup>+</sup>, hesaplanan, 518,1847).

**5.6.4. 2-(6,14-*endo*-Eteno-6,7,8,14-tetrahidrotetrabain-7*α*-il)-5-(*p*-florofenil)-1,3,4-oksadiazol bileşiginin yapısı**



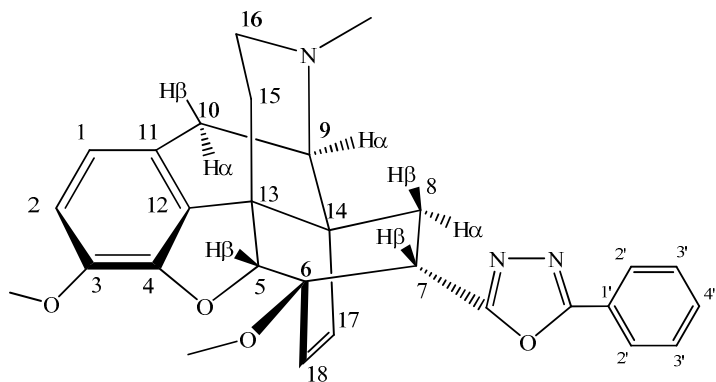
IR ( $\nu$ , cm<sup>-1</sup>) (Ek-7, Şekil 7.1.) : 3057(-C=H), 2962 (-C-H).

<sup>1</sup>H-NMR (DMSO-d<sub>6</sub>, ppm) (Ek-7, Şekil 7.2.) : 7,96-7,99 (çoklu, 2H, H-2'); 7,43-7,47 (çoklu, 2H, H-3'); 6,65 (ikili,  $J_{1,2}$  = 8,2 Hz, 1H, H-2); 6,55 (ikili,  $J_{1,2}$  = 8,2 Hz, 1H, H-1); 5,70 (ikili, 1H,  $J_{17,18}$  = 8,7 Hz, H-17); 5,56 (ikili, 1H,  $J_{17,18}$  = 8,7 Hz, H-18); 4,94 (birli, 1H, H-5*β*); 3,95 (ikilinin ikilisi,  $J_{7\beta,8\beta}$  = 9,2 Hz,  $J_{7\beta,8\alpha}$  = 6,4 Hz, 1H, H-7*β*); 3,70 (birli, 3H, 3-OCH<sub>3</sub>); 3,47 (birli, 3H, 6-OCH<sub>3</sub>); 3,26 (ikili,  $J_{9\alpha,10\alpha}$  = 6,2 Hz, 1H, H-9*α*); 3,11 (ikili,  $J_{10\alpha,10\beta}$  = 18,5 Hz, 1H, H-10*β*); 3,13-3,10 (çoklu, 1H, H-8*β*); 2,50-2,45 (çoklu, 1H, H-16ekv); 2,33 (birli, 3H, N-CH<sub>3</sub>); 2,18-2,31 (çoklu, 3H, H-16aks, H-10*α*, H-15aks); 1,73-1,71 (çoklu, 1H, H-15ekv); 1,65 (ikilinin ikilisi,  $J_{8\alpha,8\beta}$  = 12,4 Hz,  $J_{8\alpha,7\beta}$  = 6,7 Hz, 1H, H-8*α*).

<sup>13</sup>C-APT-NMR (DMSO-d<sub>6</sub>, ppm) (Ek-7, Şekil 7.3.) : 119,49 C(1); 113,29 C(2); 141,24 C(3); 147,25 C(4); 90,29 C(5); 80,88 C(6); 33,34 C(7); 31,04 C(8); 59,07 C(9); 21,67 C(10); 128,12 C(11); 133,88 C(12); 46,48 C(13); 42,43 C(14); 32,47 C(15); 45,02 C(16); 126,79 C(17); 137,77 C(18); 56,01 CH<sub>3</sub>O-C(3); 50,99 CH<sub>3</sub>O-C(6); 43,08 N-CH<sub>3</sub>; 167,09 (C=N); 163,32 (C=N); 120,13 C(1'); 128,98-128,89 ( $J_{C2'-F}$  = 9,0 Hz, C(2')); 116,84-116,62 ( $J_{C3'-F}$  = 22,0 Hz, C(3')); 165,21-162,72 ( $J_{(C4')-F}$  = 249,0 Hz, C(4')).

HR-MS (Ek-7, Şekil 7.4.) : 502,2071 ([M-H]<sup>+</sup>, C<sub>29</sub>H<sub>29</sub>FN<sub>3</sub>O<sub>4</sub><sup>+</sup>, hesaplanan, 502,2142).

**5.6.5. 2-(6,14-*endo*-Eteno-6,7,8,14-tetrahidrotetrabain-7*α*-il)-5-fenil-1,3,4-oksadiazol bileşinin yapısı**



IR ( $\nu, \text{cm}^{-1}$ ) (Ek-8, Şekil 8.1.) : 3057 (=C-H), 2971 (C-H).

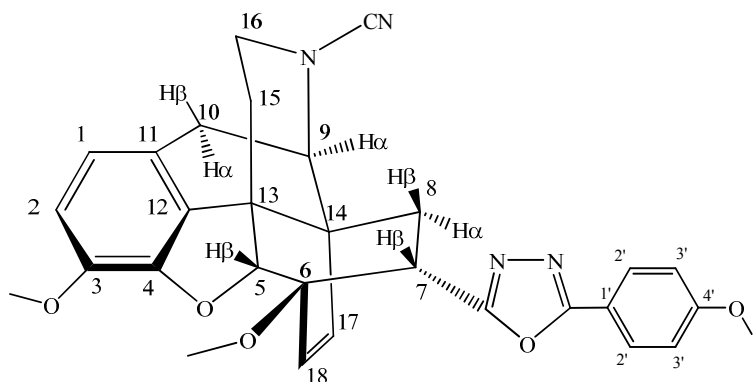
$^1\text{H-NMR}$  (DMSO- $d_6$ , ppm) (Ek-8, Şekil 8.2.) : 7,92-7,62 (çoklu, 5H, H-2', H-3', H-4'); 6,64 (ikili,  $J_{1,2} = 8,2$  Hz, 1H, H-2); 6,53 (ikili,  $J_{1,2} = 8,2$  Hz, 1H, H-1); 5,70 (ikili,  $J_{17,18} = 8,7$  Hz, 1H, H-17); 5,58 (ikili,  $J_{1,2} = 8,7$  Hz, 1H, H-18); 4,94 (birli, 1H, H-5 $\beta$ ); 3,93 (ikilinin ikilisi,  $J_{7\beta,8\beta} = 9,3$  Hz,  $J_{7\beta,8\alpha} = 6,1$  Hz, 1H, H-7 $\beta$ ); 3,70 (birli, 3H, 3-OCH<sub>3</sub>); 3,47 (birli, 3H, 6-OCH<sub>3</sub>); 3,26 (ikili,  $J_{9\alpha,10\alpha} = 6,5$  Hz, 1H, H-9 $\alpha$ ); 3,17-3,14 (çoklu, 1H, H-8 $\beta$ ); 3,10 (ikili,  $J_{10\alpha,10\beta} = 17,4$  Hz, 1H, H-10 $\beta$ ); 2,47-2,45 (çoklu, 2H, H-16ekv, H-16aks); 2,30 (birli, 3H, N-CH<sub>3</sub>); 2,25-2,22 (çoklu, 1H, H-10 $\alpha$ ); 2,19-2,17 (çoklu, 1H, H-15aks); 1,73-1,72 (çoklu, 1H, H-15ekv); 1,63 (ikilinin ikilisi,  $J_{8\alpha,8\beta} = 12,8$  Hz,  $J_{8\alpha,7\beta} = 6,1$  Hz, 1H, H-8 $\alpha$ ).

$^{13}\text{C-APT-NMR}$  (DMSO- $d_6$ , ppm) (Ek-8, Şekil 8.3.) : 119,98 C(1); 113,90 C(2); 141,77 C(3); 147,80 C(4); 90,90 C(5); 81,40 C(6); 33,92 C(7); 33,01 C(8); 59,59 C(9); 22,20 C(10); 128,65 C(11); 132,31 C(12); 47,00 C(13); 42,95 C(14); 31,58 C(15); 45,53 C(16); 126,74 C(17); 137,24 C(18); 55,90 CH<sub>3</sub>O-C(3); 51,53 CH<sub>3</sub>O-C(6); 43,58 CH<sub>3</sub>-N; 164,55 (C=N); 167,56 (C=N); 122,32 C(1'); 129,65 C(2'); 128,05 C(3'); 136,54 C(4').

HR-MS (Ek-8, Şekil 8.4.) : 484,2188 ([M-H]<sup>+</sup>, C<sub>29</sub>H<sub>30</sub>N<sub>3</sub>O<sub>4</sub><sup>+</sup>, hesaplanan, 484,2236).

## 5.7. N-CN Türevi Bileşiklerin Yapılarının Aydınlatılması

### 5.7.1. 2-(N-siyano-6,14-*endo*-Eteno-6,7,8,14-tetrahidrebain-7*α*-il)-5-(*p*-metoksifenil)-1,3,4-oksadiazol bileşiğinin yapısı



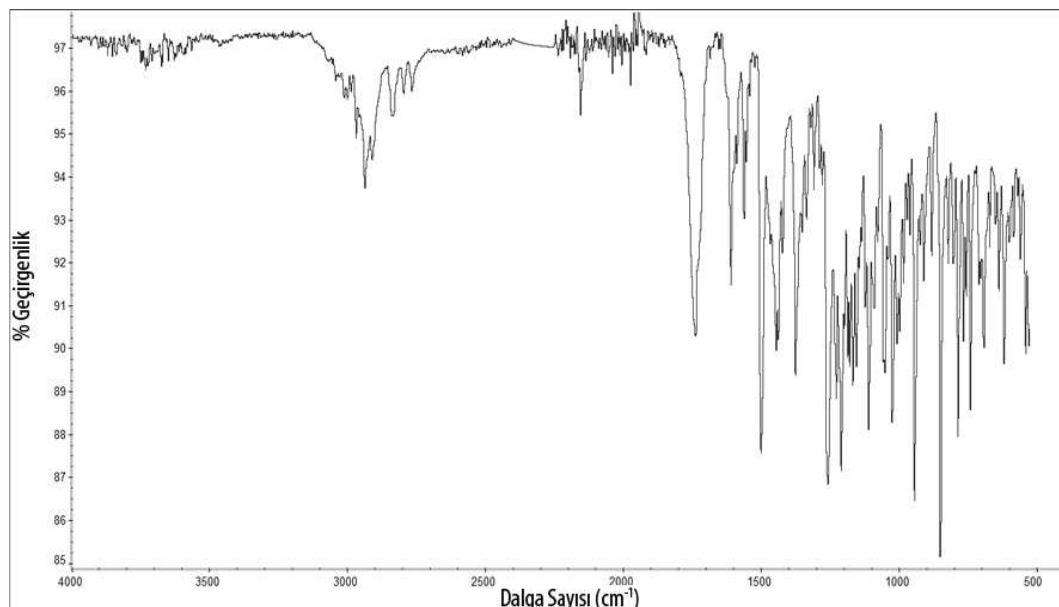
Bileşiğin KBr içinde alınan FT-IR spektrumunda  $3033\text{ cm}^{-1}$  deki band aromatik C-H gerilme titreşiminden,  $2966\text{ cm}^{-1}$  deki band alifatik C-H gerilme titreşiminden,  $2152\text{ cm}^{-1}$  deki band -CN gerilmesinden kaynaklanmaktadır (Şekil 5.30.).

Bileşiğin DMSO-*d*<sub>6</sub> içerisinde alınan <sup>1</sup>H-NMR spektrumu (Şekil 5.31.) incelediğinde aromatik protonlardan H-2' protonları 7,86 ppm'de ikili 2H ( $J_{2',3'} = 8,8\text{ Hz}$ ), H-3' protonları 7,15 ppm'de ikili 2H ( $J_{2',3'} = 8,9\text{ Hz}$ ), H-2 protonu 6,73 ppm'de ikili 1H ( $J_{1,2} = 8,2\text{ Hz}$ ) ve H-1 protonu da 6,62 ppm'de ikili 1H ( $J_{1,2} = 8,2\text{ Hz}$ ) olarak gözlenmektedir. Vinillik protonlardan H-17 protonu 5,68 ppm'de ikili 1H ( $J_{17,18} = 8,8\text{ Hz}$ ); H-18 protonu da 5,65 ppm'de ikili 1H ( $J_{17,18} = 8,8\text{ Hz}$ ) olarak görülmektedir. H-5*β* protonu 4,99 ppm'de birli 1H; H-9*α* protonu 4,14 ppm'de ikili 1H ( $J_{9\alpha,10\alpha} = 6,0\text{ Hz}$ ), H-7*β* protonu 3,92 ppm'de ikiinin ikilisi 1H ( $J_{7\beta,8\beta} = 9,2\text{ Hz}$ ,  $J_{7\beta,8\alpha} = 6,1\text{ Hz}$ ), C-4' karbonuna bağlı O-CH<sub>3</sub> grubunda ki protonlar 3,85 ppm'de birli 3H; C-3 karbonuna bağlı O-CH<sub>3</sub> grubunda ki protonlar 3,79 ppm'de birli 3H; C-6 karbonuna bağlı O-CH<sub>3</sub> grubuna ki protonlar ise 3,47 ppm'de birli 3H olarak gözlenmektedir. H-16ekv protonu 3,34-3,39 ppm aralığında çoklu 1H; H-16aks ve H-10*α* protonları 3,19-3,27 ppm aralığında çoklu 2H; H-10*β* protonu ise 3,12 ppm de ikili ( $J_{10\alpha,10\beta} = 18,9\text{ Hz}$ ) 1H olarak gözlenmektedir. H-8*β* protonu 2,92 ppm de ikiinin ikilisi 1H ( $J_{8\alpha,8\beta} = 12,6\text{ Hz}$ ,  $J_{7\beta,8\beta} = 9,5\text{ Hz}$ ); H-15 aks protonu

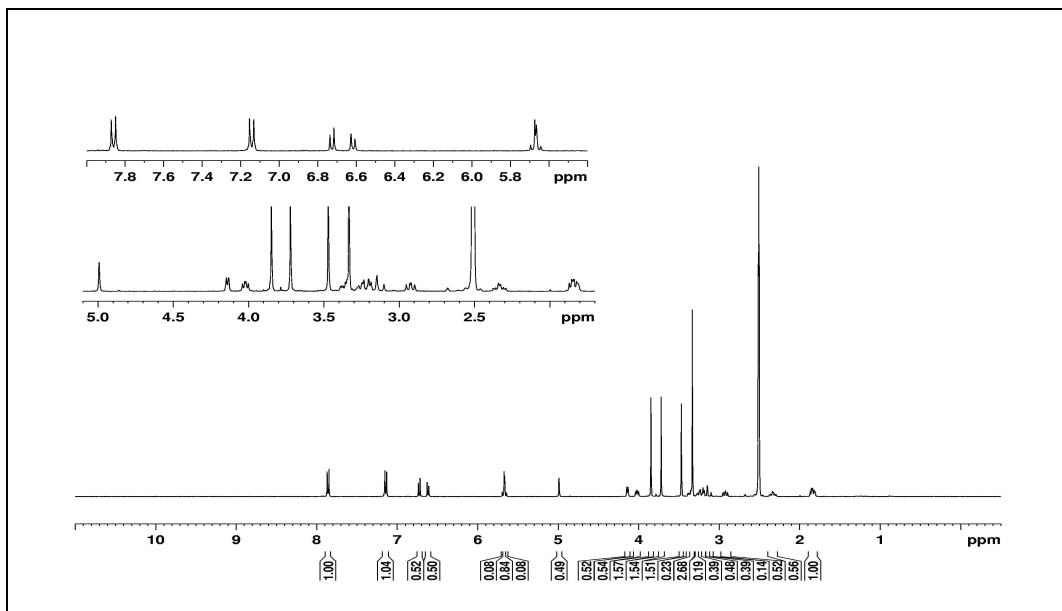
2,29-2,37 ppm aralığında çoklu 1H; H-15ekv protonu ve H-8 $\alpha$  protonu ise 1,82-1,87 ppm aralığında çoklu 2H olarak gözlenmektedir.

Bileşigin DMSO- $d_6$  içerisinde alınan  $^{13}\text{C}$ -APT spektrumu (Şekil 5.32.) incelediğinde C atomlarına ait pikler (ppm); 120,43 C(1); 114,45 C(2); 142,20 C(3); 148,06 C(4); 90,73 C(5); 81,11 C(6); 33,83 C(7); 31,16 C(8); 57,65 C(9); 31,73 C(10); 132,89 C(11); 126,57 C(12); 46,60 C(13); 41,86 C(14); 30,90 C(15); 41,92 C(16); 128,16 C(17); 135,30 C(18); 55,98  $\text{CH}_3\text{O-C}(3)$ ; 51,64  $\text{CH}_3\text{O-C}(6)$ ; 164,56 (C=N); 162,39 (C=N); 118,42 C(1'); 128,60 C(2'); 115,38 C(3'); 166,50 C(4'), 56,44  $\text{CH}_3\text{O-C}(4')$ ; 116,32 ( $N$ -CN) şeklinde gözlenmektedir.

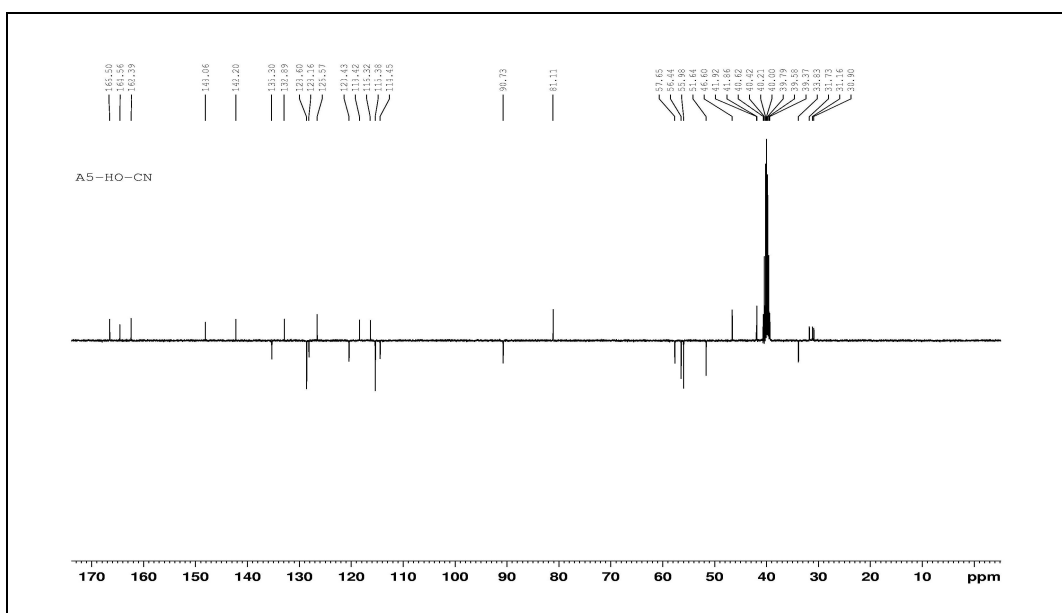
HR-MS (Şekil 5.33.): 525,2125 ( $[\text{M}-\text{H}]^+$ ,  $\text{C}_{30}\text{H}_{30}\text{N}_4\text{O}_5^+$ , hesaplanan, 525,2138).



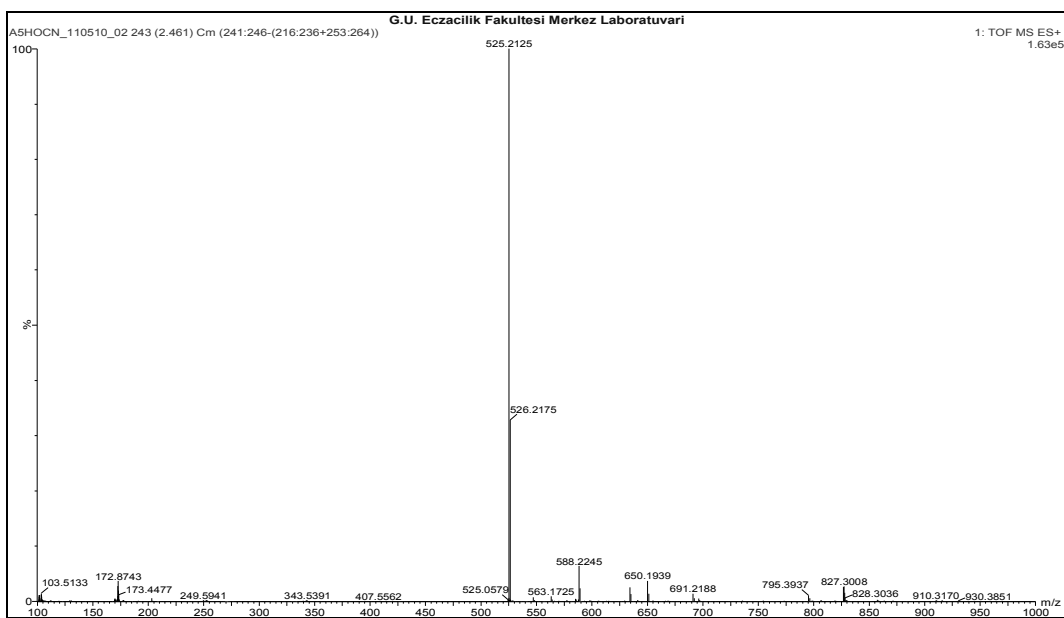
Şekil 5.30. 2-(*N*-siyano-6,14-*endo*-Eteno-6,7,8,14-tetrahidrotrebain-7 $\alpha$ -il)-5-(*p*-metoksifenil)-1,3,4-oksadiazol bileşiginin FT-IR spektrumu



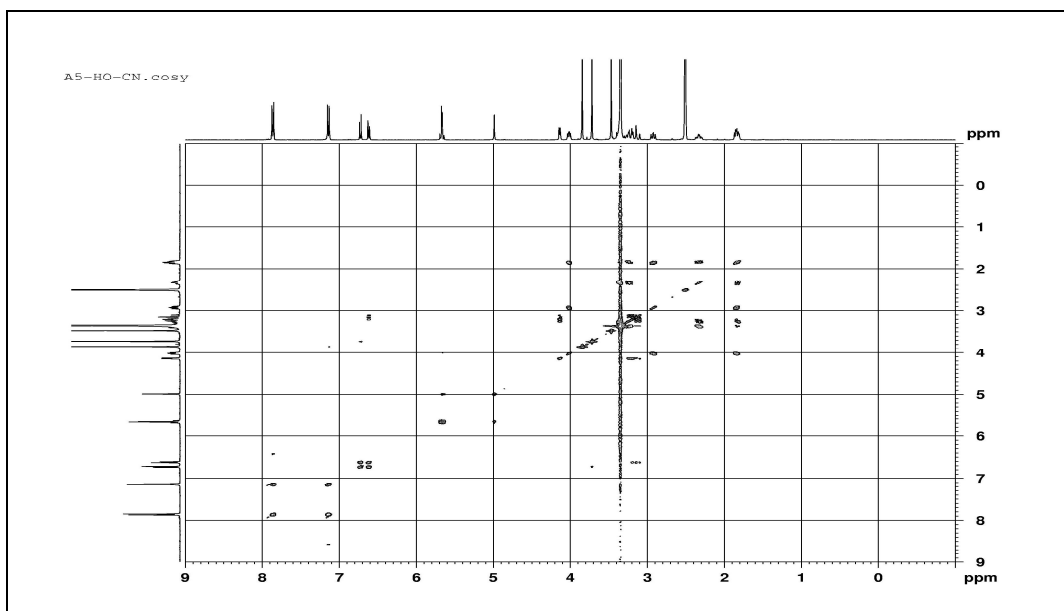
Şekil 5.31. 2-(N-siyano-6,14-*endo*-Eteno-6,7,8,14-tetrahidrotetrabain-7*α*-il)-5-(*p*-metoksifenil)-1,3,4-oksadiazol bileşığının  $^1\text{H}$ -NMR spektrumu



Şekil 5.32. 2-(N-siyano-6,14-*endo*-Eteno-6,7,8,14-tetrahidrotetrabain-7*α*-il)-5-(*p*-metoksifenil)-1,3,4-oksadiazol bileşığının  $^{13}\text{C}$ -APT spektrumu

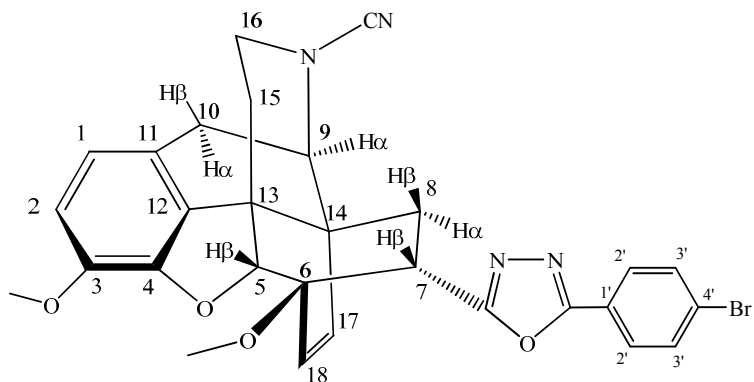


Şekil 5.33 2-(N-siyano-6,14-*endo*-Eteno-6,7,8,14-tetrahidrotetrabain-7*α*-il)-5-(*p*-metoksifenil)-1,3,4-oksadiazol bileşığının HR-MS spektrumu



Şekil 5.34 2-(N-siyano-6,14-*endo*-Eteno-6,7,8,14-tetrahidrotetrabain-7*α*-il)-5-(*p*-metoksifenil)-1,3,4-oksadiazol bileşığının COSY spektrumu

**5.7.2. 2-(N-siyano-6,14-*endo*-Eteno-6,7,8,14-tetrahidrotabin-7*α*-il)-5-(*p*-bromofenil)-1,3,4-oksadiazol bileşığının yapısı**



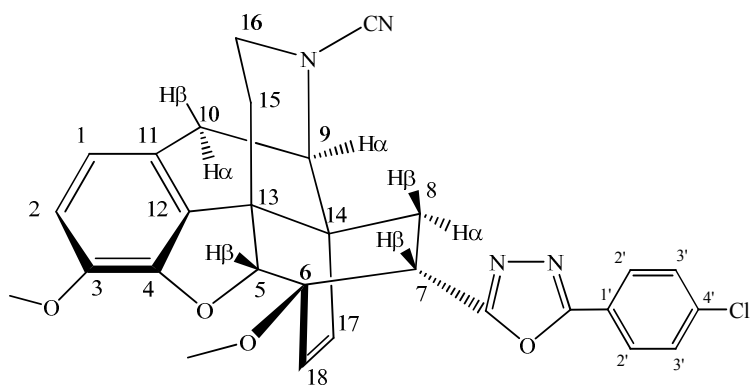
IR ( $\nu, \text{cm}^{-1}$ ) (Ek-9, Şekil 9.1.) : 3059 (=C-H), 2978 (C-H), 2122 (-CN).

$^1\text{H-NMR}$  (DMSO- $d_6$ , ppm) (Ek-9, Şekil 9.2.): 7,92 (ikili,  $J_{2',3'} = 8,9$  Hz, 2H, H-2'); 7,87 (ikili,  $J_{2',3'} = 8,9$  Hz, 2H, H-3'); 6,78 (ikili,  $J_{1,2} = 8,2$  Hz, 1H, H-2); 6,68 (ikili,  $J_{1,2} = 8,2$  Hz, 1H, H-1); 5,75 (ikili,  $J_{17,18} = 8,8$  Hz, 1H, H-17); 5,71 (ikili,  $J_{1,2} = 8,8$  Hz, 1H, H-18); 5,05 (birli, 1H, H-5 $\beta$ ); 4,19 (ikili,  $J_{9\alpha,10\alpha} = 5,9$  Hz, 1H, H-9 $\alpha$ ); 4,13 (ikilinin ikilisi,  $J_{7\beta,8\beta} = 9,1$  Hz,  $J_{7\beta,8\alpha} = 6,3$  Hz, 1H, H-7 $\beta$ ); 3,78 (birli, 3H, 3-OCH<sub>3</sub>); 3,53 (birli, 3H, 6-OCH<sub>3</sub>); 3,48-3,45 (çoklu, 1H, H-16ekv); 3,20-3,35 (çoklu, 2H, H-16aks, H-10 $\alpha$ ); 3,17 (ikili,  $J_{10\alpha,10\beta} = 18,8$  Hz, 1H, H-10 $\beta$ ); 2,98 (ikilinin ikilisi,  $J_{8\alpha,8\beta} = 12,5$  Hz,  $J_{7\beta,8\beta} = 9,5$  Hz, 1H, H-8 $\beta$ ); 2,39-2,43 (çoklu, 1H, H-15aks); 1,87-1,94 (çoklu, 2H, H-15ekv ve H-8 $\alpha$ ).

$^{13}\text{C-APT-NMR}$  (DMSO- $d_6$ , ppm) (Ek-9, Şekil 9.3.): 119,96 C(1); 113,95 C(2); 141,70 C(3); 147,53 C(4); 90,19 C(5); 80,62 C(6); 33,42 C(7); 30,64 C(8); 57,15 C(9); 31,23 C(10); 132,35 C(11); 126,07 C(12); 46,11 C(13); 40,33 C(14); 30,38 C(15); 41,37 C(16); 127,59 C(17); 134,91 C(18); 55,94 CH<sub>3</sub>O-C(3); 51,18 CH<sub>3</sub>O-C(6); 166,83 (C=N); 163,54 (C=N); 122,60 C(1'); 132,57 C(2'); 128,21 C(3'); 125,48 C(4'), 117,92 (N-CN).

HR-MS (Ek-9, Şekil 9.4.) : 573,1136 ([M-H]<sup>+</sup>, C<sub>29</sub>H<sub>26</sub>BrN<sub>4</sub>O<sub>4</sub><sup>+</sup>, hesaplanan, 573,1137).

**5.7.3. 2-(*N*-siyano-6,14-*endo*-Eteno-6,7,8,14-tetrahidrotetrabain-7*α*-il)-5-(*p*-klorofenil)-1,3,4-oksadiazol bileşığının yapısı**



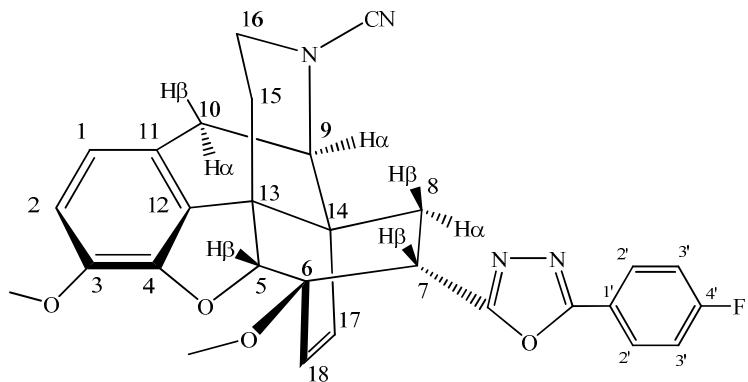
IR ( $\nu, \text{cm}^{-1}$ ) (Ek-10, Şekil 10.1.): 3057 (=C-H), 2942 (C-H), 2209 (-CN).

$^1\text{H-NMR}$  (DMSO- $d_6$ , ppm) (Ek-10, Şekil 10.2.): 7,93 (ikili,  $J_{2',3'} = 8,5$  Hz, 2H, H-2'); 7,70 (ikili,  $J_{2',3'} = 8,5$  Hz, 2H, H-3'); 6,72 (ikili,  $J_{1,2} = 8,2$  Hz, 1H, H-2); 6,62 (ikili,  $J_{1,2} = 8,2$  Hz, 1H, H-1); 5,70 (ikili,  $J_{17,18} = 8,7$  Hz, 1H, H-17); 5,67 (ikili,  $J_{1,2} = 8,8$  Hz, 1H, H-18); 4,99 (birli, 1H, H-5*β*); 4,14 (ikili,  $J_{9\alpha,10\alpha} = 6,2$  Hz, 1H, H-9*α*); 4,07 (ikilinin ikilisi,  $J_{7\beta,8\beta} = 9,3$  Hz,  $J_{7\beta,8\alpha} = 6,1$  Hz, 1H, H-7*β*); 3,72 (birli, 3H, 3-OCH<sub>3</sub>); 3,47 (birli, 3H, 6-OCH<sub>3</sub>); 3,35-3,32 (çoklu, 1H, H-16ekv); 3,18-3,28 (çoklu, 2H, H-16aks, H-10*α*); 3,12 (ikili,  $J_{10\alpha,10\beta} = 18,9$  Hz, 1H, H-10*β*); 2,93 (ikilinin ikilisi,  $J_{8\alpha,8\beta} = 12,6$  Hz,  $J_{7\beta,8\beta} = 9,7$  Hz, 1H, H-8*β*); 2,33 (çoklu, 1H, H-15aks); 1,81-1,88 (çoklu, 2H, H-15ekv ve H-8*α*).

$^{13}\text{C-APT-NMR}$  (DMSO- $d_6$ , ppm) (Ek-10, Şekil 10.3.): 120,46 C(1); 114,46 C(2); 142,20 C(3); 148,03 C(4); 90,69 C(5); 81,13 C(6); 33,91 C(7); 31,14 C(8); 57,65 C(9); 31,73 C(10); 132,85 C(11); 126,57 C(12); 46,61 C(13); 40,38 C(14); 30,88 C(15); 41,87 C(16); 128,10 C(17); 135,41 C(18); 56,43 CH<sub>3</sub>O-C(3); 51,68 CH<sub>3</sub>O-C(6); 167,32 (C=N); 163,93 (C=N); 122,77 C(1'); 130,15 C(2'); 128,60 C(3'); 137,11 C(4'); 118,42 (*N*-CN).

HR-MS (Ek-10, Şekil 10.4.): 529,1669 ([M-H]<sup>+</sup>, C<sub>29</sub>H<sub>26</sub>ClN<sub>4</sub>O<sub>4</sub><sup>+</sup>, hesaplanan, 529,1643).

**5.7.4. 2-(*N*-siyano-6,14-*endo*-Eteno-6,7,8,14-tetrahidrotabin-7*α*-il)-5-(*p*-florofenil)-1,3,4-oksadiazol bileşığının yapısı**



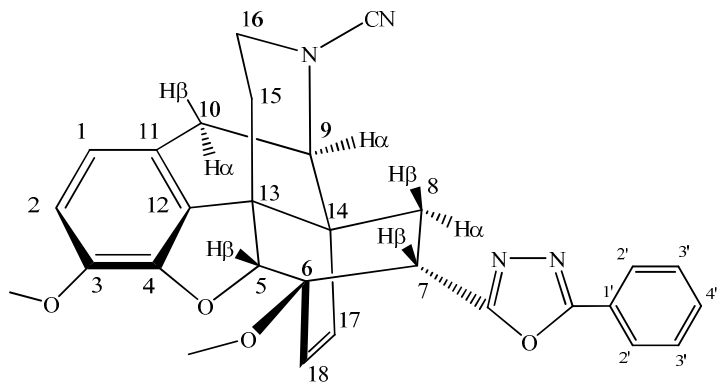
IR ( $\nu$ , cm<sup>-1</sup>) (Ek-11, Şekil 11.1.): 3050 (-C=H), 2938 (-C-H), 2200 (-CN).

<sup>1</sup>H-NMR (DMSO-*d*<sub>6</sub>, ppm) (Ek-11, Şekil 11.2.): 7,97-7,99 (çoklu, 2H, H-2'); 7,43-7,48 (çoklu, 2H, H-3'); 6,72 (ikili,  $J_{1,2}$  = 8,2 Hz, 1H, H-2); 6,62 (ikili,  $J_{1,2}$  = 8,2 Hz, 1H, H-1); 5,69 (ikili, 1H,  $J_{17,18}$  = 8,9 Hz, H-17); 5,65 (ikili, 1H,  $J_{17,18}$  = 8,9 Hz, H-18); 4,99 (birli, 1H, H-5*β*); 4,14 (ikili,  $J_{9α, 10α}$  = 5,9 Hz, 1H, H-9*α*); 4,06 (ikilinin ikilisi,  $J_{7β,8β}$  = 8,8 Hz,  $J_{7β,8α}$  = 5,9 Hz, 1H, H-7*β*); 3,71 (birli, 3H, 3-OCH<sub>3</sub>); 3,47 (birli, 3H, 6-OCH<sub>3</sub>); 3,37-3,34 (çoklu, 1H, H-16ekv); 3,16-3,29 (çoklu, 2H, H-16aks, H-10*α*); 3,12 (ikili,  $J_{10α,10β}$  = 18,6 Hz, 1H, H-10*β*); 2,94 (ikilinin ikilisi,  $J_{8α,8β}$  = 12,6 Hz,  $J_{7β,8β}$  = 9,4 Hz, 1H, H-8*β*); 2,29-2,37 (çoklu, 1H, H-15aks); 1,81-1,88 (çoklu, 2H, H-15ekv ve H-8*α*).

<sup>13</sup>C-APT-NMR (DMSO-*d*<sub>6</sub>, ppm) (Ek-11, Şekil 11.3.): 119,96 C(1); 113,95 C(2); 141,70 C(3); 147,52 C(4); 90,19 C(5); 80,61 C(6); 33,38 C(7); 30,63 C(8); 57,16 C(9); 31,23 C(10); 132,35 C(11); 126,06 C(12); 46,11 C(13); 41,37 C(14); 30,38 C(15); 41,40 C(16); 126,61 C(17); 134,87 C(18); 55,93 CH<sub>3</sub>O-C(3); 51,17 CH<sub>3</sub>O-C(6); 166,63 (C=N); 163,43 (C=N); 120,10 C(1'); 129,03-128,94 ( $J_{(C(2')-F)}$  = 9,0 Hz C(2')); 116,84-116,61 ( $J_{(C(3')-F)}$  = 23,0 Hz C(3')); 165,25-162,76 ( $J_{(C(4')-F)}$  = 249,0 Hz C(4')); 117,93 (N-CN).

HR-MS (Ek-11, Şekil 11.4.): 529,1958 ([M-H]<sup>+</sup>, C<sub>29</sub>H<sub>26</sub>FN<sub>4</sub>O<sub>4</sub><sup>+</sup>, hesaplanan, 513,1938).

**5.7.5. 2-(N-siyano-6,14-*endo*-Eteno-6,7,8,14-tetrahidrotabin-7*α*-il)-5-fenil-1,3,4-oksadiazol bileşiginin yapısı**



IR ( $\nu, \text{cm}^{-1}$ ) (Ek-12, Şekil 12.1.): 3047 (=C-H), 2976 (C-H), 2200 (-CN).

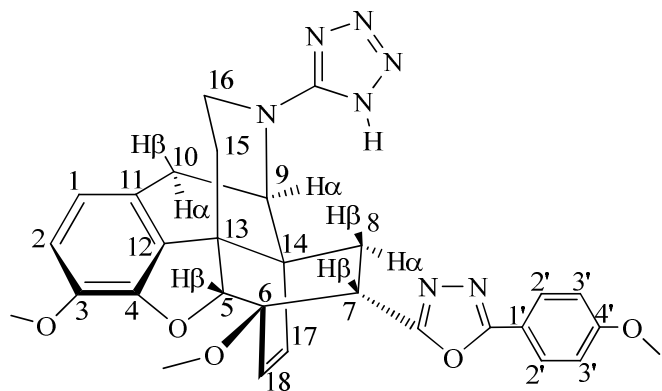
$^1\text{H-NMR}$  (DMSO- $d_6$ , ppm) (Ek-12, Şekil 12.2.): 7,60-7,94 (çoklu, 5H, H-2', H-3', H-4'); 6,73 (ikili,  $J_{1,2} = 8,2$  Hz, 1H, H-2); 6,62 (ikili,  $J_{1,2} = 8,2$  Hz, 1H, H-1); 5,70 (ikili,  $J_{17,18} = 8,6$  Hz, 1H, H-17); 5,68 (ikili,  $J_{1,2} = 8,6$  Hz, 1H, H-18); 5,00 (birli, 1H, H-5*β*); 4,13 (ikili,  $J_{9\alpha,10\alpha} = 6,6$  Hz, 1H, H-9*α*); 4,06 (ikilinin ikilisi,  $J_{7\beta,8\beta} = 8,9$  Hz,  $J_{7\beta,8\alpha} = 6,0$  Hz, 1H, H-7*β*); 3,79 (birli, 3H, 3-OCH<sub>3</sub>); 3,48 (birli, 3H, 6-OCH<sub>3</sub>); 3,40-3,37 (çoklu, 1H, H-16ekv); 3,21-3,30 (çoklu, 2H, H-16aks, H-10*α*); 3,13 (ikili,  $J_{10\alpha,10\beta} = 19,2$  Hz, 1H, H-10*β*); 2,95 (ikilinin ikilisi,  $J_{8\alpha,8\beta} = 11,8$  Hz,  $J_{7\beta,8\beta} = 9,5$  Hz, 1H, H-8*β*); 2,30-2,33 (çoklu, 1H, H-15aks); 1,82-1,89 (çoklu, 2H, H-15ekv ve H-8*α*).

$^{13}\text{C-APT-NMR}$ (DMSO- $d_6$ , ppm) (Ek-12, Şekil 12.3.): 120,43 C(1); 114,42 C(2); 142,19 C(3); 148,04 C(4); 90,70 C(5); 81,13 C(6); 33,87 C(7); 31,15 C(8); 57,64 C(9); 31,73 C(10); 132,86 C(11); 126,56 C(12); 46,60 C(13); 40,81 C(14); 30,87 C(15); 41,86 C(16); 128,13 C C(17); 135,35 (18); 56,42 CH<sub>3</sub>O-C(3); 51,67 CH<sub>3</sub>O-C(6); 167,09 (C=N); 164,64 (C=N); 123,92 C(1'); 128,13 C(2'); 132,37 C(3'); 126,77 C(4'), 118,41 (N-CN).

HR-MS (Ek-12, Şekil 12.4.): 495,2023 ([M-H]<sup>+</sup>, C<sub>29</sub>H<sub>27</sub>N<sub>4</sub>O<sub>4</sub><sup>+</sup>, hesaplanan, 495,2032).

## 5.8. N-Tetrazol Türevi Bileşiklerin Yapısının Aydınlatılması

### 5.8.1. 2-[N-(1*H*-Tetrazol)-6,14-*endo*-eteno-6,7,8,14-tetrahidrotetrabenzo-7*α*-il]-5-(*p*-metoksifenil)-1,3,4-oksadiazol bileşiğinin yapısı



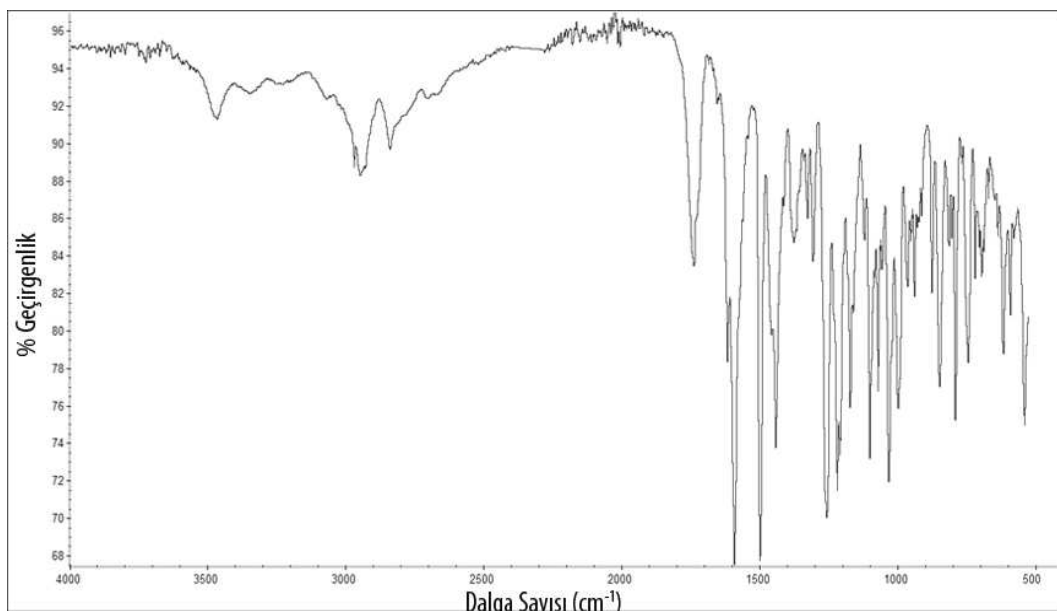
Bileşiğin KBr içinde alınan FT-IR spektrumunda 3385-3138 cm<sup>-1</sup> aralığındaki yayvan band tautomerik N-H gerilme titresiminden, 3052 cm<sup>-1</sup> deki band aromatik =C-H gerilme titresimden, 2961 cm<sup>-1</sup> deki band alifatik C-H gerilme titresiminden kaynaklanmaktadır (Şekil 5.35.).

Bileşiğin DMSO-*d*<sub>6</sub> içerisinde alınan <sup>1</sup>H-NMR spektrumu incelendiğinde aromatik halkaya ait H-2' protonları 7,85 ppm'de ikili 2H (*J*<sub>2',3'</sub> = 8,8 Hz), H-3' protonları 7,14 ppm'de ikili 2H (*J*<sub>2',3'</sub> = 8,8 Hz), H-1 protonu 6,71 ppm'de ikili 1H (*J*<sub>1,2</sub> = 8,2 Hz) ve H-2 protonu da 6,58 ppm'de ikili 1H (*J*<sub>1,2</sub> = 8,2 Hz) olarak gözlenmektedir. Vinillik protonlardan H-17 protonu 5,80 ppm'de ikili 1H (*J*<sub>17,18</sub> = 8,7 Hz); H-18 protonu da 5,67 ppm'de ikili 1H (*J*<sub>17,18</sub> = 8,7 Hz) olarak görülmektedir. H-5 $\beta$  protonu 5,00 ppm'de birli 1H; H-9 $\alpha$  protonu 4,66 ppm'de ikili 1H (*J*<sub>9 $\alpha$ ,10 $\alpha$</sub>  = 6,4 Hz), H-7 $\beta$  protonu 3,97 ppm'de ikilinin ikilisi 1H (*J*<sub>7 $\beta$ ,8 $\beta$</sub>  = 9,2 Hz, *J*<sub>7 $\beta$ ,8 $\alpha$</sub>  = 6,1 Hz); C-4' karbonuna bağlı O-CH<sub>3</sub> grubundaki protonlar 3,84 ppm'de birli 3H; H-16ekv protonu 3,79-3,75 ppm aralığında çoklu 1H; C-3 karbonuna bağlı O-CH<sub>3</sub> grubundaki protonlar 3,73 ppm'de birli 3H; C-6 karbonuna bağlı O-CH<sub>3</sub> grubundaki protonlar ise 3,48 ppm'de birli 3H olarak gözlenmektedir. H-16aks ve H-10 $\alpha$  protonları 3,15-3,24 ppm aralığında çoklu 2H; H-10 $\beta$  protonu ise 2,87 ppm'de ikili (*J*<sub>10 $\alpha$ ,10 $\beta$</sub>  = 18,8 Hz) 1H olarak gözlenmektedir. H-8 $\beta$  protonu 2,72 ppm de ikilinin ikilisi 1H (*J*<sub>8 $\alpha$ ,8 $\beta$</sub>  = 12,7 Hz, *J*<sub>7 $\beta$ ,8 $\beta$</sub>  = 6,6 Hz); H-15aks protonu 2,29-2,33 ppm aralığında çoklu 1H; H-15ekv protonu

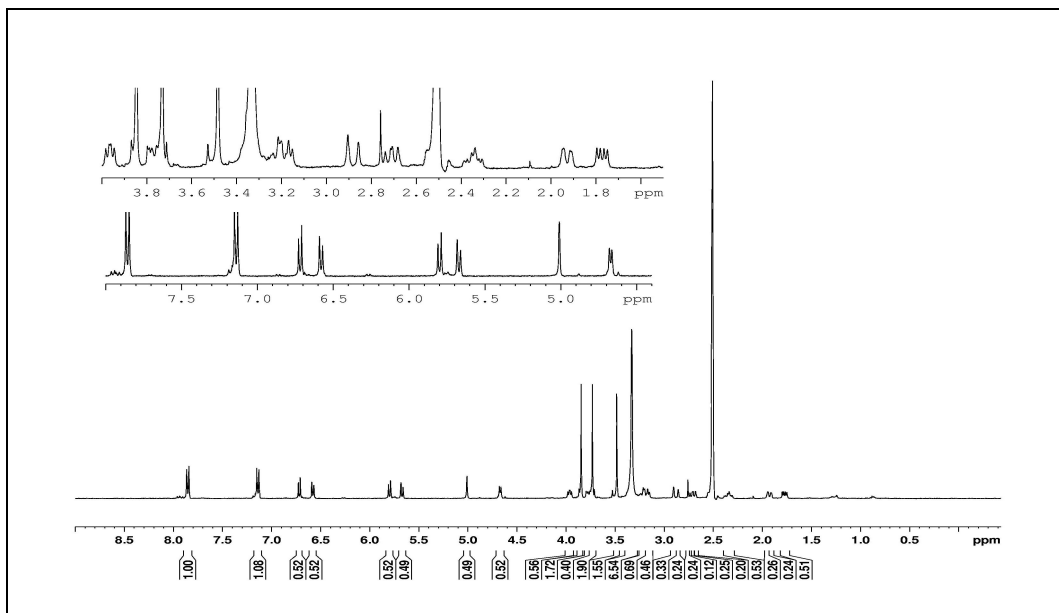
1,91,1,94 ppm aralığında çoklu 1H ve H-8 $\alpha$  protonu ise 1,77 ppm'de ikilinin ikilisi 1H ( $J_{8\alpha,8\beta} = 12,5$  Hz,  $J_{8\alpha,7\beta} = 6,5$  Hz) olarak görülmektedir (Şekil 5.36.).

Bileşigin DMSO- $d_6$  içerisinde alınan  $^{13}\text{C}$ -APT spektrumu (Şekil 5.37.) incelemişinde C atomlarına ait pikler (ppm); 114,38 C(1); 120,40 C(2); 142,10 C(3); 148,04 C(4); 90,85 C(5); 81,30 C(6); 33,89 C(7); 31,19 C(8); 56,48 C(9); 31,13 C(10); 127,06 C(11); 133,36 C(12); 47,35 C(13); 40,62 C(14); 31,28 C(15); 42,07 C(16); 128,19 C(17); 135,83 C(18); 164,53 (-C=N); 162,38 (-C=N); 116,43 C(1'); 128,57 C(2'); 115,83 C(3'); 166,59 C(4'); 112,10 (N=C-N); 55,40 MeO-C(3); 51,63 MeO-C(6); 55,97 MeO-C(4') şeklinde gözlenmektedir.

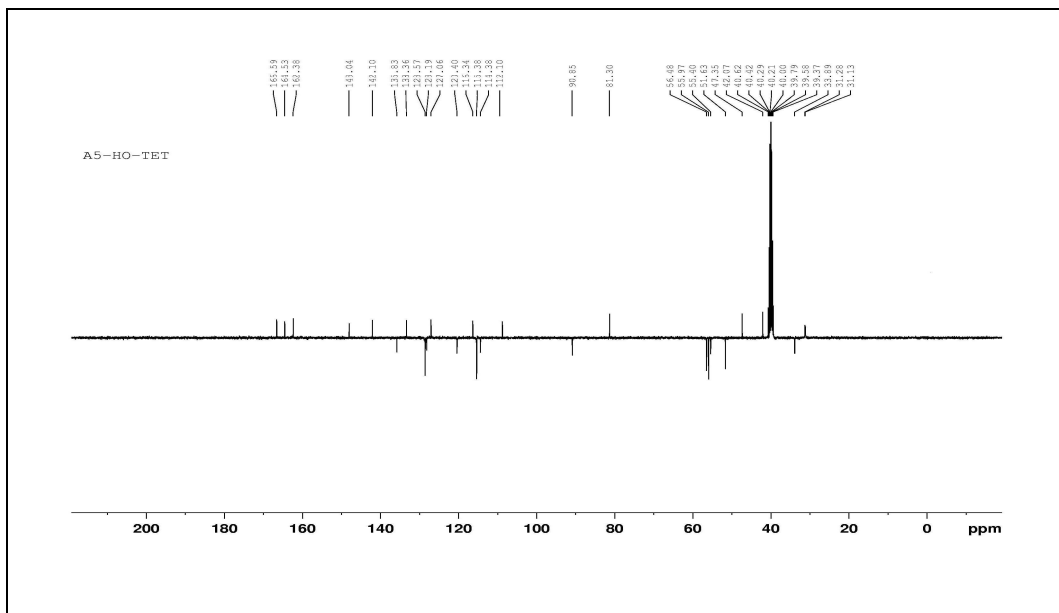
HR-MS (Şekil 5.38.): 568,2296 ([M-H] $^+$ ,  $\text{C}_{30}\text{H}_{30}\text{N}_7\text{O}_5^+$ , hesaplanan, 568,2308).



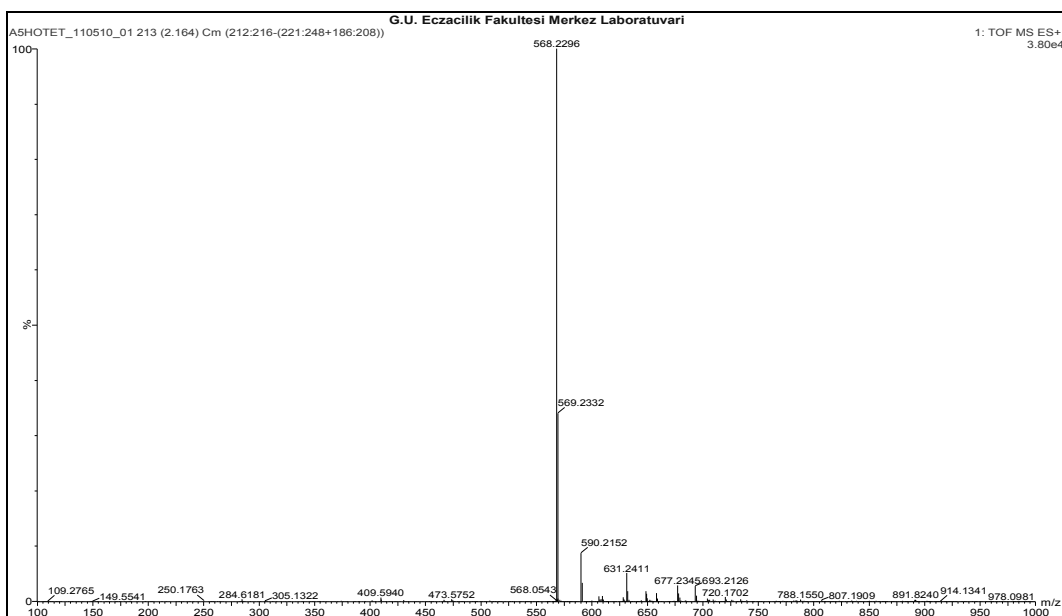
Şekil 5.35. 2-[*N*-(1*H*-Tetrazol)-6,14-*endo*-eteno-6,7,8,14-tetrahidrotetrabain-7*α*-il]-5-(*p*-metoksifenil)-1,3,4-oksadiazol bileşiginin FT-IR spektrumu



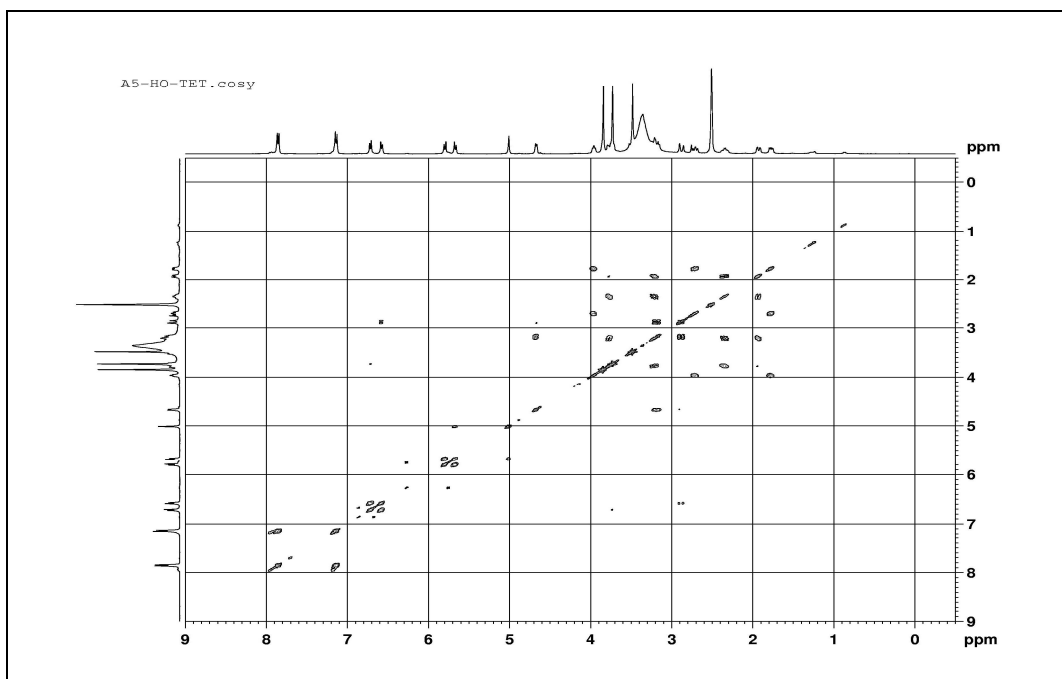
Şekil 5.36. 2-[*N*-(1*H*-Tetrazol)-6,14-*endo*-eteno-6,7,8,14-tetrahidrotetrabain-7*α*-il]-5-(*p*-metoksifenil)-1,3,4-oksadiazol bileşığının  $^1\text{H}$ -NMR spektrumu



**Şekil.5.37.** 2-[*N*-(1*H*-Tetrazol)-6,14-*endo*-eten-6,7,8,14-tetrahidrotetrabain-7*α*-il]-5-(*p*-metoksifenil)-1,3,4-oksadiazol bileşığının  $^{13}\text{C}$ -APT spektrumu

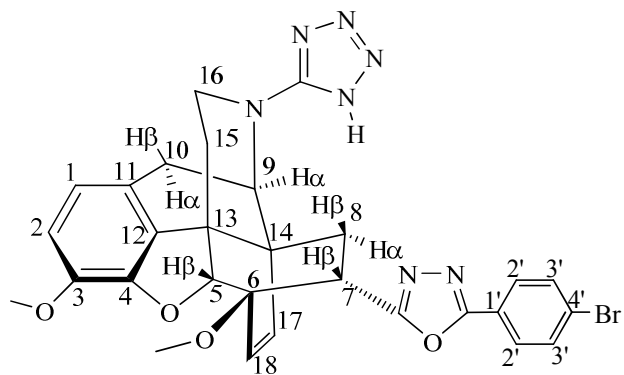


Şekil 5.38. 2-[N-(1*H*-Tetrazol)-6,14-*endo*-eteno-6,7,8,14-tetrahidrotetra[bain-7*α*-il]-5-(*p*-metoksifenil)-1,3,4-oksadiazol bileşığının HR-MS spektrumu



Şekil 5.39. 2-[N-(1*H*-Tetrazol)-6,14-*endo*-eteno-6,7,8,14-tetrahidrotetra[bain-7*α*-il]-5-(*p*-metoksifenil)-1,3,4-oksadiazol bileşığının COSY spektrumu

**5.8.2. 2-[*N*-(1*H*-Tetrazol)-6,14-*endo*-eteno-7,8,14-tetrahidrotetrabain-7*α*-il]-5-(*p*-bromofenil)-1,3,4-oksadiazol bileşığının yapısı**



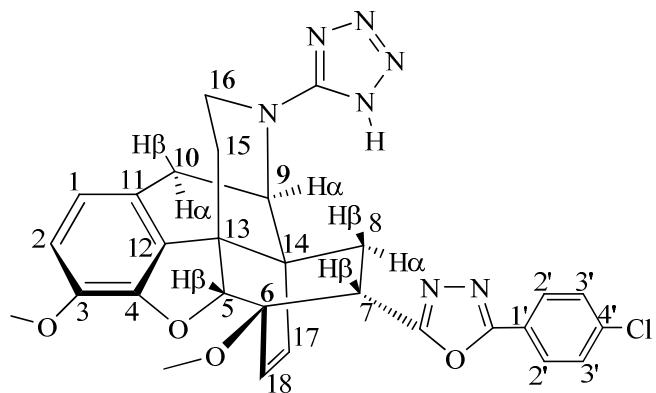
IR ( $\nu, \text{cm}^{-1}$ ) (Ek-13, Şekil 13.1.): 3385-3138 (-N-H), 3052 (=C-H), 2961 (C-H).

$^1\text{H-NMR}$  (DMSO- $d_6$ , ppm) (Ek-13, Şekil 13.2.): 7,86 (ikilinin ikilisi,  $J_{2',3'} = 15,0$  Hz,  $J_{2',3'} = 8,8$  Hz, 4H, H-2' ve H-3'); 6,77 (ikili,  $J_{1,2} = 8,0$  Hz, 1H, H-2); 6,63 (ikili,  $J_{1,2} = 8,0$  Hz, 1H, H-1); 5,86 (ikili,  $J_{17,18} = 8,7$  Hz, 1H, H-17); 5,73 (ikili,  $J_{1,2} = 8,7$  Hz, 1H, H-18); 5,07 (birli, 1H, H-5 $\beta$ ); 4,73 (ikili,  $J_{9\alpha,10\alpha} = 6,3$  Hz, 1H, H-9 $\alpha$ ); 4,07 (ikilinin ikilisi,  $J_{7\beta,8\beta} = 8,8$  Hz,  $J_{7\beta,8\alpha} = 7,1$  Hz, 1H, H-7 $\beta$ ); 3,82-3,85 (çoklu, 1H, H-16ekv); 3,78 (birli, 3H, 3-OCH<sub>3</sub>); 3,54 (birli, 3H, 6-OCH<sub>3</sub>); 3,22-3,28 (çoklu, 2H, H-16aks, H-10 $\alpha$ ); 2,93 (ikili,  $J_{10\alpha,10\beta} = 16,7$  Hz, 1H, H-10 $\beta$ ); 2,72 (ikilinin ikilisi,  $J_{8\alpha,8\beta} = 12,7$  Hz,  $J_{7\beta,8\beta} = 8,8$  Hz, 1H, H-8 $\beta$ ); 2,39-2,43 (çoklu, 1H, H-15aks); 1,97-1,99 (çoklu, 1H, H-15ekv); 1,84 (ikilinin ikilisi, 1H,  $J_{8\alpha,8\beta} = 12,7$  Hz,  $J_{8\alpha,7\beta} = 6,0$  Hz, H-8 $\alpha$ ).

$^{13}\text{C-APT}$ -(DMSO- $d_6$ , ppm) (Ek-13, Şekil 13.3.): 120,40 C(1); 114,31 C(2); 142,18 C(3); 147,99 C(4); 90,85 C(5); 81,30 C(6); 33,89 C(7); 31,19 C(8); 56,48 C(9); 31,13 C(10); 127,23 C(11); 135,96 C(12); 47,35 C(13); 40,07 C(14); 31,27 C(15); 45,44 C(16); 135,96 C(17); 128,14 C(18); 164,00 (-C=N); 167,41 (-C=N); 123,12 C(1'); 133,07 C(2'); 128,68 C(3'); 133,32 C(4'); 131,50 (N=C-N); 56,44 CH<sub>3</sub>O-C(3); 51,66 CH<sub>3</sub>O-C(6).

HR-MS (Ek-13, Şekil 13.4.): 616,1323 ([M-H]<sup>+</sup>, C<sub>29</sub>H<sub>27</sub>BrN<sub>7</sub>O<sub>4</sub><sup>+</sup>, hesaplanan, 616,1308).

**5.8.3. 2-[*N*-(1*H*-Tetrazol)-6,14-*endo*-eteno-7,8,14-tetrahidrotetrabain-7*α*-il]-5-(*p*-klorofenil)-1,3,4-oksadiazol bileşığının yapısı**



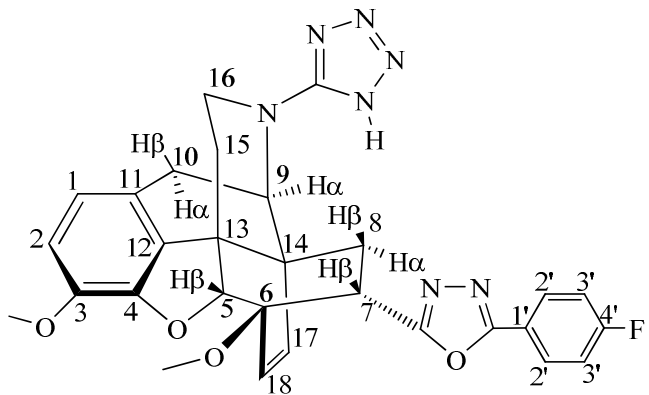
IR ( $\nu, \text{cm}^{-1}$ ) (Ek-14, Şekil 14.1.): 3471-3200 (-N-H), 3057 (=C-H), 2942 (C-H).

$^1\text{H-NMR}$  (DMSO- $d_6$ , ppm) (Ek-14, Şekil 14.2.): 8,00 (ikili,  $J_{2',3'} = 8,5$  Hz, 2H, H-2'); 7,75 (ikili,  $J_{2',3'} = 8,5$  Hz, 2H, H-3'); 6,78 (ikili,  $J_{1,2} = 8,2$  Hz, 1H, H-2); 6,65 (ikili,  $J_{1,2} = 8,2$  Hz, 1H, H-1); 5,86 (ikili,  $J_{17,18} = 8,8$  Hz, 1H, H-17); 5,74 (ikili,  $J_{1,2} = 8,8$  Hz, 1H, H-18); 5,08 (birli, 1H, H-5 $\beta$ ); 4,78 (ikili,  $J_{9\alpha,10\alpha} = 5,6$  Hz, 1H, H-9 $\alpha$ ); 4,05 (ikilinin ikilisi,  $J_{7\beta,8\beta} = 9,3$  Hz,  $J_{7\beta,8\alpha} = 6,1$  Hz, 1H, H-7 $\beta$ ); 3,83-3,79 (çoklu, 1H, H-16ekv); 3,72 (birli, 3H, 3-OCH<sub>3</sub>); 3,49 (birli, 3H, 6-OCH<sub>3</sub>); 3,22-3,30 (çoklu, 2H, H-16aks, 10 $\alpha$ ); 2,90 (ikili,  $J_{10\alpha,10\beta} = 17,1$  Hz, 1H, H-10 $\beta$ ); 2,82 (ikilinin ikilisi,  $J_{8\alpha,8\beta} = 10,3$  Hz,  $J_{7\beta,8\beta} = 7,7$  Hz, 1H, H-8 $\beta$ ); 2,40-2,45 (çoklu, 1H, H-15aks); 1,98-2,02 (çoklu, 1H, H-15ekv); 1,85 (ikilinin ikilisi,  $J_{8\alpha,8\beta} = 12,7$  Hz,  $J_{8\alpha,7\beta} = 6,2$  Hz, 1H, H-8 $\alpha$ ).

$^{13}\text{C-APT-NMR}$  (DMSO- $d_6$ , ppm) (Ek-14, Şekil 14.3.): 119,92 C(1); 113,79 C(2); 141,58 C(3); 147,48 C(4); 90,23 C(5); 80,80 C(6); 33,41 C(7); 30,68 C(8); 55,92 C(9); 28,96 C(10); 126,51 C(11); 132,79 C(12); 46,85 C(13); 40,07 C(14); 30,76 C(15); 41,55 C(16); 135,43 C(17); 127,66 C(18); 166,89 (-C=N); 163,38 (-C=N); 122,27 C(1'); 129,64 C(2'); 128,06 C(3'); 136,56 C(4'); 114,23 (N=C-N); 54,87 CH<sub>3</sub>O-C(3); 51,14 CH<sub>3</sub>O-C(6).

HR-MS (Ek-14, Şekil 14.4.): 572,1801 ([M-H]<sup>+</sup>, C<sub>29</sub>H<sub>27</sub>ClN<sub>7</sub>O<sub>4</sub><sup>+</sup>, hesaplanan, 572,1813).

**5.8.4 2-[N-(1*H*-Tetrazol)-6,14-*endo*-eteno-7,8,14-tetrahidrotetrabain-7*α*-il]-5-(*p*-florofenil)-1,3,4-oksadiazol bileşinin yapısı**



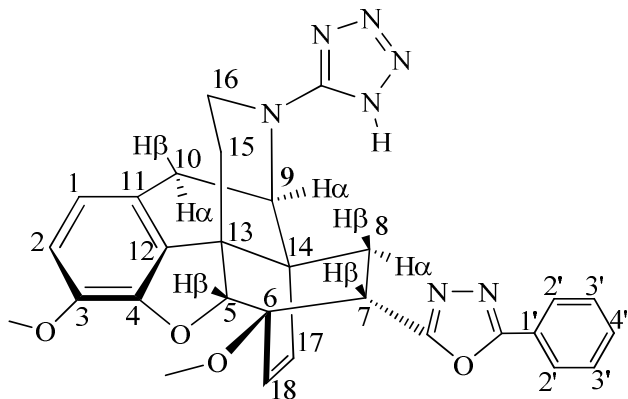
IR ( $\nu$ , cm<sup>-1</sup>) (Ek-15, Şekil 15.1.): 3328-3223 (-N-H), 3066 (=C-H), 2947 (C-H).

<sup>1</sup>H-NMR (DMSO-*d*<sub>6</sub>, ppm) (Ek-15, Şekil 15.2.): 7,94-7,99 (çoklu, 2H, H-2'); 7,43-7,48 (çoklu, 2H, H-3'); 6,72 (ikili,  $J_{1,2} = 8,3$  Hz, 1H, H-2); 6,58 (ikili,  $J_{1,2} = 8,3$  Hz, 1H, H-1); 5,80 (ikili, 1H,  $J_{17,18} = 8,7$  Hz, H-17); 5,67 (ikili, 1H,  $J_{17,18} = 8,7$  Hz, H-18); 5,02 (birli, 1H, H-5β); 4,67 (ikili,  $J_{9\alpha, 10\alpha} = 5,9$  Hz, 1H, H-9α); 4,01 (ikilinin ikilisi,  $J_{7\beta,8\beta} = 8,8$  Hz,  $J_{7\beta,8\alpha} = 5,9$  Hz, 1H, H-7β); 3,74-3,79 (çoklu, 1H, H-16ekv); 3,71 (birli, 3H, 3-OCH<sub>3</sub>); 3,45 (birli, 3H, 6-OCH<sub>3</sub>); 3,15-3,23 (çoklu, 2H, H-16aks, H-10α); 2,85 (ikili,  $J_{10\alpha,10\beta} = 15,2$  Hz, 1H, H-10β); 2,69 (ikilinin ikilisi,  $J_{8\alpha,8\beta} = 10,0$  Hz,  $J_{7\beta,8\beta} = 7,4$  Hz, 1H, H-8β); 2,41-2,50 (çoklu, 1H, H-15aks); 1,91-1,95 (çoklu, 1H, H-15ekv); 1,78 (ikilinin ikilisi,  $J_{8\alpha,8\beta} = 12,9$  Hz,  $J_{8\alpha,7\beta} = 6,1$  Hz, 1H, H-8α).

<sup>13</sup>C-APT-NMR (DMSO-*d*<sub>6</sub>, ppm) (Ek-15, Şekil 15.3.): 120,42 C(1); 114,32 C(2); 142,09 C(3); 148,00 C(4); 90,77 C(5); 81,30 C(6); 33,90 C(7); 31,20 C(8); 56,44 C(9); 31,12 C(10); 117,03 C(11); 133,32 C(12); 47,35 C(13); 42,06 C(14); 31,27 C(15); 45,43 C(16); 135,90 C(17); 128,17 C(18); 55,38 CH<sub>3</sub>O-C(3); 51,65 CH<sub>3</sub>O-C(6); 166,89 (C=N); 167,22 (C=N); 120,63 C(1'); 129,50-129,41 ( $J_{(C(2')-F)} = 9,0$  Hz) C(2'); 117,34-117,12 ( $J_{(C(3')-F)} = 22,0$  Hz) C(3')); 165,73-163,24 ( $J_{(C(4')-F)} = 249,0$  Hz) C(4'); 130,15 (N=C-N).

HR-MS (Ek-15, Şekil 15.4.): 556,2103 ([M-H]<sup>+</sup>, C<sub>29</sub>H<sub>27</sub>FN<sub>7</sub>O<sub>4</sub><sup>+</sup>, hesaplanan, 556,2109).

**5.8.5. 2-[*N*-(1*H*-Tetrazol)-6,14-*endo*-eteno-7,8,14-tetrahidrotetrabain-7*α*-il]-5-fenil-1,3,4-oksadiazol bileşığının yapısı**



IR ( $\nu, \text{cm}^{-1}$ ) (Ek-16, Şekil 16.1.): 3395-3171 (-N-H); 3043(=C-H), 2928 (C-H).

$^1\text{H-NMR}$  (DMSO- $d_6$ , ppm) (Ek-16, Şekil 16.2.): 7,62-7,94 (çoklu, 5H, H-2', H-3'; H-4'); 6,74 (ikili,  $J_{1,2} = 8,2$  Hz, 1H, H-2); 6,63 (ikili,  $J_{1,2} = 8,2$  Hz, 1H, H-1); 5,81 (ikili,  $J_{17,18} = 8,6$  Hz, 1H, H-17); 5,68 (ikili,  $J_{1,2} = 8,6$  Hz, 1H, H-18); 5,02 (birli, 1H, H-5β); 4,68 (ikili,  $J_{9\alpha,10\alpha} = 6,5$  Hz, 1H, H-9α); 3,99 (ikilinin ikilisi,  $J_{7\beta,8\beta} = 9,2$  Hz,  $J_{7\beta,8\alpha} = 6,6$  Hz, 1H, H-7β); 3,79-3,72 (çoklu, 1H, H-16ekv); 3,70 (birli, 3H, 3-OCH<sub>3</sub>); 3,40 (birli, 3H, 6-OCH<sub>3</sub>); 3,04-3,20 (çoklu, 2H, H-16aks, H-10α); 2,93 (ikili,  $J_{10\alpha,10\beta} = 20,3$  Hz, 1H, H-10β); 2,82 (ikilinin ikilisi,  $J_{8\alpha,8\beta} = 10,3$  Hz,  $J_{7\beta,8\beta} = 7,7$  Hz, 1H, H-8β); 2,30-2,37 (çoklu, 1H, H-15aks); 1,95-1,98 (çoklu, 1H, H-15ekv); 1,80 (ikilinin ikilisi, 1H,  $J_{8\alpha,8\beta} = 12,5$  Hz,  $J_{8\alpha,7\beta} = 6,6$  Hz, H-8α).

$^{13}\text{C-APT-NMR}$ (DMSO- $d_6$ , ppm) (Ek-16, Şekil 16.3.): 120,43 C(1); 114,87 C(2); 140,04 C(3); 148,06 C(4); 90,88 C(5); 81,13 C(6); 33,48 C(7); 31,24 C(8); 56,42 C(9); 30,30 C(10); 127,14 C(11); 133,58 C(12); 46,60 C(13); 42,05 C(14); 32,18 C(15); 44,05 C(16); 135,60 C(17); 128,13 C(18); 168,89 (-C=N); 164,38 (-C=N); 118,27 C(1'); 128,86 C(2'); 114,87 C(3'); 113,06 C(4'); 132,36 (N=C-N); 54,87 CH<sub>3</sub>O-C(3); 51,67 CH<sub>3</sub>O-C(6).

HR-MS (Ek-16, Şekil 16.4.): 538,2211 ([M-H]<sup>+</sup>, C<sub>29</sub>H<sub>28</sub>N<sub>7</sub>O<sub>4</sub><sup>+</sup>, hesaplanan, 538,2203).

Sonuç olarak, beş tane diaçil hidrazin hidroklorür, beş tane 1,3,4-oksadiazol, altı tane azot atomundaki metil grubu yerine siyanür grubu getirilmiş ve altı tane de azot atomunda tetrazol halkası içeren toplam yirmi iki tane morfinyan türü bileşik sentezlenmiştir. Bu bileşiklerden yirmi bir tanesi orijinal olup yapıları FT-IR, <sup>1</sup>H-NMR, <sup>13</sup>C-APT NMR, COSY, HETCOR (HMQC, HMBC), kütle spektroskopisi ve X-işınları kırınım spektroskopisi teknikleri kullanılarak aydınlatılmıştır. Sentezlenen bu bileşiklerin tipta ilaç olarak kullanılması düşünüldüğünden bileşikler için stereokimyalarının belirlenmesi son derece önemlidir. Bu nedenle sentezlenen 6,14-*endo*-Eteno-7 $\alpha$ -metoksikarbonil-6,7,8,14-tetrahidrotrebain bileşığının sterokimyası X-ray tekniği kullanılarak aydınlatılmıştır. Sonraki sentez basamaklarında ise stereomerkezler üzerinden herhangi bir tepkime gerçekleşmediğinden tüm bileşiklerin sterokimyalarının korunduğu düşünülmektedir.

Tebain bileşığının yapısında bulunan konjuge dien sistemine metil akrilatin Diels-Alder tepkimesi ile katılması hem steroseçimli hem de yer seçimli olarak gerçekleşmiştir. Bu tepkimede *endo* katılma olmuştur ve oluşan üründe ester grubu C-7 konumunda (S) konfigürasyonunda bulunmaktadır. Morfinyan türü yapıda tepkime yatkınlığı yüksek olan ester grubu gibi reaktif bir merkezin varlığı yeni bileşiklerin sentezinde önemli bir rol oynamıştır.

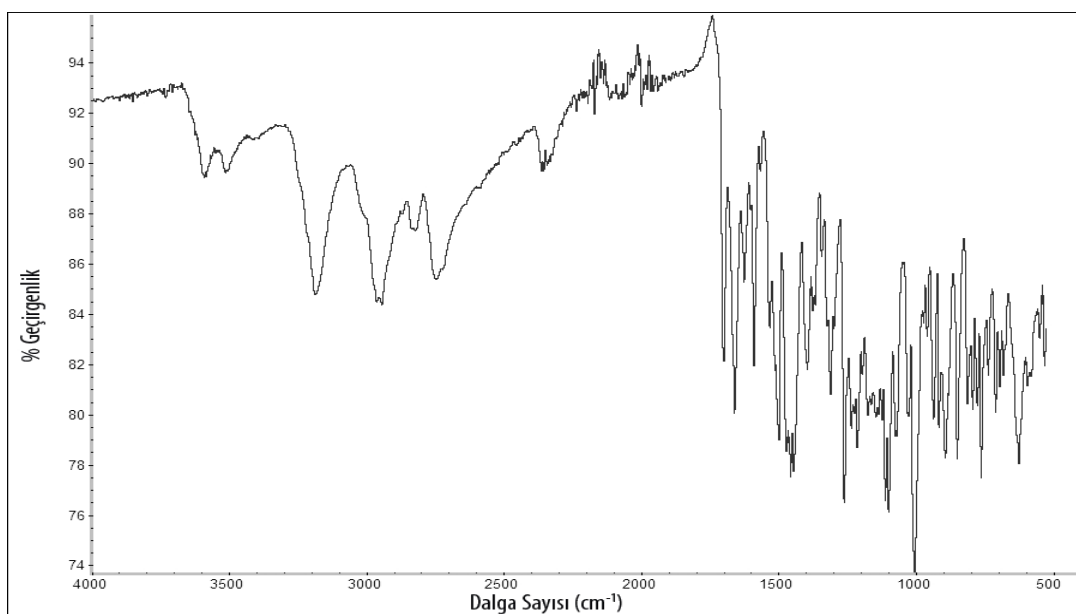
Günümüzde morfinyan türü birçok doğal veya yarısenetik bileşik tipta çeşitli amaçlarla kullanılmaktadır. Bu bileşikler özellikle narkotik analjezik aktiviteleri sayesinde ağrı kesici olarak ve anestezide çok yaygın biçimde kullanılmaktadırlar. Ancak bu ilaçların bağımlılık, şuur bulanıklığı, sedasyon gibi birçok yan etkisi bulunabilmektedir. Bu durum araştırmacıları opioitlerin yan etkilerini azaltacak veya ortadan kaldıracak çalışmalara yönlendirmiştir.

Bu çalışmada, toksik etkiye sahip analjezik etkisi çok az olan ve bu nedenle doğrudan ilaç olarak kullanılamayan tebain bileşığinden çıkararak narkotik analjezik, antitussif gibi etkiler gösterebilecek, etkinliği yüksek, bağımlılık yapma özelliği olmayan, yan etkileri mevcut opioitlere göre az olan tebain türevlerinin sentezi amaçlanmıştır.

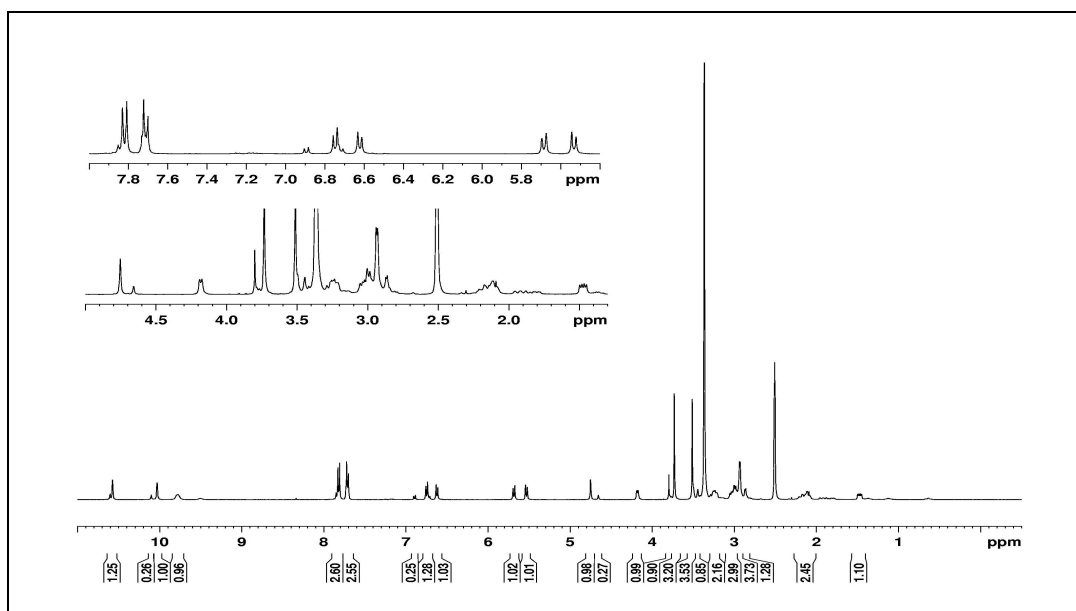
Bu tez çalışması, “Tebain Türevi Yarıştentetik Analjezik İlaçların Bilgisayarlı Tasarımı, Sentezi ve Narkotik Analjezik, Toksik Etkilerinin İncelenmesi” isimli 107T676 nolu TÜBİTAK projesi kapsamında desteklenmiştir. Tez kapsamında yalnızca sentez, saflaştırma ve yapı analizleri yer aldığından diğer çalışmalarla ilgili ayrıntılı bilgi verilmemiştir. Sentez çalışmaları dışında proje grubu tarafından ilk olarak bilgisayarlı teorik hesaplamalarla sentezlenecek bileşikler belirlenmiştir. Teorik çalışma sonuçları ışığında sentez çalışmaları gerçekleştirılmıştır. Son olarak bu bileşiklerin ratlar üzerinde analjezik aktivite testleri yapılmıştır. Hayvan deneyleri sonucunda tebainin toksik etkisinin azlığı ve analjezik aktivitenin arttığı belirlemiştir. Bu konuda ki ayrıntılı toksite testleri ve yan etkilerle ilgili araştırmalar devam etmektedir.

EKLER

EK-1 1-[(6,14-*endo*-Eteno-6,7,8,14-tetrahidrotetrabain-7 $\alpha$ -il)-karbonil]-2-*p*-bromobenzoilhidrazin hidroklorür bileşığının FT-IR,  $^1\text{H-NMR}$ ,  $^{13}\text{C-APT}$ , HR-MS spektrumları

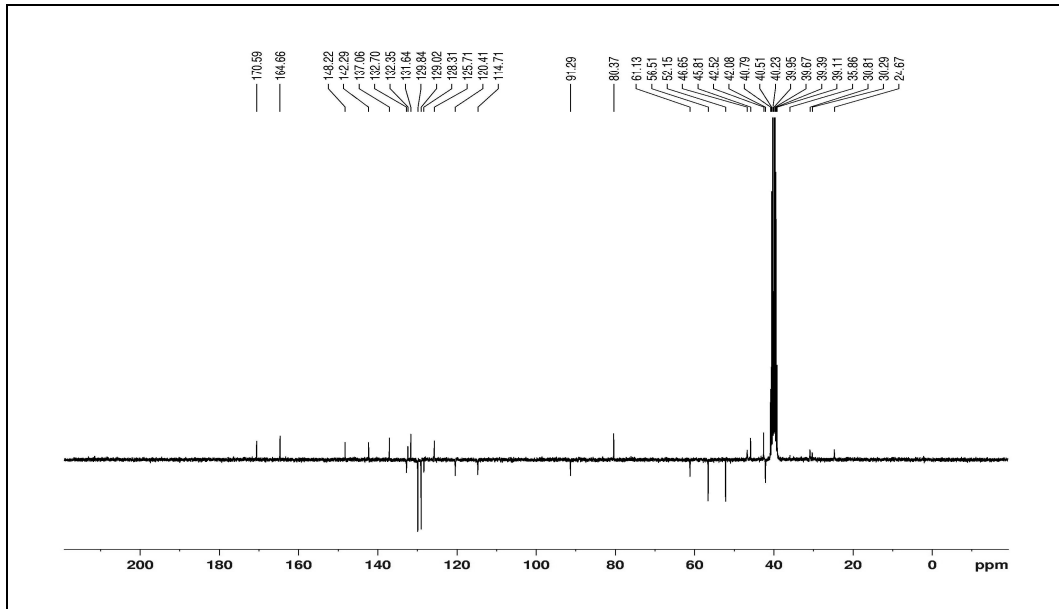


Şekil 1.1. 1-[(6,14-*endo*-Eteno-6,7,8,14-tetrahidrotetrabain-7 $\alpha$ -il)-karbonil]-2-*p*-bromobenzoilhidrazin hidroklorür bileşığının FT-IR spektrumu

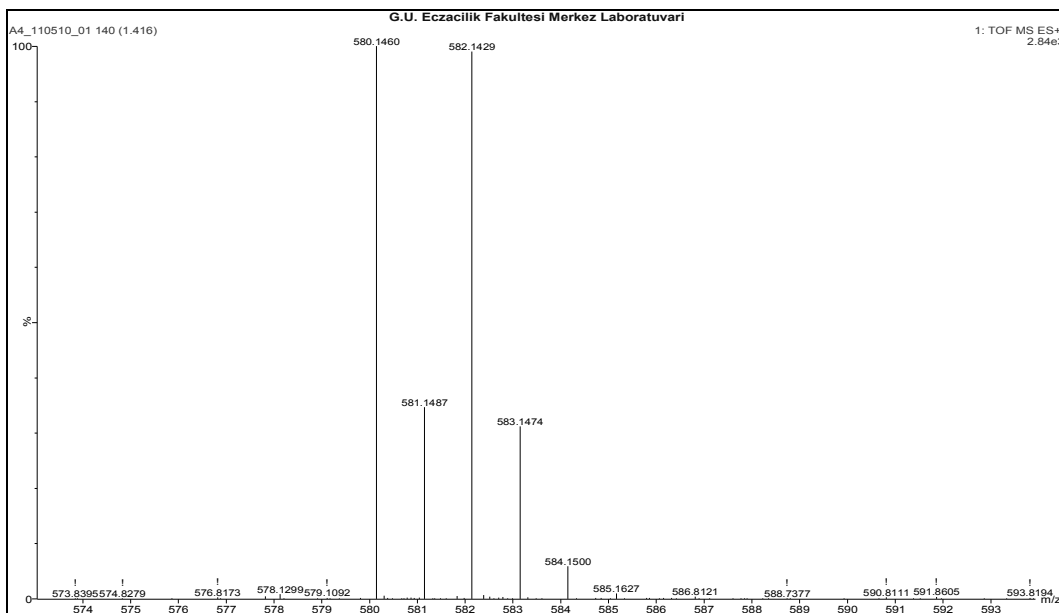


Şekil 1.2. 1-[(6,14-*endo*-Eteno-6,7,8,14-tetrahidrotetrabain-7 $\alpha$ -il)-karbonil]-2-*p*-bromobenzoilhidrazin hidroklorür bileşığının  $^1\text{H-NMR}$  spektrumu

EK-1 (Devam). 1-[(6,14-*endo*-Eteno-6,7,8,14-tetrahidrotetrabain-7*α*-il)-karbonil]-2-*p*-bromobenzoilhidrazin hidroklorür bileşığının FT-IR,  $^1\text{H}$ -NMR,  $^{13}\text{C}$ -APT, HR-MS spektrumları

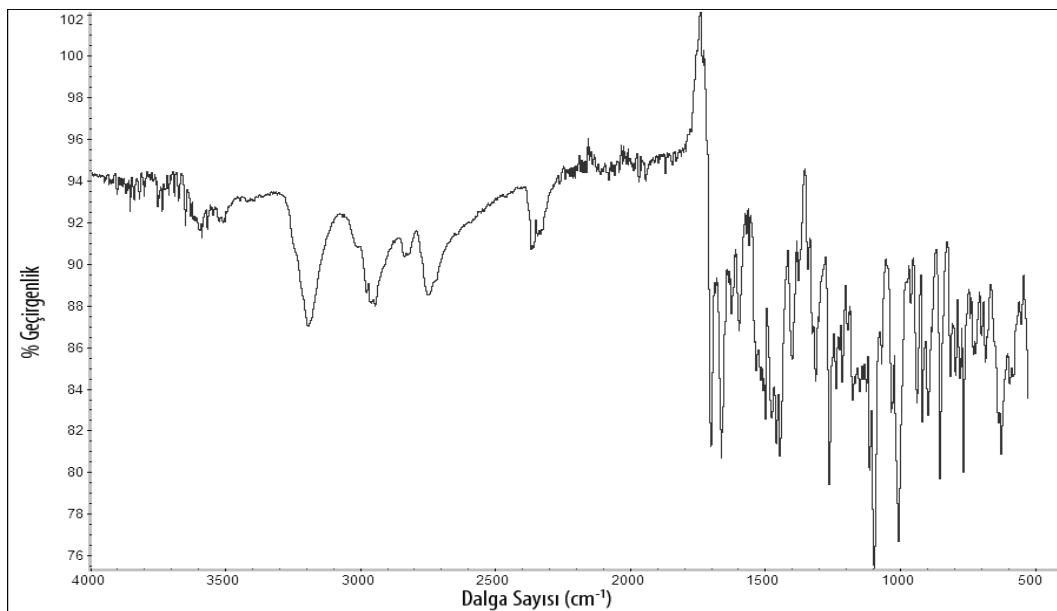


Şekil 1.3. 1-[(6,14-*endo*-Eteno-6,7,8,14-tetrahidrotetrabain-7*α*-il)-karbonil]-2-*p*-bromobenzoilhidrazin hidroklorür bileşığının  $^{13}\text{C}$ -APT spektrumu

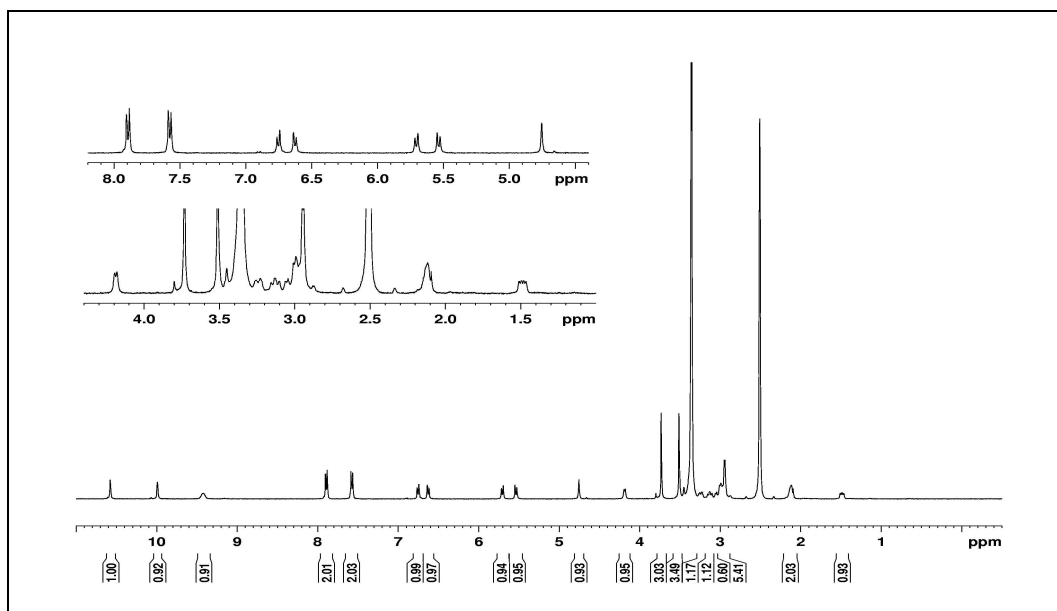


Şekil 1.4. 1-[(6,14-*endo*-Eteno-6,7,8,14-tetrahidrotetrabain-7*α*-il)-karbonil]-2-*p*-bromobenzoilhidrazin hidroklorür bileşığının HR-MS spektrumu

EK-2 1-[(6,14-*endo*-Eteno-6,7,8,14-tetrahidrotetrabain-7 $\alpha$ -il)-karbonil]-2-*p*-klorobenzoilhidrazin hidroklorür bileşığının FT-IR,  $^1\text{H-NMR}$ ,  $^{13}\text{C-APT}$ , HR-MS spektrumları

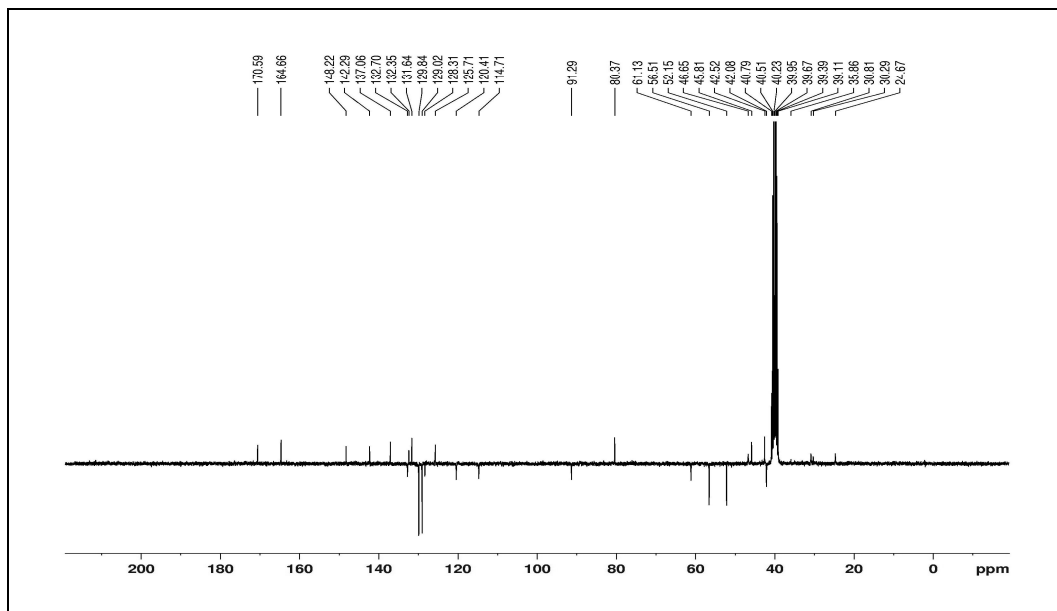


Şekil 2.1. 1-[(6,14-*endo*-Eteno-6,7,8,14-tetrahidrotetrabain-7 $\alpha$ -il)-karbonil]-2-*p*-klorobenzoilhidrazin hidroklorür bileşığının FT-IR spektrumu

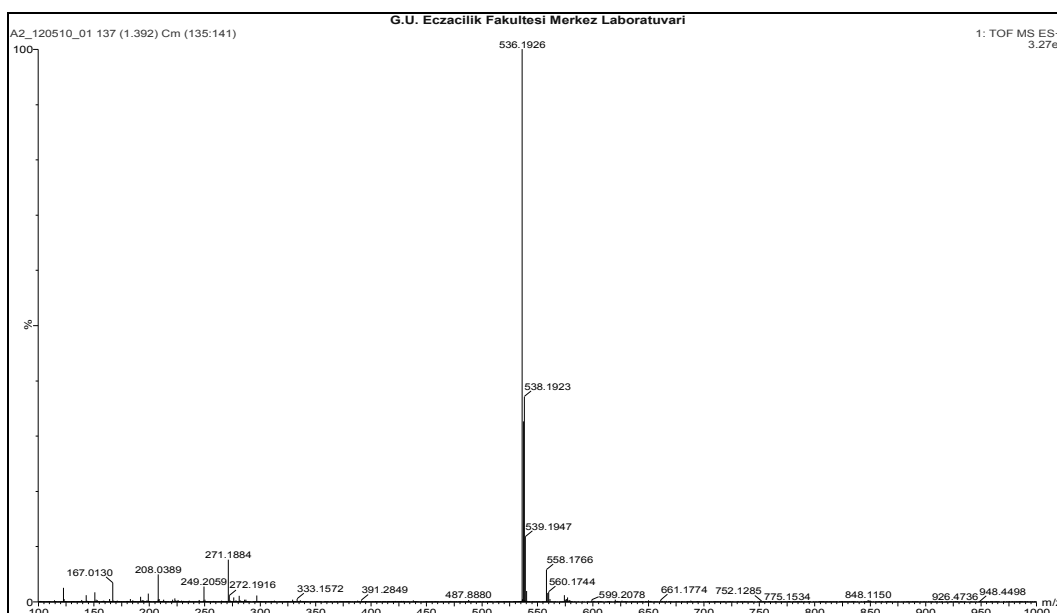


Şekil 2.2. 1-[(6,14-*endo*-Eteno-6,7,8,14-tetrahidrotetrabain-7 $\alpha$ -il)-karbonil]-2-*p*-klorobenzoilhidrazin hidroklorür bileşığının  $^1\text{H-NMR}$  spektrumu

EK-2 (Devam). 1-[(6,14-*endo*-Eteno-6,7,8,14-tetrahidrotetrabain-7*α*-il)-karbonil]-2-*p*-klorobenzoilhidrazin hidroklorür bileşiginin FT-IR,  $^1\text{H}$ -NMR,  $^{13}\text{C}$ -APT, HR-MS spektrumları

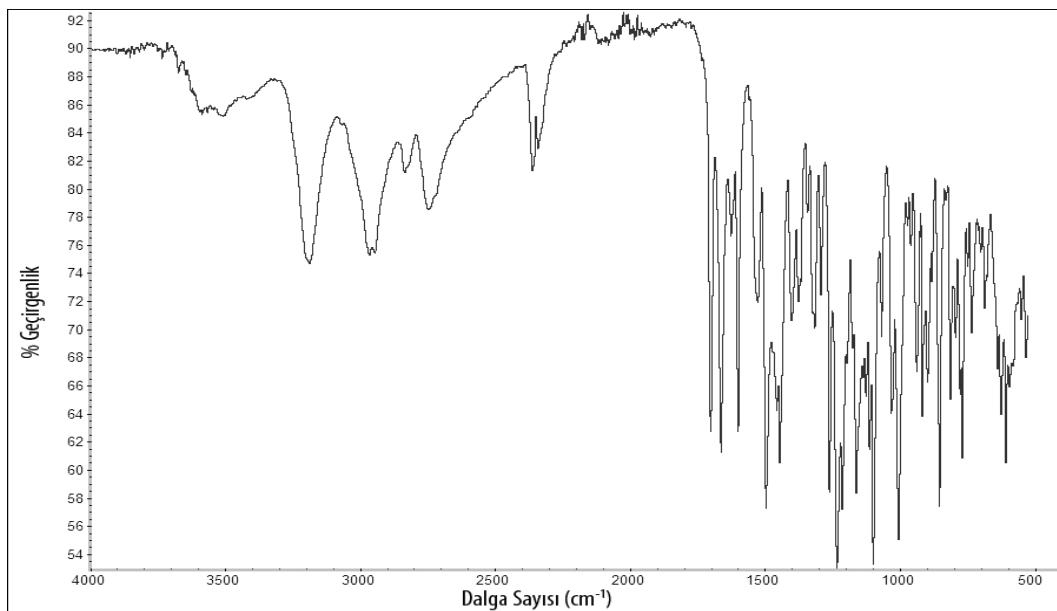


Şekil 2.3. 1-[(6,14-*endo*-Eteno-6,7,8,14-tetrahidrotetrabain-7*α*-il)-karbonil]-2-*p*-klorobenzoilhidrazin hidroklorür bileşiginin  $^{13}\text{C}$ -APT spektrumu

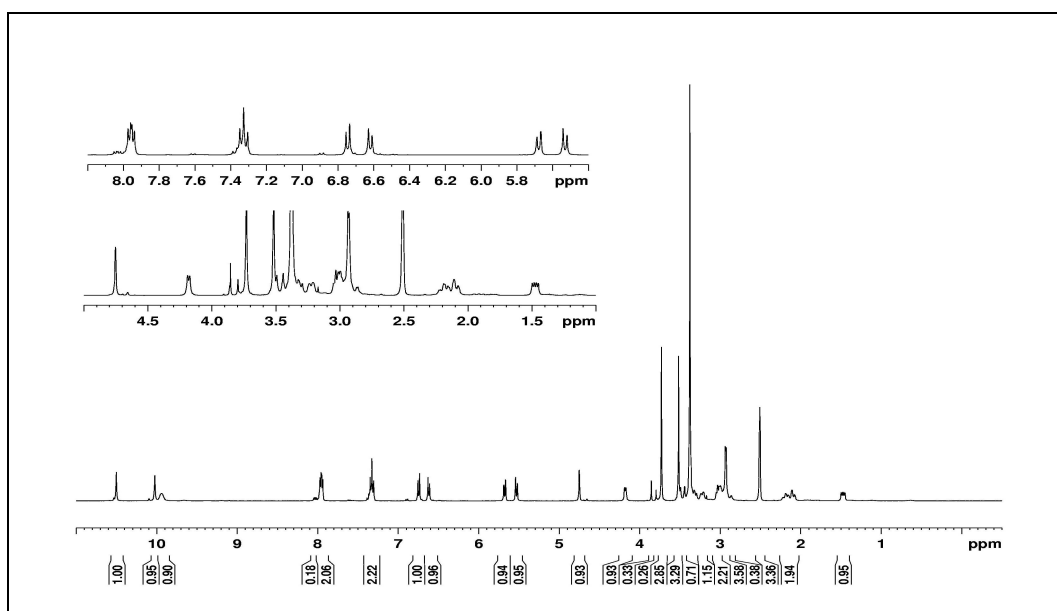


Şekil 2.4. 1-[(6,14-*endo*-Eteno-6,7,8,14-tetrahidrotetrabain-7*α*-il)-karbonil]-2-*p*-klorobenzoilhidrazin hidroklorür bileşiginin HR-MS spektrumu

EK-3 1-[(6,14-*endo*-Eteno-6,7,8,14-tetrahidrotetrabain-7*α*-il)-karbonil]-2-*p*-florobenzoilhidrazin hidroklorür bileşığının FT-IR,  $^1\text{H-NMR}$ ,  $^{13}\text{C-APT}$ , HR-MS spektrumları

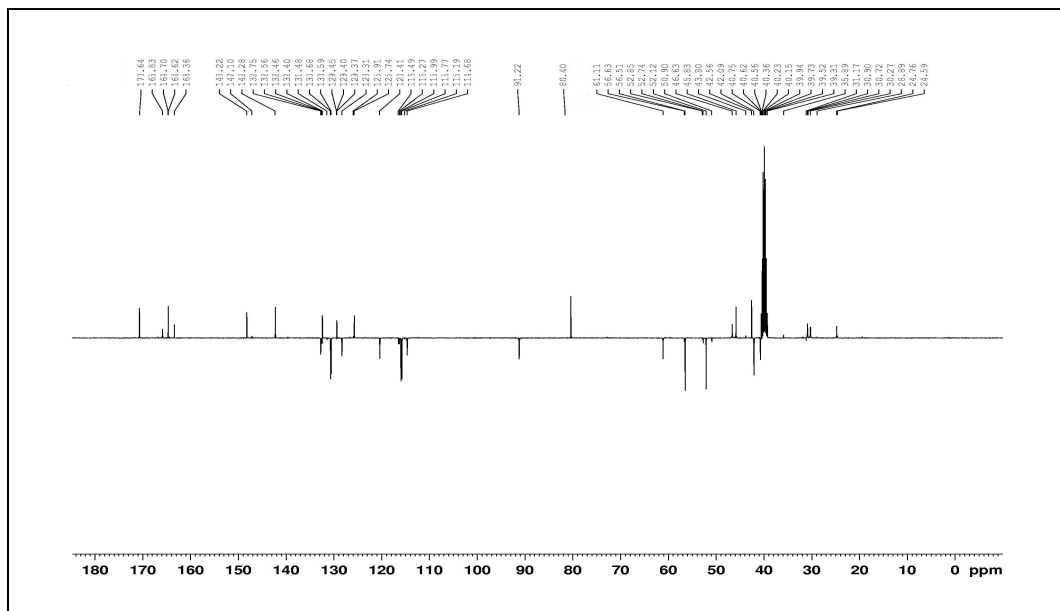


Şekil 3.1. 1-[(6,14-*endo*-Etno-6,7,8,14-tetrahidrotetrabain-7*α*-il)-karbonil]-2-*p*-florobenzoilhidrazin hidroklorür bileşığının FT-IR spektrumu

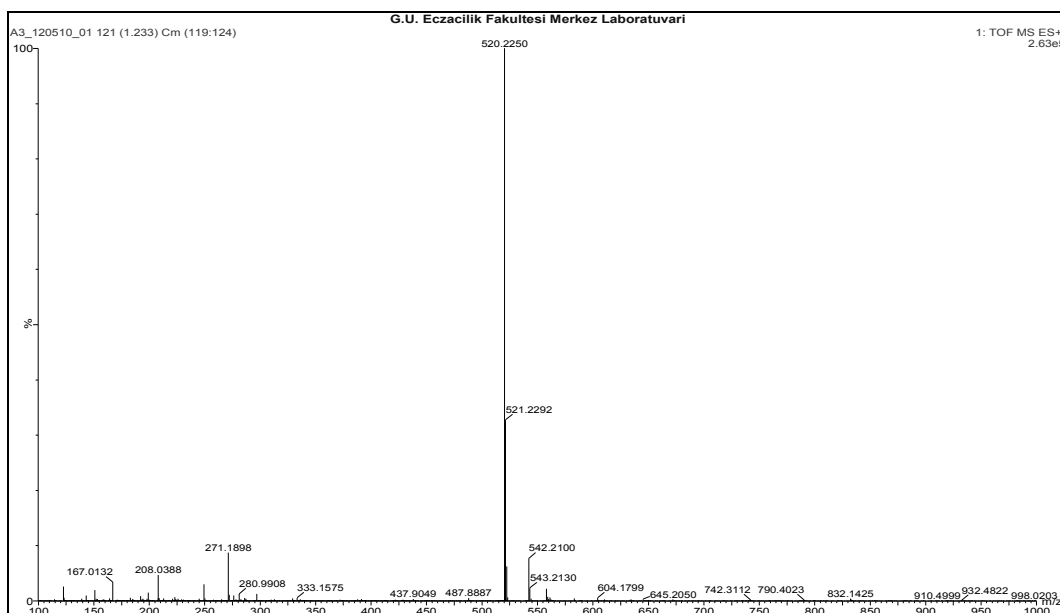


Şekil 3.2. 1-[(6,14-*endo*-Etno-6,7,8,14-tetrahidrotetrabain-7*α*-il)-karbonil]-2-*p*-florobenzoilhidrazin hidroklorür bileşığının  $^1\text{H-NMR}$  spektrumu

EK-3 (Devam). 1-[*(6,14-endo-Eteno-6,7,8,14-tetrahidrotrebain-7α-il)-karbonil*]-2-*p*-florobenzoilhidrazin hidroklorür bileşığının FT-IR,  $^1\text{H-NMR}$ ,  $^{13}\text{C-APT}$ , HR-MS spektrumları

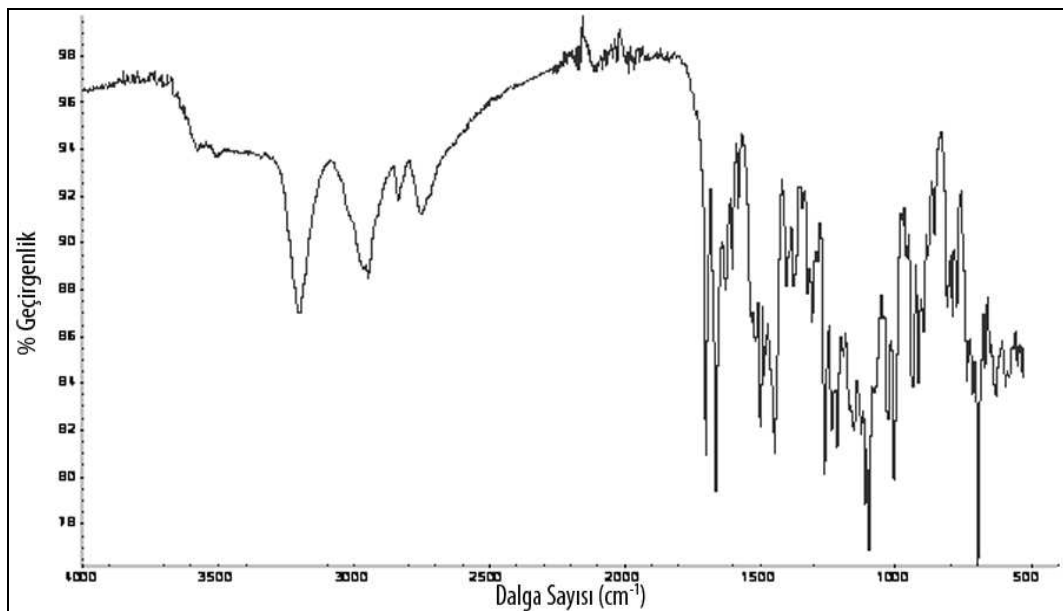


Şekil 3.3. 1-[(6,14-*endo*-Eteno-6,7,8,14-tetrahidroebain-7*α*-il)-karbonil]-2-*p*-florobenzoilhidrazin hidroklorür bileşığının  $^{13}\text{C}$ -APT spektrumu

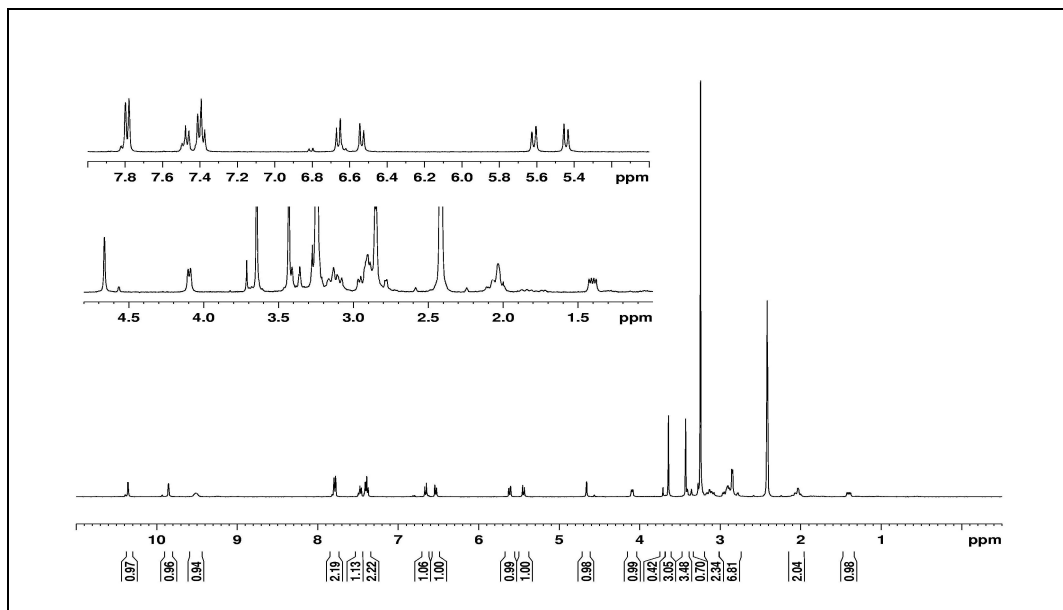


Şekil 3.4. 1-[(6,14-*endo*-Etno-6,7,8,14-tetrahidrotetrabain-7*α*-il)-karbonil]-2-*p*-florobenzoilhidrazin hidroklorür bileşığının HR-MS spektrumu

EK-4 1-[(6,14-*endo*-Eteno-6,7,8,14-tetrahidrotetrabain-7 $\alpha$ -il)-karbonil]-2-benzoilhidrazin hidroklorür bileşığının FT-IR,  $^1\text{H-NMR}$ ,  $^{13}\text{C-APT}$ , HR-MS spektrumları

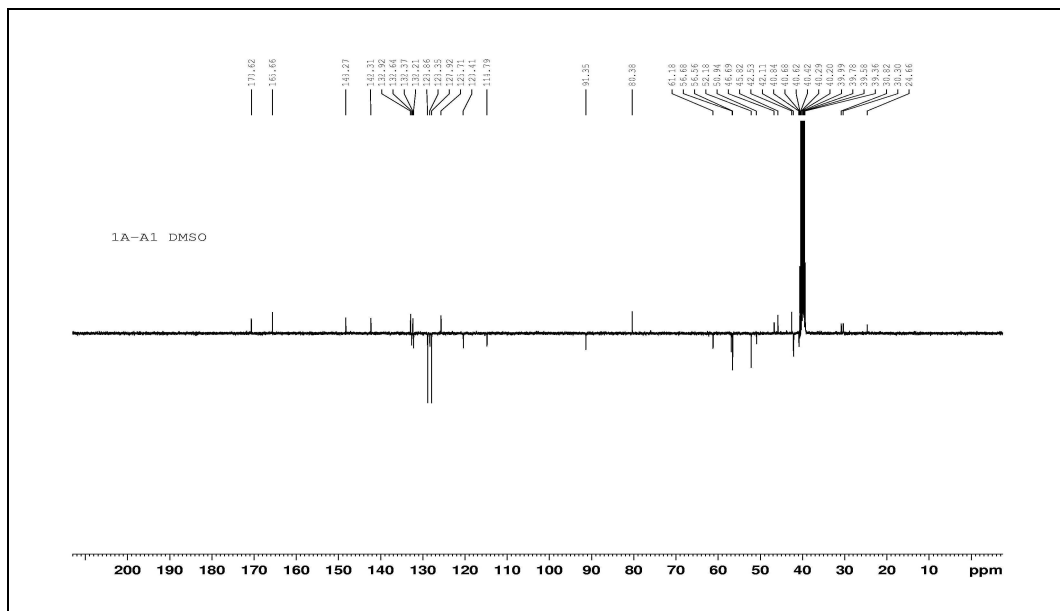


Şekil 4.1. 1-[(6,14-*endo*-Eteno-6,7,8,14-tetrahidrotetrabain-7 $\alpha$ -il)-karbonil]-2-benzoilhidrazin hidroklorür bileşığının FT-IR spektrumu

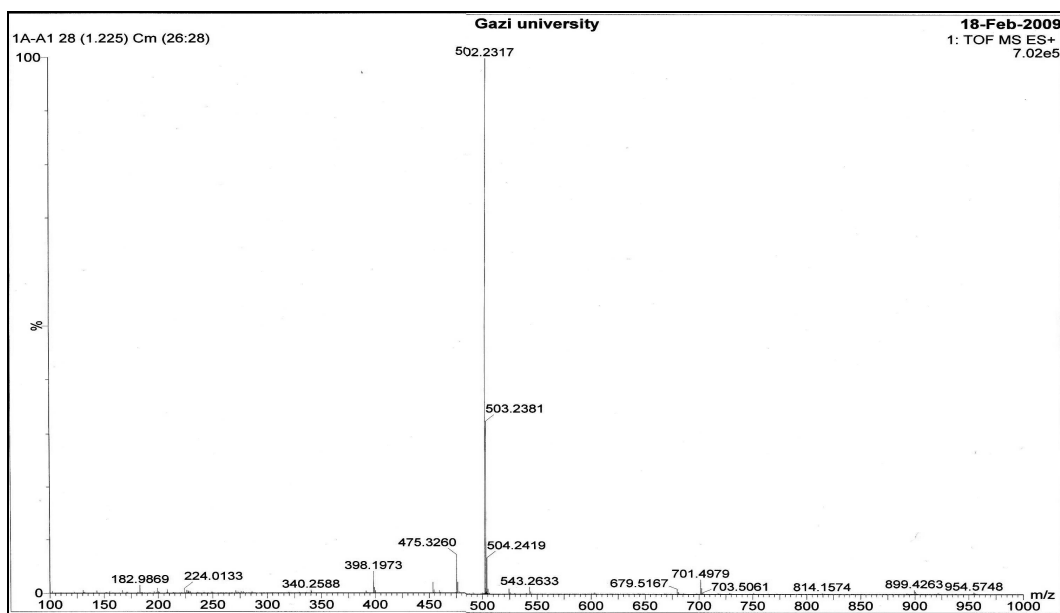


Şekil 4.2. 1-[(6,14-*endo*-Eteno-6,7,8,14-tetrahidrotetrabain-7 $\alpha$ -il)-karbonil]-2-benzoilhidrazin hidroklorür bileşığının  $^1\text{H-NMR}$  spektrumu

EK-4 (Devam). 1-[(6,14-*endo*-Eteno-6,7,8,14-tetrahidrotetrabain-7*α*-il)-karbonil]-2-benzoilhidrazin hidroklorür bileşiginin FT-IR,  $^1\text{H}$ -NMR,  $^{13}\text{C}$ -APT, HR-MS spektrumları

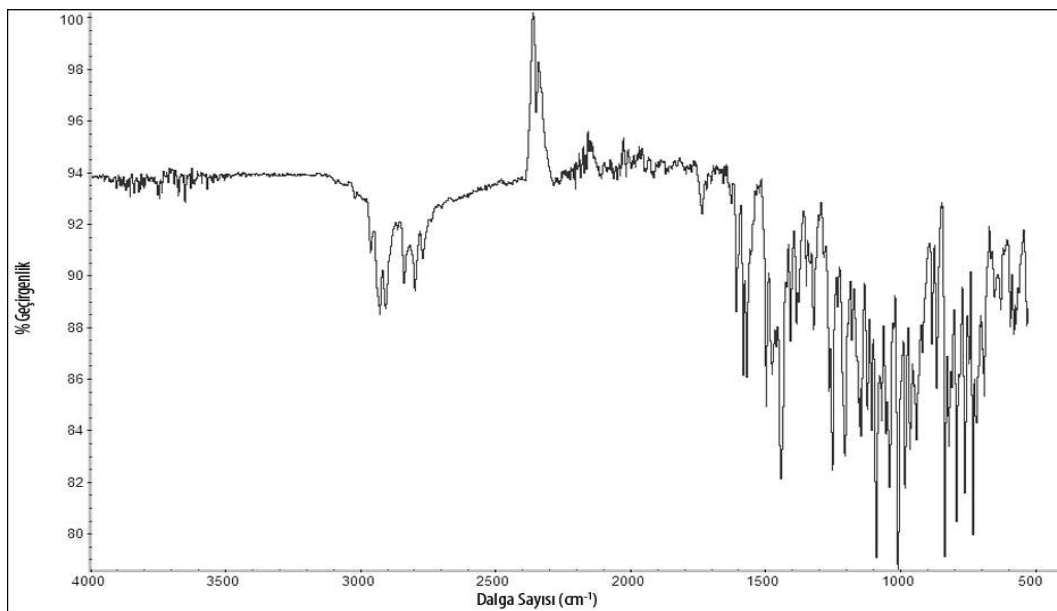


Şekil 4.3. 1-[(6,14-*endo*-Eteno-6,7,8,14-tetrahidrotetrabain-7*α*-il)-karbonil]-2-benzoilhidrazin hidroklorür bileşiginin  $^{13}\text{C}$ -APT spektrumu

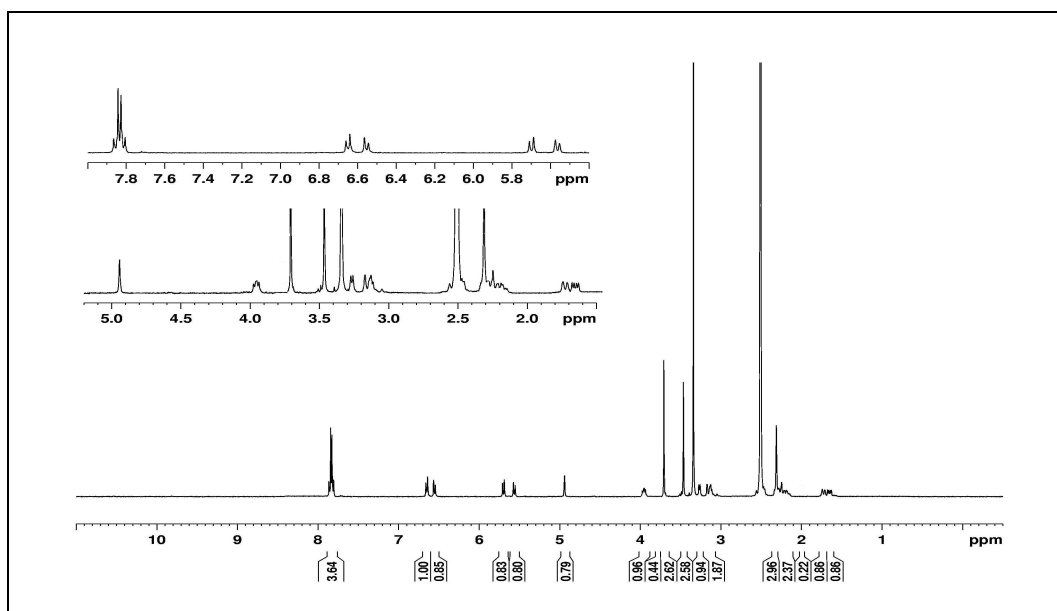


Şekil 4.4. 1-[(6,14-*endo*-Eteno-6,7,8,14-tetrahidrotetrabain-7*α*-il)-karbonil]-2-benzoilhidrazin hidroklorür bileşiginin HR-MS spektrumu

EK-5 2-(6,14-*endo*-Eteno-6,7,8,14-tetrahidrotetrabain-7*α*-il)-5-(*p*-bromofenil)-1,3,4-oksadiazol bileşığının FT-IR,  $^1\text{H}$ -NMR,  $^{13}\text{C}$ -APT, HR-MS spektrumları

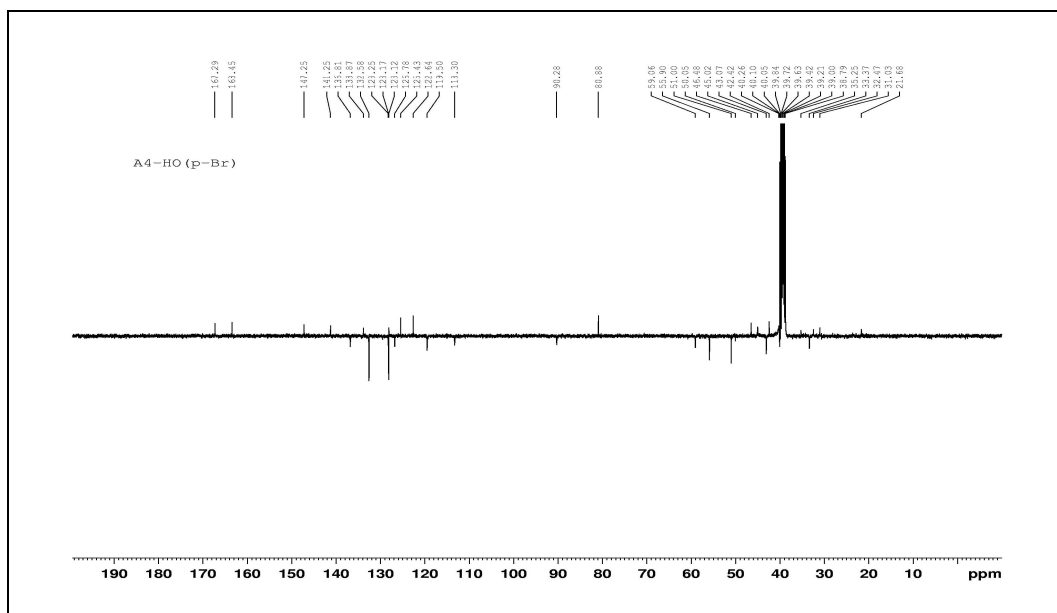


Şekil 5.1. 2-(6,14-*endo*-Eteno-6,7,8,14-tetrahidrotetrabain-7*α*-il)-5-(*p*-bromofenil)-1,3,4-oksadiazol bileşığının FT-IR spektrumu

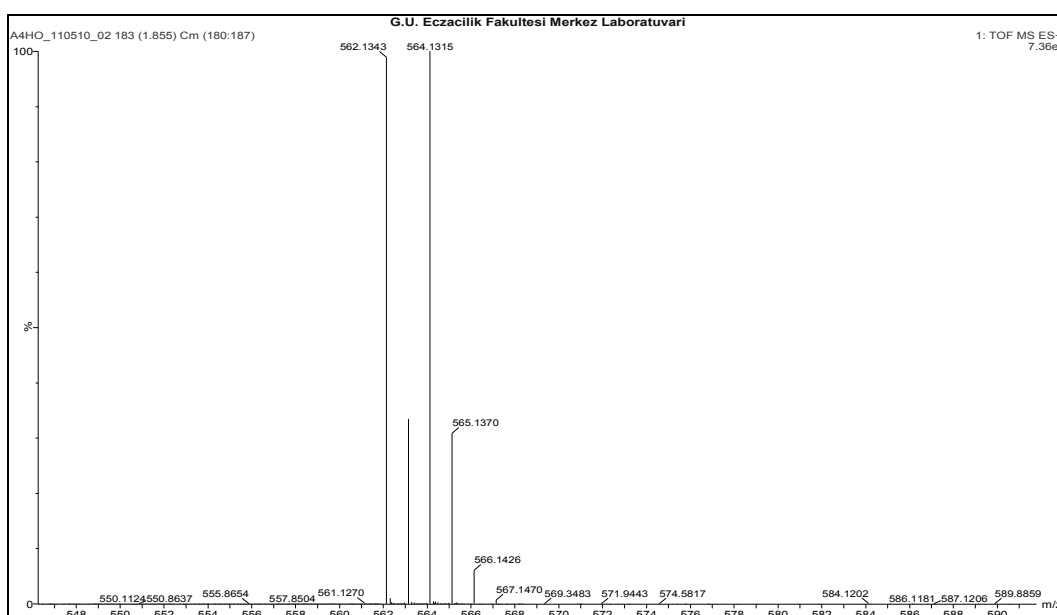


Şekil 5.2. 2-(6,14-*endo*-Eteno-6,7,8,14-tetrahidrotrebain-7*α*-il)-5-(*p*-bromofenil)-1,3,4-oksadiazol bileşığının  $^1\text{H-NMR}$  spektrumu

EK-5 (Devam). 2-(6,14-*endo*-Eteno-6,7,8,14-tetrahidrotetrabain-7*α*-il)-5-(*p*-bromofenil)-1,3,4-oksadiazol bileşiginin FT-IR,  $^1\text{H-NMR}$ ,  $^{13}\text{C-APT}$ , HR-MS spektrumları

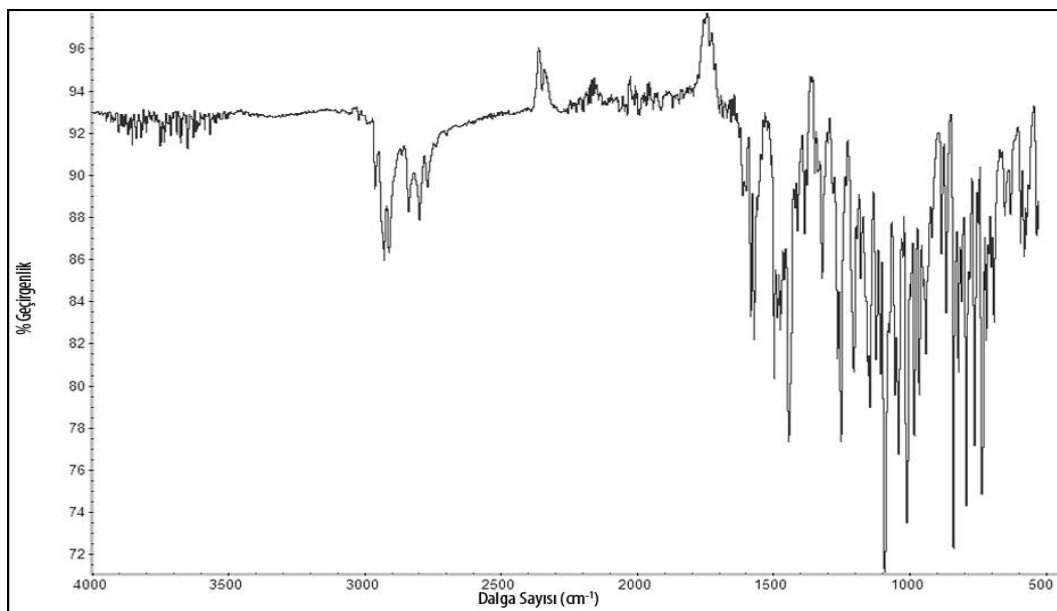


Şekil 5.3. 2-(6,14-*endo*-Eteno-6,7,8,14-tetrahidrotetrabain-7*α*-il)-5-(*p*-bromofenil)-1,3,4-oksadiazol bileşiginin  $^{13}\text{C-APT}$  spektrumu

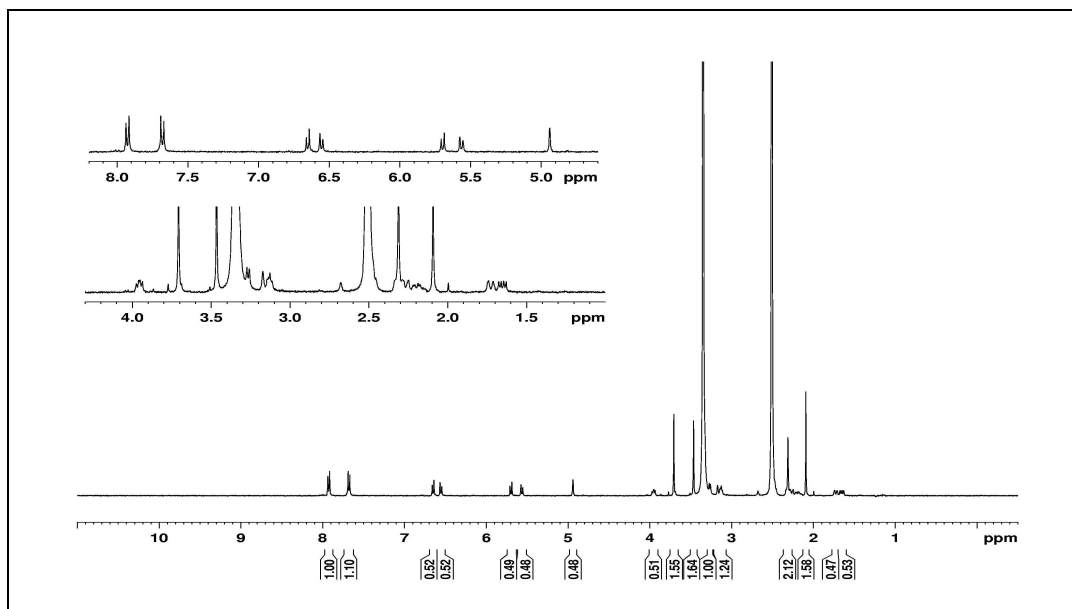


Şekil 5.4. 2-(6,14-*endo*-Eteno-6,7,8,14-tetrahidrotetrabain-7*α*-il)-5-(*p*-bromofenil)-1,3,4-oksadiazol bileşiginin HR-MS spektrumu

EK-6 2-(6,14-*endo*-Eteno-6,7,8,14-tetrahidrotetrabain-7*α*-il)-5-(*p*-klorofenil)-1,3,4-oksadiazol bileşığının FT-IR,  $^1\text{H-NMR}$ ,  $^{13}\text{C-APT}$ , HR-MS spektrumları

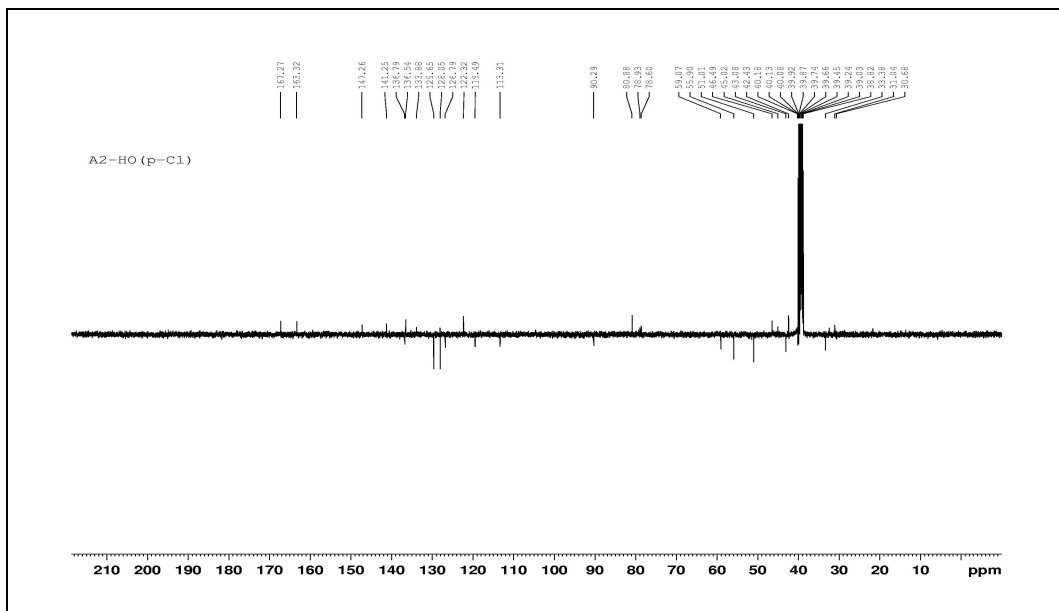


Şekil 6.1. 2-(6,14-*endo*-Eteno-6,7,8,14-tetrahidrotetrabain-7*α*-il)-5-(*p*-klorofenil)-1,3,4-oksadiazol bileşığının FT-IR spektrumu

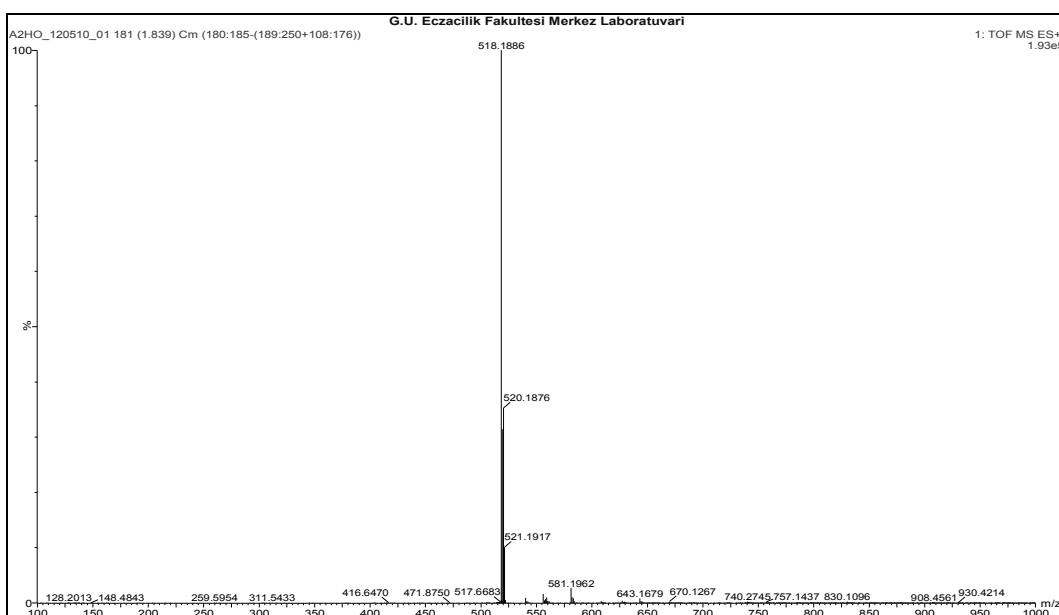


Şekil 6.2. 2-(6,14-*endo*-Eteno-6,7,8,14-tetrahidrotetrabain-7*α*-il)-5-(*p*-klorofenil)-1,3,4-oksadiazol bileşığının  $^1\text{H-NMR}$  spektrumu

EK-6 (Devam). 2-(6,14-*endo*-Eteno-6,7,8,14-tetrahidrotetrain-7*α*-il)-5-(*p*-klorofenil)-1,3,4-oksadiazol bileşığının FT-IR,  $^1\text{H}$ -NMR,  $^{13}\text{C}$ -APT, HR-MS spektrumları

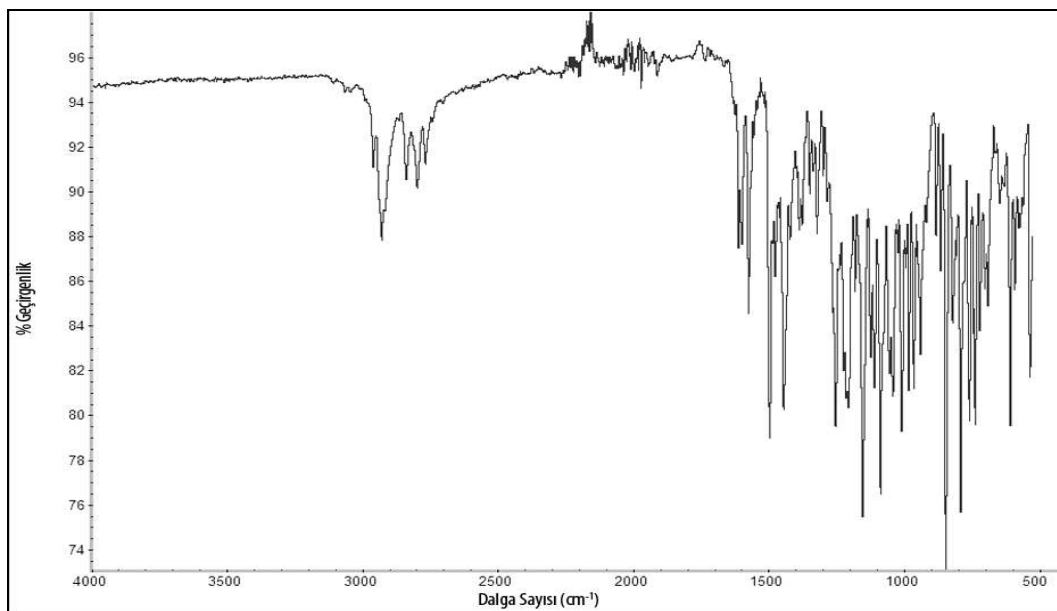


Şekil 6.3. 2-(6,14-*endo*-Eteno-6,7,8,14-tetrahidrotetrain-7*α*-il)-5-(*p*-klorofenil)-1,3,4-oksadiazol bileşığının  $^{13}\text{C}$ -APT spektrumu

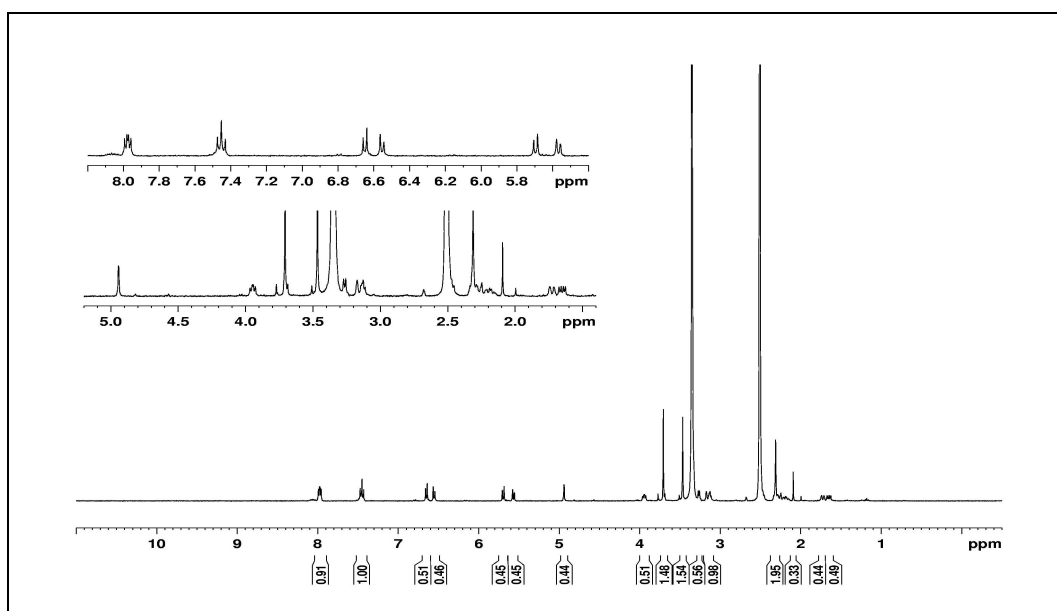


Şekil 6.4. 2-(6,14-*endo*-Eteno-6,7,8,14-tetrahidrotetrain-7*α*-il)-5-(*p*-klorofenil)-1,3,4-oksadiazol bileşığının HR-MS spektrumu

EK-7 2-(6,14-*endo*-Eteno-6,7,8,14-tetrahidrotetrabain-7*α*-il)-5-(*p*-florofenil)-1,3,4-oksadiazol bileşiginin FT-IR,  $^1\text{H-NMR}$ ,  $^{13}\text{C-APT}$ , HR-MS spektrumları

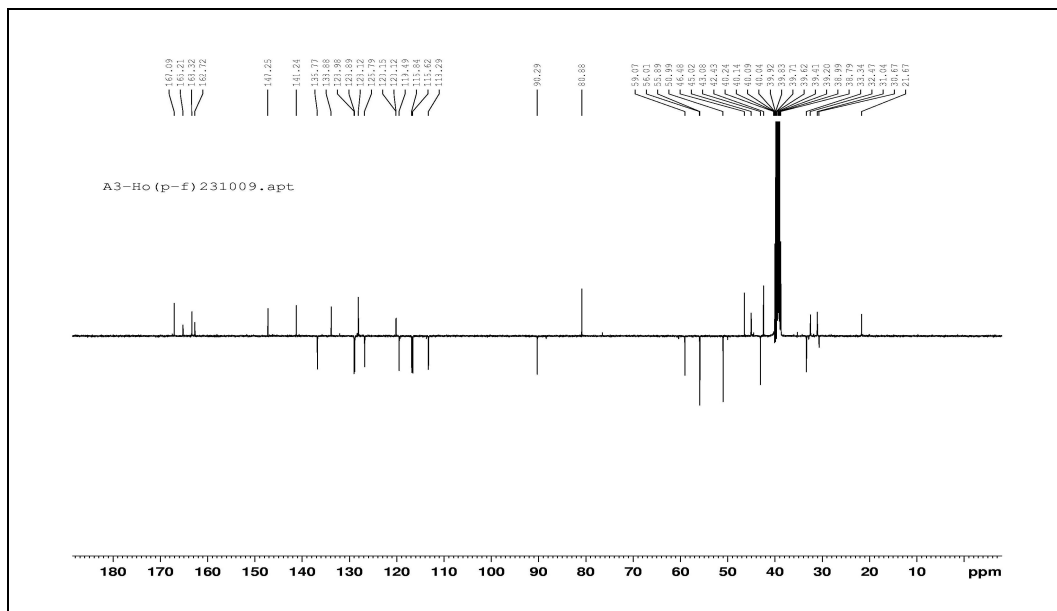


Şekil 7.1. 2-(6,14-*endo*-Eteno-6,7,8,14-tetrahidrotetrabain-7*α*-il)-5-(*p*-florofenil)-1,3,4-oksadiazol bileşiginin FT-IR spektrumu

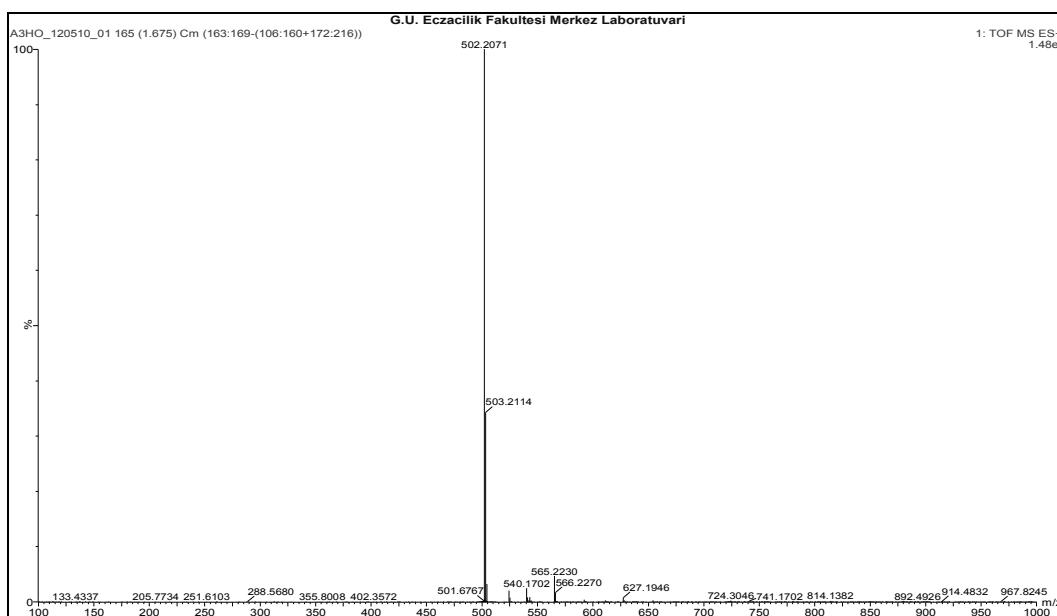


Şekil 7.2. 2-(6,14-*endo*-Eteno-6,7,8,14-tetrahidrotetrabain-7*α*-il)-5-(*p*-florofenil)-1,3,4-oksadiazol bileşiginin  $^1\text{H-NMR}$  spektrumu

**EK-7 (Devam). 2-(6,14-*endo*-Eteno-6,7,8,14-tetrahidrotetrabain-7*α*-il)-5-(*p*-florofenil)-1,3,4-oksadiazol bileşığının FT-IR,  $^1\text{H-NMR}$ ,  $^{13}\text{C-APT}$ , HR-MS spektrumları**

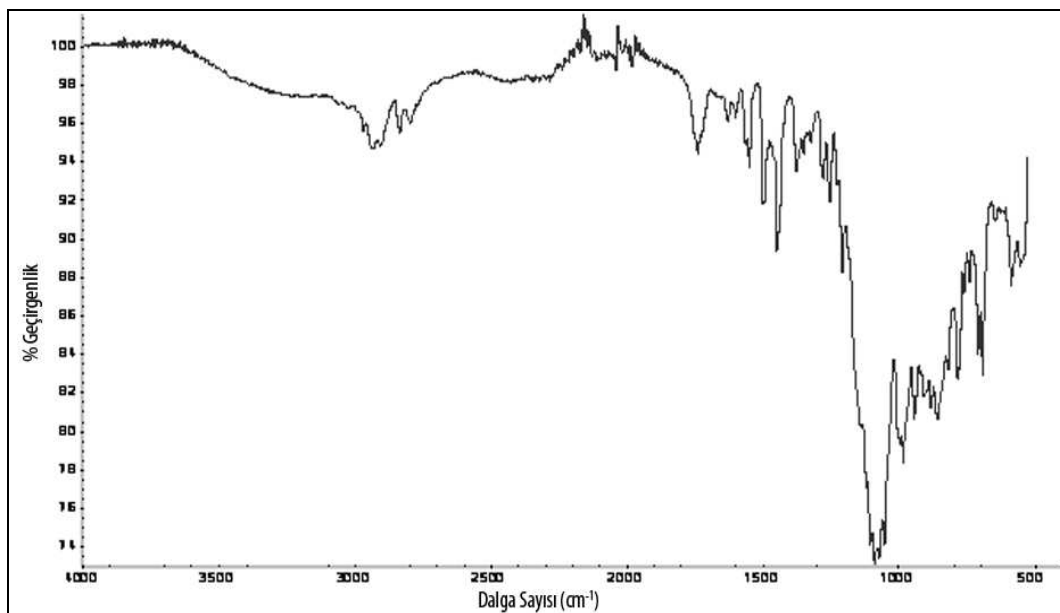


**Şekil 7.3. 2-(6,14-*endo*-Eteno-6,7,8,14-tetrahidrotetrabain-7*α*-il)-5-(*p*-florofenil)-1,3,4-oksadiazol bileşığının  $^{13}\text{C-APT}$  spektrumu**

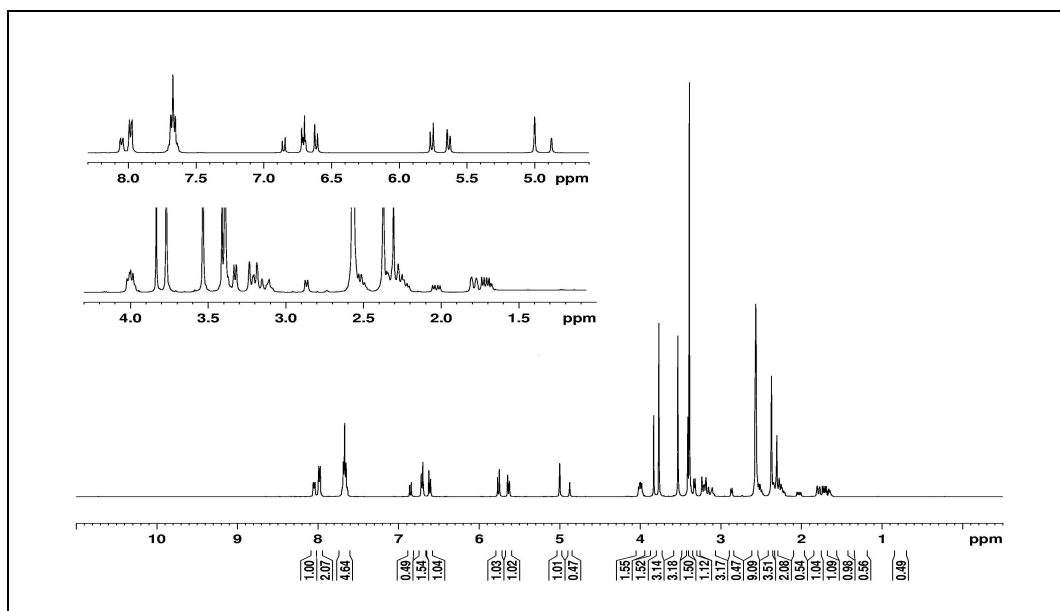


**Şekil 7.4. 2-(6,14-*endo*-Eteno-6,7,8,14-tetrahidrotetrabain-7*α*-il)-5-(*p*-florofenil)-1,3,4-oksadiazol bileşığının HR-MS spektrumu**

EK-8 2-(6,14-*endo*-Eteno-6,7,8,14-tetrahidrotetrabain-7*α*-il)-5-fenil-1,3,4-oksadiazol bileşığının FT-IR,  $^1\text{H-NMR}$ ,  $^{13}\text{C-APT}$ , HR-MS spektrumları

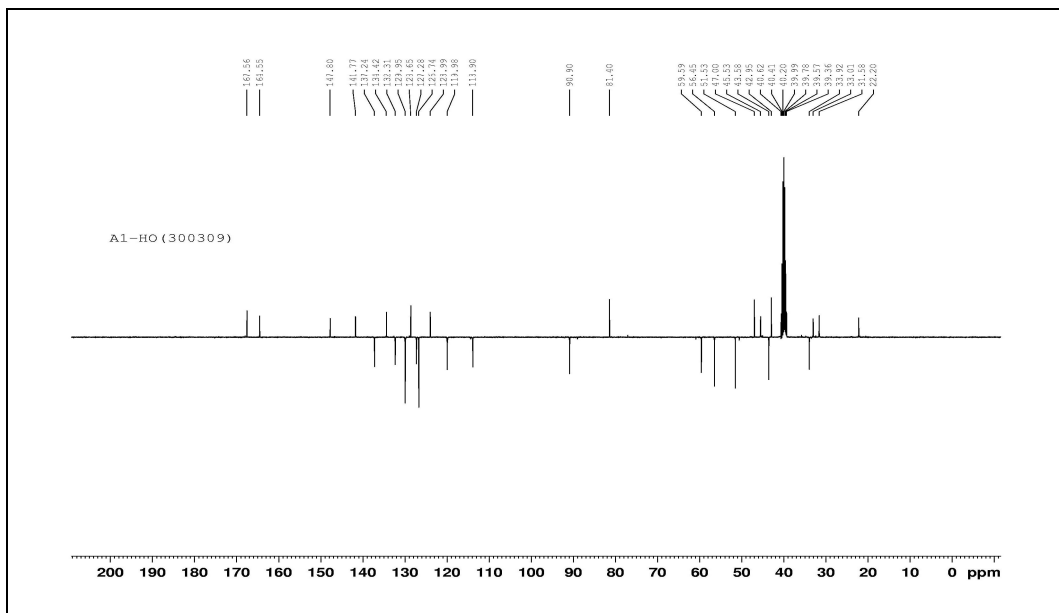


Şekil 8.1. 2-(6,14-*endo*-Eteno-6,7,8,14-tetrahidrotetrabain-7*α*-il)-5-fenil-1,3,4-oksadiazol bileşığının FT-IR spektrumu

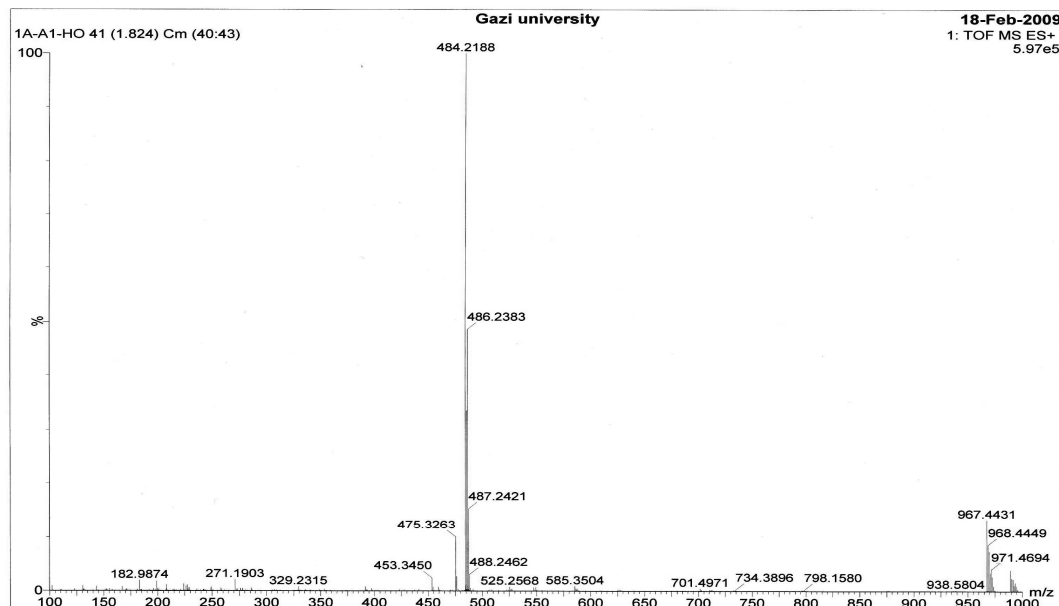


Şekil 8.2. 2-(6,14-*endo*-Eteno-6,7,8,14-tetrahidrotetrabain-7*α*-il)-5-fenil-1,3,4-oksadiazol bileşığının  $^1\text{H-NMR}$  spektrumu

EK-8 (Devam). 2-(6,14-*endo*-Eteno-6,7,8,14-tetrahidrotetrabain-7*α*-il)-5-fenil-1,3,4-oksadiazol bileşığının FT-IR,  $^1\text{H-NMR}$ ,  $^{13}\text{C-APT}$ , HR-MS spektrumları

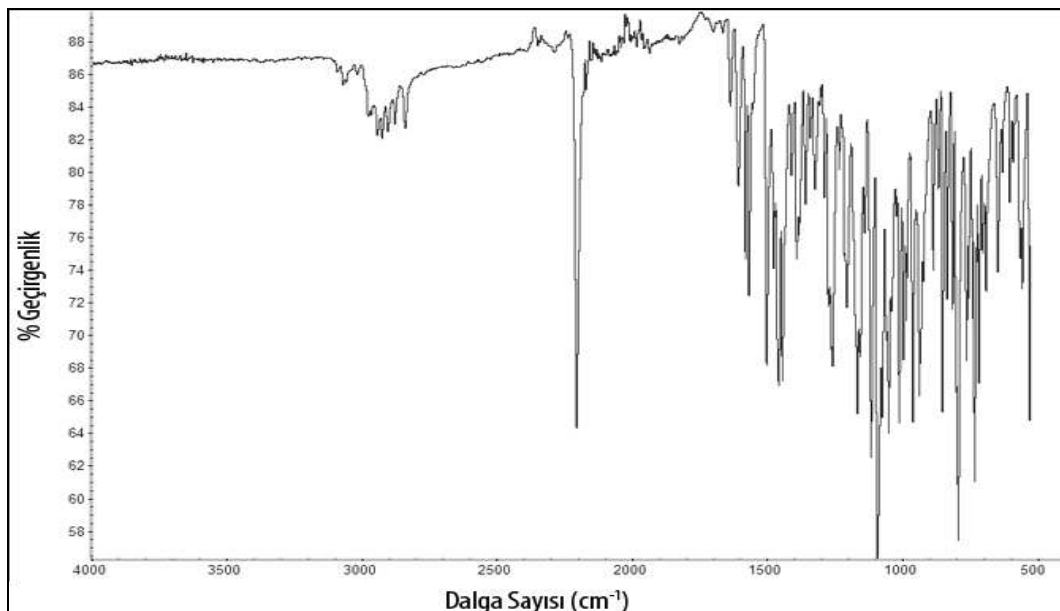


Şekil 8.3. 2-(6,14-*endo*-Eteno-6,7,8,14-tetrahidrotetrabain-7*α*-il)-5-fenil-1,3,4-oksadiazol bileşığının  $^{13}\text{C-APT}$  spektrumu

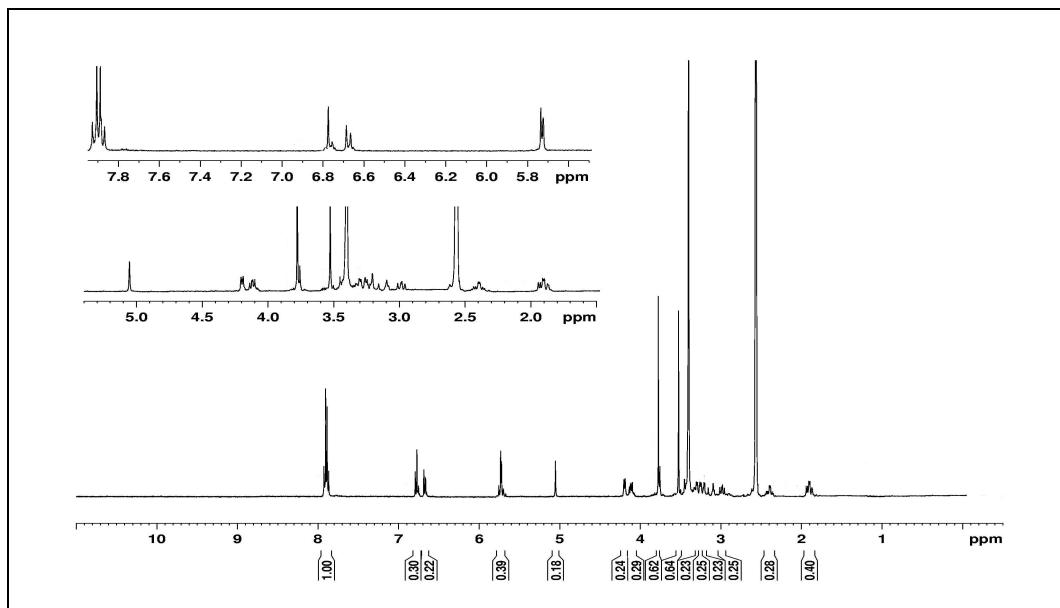


Şekil 8.4. 2-(6,14-*endo*-Eteno-6,7,8,14-tetrahidrotetrabain-7*α*-il)-5-fenil-1,3,4-oksadiazol bileşığının HR-MS spektrumu

EK-9 2-(*N*-siyano-6,14-*endo*-Eteno-6,7,8,14-tetrahidrotetrabain-7 $\alpha$ -il)-5-(*p*-bromofenil)-1,3,4-oksadiazol bileşığının FT-IR,  $^1\text{H-NMR}$ ,  $^{13}\text{C-APT}$ , HR-MS spektrumları

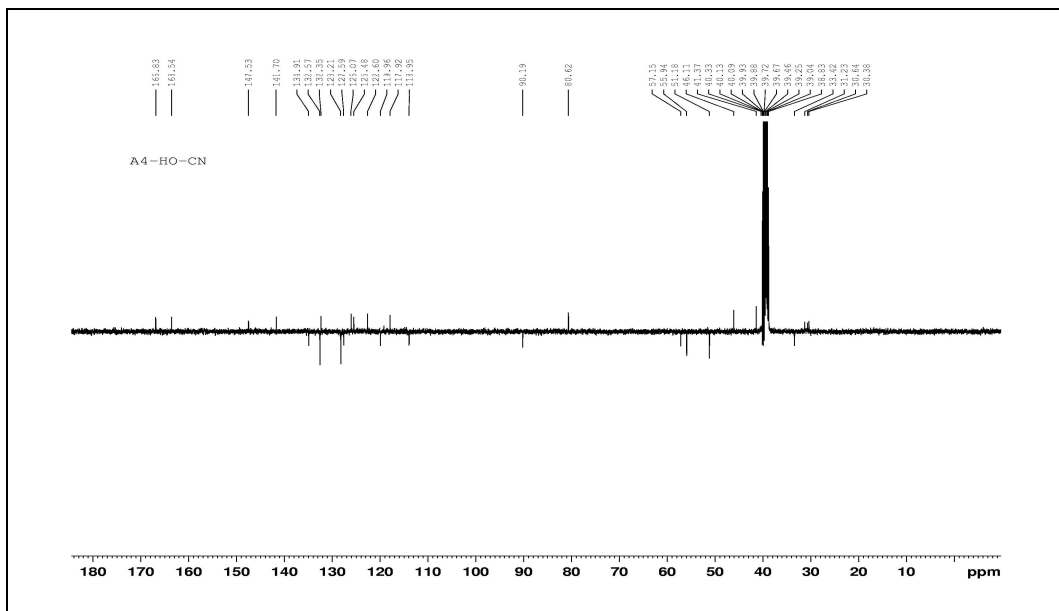


Şekil 9.1. 2-(*N*-siyano-6,14-*endo*-eteno-6,7,8,14-tetrahidrotetrabain-7 $\alpha$ -il)-5-(*p*-bromofenil)-1,3,4-oksadiazol bileşığının FT-IR spektrumu

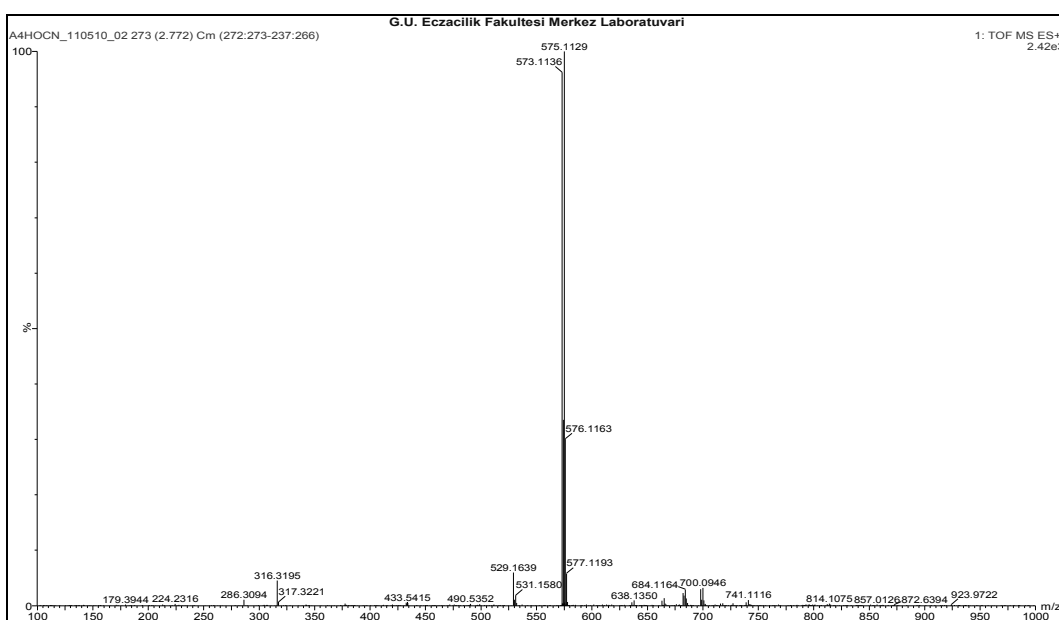


Şekil 9.2. 2-(*N*-siyano-6,14-*endo*-eteno-6,7,8,14-tetrahidrotetrabain-7 $\alpha$ -il)-5-(*p*-bromofenil)-1,3,4-oksadiazol bileşığının  $^1\text{H-NMR}$  spektrumu

**EK-9 (Devam). 2-(*N*-siyano-6,14-*endo*-eteno-6,7,8,14-tetrahidrotetrabain-7 $\alpha$ -il)-5-(*p*-bromofenil)-1,3,4-oksadiazol bileşığının FT-IR,  $^1\text{H}$ -NMR,  $^{13}\text{C}$ -APT, HR-MS spektrumları**

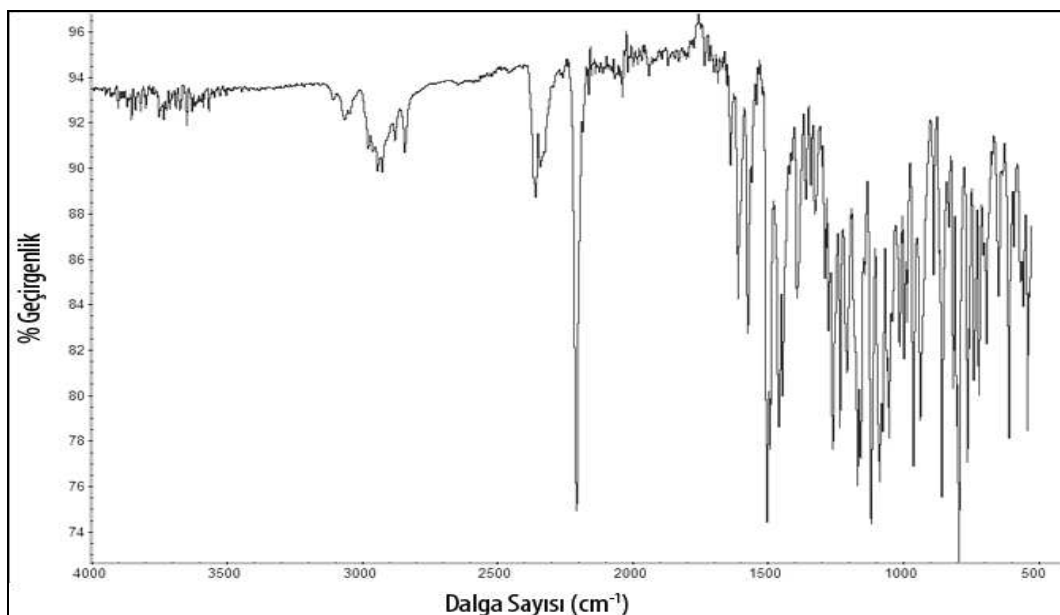


**Şekil 9.3.** 2-(*N*-siyano-6,14-*endo*-eteno-6,7,8,14-tetrahidrotetrabain-7 $\alpha$ -il)-5-(*p*-bromofenil)-1,3,4-oksadiazol bileşığının  $^{13}\text{C}$ -APT spektrumu

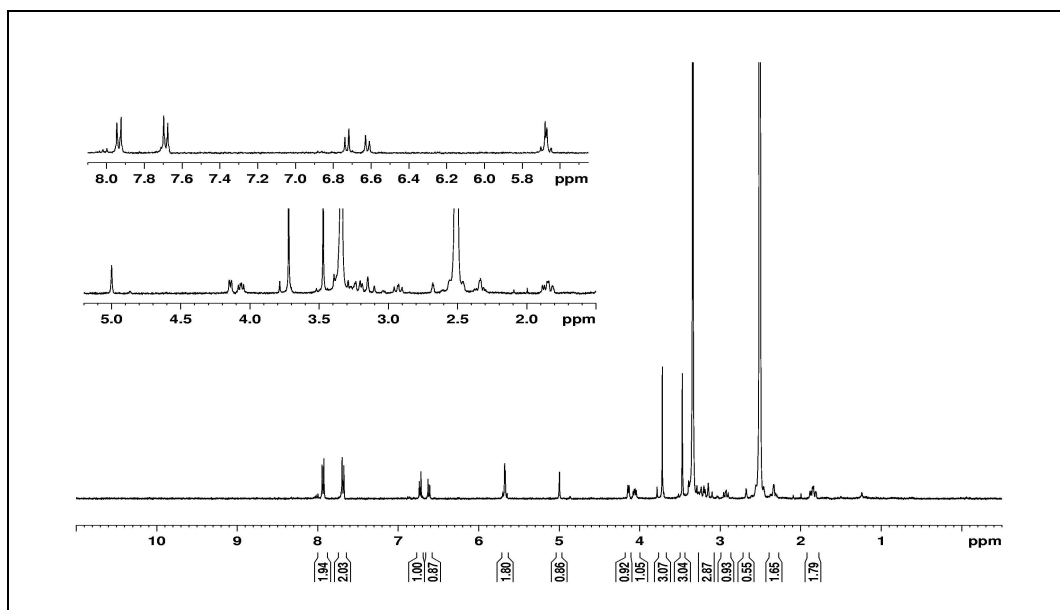


**Şekil 9.4.** 2-(*N*-siyano-6,14-*endo*-eteno-6,7,8,14-tetrahidrotetrabain-7 $\alpha$ -il)-5-(*p*-bromofenil)-1,3,4-oksadiazol bileşığının HR-MS spektrumu

EK-10 2-(*N*-siyano-6,14-*endo*-eteno-6,7,8,14-tetrahidrotetrabain-7 $\alpha$ -il)-5-(*p*-klorofenil)-1,3,4-oksadiazol bileşığının FT-IR,  $^1\text{H-NMR}$ ,  $^{13}\text{C-APT}$ , HR-MS spektrumları

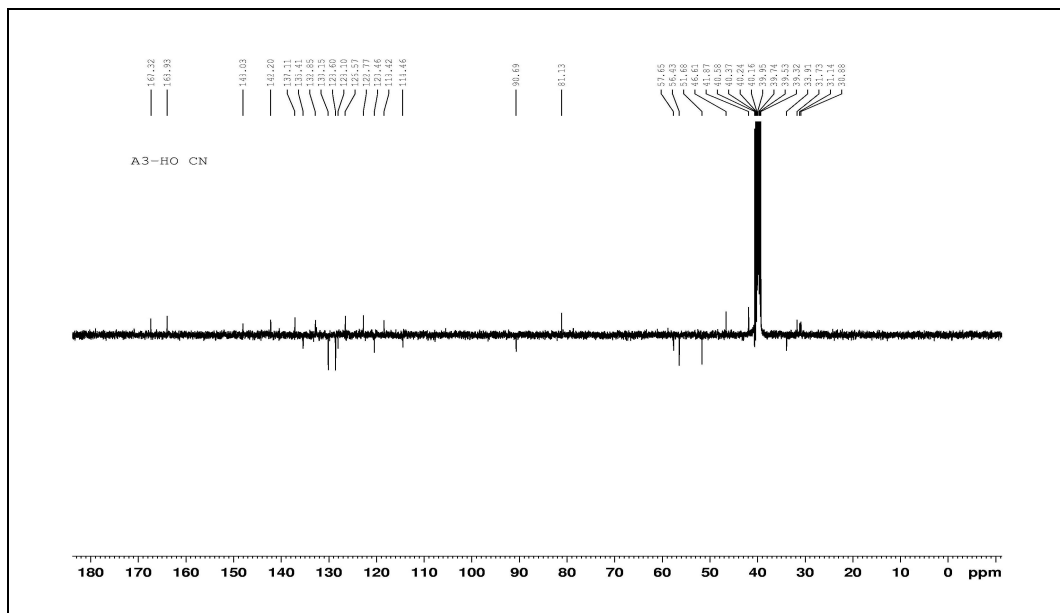


Şekil 10.1. 2-(*N*-siyano-6,14-*endo*-eteno-6,7,8,14-tetrahidrotetrabain-7 $\alpha$ -il)-5-(*p*-klorofenil)-1,3,4-oksadiazol bileşığının FT-IR spektrumu

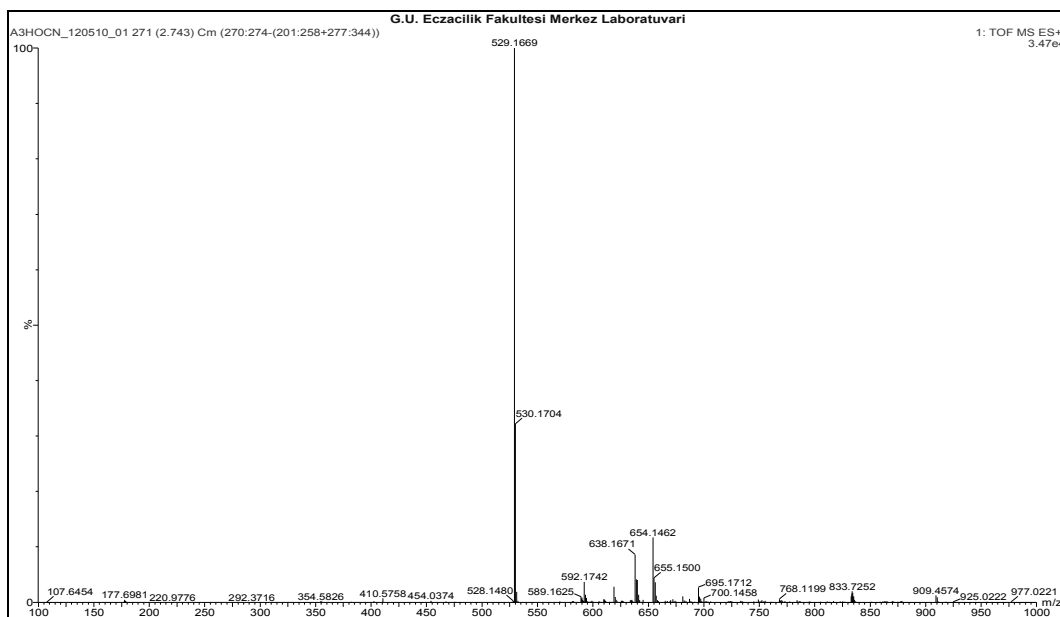


Şekil 10.2. 2-(*N*-siyano-6,14-*endo*-eteno-6,7,8,14-tetrahidrotetrabain-7 $\alpha$ -il)-5-(*p*-klorofenil)-1,3,4-oksadiazol bileşığının  $^1\text{H-NMR}$  spektrumu

EK-10 (Devam). 2-(*N*-siyano-6,14-*endo*-eteno-6,7,8,14-tetrahidrotetrabain-7*α*-il)-5-(*p*-klorofenil)-1,3,4-oksadiazol bileşinin FT-IR,  $^1\text{H-NMR}$ ,  $^{13}\text{C-APT}$ , HR-MS spektrumları

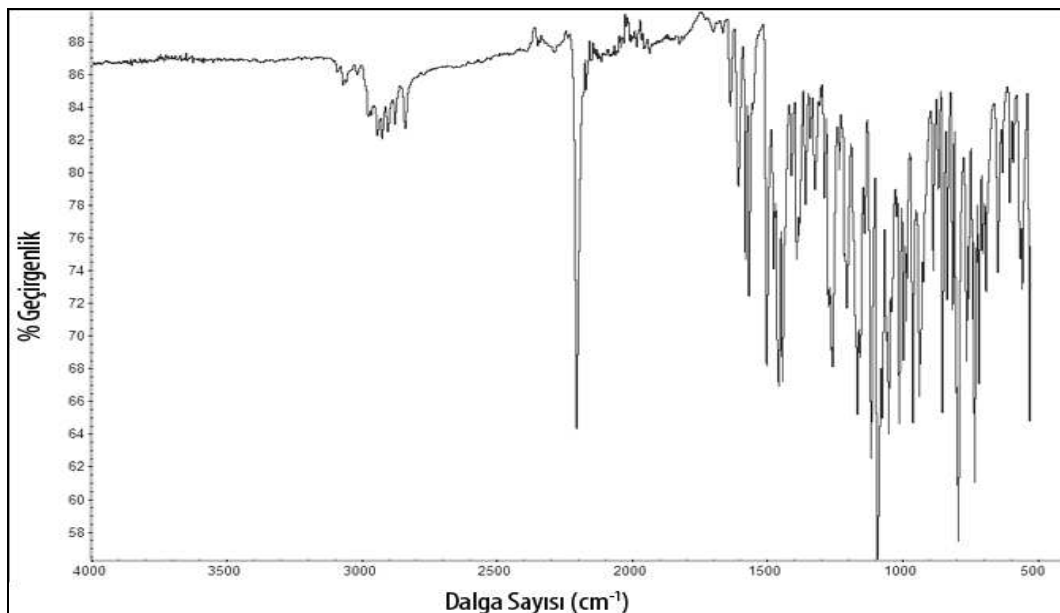


Şekil 10.3. 2-(*N*-siyano-6,14-*endo*-eteno-6,7,8,14-tetrahidrotetrabain-7*α*-il)-5-(*p*-klorofenil)-1,3,4-oksadiazol bileşinin  $^{13}\text{C-APT}$  spektrumu

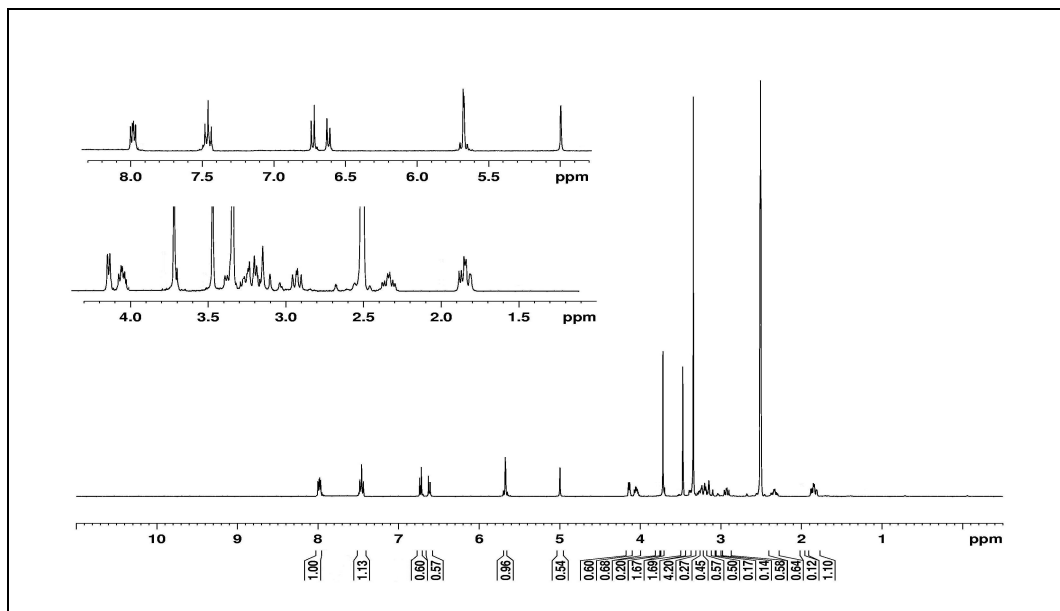


Şekil 10.4. 2-(*N*-siyano-6,14-*endo*-eteno-6,7,8,14-tetrahidrotetrabain-7*α*-il)-5-(*p*-klorofenil)-1,3,4-oksadiazol bileşinin HR-MS spektrumu

EK-11 2-(*N*-siyano-6,14-*endo*-eteno-6,7,8,14-tetrahidrotetrabain-7 $\alpha$ -il)-5-(*p*-florofenil)-1,3,4-oksadiazol bileşığının FT-IR,  $^1\text{H-NMR}$ ,  $^{13}\text{C-APT}$ , HR-MS spektrumları

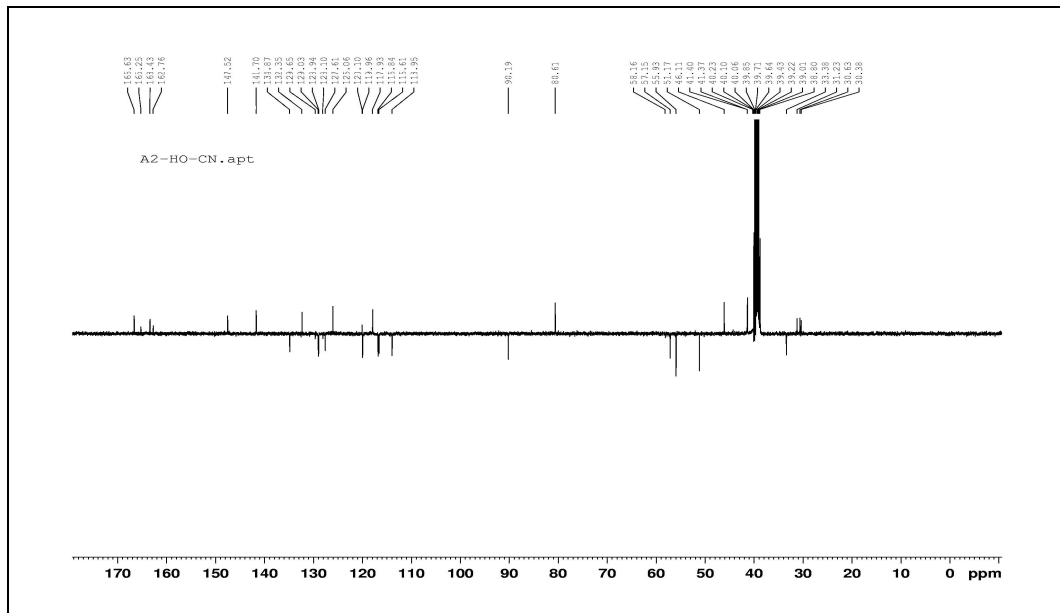


Şekil 11.1. 2-(*N*-siyano-6,14-*endo*-eteno-6,7,8,14-tetrahidrotetrabain-7 $\alpha$ -il)-5-(*p*-florofenil)-1,3,4-oksadiazol bileşığının FT-IR spektrumu

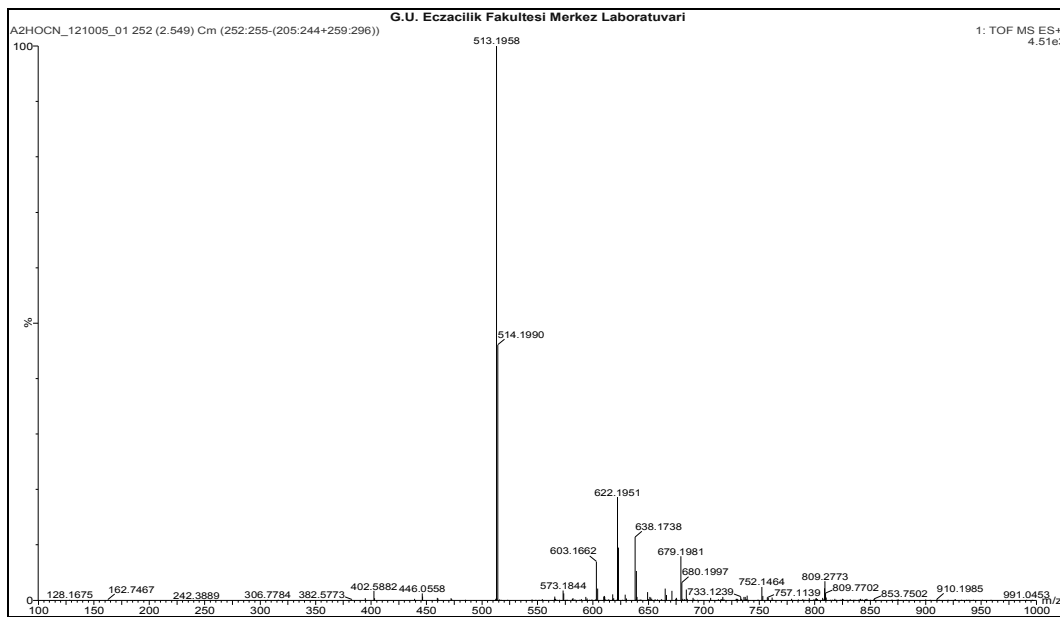


Şekil 11.2. 2-(*N*-siyano-6,14-*endo*-eteno-6,7,8,14-tetrahidrotetrabain-7 $\alpha$ -il)-5-(*p*-florofenil)-1,3,4-oksadiazol bileşığının  $^1\text{H-NMR}$  spektrumu

EK-11 (Devam). 2-(*N*-siyano-6,14-*endo*-eteno-6,7,8,14-tetrahidrotrebain-7*α*-il)-5-(*p*-florofenil)-1,3,4-oksadiazol bileşığının FT-IR,  $^1\text{H}$ -NMR,  $^{13}\text{C}$ -APT, HR-MS spektrumları

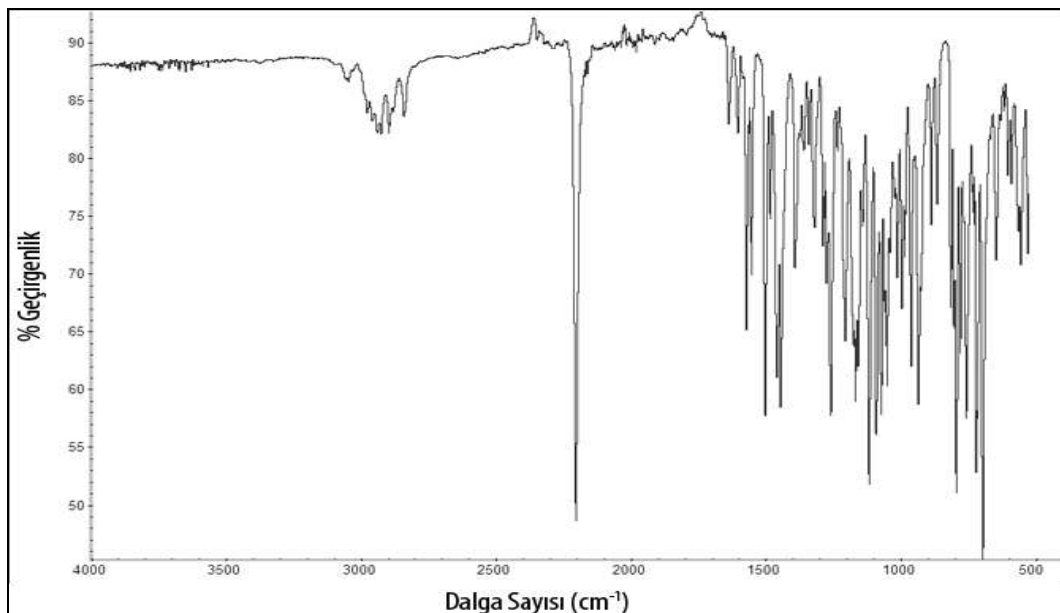


Şekil 11.3. 2-(*N*-siyano-6,14-*endo*-eteno-6,7,8,14-tetrahidrotrebain-7*α*-il)-5-(*p*-florofenil)-1,3,4-oksadiazol bileşığının  $^{13}\text{C}$ -APT spektrumu

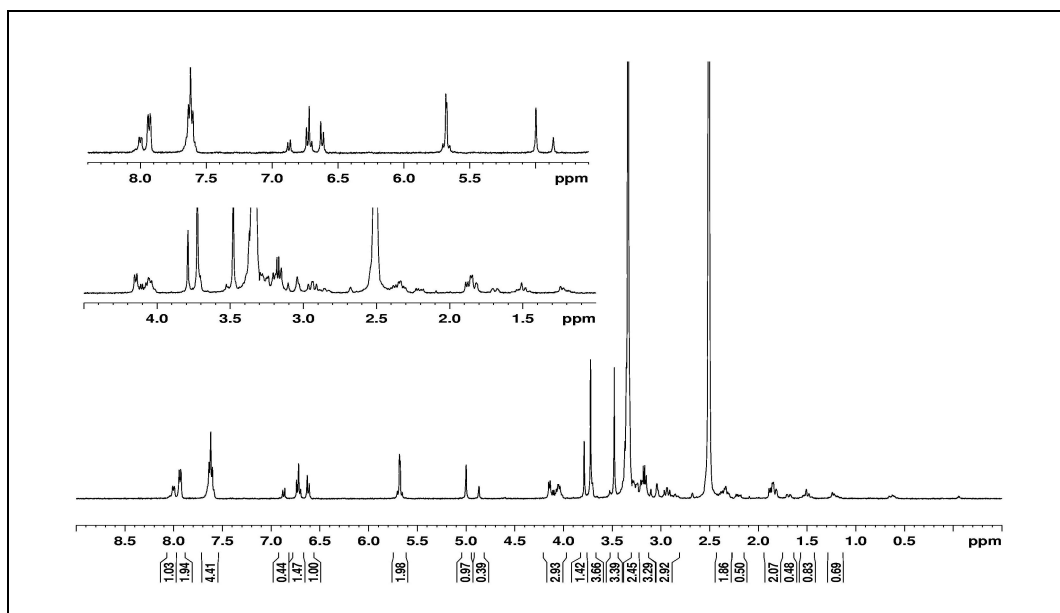


Şekil 11.4. 2-(*N*-siyano-6,14-*endo*-eteno-6,7,8,14-tetrahidrotrebain-7*α*-il)-5-(*p*-florofenil)-1,3,4-oksadiazol bileşığının HR-MS spektrumu

EK-12 2-(*N*-siyano-6,14-*endo*-eteno-6,7,8,14-tetrahidrotetrabain-7 $\alpha$ -il)-5-fenil-1,3,4-oksadiazol bileşığının FT-IR,  $^1\text{H-NMR}$ ,  $^{13}\text{C-APT}$ , HR-MS spektrumları

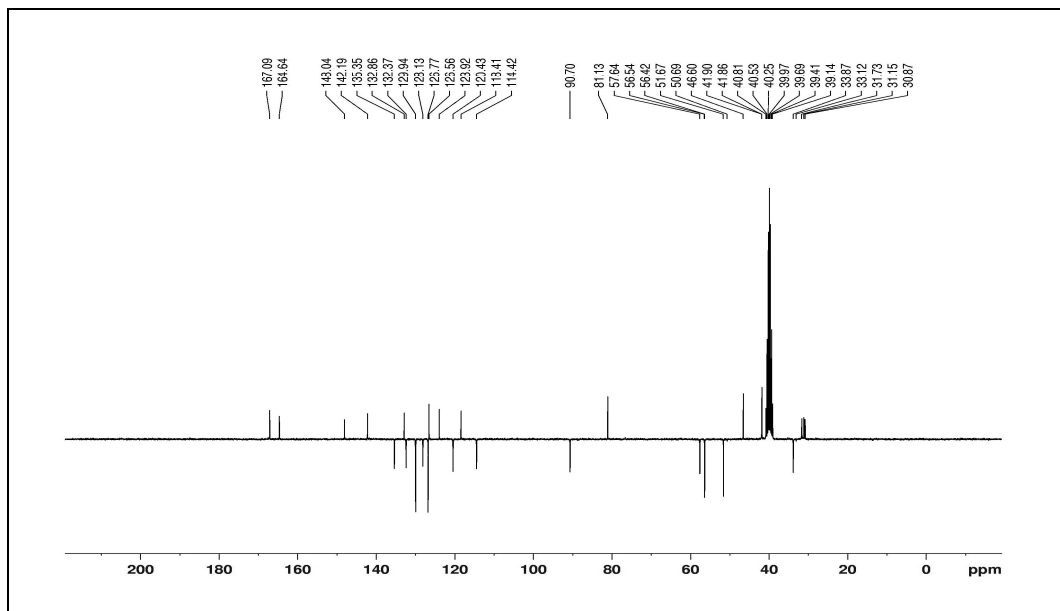


Şekil 12.1. 2-(*N*-siyano-6,14-*endo*-eteno-6,7,8,14-tetrahidrotetrabain-7 $\alpha$ -il)-5-fenil-1,3,4-oksadiazol bileşığının FT-IR spektrumu

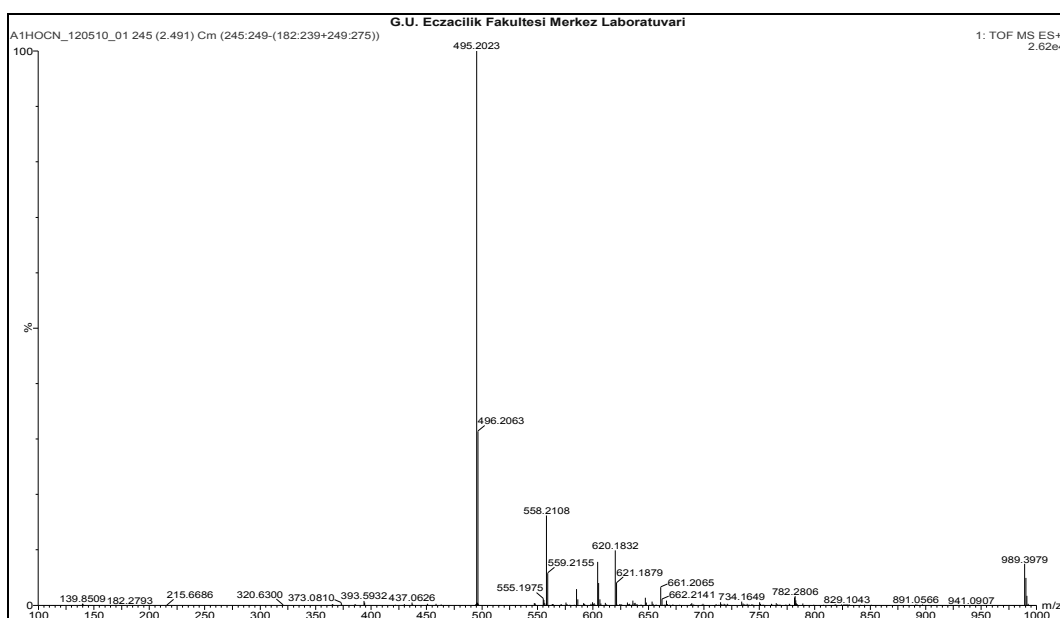


Şekil 12.2. 2-(*N*-siyano-6,14-*endo*-eteno-6,7,8,14-tetrahidrotetrabain-7 $\alpha$ -il)-5-fenil-1,3,4-oksadiazol bileşığının  $^1\text{H-NMR}$  spektrumu

EK-12 (Devam). 2-(*N*-siyano-6,14-*endo*-eteno-6,7,8,14-tetrahidrotetrabain-7*α*-il)-5-fenil-1,3,4-oksadiazol bileşığının FT-IR,  $^1\text{H}$ -NMR,  $^{13}\text{C}$ -APT, HR-MS spektrumları

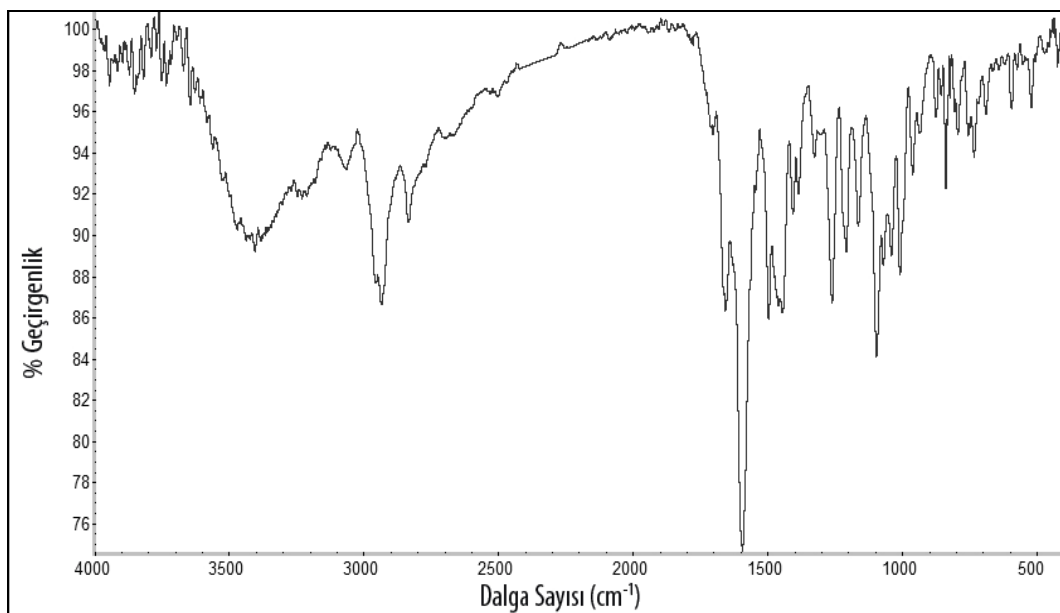


Şekil 12.3. 2-(*N*-siyano-6,14-*endo*-eteno-6,7,8,14-tetrahidrotetrabain-7*α*-il)-5-fenil-1,3,4-oksadiazol bileşığının  $^{13}\text{C}$ -APT spektrumu

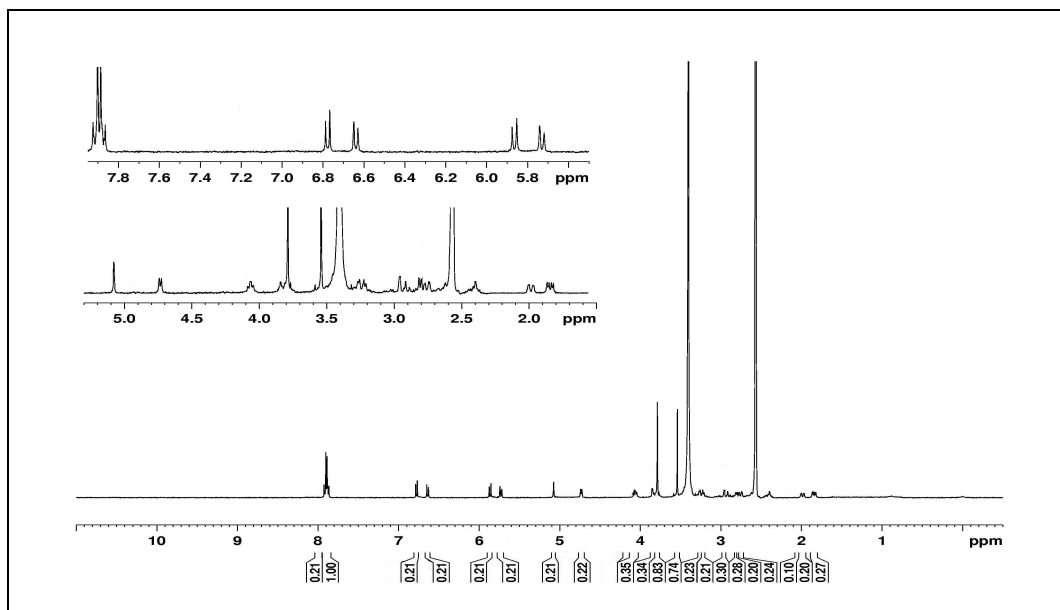


Şekil 12.4. 2-(*N*-siyano-6,14-*endo*-eteno-6,7,8,14-tetrahidrotetrabain-7*α*-il)-5-fenil-1,3,4-oksadiazol bileşığının HR-MS spektrumu

EK-13 2-[*N*-(1*H*-Tetrazol)-6,14-*endo*-eteno-7,8,14-tetrahidrotetrabain-7*α*-il]-5-(*p*-bromofenil)-1,3,4-oksadiazol bileşığının FT-IR,  $^1\text{H}$ -NMR,  $^{13}\text{C}$ -APT, HR-MS spektrumları

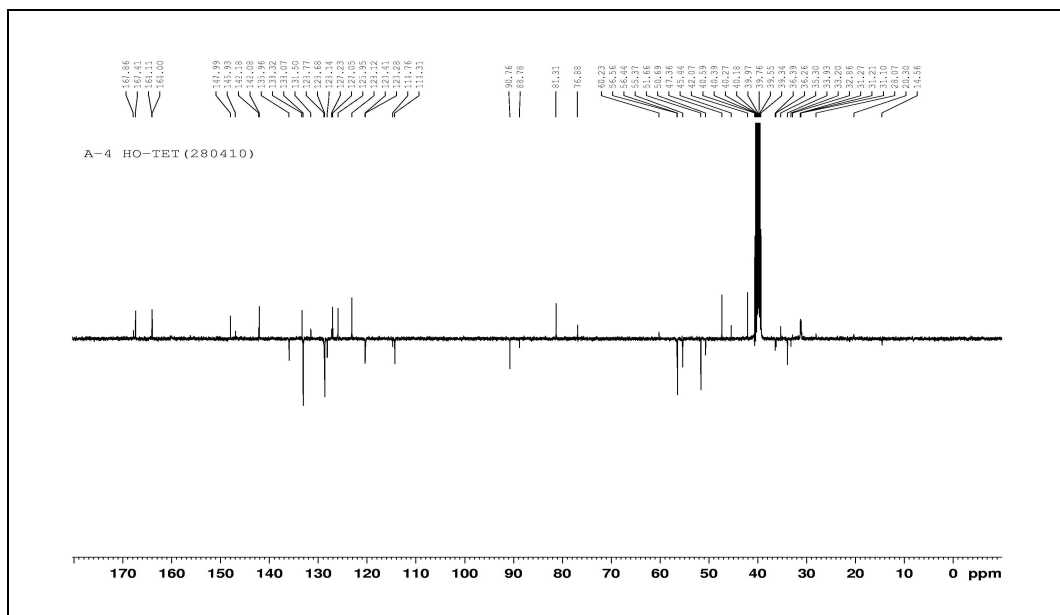


Şekil 13.1. 2-[*N*-(1*H*-Tetrazol)-6,14-*endo*-eteno-7,8,14-tetrahidrotetrabain-7*α*-il]-5-(*p*-bromofenil)-1,3,4-oksadiazol bileşığının FT-IR spektrumu

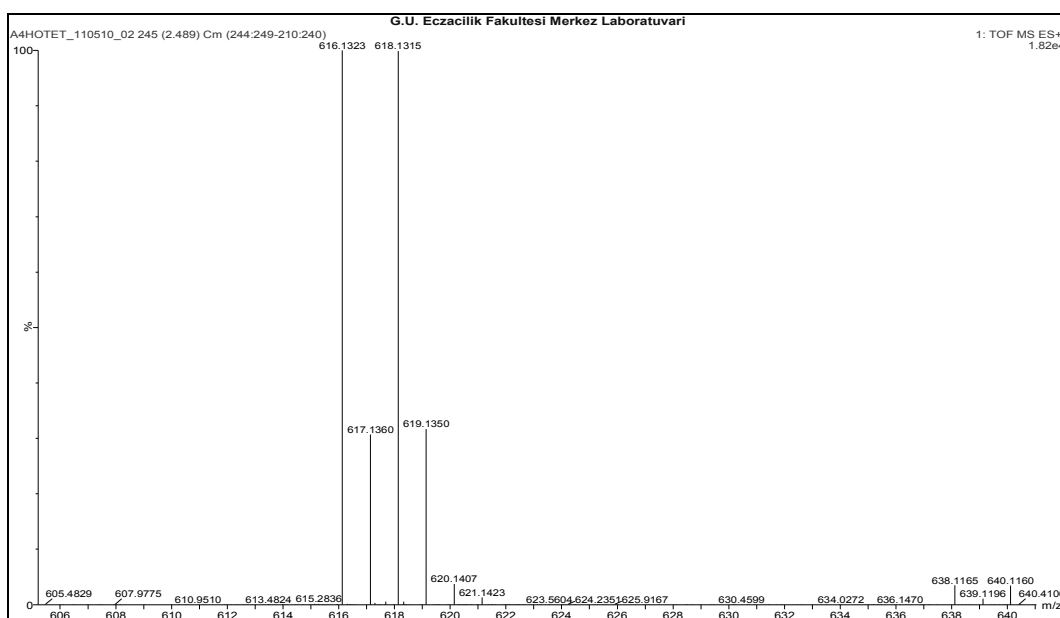


Şekil 13.2. 2-[*N*-(1*H*-Tetrazol)-6,14-*endo*-eteno-7,8,14-tetrahidrotetrabain-7*α*-il]-5-(*p*-bromofenil)-1,3,4-oksadiazol bileşığının  $^1\text{H}$ -NMR spektrumu

EK-13 (Devam). 2-[*N*-(1*H*-Tetrazol)-6,14-*endo*-eteno-7,8,14-tetrahidrotrebain-7*α*-il]-5-(*p*-bromofenil)-1,3,4-oksadiazol bileşığının FT-IR,  
<sup>1</sup>H-NMR, <sup>13</sup>C-APT, HR-MS spektrumları

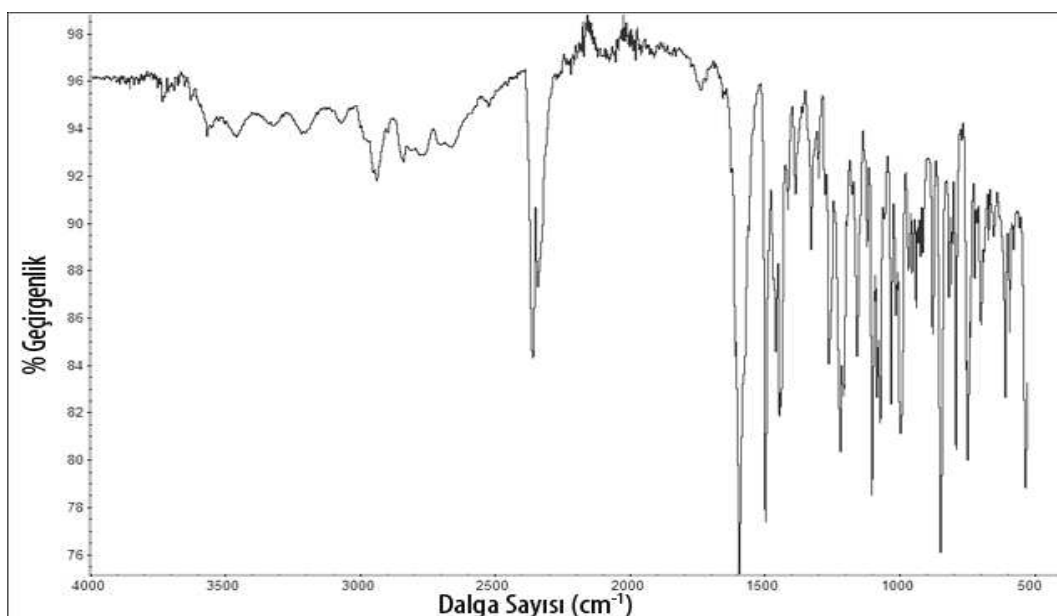


Şekil 13.3. 2-[*N*-(1*H*-Tetrazol)-6,14-*endo*-eteno-7,8,14-tetrahidrotrebain-7*α*-il]-5-(*p*-bromofenil)-1,3,4-oksadiazol bileşığının <sup>13</sup>C-APT spektrumu

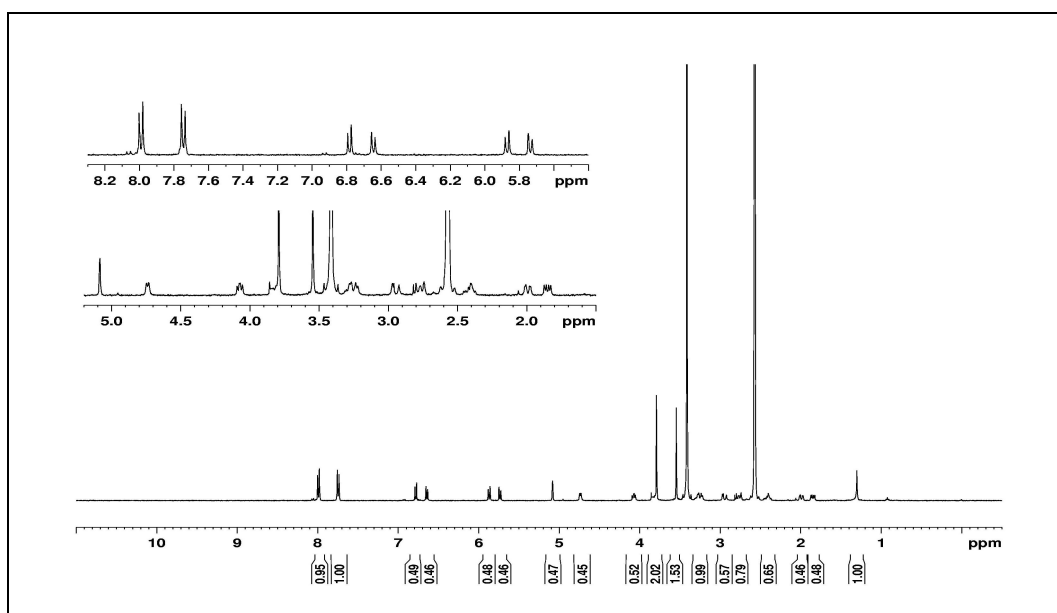


Şekil 13.4. 2-[*N*-(1*H*-Tetrazol)-6,14-*endo*-eteno-7,8,14-tetrahidrotrebain-7*α*-il]-5-(*p*-bromofenil)-1,3,4-oksadiazol bileşığının HR-MS spektrumu

EK-14 2-[*N*-(1*H*-Tetrazol)-6,14-*endo*-eteno-7,8,14-tetrahidrotetrabain-7*α*-il]-5-(*p*-klorofenil)-1,3,4-oksadiazol bileşığının FT-IR,  $^1\text{H}$ -NMR,  $^{13}\text{C}$ -APT, HR-MS spektrumları

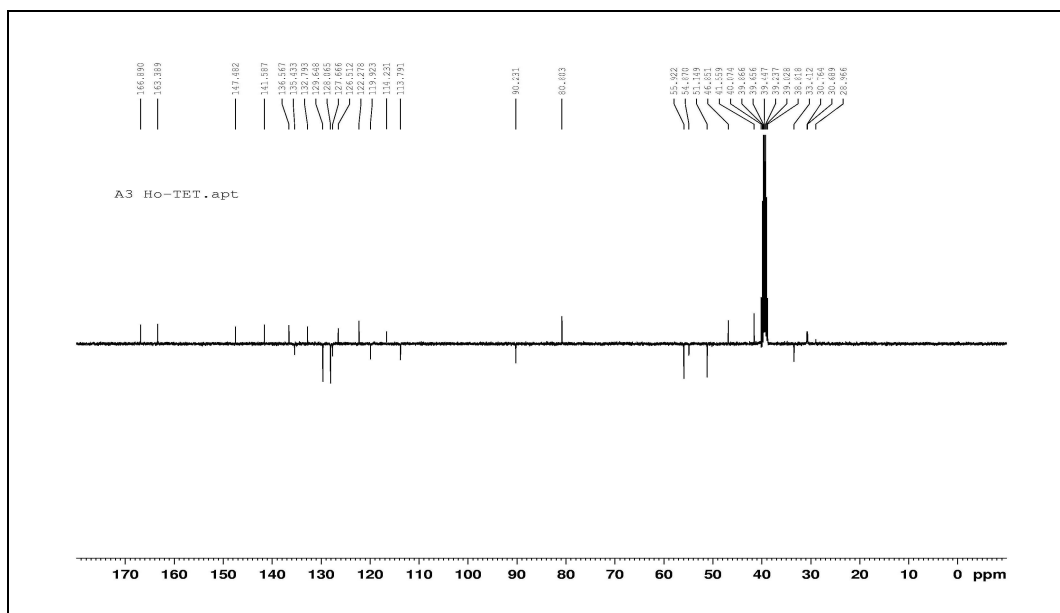


Şekil 14.1. 2-[*N*-(1*H*-Tetrazol)-6,14-*endo*-eteno-7,8,14-tetrahidrotetrabain-7*α*-il]-5-(*p*-klorofenil)-1,3,4-oksadiazol bileşığının FT-IR spektrumu

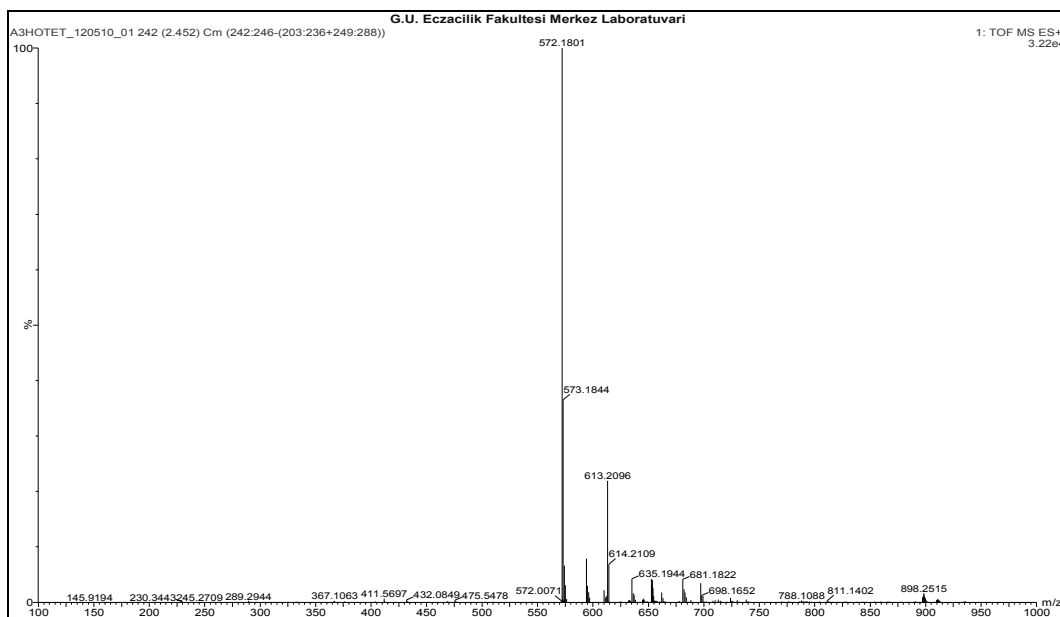


Şekil 14.2. 2-[*N*-(1*H*-Tetrazol)-6,14-*endo*-eteno-7,8,14-tetrahidrotetrabain-7*α*-il]-5-(*p*-klorofenil)-1,3,4-oksadiazol bileşığının  $^1\text{H}$ -NMR spektrumu

EK-14 (Devam). 2-[*N*-(1*H*-Tetrazol)-6,14-*endo*-eteno-7,8,14-tetrahidrotetrabain-7*α*-il]-5-(*p*-klorofenil)-1,3,4-oksadiazol bileşininin FT-IR, <sup>1</sup>H-NMR, <sup>13</sup>C-APT, HR-MS spektrumları

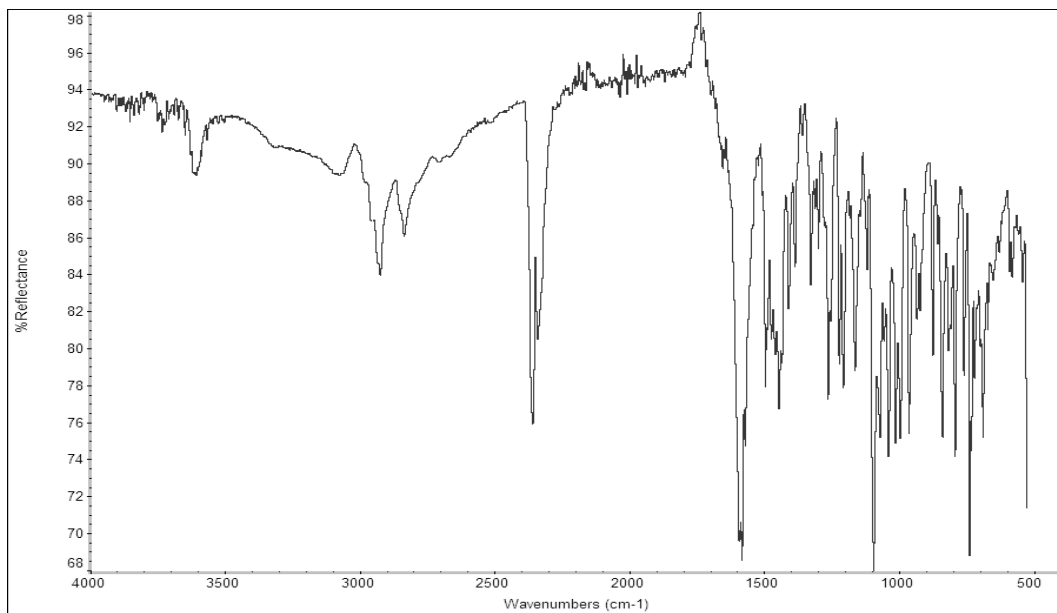


Şekil 14.3. 2-[*N*-(1*H*-Tetrazol)-6,14-*endo*-eteno-7,8,14-tetrahidrotetrabain-7*α*-il]-5-(*p*-klorofenil)-1,3,4-oksadiazol bileşininin <sup>13</sup>C-APT spektrumu

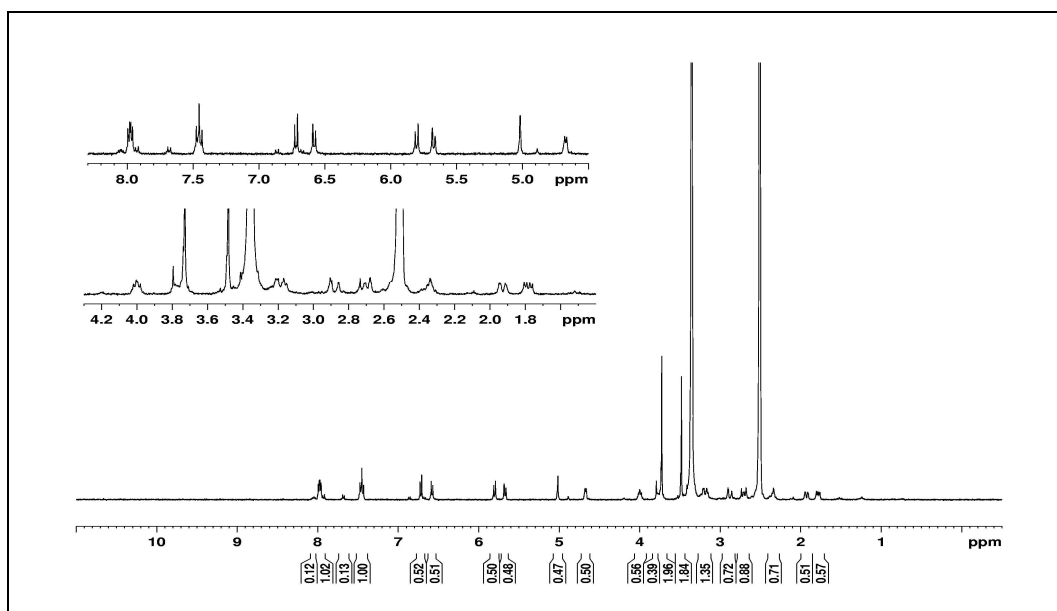


Şekil 14.4. 2-[*N*-(1*H*-Tetrazol)-6,14-*endo*-eteno-7,8,14-tetrahidrotetrabain-7*α*-il]-5-(*p*-klorofenil)-1,3,4-oksadiazol bileşininin HR-MS spektrumu

EK-15 2-[*N*-(1*H*-Tetrazol)-6,14-*endo*-eteno-7,8,14-tetrahidrotetrabain-7*α*-il]-5-(*p*-florofenil)-1,3,4-oksadiazol bileşığının FT-IR,  $^1\text{H}$ -NMR,  $^{13}\text{C}$ -APT, HR-MS spektrumları

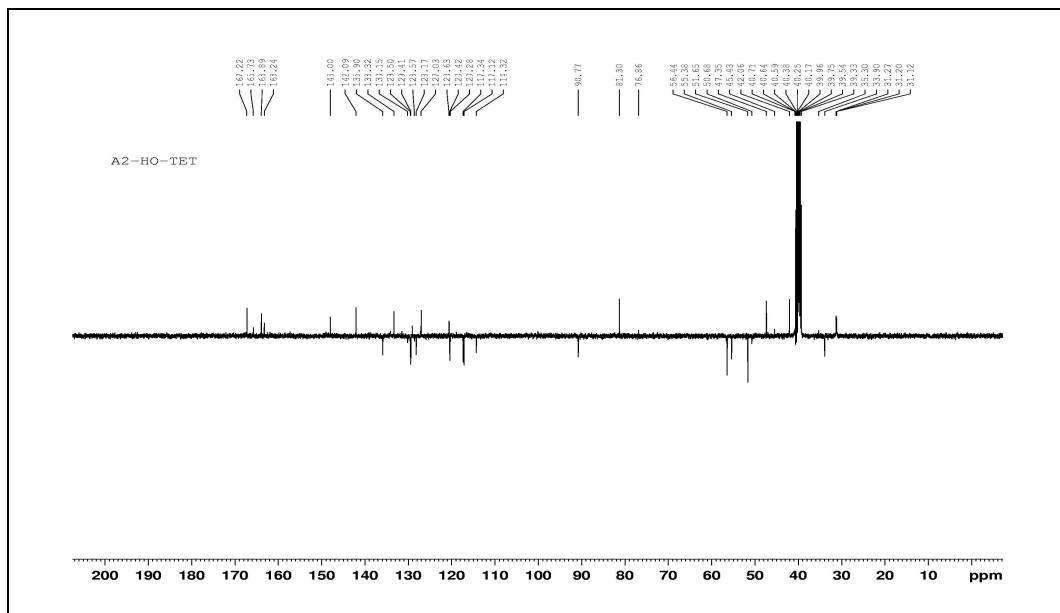


Şekil 15.1. 2-[*N*-(1*H*-Tetrazol)-6,14-*endo*-eteno-7,8,14-tetrahidrotetrabain-7*α*-il]-5-(*p*-florofenil)-1,3,4-oksadiazol bileşığının FT-IR spektrumu

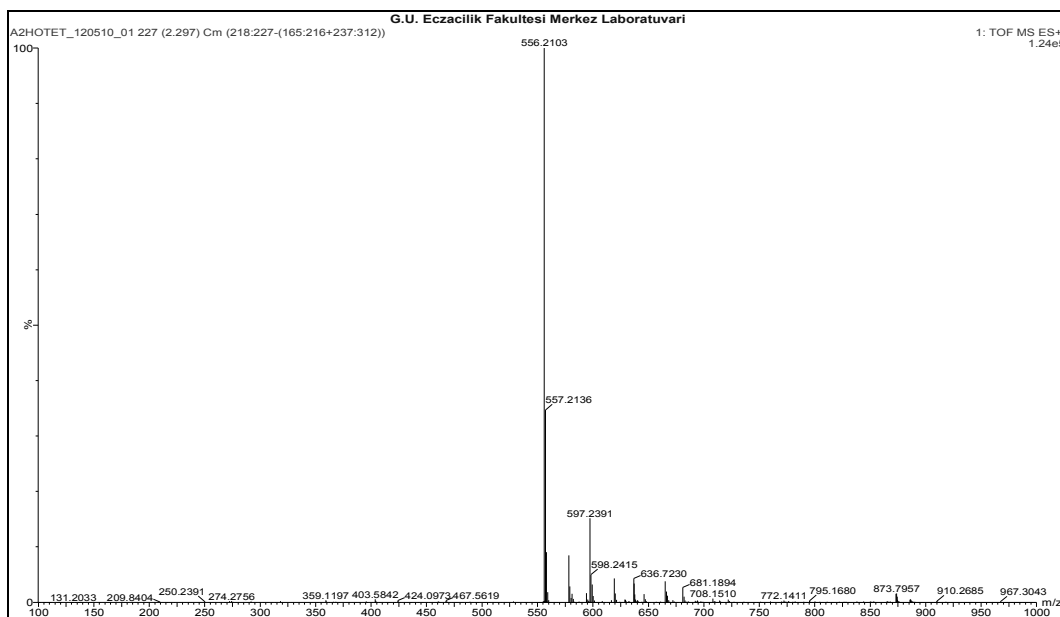


Şekil 15.2. 2-[*N*-(1*H*-Tetrazol)-6,14-*endo*-eteno-7,8,14-tetrahidrotetrabain-7*α*-il]-5-(*p*-florofenil)-1,3,4-oksadiazol bileşığının  $^1\text{H}$ -NMR spektrumu

EK-15 (Devam). 2-[*N*-(1*H*-Tetrazol)-6,14-*endo*-eteno-7,8,14-tetrahidrotetrabain-7*α*-il]-5-(*p*-florofenil)-1,3,4-oksadiazol bileşiginin FT-IR,  
<sup>1</sup>H-NMR, <sup>13</sup>C-APT, HR-MS spektrumları

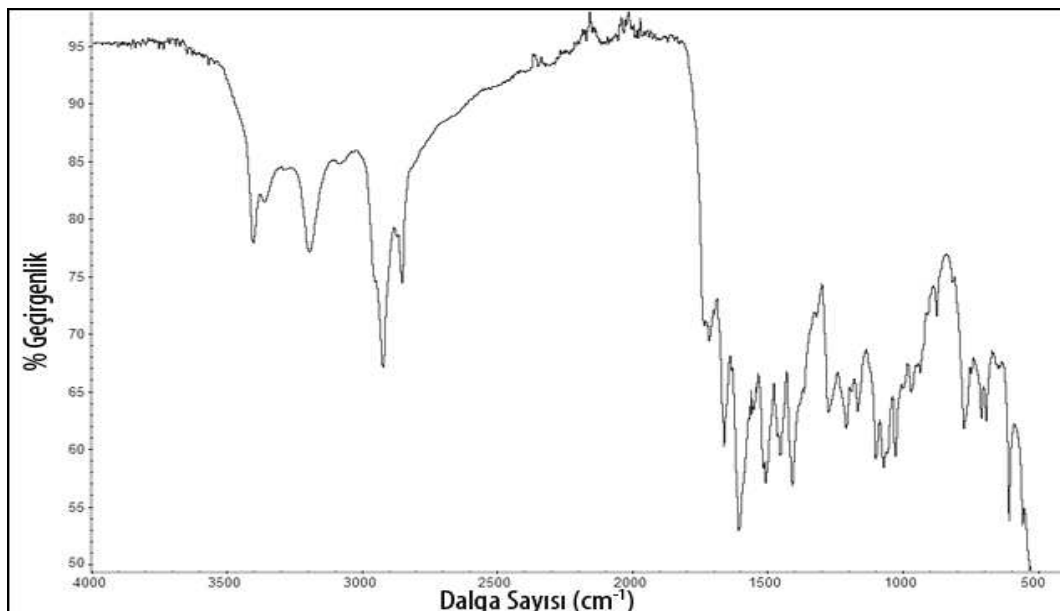


Şekil 15.3. 2-[*N*-(1*H*-Tetrazol)-6,14-*endo*-eteno-7,8,14-tetrahidrotetrabain-7*α*-il]-5-(*p*-florofenil)-1,3,4-oksadiazol bileşiginin <sup>13</sup>C-APT spektrumu

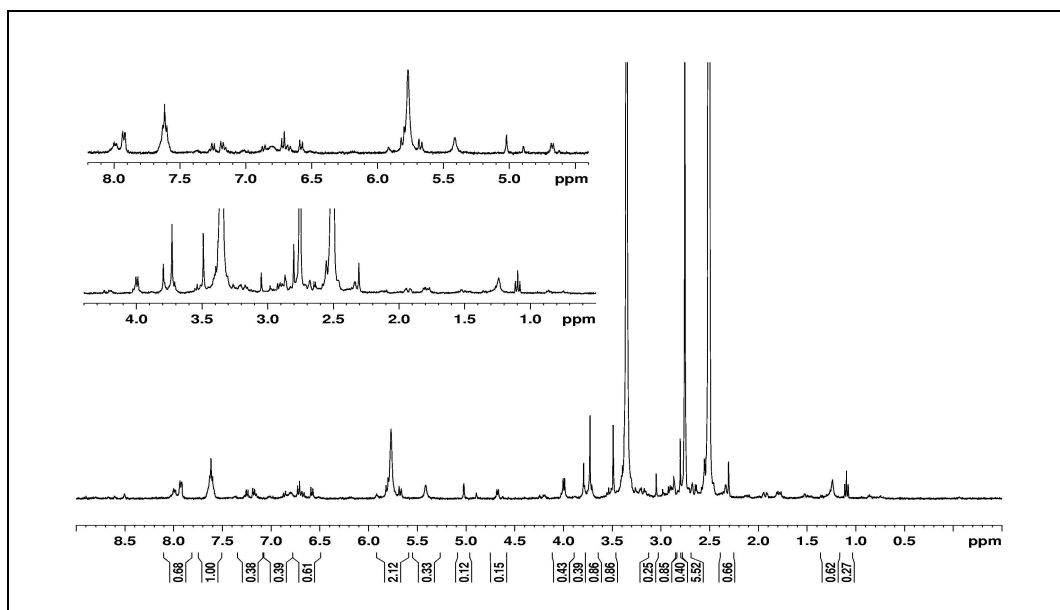


Şekil 15.4. 2-[*N*-(1*H*-Tetrazol)-6,14-*endo*-eteno-7,8,14-tetrahidrotetrabain-7*α*-il]-5-(*p*-florofenil)-1,3,4-oksadiazol bileşiginin HR-MS spektrumu

EK-16 2-[*N*-(1*H*-Tetrazol)-6,14-*endo*-eteno-7,8,14-tetrahidrotetrabain-7*α*-il]-5-fenil-1,3,4-oksadiazol bileşığının FT-IR,  $^1\text{H}$ -NMR,  $^{13}\text{C}$ -APT, HR-MS spektrumları

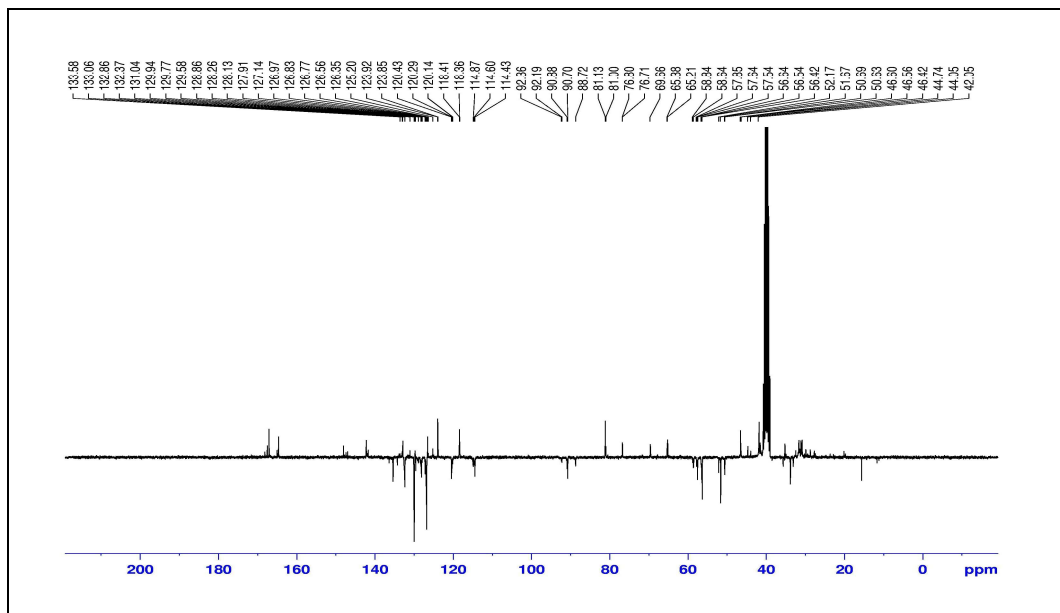


Şekil 16.1. 2-[*N*-(1*H*-Tetrazol)-6,14-*endo*-eteno-7,8,14-tetrahidrotetrabain-7*α*-il]-5-fenil-1,3,4-oksadiazol bileşığının FT-IR spektrumu

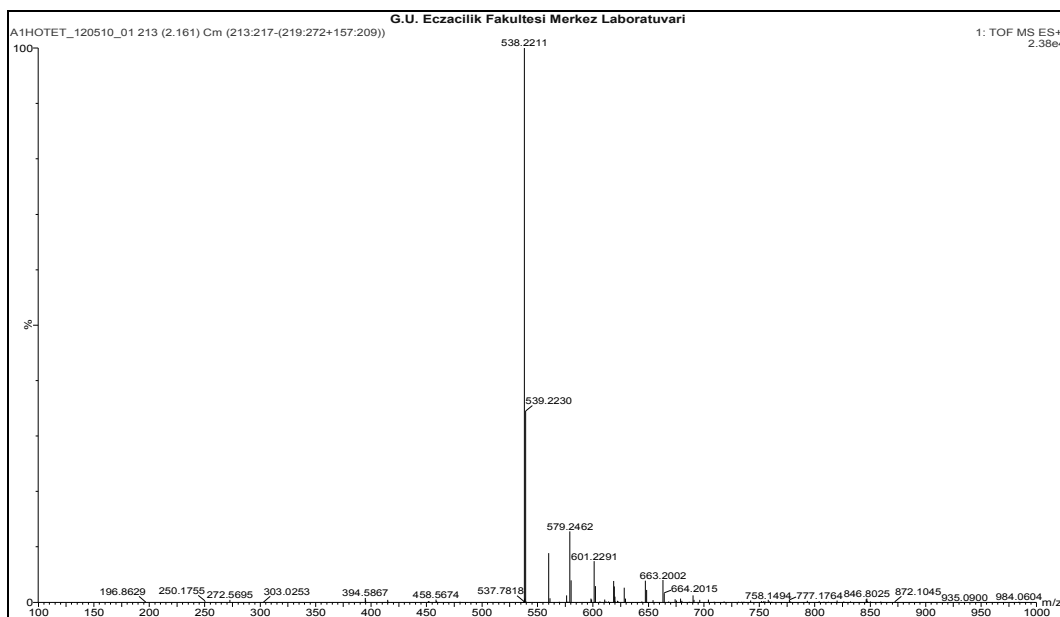


Şekil 16.2. 2-[*N*-(1*H*-Tetrazol)-6,14-*endo*-eteno-7,8,14-tetrahidrotetrabain-7*α*-il]-5-fenil-1,3,4-oksadiazol bileşığının  $^1\text{H}$ -NMR spektrumu

EK-16 (Devam). 2-[*N*-(1*H*-Tetrazol)-6,14-*endo*-eteno-7,8,14-tetrahidrotetrabain-7*α*-il]-5-fenil-1,3,4-oksadiazol bileşığının FT-IR,  $^1\text{H}$ -NMR,  $^{13}\text{C}$ -APT, HR-MS spektrumları



Şekil 16.3. 2-[*N*-(1*H*-Tetrazol)-6,14-*endo*-eteno-7,8,14-tetrahidrotetrabain-7*α*-il]-5-fenil-1,3,4-oksadiazol bileşığının  $^{13}\text{C}$ -APT spektrumu



Şekil 16.4. 2-[*N*-(1*H*-Tetrazol)-6,14-*endo*-eteno-7,8,14-tetrahidrotetrabain-7*α*-il]-5-fenil-1,3,4-oksadiazol bileşığının HR-MS spektrumu

## KAYNAKLAR

1. Kayaalp, O., "Narkotik(Opioid) Analjezikler", *Tıbbi Farmakoloji*, Altıncı baskı, cilt 2: 1987-2030 (1992).
2. Iraz, M., "Opioid(narkotik) analjezik ilaç/ilaç etkilesimleri", *Journal of internal Medical Sciences*, 3(31): 28-32 (2007).
3. Erdine S., "Opioid Analjezikler", *Ağrı*, 494-509 (2000).
4. Miller, R. D., "Anaesthesia", *Churcill Livingstone 5th edition*, New York, 273-277 (2000).
5. Stoelting, R. K., "Pharmacology & Physiolgy in Anesthetic", *Lippincot-Raven*, Philadelphia, 77-111 (1999).
6. Lenz, G. R., Evans, S. M., Walters, D. E., Hopfinger, A. J., "Opiates", *Academic Press*, Orlando, London, 65 (1986).
7. McCamley, K., Ripper, J. A., Singer, R. D., Scammells, P. J., "Efficient N-Demethylation of Opiate Alkaloids Using a Modified Nonclassical Polonovski Reaction", *J. Org. Chem.*, 68: 9847-9850 (2003).
8. Tanker, M.; Tanker, N.; "Farmakognozi", *Ankara Üniversitesi Eczacılık Fakültesi Yayınları*, 65: 3-17 (1990).
9. Hesse M., "Alkaloid Chemistry", *A Wiley-Interscience Pub.*, New York, 10-58 (1978).
10. Küçük, Y. N., "Türkiye'nin çeşitli yörelerinde yetiştirilen haşhaş bitkilerinden alkaloidlerin ekstaksiyonu ve ekstratların susuz ortamda özelliklerinin incelenmesi", Doktora Tezi, *Ankara Üniversitesi, Fen Bilimleri Enstitüsü*, 15-32 (1996).
11. Bentley, K.W., "The Chemistry of the Morphine Alkaloids", *Oxford University Press*, London, 184 (1954).
12. Blakemore, P. R., White, J. D. "Morphine, the Proteus of organic molecules" *Chem. Commun.*, 1159-1168 (2002).
13. Çatal, B., "Entubasyonda oluşan hemodinamik yanıkları önlemede esmolol vefentanil'in etkilerinin karşılaştırılması", Doktora Uzmanlık Tezi, Haydarpaşa Numune Eğitim Araştırma Hastanesi, 19: 20 (2004).
14. Husbands, S. M., Lewis, J. W., "Structural determinants of efficacy for κ Opioidreceptors in the orvinol series:7,7-spiro analogues of buprenorphine", *Journal of Medicinal Chemistry*, 43 (2): 139-141 (2000).

15. Metcalf, M. D., Coop, A., "Kappa Opioid Antagonists: Past Successes and Future Prospects", *The AAPS Journal*, 7 (3): 704-722 (2005).
16. Walker, E. A., Sterious, S. N., "Opioid antagonists differ according to negative intrinsic efficacy in a mouse model of acute dependence", *British Journal of Pharmacology*, 145: 975–983 (2005).
17. Boothby, L. A., Doering, P. L., "Buprenorphine for the treatment of opioid dependence", *Am J Health-Syst Pharm*, 64: 266-272 (2007).
18. Takemori, A. E., Kupferberg, H. J., Miller, J. W., "Quantitative studies of the antagonism of morphine by nalorphine and naloxone", *The Journal of Pharmacology and Experimental Therapeutics*, 169 (1): 39-45 (1969).
19. Sheldrake, G. N., Soissons, N., "Selective opening of ring c in the morphineskeleton by an unexpected cleavage of the C5-C6 bond in cycloadducts of thebaine and acyl nitroso compounds", *J. Org. Chem.* 71: 789-791 (2006).
20. Bentley, K.W., Hardy, D.G., "Novel Analgesics and Molecular Rearrangements in the Morphine-Thebaine Group. I. Ketones Derived from 6,14-endo-Ethenotetrahydrothebaine", *J. Am. Chem. Soc.*, 89: 3267-3273 (1967).
21. Rennison, D., Neal, A. P., Cami-Kobeci, G., Aceto, M. D., Bermejo, F. M., Lewis, J.W., Husbands, S. M., "Cinnamoyl Derivatives of 7 $\alpha$ -Aminomethyl-6,14-endo-ethanotetrahydrothebaine and 7 $\alpha$ -Aminomethyl-6,14-endoethanotetrahydrooripavine and Related Opioid Ligands", *J. Med. Chem.*, 50 (21): 5176–5182 (2007).
22. Chena, W., Strahana, G. D., Parrishb, D. A., Deschampsb, J. R., Coopa, A., "Studies into the Diels–Alder reactions of 5-trimethylsilylthebaine", *Tetrahedron Letters*, 46(1): 131-133 (2005).
23. Keilhofer D., Pindurilhofer U., "Dieis--alder products of the alkaloid (-)-thebaine with ct-chloroacrylnitrile and 1-methoxy-1,3-cyclohexadiene with tetracyanoethene", *Acta Cryst. C*, 51: 502-505 (1995).
24. Liu, H., Liu, C. H., Wu, B., Zhong, B. H., Gong, Z. H., "Study on Synthesis of Thebaine Derivatives", *Chinese Journal of Chemistry*, 23: 1589-1592 (2005).
25. Fries, D. S., "Foye's Principles of Medicinal Chemistry", *Lippincott William & Wilkins*, Philadelphia, 453-479 (2002).
26. Bentley, K.W., Hardy, D. G., "Novel analgesics and molecular rearrangements in the morphine-thebaine group. III. Alcohols of the 6,14- *endo*-ethenotetrahydrooripavine series and derived analogs of N-allylnormorphine and norcodeine", *J. Am. Chem. Soc.*, 89 (13): 3281–3292 (1967).

27. Rosenau, T., Hofinger, A., Potthast, A., Komsa, P., "A General, Selective, High-Yield N-Demethylation Procedure for Tertiary Amines by Solid Reagents in a Convenient Column Chromatography-like Setup", *Organic Letters*, 6 (4): 541-544 (2004).
28. Bhat, G.R., Ghosh, Y., Chandrasekaran, S., "A mild and selective method for *N*-dealkylation of tertiary amines", *Tetrahedron Letters*, 45: 7983-7985 (2004).
29. Tully, W.R., Gardner, C. R., Gillespie, R.J., Westwood, R., "2-(Oxadiazolyl)- and 2-(thiazolyl)imidazo[1,2-a]pyrimidines as agonists and inverse agonists at benzodiazepine receptors", *J. Med. Chem.*, 34 (7): 2060–2067 (1991).
30. Chen, C., Senanayake, C.H., Bill, T. J., Larsen, R.D. Verhoeven, T.R., Reider, P.J., "Improved Fischer Indole Reaction for the Preparation of N,N-Dimethyltryptamines: Synthesis of L-695,894, a Potent 5-HT1D Receptor Agonist", *J. Org. Chem.*, 59 (13): 3738–3741 (1994).
31. Levins, C.G., Wan, Z.K., "Efficient Phosphonium-Mediated Synthesis of 2-Amino-1,3,4-oxadiazoles", *Org. Lett.*, 10 (9): 1755–1758 (2008).
32. Crimmin, M.J., O'Hanlon, P.J., Rogers, N.H., Walker, G., "The chemistry of pseudomonic acid. Part 10. Preparation of heterocyclic derivatives", *J. Chem. Soc., Perkin Trans. 1*, 2047-2057 (1989).
33. Wang, Y., Sauera D.R., Djuric, S.W., "A simple and efficient one step synthesis of 1,3,4-oxadiazoles utilizing polymer-supported reagents and microwave heating", *Tetrahedron Letters*, 47(1): 105-108 (2006).
34. Partyka, R.A., Crenshaw, R.R., "1,3,4-Oxadiazole amides", *U.S. Patent 4001238*, (1977).
35. Vardan, S., Mookherjee, S., Eich, R., "Effects of tiotiazosin, a new antihypertensive, hemodynamics and clinical variables", *Clin Pharmacol Ther.*, 34(3): 290-296 (1983).
36. Theme, P.C., Franke, A., Denke, D., Lehmann, H.D., Gries, J., *Ger. Offen.*, 29: 65703 (1981).
37. Zarghi, A., Tabatabai, S.A., Faizi, M., Ahadian, A., Navabi, P., Zanganeh, V., "Synthesis and anticonvulsant activity of new 2-substituted-5(-2-benzoyloxyphenyl)-1,3,4-oxadiazoles". *Biorg. Med. Chem. Lett.*, 15: 1863-1865. (2005).
38. Ouyang, X., Piatnitski. E.L., Pattaropong, V., Chen. X., He, H.Y., Kiselyov, S. V "Oxadiazole derivatives as a novel class of antimicotic agents: Synthesis inhibition of tubulin polymerization and activity in tumor cell lines", *Biorg. Med. Chem. Lett.*, 16: 1191-1196 (2006).

39. Kartritzk, A.R., Boulton, A.J., "Advances in Heterocyclic Chemistry", *Academic Press*, New York, 7: (1966).
40. Stolle, R., Fehrenbach, K., "Amino derivatives of 1-thio and furo-3,4-diazoles", *J. Prakt. Chem.*, 122, 289 (1929).
41. Swain, A.P., "2-Amino-5-substituted-1,3,4-oxadiazoles". *U.S. Patent 2*, Ref: C.A. 16157, 53: 883, 391 (1959).
42. İkizler, A., "Heterohalkalı Bileşikler", *Karadeniz Teknik Üniversitesi Fen-Ed.Fak. Yayınları*, Trabzon, 245-246 (1985).
43. Koldobskii, G.I., Ostrovskii, V.A., "Tetrazoles", *Russ. Chem. Rev.*, 63 (10): 797–814 (1994).
44. Bliznets, I.V., Vasil'ev, A.A., Shorshnev, S.V., Stepanov, A.E., Lukyanov, S.M., "Microwave-assisted synthesis of sterically hindered 3-(5-tetrazolyl)pyridines", *Tetrahedron Lett.*, 45: 2571–2573 (2004).
45. Herr, R.J., "5-Substituted-1H-tetrazoles as carboxylic acid isosteres: Medicinal chemistry and synthetic methods", *Bioorg. Med. Chem.*, 10: 3379–3393. (2002).
46. Butler, R.N., "Tetrazoles. Comprehensive Heterocyclic Chemistry: The Struture, Reactions, Synthesis and Uses of Heterocyclic Compounds", Katritzky, A. R., Rees, C. W., Eds.; *Imprenta Pergamon Pres*, Oxford, 4: 791–838. (1984).
47. Gilchrist, T.L., "The Structure and Reactions of Heterocyclic Compounds", *Edward Arnold Ltd*, London, 399-403 (1975).
48. Manfred E.W., "Burger's Medicinal Chemistry", Part III, *John Wiley & Sons*, California, 300-305 (1996).
49. Harfenist, M., Heuser, D.J., Joyner, C.T., Batchelor, J.F., White, H.L., "Selective inhibitors of monoamine oxidase, 3: Struture–activity relationship of tricyclics bearing imidazoline, oxadiazole, or tetrazole groups", *J. Med. Chem.*, 39: 1857–1863. (1996).
50. Ogilvie, W.W., Yoakim, C., Do, F., Hache, B., Lagace, L., Naud, J., O'Meara, J.A., De'ziel, R., "Synthesis and antiviral activity of monobactams inhibiting the human cytomegalovirus protease", *Bioorg. Med. Chem.* 7: 1521–1531.(1999).
51. Genin, M.J, Allwine, D.A, Anderson, D.J, Barbachyn, M.R, Emmert, D.E., Garmon, S.A.; Gruber, D.R., Grega, K.C., Hester, J.B, Hutchinson, D.K., Morris, J., Reischer, R.J., Ford, C.W., Zurenko, G.E., Hamel, J.C., Schaadt, R.D., Stapert, D., Yagi, B.H., "Substituent effects on the antibacterial activity of

- nitrogen-carbon-linked (azolylphenyl)oxazolidinones with expanded activity against the fastidious gram-negative organisms *Haemophilus influenzae* and *Moraxella catarrhalis*”,. *J. Med. Chem.*, 43 (5): 953–970. (2000).
52. Middlemiss, D., Watson, S.P., “A medicinal chemistry case study: An account of an angiotensin II antagonist drug discovery programme”,. *Tetrahedron*, 50 (46): 13049–13080. (1994).
53. Kategaonkar, A. H., Labade, V.B., Shinde, P.V., Kategaonkar, A.H., Shingate, B.B., Shingare, M.S., “Synthesis and antimicrobial activity of tetrazolo[1,5-a]-quinoline-4-carbonitrile derivatives”, *Monatsh Chem.*, 141: 787-791 (2010).
54. Himo, F., Demko, Z.P., Sharpless, K.B., “Mechanism of tetrazole formation by addition of azide to nitriles”, *J. Am. Chem. Soc.*, 124: 12210-12216 (2002).
55. Demko, Z.P., Sharpless, K.B., “Preparation of 5-substituted-1H-tetrazoles from nitriles in water”, *J. Org. Chem.*, 66: 7945-7949 (2001).
56. Bentley, K.W., Hardy, D.G., Smith, A. B. C., “Novel analgesics and molecular rearrangements in the morphine-thebaine group. Part XII. Derivatives of 7-amino-6,14 *endo*-ethenotetrahydrothebaine”, *J. Chem. Soc.*, (C): 2235-2236 (1969).

## ÖZGEÇMİŞ

### **Kişisel Bilgiler**

Soyadı, adı	: PAMİR, Özgür
Uyruğu	: T.C.
Doğum tarihi ve yeri	: 30.12.1982, MERSİN
Medeni Hali	: Bekar
Telefon	: 0535 763 12 03
e-mail	: <a href="mailto:o.pamir@hotmail.com">o.pamir@hotmail.com</a>

### **Eğitim**

Derece	Eğitim Birimi	Mezuniyet Tarihi
Lisans	Hacettepe Üniversitesi/Kimya Öğretmenliği	2006
Lise	Tarsus Anadolu Meslek Lisesi/Kimya Bölümü	2000

### **Yabancı Dil**

İngilizce, Almanca

### **Yayınlar**

- 1- Odabaşoğlu, M., Yavuz, S., **Pamir, Ö.**, Yıldırır, Y., Büyükgüngör, O., “7 $\alpha$ -Methoxycarbonyl-6,7,8,14-tetrahydro-6,14endoethenohelbaine” *Acta Crystallographica Section E*, 65, 864-879 (2009).
- 2- Odabaşoğlu, M., Yavuz, S., **Pamir, Ö.**, Büyükgüngör, O., Yıldırır, Y., “N-Cyano-7 $\alpha$ -methoxycarbonyl-6,14-*endo*-ethenotetrahydronorhelbaine *Acta Crystallographica Section E* 65, 2205-2206 (2009).

- 3- Büyükgüngör, O., Yavuz, S., Odabaşoğlu, M., **Pamir, Ö.**, Yıldırır, Y., “1-Methoxy-3-o-tolylbicyclo[2.2.2]oct-5-ene-2,2-dicarbonitrile” *Acta Crystallographica Section E65*, 2208(2009).
- 4- Büyükgüngör, O., Yavuz, S., Odabaşoğlu, M., Özkan, H., **Pamir, Ö.**, Yıldırır, Y., “Dimethyl trans-2-methyl-3-p-bromophenylisoxazolidine-4,5-dicarboxylate” *Acta Crystallographica Section E65*, 2265 (2009).